

Rudarski glasnik, 1969 (4)

- 5 - Geometrijske i matematičke definicije elemenata bloka otkopavanog bagerom glodaro, M.Makar
- 15 - Grafički i matematički prikaz proračuna stabilnosti kosina Fröhlich-ovom metodom, R.Obradović, J.Radojević
- 26 - Primena jedne od masovnih otkopnih metoda za dobivanje zasipnog materijala u rudniku Kopaonik-Belo brdo, R.Dzodić
- 32 - Aktiviranje oksalatom u razdvajaju monacita od kolumbotantalita pomoću oleinske kiseline, D.Salatić, P.Moiset
- 38 - Koncentracija brečastog magnezita iz ležišta Strezovci u teškoj sredini, D.Ivanković, T.Kostić
- 49 - O mogućnostima briquetiranjakoncentrata hromne rude iz republike Turske pomoću veziva i uz dodatak reducenta, M.Mitrović, V.Stamenković
- 64 - Ispitivanje mogućnosti proizvodnje i upotrebe polukoksa iz domaćeg lignita kao bezdimnog goriva (II deo), D.Matić
- 69 - Specifičnosti grafičke i vremenske analize izvođenja nekih rudarskih radova, V.Buljan
- 76 - Integracija i koncentracija u proizvodnji i preradi bakra u svetu, S.Majdanac
- 86 - Cene nekih primarnih proizvoda rudarstva, M.Žilić
- 93 - Rudarstvo antimona u Podrinju, V.Simić
- 105 - Nova oprema i nova tehnička dostignuća
- 106 - Kongresi i savetovanja
- 110 - Prikazi i literature
- 113 - Bibliografija
- 115 - Obaveštenja

| | |
|--|-----|
| <i>Untersuchung der Erzengungs — und Verwendungsmöglichkeiten des Halbkokses aus einheimischen Braunkohlen als rauchlosen Brennstoff</i> — | 68 |
| Ekonomika | |
| PROF. ING. VLADIMIR BULJAN | |
| <i>Specifičnosti grafičke i vremenske analize izvođenja nekih rudarskih radova</i> | 69 |
| <i>Специфические особенности графического и временного анализа производства некоторых горных работ</i> — — — — — | 75 |
| DIPL.EKONOM. STEVAN MAJDANAC | |
| <i>Integracija i koncentracija u proizvodnji i preradi bakra u svetu</i> — — | 76 |
| DIPL. EKONOM. MILAN ŽILIC | |
| <i>Cene nekih primarnih proizvoda rudarstva</i> — — — — — | 86 |
| <i>Iz istorije rudarstva</i> | |
| DR VASILIJE SIMIĆ | |
| <i>Rudarstvo onimona u Podrinju</i> — — — — — | 93 |
| <i>Nova oprema i nova tehnička dostignuća</i> — — — | 105 |
| <i>Kongresi i savetovanja</i> — — — — — | 106 |
| <i>Prikazi i literature</i> . — — — — — | 110 |
| <i>Bibliografija</i> — — — — — | 113 |
| <i>Obaveštenja</i> — — — — — | 115 |

Geometrijske i matematičke definicije elemenata bloka otkopavanog bagerom glodarom

(sa 10 slika)

Dipl. ing. Miliivoj Makar

Površinski otkop je podeljen na »radne nivoe — etaže«, pri čemu se na svakoj etaži nalazi jedna ili više radnih jedinica. Svaku etažu karakterišu sledeći elementi:

- dužina (L)
- korak napredovanja (B_k) koji je jednak širini bloka
- godišnje napredovanje (B_g)
- visina (H).

Elementi etaže prikazani su na sl. 1.

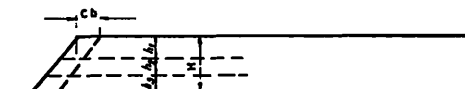
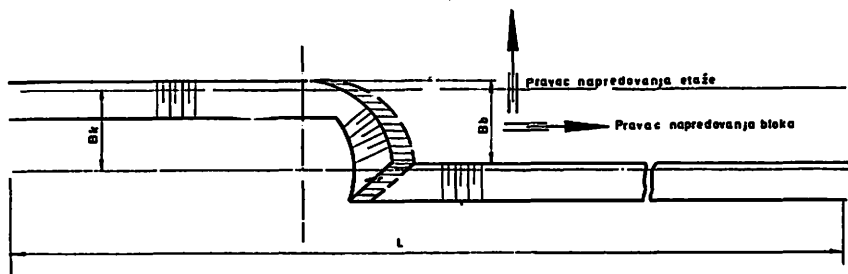
Pod napredovanjem etaže podrazumeva se kretanje etaže u pravcu koji je upravan na pravac transporta po etaži.

Deo etaže koji se otkopa nizom uzastopnih povezanih i neprekidnih operacija od vrha do dna etaže (nivelete bagera) zove se blok i obuhvata jedan tehnološki ciklus.

Geometrijski elementi bloka su:

- širina bloka (B_b)
- visina bloka, po pravilu, jednaka je visini etaže (H)
- dubina bloka (C_b)
- ugao nagiba čeone kosine (δ_a)
- ugao nagiba bočne kosine (δ_b)

Šema bloka sa oznakama prikazana je na sl. 2.



Sl. 1 — Elementi etaže
Abb. 1 — Strossenelemente

Ceona kosina je kosina koja se nalazi u pravcu napredovanja bagera i obično se izrađuje strmiće od bočne kosine.

Po vertikalni, ukupna visina bloka (4) podeđena je na podežale koje se obeležavaju h_1 do h_n . Indeks uz h obeležava redni broj podežale računajući odozgo na dole. Visina h zavisi od spoljnog prečnika rotora (D) i obično iznosi

$$\frac{1}{2} D \leq h \leq \frac{3}{4} D \quad (1)$$

Podežale se bageraju rezovima koji mogu biti vertikalni i horizontalni (sl. 3).

Na sl. 2 šrafurom su označeni pojedini rezovi prve podežale bloka. Kako se iz slike vidi jedan rez zahvata zapreminu stene koja se obrađuje radnim elementima bagera za obrt strele rotornog točka za ugao φ u samo jednom pravcu (sirina reza B_r). Visina reza jednak je visini podežale kod vertikalnih rezova h (sl. 3), a kod horizontalnih rezova vrednost h predstavlja visinu merenu po horizontali u osovini bagera glodara. Bilo da je rez horizontalan ili vertikalni, on se sastoji od niza pojedinačnih zahvata vedricama na radnom točku bagera. Jedan rez i zahvat vedricom bagera prikazan je na sl. 4. Slika 4a predstavlja vertikalni zahvat vedrice, a sl. 4b horizontalni zahvat vedrice.

Takav jedan zahvat nazvaćemo odrezak.

Za vreme rada bagera rotor se okreće oko svoje osovine »O_a« (sl. 3 i 4) i zajedno sa nosačem rotora oko vertikalne osovine bagera »O_b«.

Prema tome, radni element pri prolazu kroz materijal kreće se po rezultanti brzina: V_r (obodna brzina pri okretanju radnog točka oko svoje osovine) i V_b (obodna brzina vrha vedrice pri obrtanju nosača rotora oko osovine bagera).

Vektori brzina V_r i V_b su upravni jedan na drugog. Dok je brzina V_r konstantna, brzina V_b se menja i to dvojako. Automatski se povećava sa povećanjem ugla φ radi održavanja približno istog kapaciteta duž celog reza. Okretanjem reznog elementa oko osovine rotornog točka menja se vrednost R (poluprečnik koji označava udaljenost reznog elementa od vertikalne osovine bagera) tako da i pri konstantnoj ugaonoj brzini nosača rotora vrednost V_b se menja od $V_{b\min}$ za R_{\min} do $V_{b\max}$ za R_{\max} .

Za isecanje jednog adreska promena brzine V_b zbog promene ugaone brzine katarke (ω_b) može se smatrati konstantnom odnosno $\omega_b = \text{const.}$

Na sl. 9 prikazani su vektori brzina radnog točka i nosača rotora kao i rezultante brzine po kojoj se kreće rezni element vedrice. Iz trougla brzina možemo naći vrednost rezultante brzine V

$$V = \sqrt{V_r^2 + V_b^2} \quad (2)$$

Ukoliko sa V_{bn} označimo translatornu brzinu reznog elementa pri ulasku u materijal, a poluprečnik u tom momentu sa R_{rez} , onda je brzina V_b za ma koji ugao obrta rotornog točka β jednaka

$$V_b = V_{bn} \frac{R\beta}{R_{rez}} \quad (3)$$

Pri konstantnoj ugaonoj brzini ubrzanje je konstantno, odnosno kretanje reznog elementa kroz materijal je jednakno ubrzano za vrednosti ugla $\beta = (0^\circ \div 90^\circ)$, a jednakno usporeno za vrednosti ugla $\beta = (90^\circ \div \beta_0)$ (sl. 4a).

Prema tome, početna rezultantna brzina kretanja reznog elementa je

$$V_1 = \sqrt{V_r^2 + V_{bn}^2} \quad (4)$$

a za ma koji ugao β

$$V_\beta = \sqrt{V_r^2 + \left(V_{bn} \frac{R\beta}{R_{rez}}\right)^2} \quad (5)$$

Priroštaj brzine translatornog kretanja za vreme Δt biće:

$$\begin{aligned} \Delta V_b &= V_{bn} \frac{R\beta}{R_{rez}} - V_{bn} \frac{R\beta_1}{R_{rez}} \\ \Delta V_b &= \frac{V_{bn}}{R_{rez}} \left(R\beta_2 - R\beta_1 \right) \end{aligned} \quad (6)$$

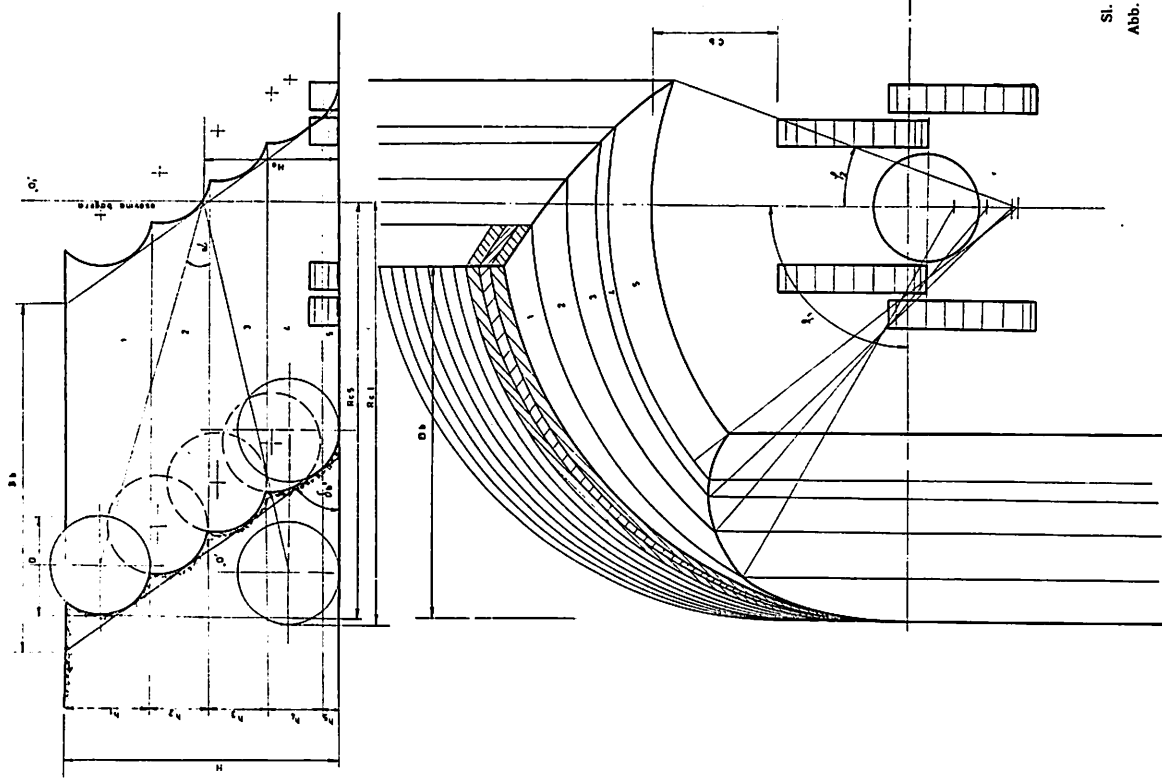
odnosno ubrzanje je:

$$U_b = \frac{\frac{V_{bn}}{R_{rez}} (R\beta_2 - R\beta_1)}{\Delta t} \quad (7)$$

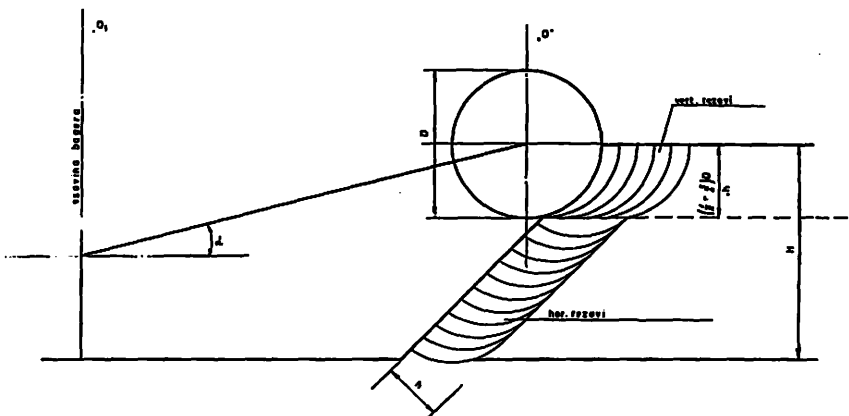
Pravac rezultantne brzine određen je uglom nagiba u odnosu na pravac vektora brzine V_r (sl. 6).

$$\tan \varrho = \frac{V_b}{V_r} \quad (7a)$$

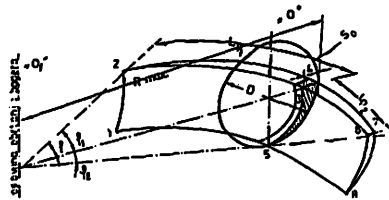
Ovim je ujedno određen i pravac kretanja reznog elementa.



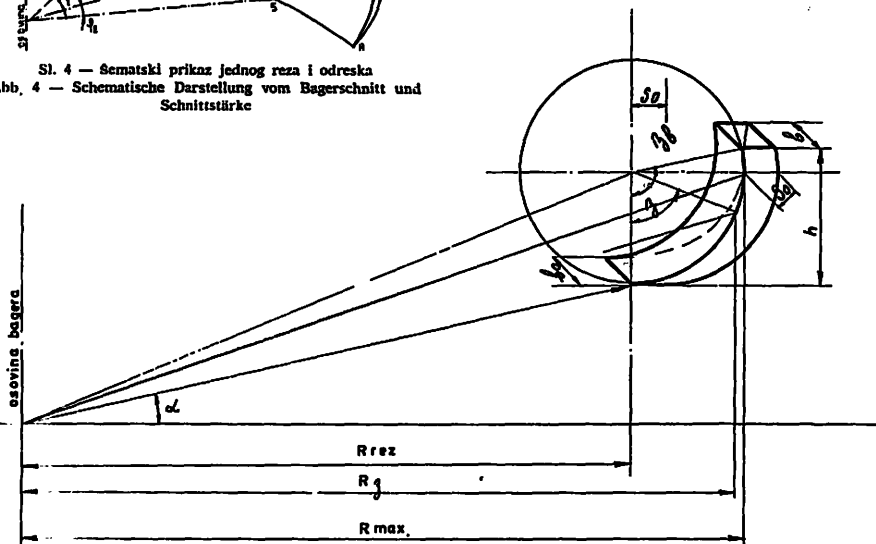
Sl. 2 — Sema bloka
Abb. 2 — Blockschema



Sl. 3 — Sema rezova
Abb. 3 — Schnittschema



Sl. 4 — Schematicki prikaz jednog rezka i odreska
Abb. 4 — Schematische Darstellung vom Begerschnitt und
Schnittrücke



Sl. 4a — Vertikalni rez
Abb. 4a — Vertikalschnitt

Vreme t_s za rezanje jednog odreska zavisi samo od brzine V_r i konstantno je pri konstantnoj brzini okretanja radnog točka. Može se odrediti iz jednačine:

$$t_s = \frac{D \pi \beta}{2 \times 180 \times V_r} \quad (8)$$

Brzina V_b utiče samo na dužinu pređenog puta a ne i na vreme rezanja jednog odreska.

Daleko komplikovanije je određivanje vremena potrebnog za otkopavanje jednog reza.

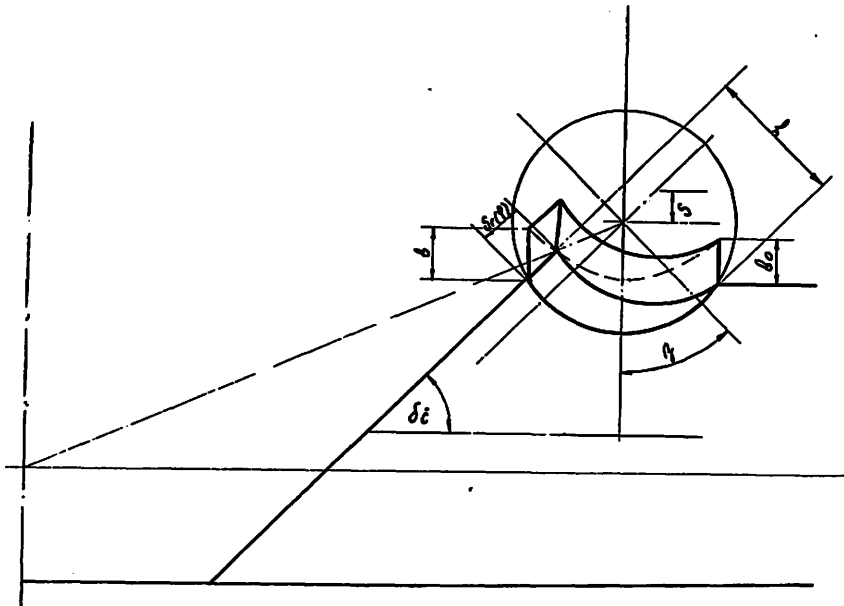
Savremene konstrukcije srednjih i velikih bagera glodara imaju automatsku regulaciju brzine okretanja nosača rotora oko ose bagera. Ovo im omogućava održavanje približno stalnog kapaciteta tokom radnog procesa na otkopavanju jednog reza (isključujući njegove krajnje delove) nezavisno od debljine odreska. Maksimalna debljina odreska je kada je ugao okretanja nosača rotora u odnosu na osu napredovanja bagera $\varphi = 0^\circ$. Debljina odreska se smanjuje proporcionalno kosinusu ugla okretanog nosača rotora, pa, prema tome, brzina okretanja mora biti obrnuto proporcionalna kosinusu ugla okretanja ($\cos \varphi$). Na bagerima se, uglavnom, utvrđuje granica regulacije brzine. Odnos početne brzine V_{bo} prema kraj-

njoj uzima se 1,8—2 a retko 3, što odgovara uglovima okretanja od 50° , 60° i 70° . Iza ovih granica brzina je konstantna s tim, što se na kraju okretanja smanjuje na nulu da bi se izvršilo pomeranje bagera napred.

U procesu otkopavanja jednog reza može se izdvojiti pet etapa. Pojedine etape se jasno vide na sl. 5.

1. etapa — brzina raste od nule do maksimuma. Kretanje je jednakopravo ubrzano. Kapacitet bagera (računski) na ovom delu je manji od teoretskog. Debljina odreska raste.

2. etapa — brzina je stalna i maksimalna. Počinje u tački gde se završava jednakopravo ubrzano kretanje i traje do položaja nosača rotora, gde počinje automatska regulacija brzine. Kapacitet bagera je ispod teoretskog i samo u krajnjoj tački dostiže teoretski kapacitet. Debljina odreska raste.



Sl. 4b — Horizontalni rez
Abb. 4b — Horizontalschnitt

3. etapa — brzina kretanja je regulisana i obrnuta je proporcionalno kosinusu ugla okretanja nosača rotora. Debljina odreska se u prvoj polovini povećava na maksimalnu kod V_{bo} , a potom se smanjuje. Kapacitet je ravan teoretskom. Dužina ovog dela reza je veća od svih ostalih delova zajedno.

4. etapa — počinje kad se postigne maksimalna brzina odnosno nosač rotora dolazi u položaj kada prestaje regulacija brzine. Kao i u drugoj etapi, brzina je stalna, a kapacitet je manji od teoretskog.

5. etapa — je etapa jednako usporenog kretanja do brzine nula. Kapacitet je manji od teoretskog. Nakon ove etape bager se pomera napred za debeljinu odreska i proces se ponavlja.

U zavisnosti od uglova zaokreta nosača rotora od njegovog srednjeg položaja po osi kretanja bagera do početka ili kraja reza može se dogoditi da nema druge ili četvrte etape ili obe zajedno. U tom slučaju dijagram na slici 5 ima oblik ograničen crtačkim linijama. Delovi 1, 3 i 5 se uvek mogu izdvojiti u granicama jednog reza.

Analitičke metode određivanja vremena otkopavanja jednog reza u podetaži su veoma komplikovane, jer zahtevaju, pre svega, određivanje uglova okretanja nosača rotora (φ_1 i φ_2) za sve podetaže, od srednjeg položaja do početka i kraja reza, zatim uglove okretanja ($\varphi_1 \div \varphi_1'$ i $\varphi_2 \div \varphi_2'$) za prvu i petu etapu procesa otkopavanja jednog reza. Uglovi φ_1 i φ_2 se mogu izračunati analitički po složenim formulama ili ih treba utvrditi grafičkom konstrukcijom otkopnog bloka. Određivanje uglova $\varphi_1 \div \varphi_1'$ i $\varphi_2 \div \varphi_2'$ može se izvršiti analitički iz jednačine koja se rešava izborom. Posle određivanja svih navedenih uglova proračunava se vreme kretanja nosača rotora za svaki od navedenih delova jednog reza. Taj proračun se mora ponoviti za svaku podetažu posebno.

Mnogo je jednostavnije, a za inženjerske proračune dovoljno tačno, proračun vremena izvršiti grafoanalitičkom metodom po Krasnikovu. Ova metoda se sastoji u sledećem:

Prvo se izradi dijagram zavisnosti vremena otkopavanja reza od veličine projekcije linije reza na vertikalnu ravan, koja je upravna na pravac napredovanja bloka. Kod izrade ovog dijagrama uzastopno se daju razne vrednosti uglovima φ_1 i φ_2 i izračunava vreme otkopavanja reza i veličine projekcije reza na verti-

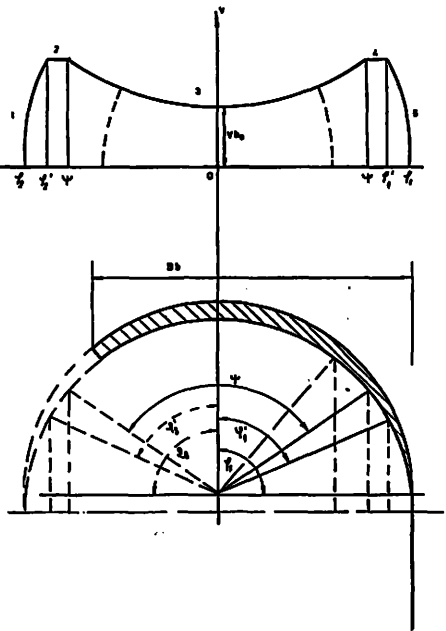
kalnu ravan, odnosno trag linije reza na poprečnom presku bloka. Ovi proračuni se izvede po sledećim obrascima:

a) Za slučaj kada je ugao φ manji od graničnog ugla ψ regulacije brzine okretanja.

$$A_{pr} = R_c \sin \varphi + \frac{V_{bo}}{2 U_b \cos \varphi} \quad (m) \quad (9)$$

$$t_{rez} = \frac{R_c \sin \varphi}{V_{bo}} + \frac{V_{bo}}{U_b \cos \varphi} \quad (\text{sec}) \quad (10)$$

b) za slučaj kada je ugao φ veći od graničnog ugla ψ regulacije



Sl. 5 — Dijagram promene brzine okretanja nosača rotora bagera pri bagerovanju jednog reza
Abb. 5 — Diagramm des Schwenkgeschwindigkeitsänderung des Schaufelradauslegers bei einer Schnittbaggerung

$$A_{pr} = R_c \sin \varphi + \frac{V_{bo} \cos \varphi}{2 U_b \cos^2 \psi} \quad (11)$$

$$t_{rez} = \frac{R_c \sin \varphi}{V_{bo}} + \frac{2 \pi R_c (\varphi - \psi) \cos \psi}{360 V_{bo}} +$$

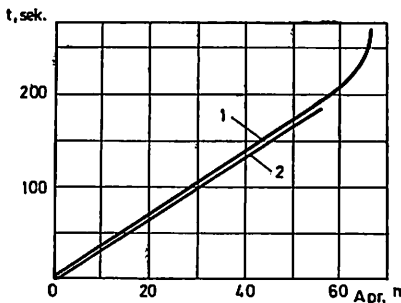
$$+ \frac{V_{bo}}{U_b \cos \psi} \quad (\text{sec}) \quad (12)$$

gde su:

- R_c — projekcije poluprečnika okretanja oko ose bagera, mereno do centra rotora, m,
- V_{bo} — linearna brzina pomeranja centra rotora za ugao $\varphi = 0$, m/sec,
- U_b — linearna ubrzanja (usporenje) okretanja nosača rotora, mereno u centru rotora, m/sec²,
- ψ — ugao do kojeg se reguliše brzina okretanja nosača rotora, stepeni.

Po dobijenim vrednostima za t_{rez} i A_{pr} konstruiše se dijagram zavisnosti t_{rez} od A_{pr} . Takav jedan dijagram dat je na slici 6 (bager ERSR — $1600 \times 40/7$).

Linije na dijagrame predstavljaju zavisnost vremena t_{rez} od A_{pr} samo za jednu stranu reza ($\varphi = 0^\circ \div 90^\circ$). Za dobijanje vrednosti t_{rez} za drugu stranu služi isti dijagram.



Sl. 6 — Dijagram zavisnosti vremena bagerovanja rezu (do osovine obrtanja bagera) od veličine projekcije na poprečni presek bloka

Abb. 6 — Diagramm der zeitabhängigen Schnittbaggerung (bis zur Baggerdrehachse) von der Projektionsgrösse auf den Blockquerschnitt

Da bi se matematički tačno odredilo vreme otkopavanja rezu u svakoj podetaži trebalo bi usvajati razne vrednosti za R_c , koje odgovaraju određenoj podetaži. Jednostavnije je i dovoljno tačno, ako se za sve podetaže usvoji jedna vrednost R_c i to ona, koja odgovara najnižoj podetaži. Ovo uprošćavanje računa praktično ne utiče na ukupno računsko vreme otkopavanja rezova u svim podetažama jednog tehnološkog ciklusa.

Pošto je konstruisan dijagram može se pristupiti određivanju zbiru vremena za jedan rez za svaku podetažu.

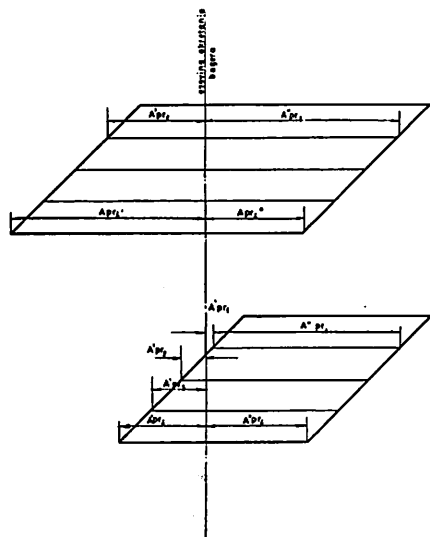
Grafički se konstruiše poprečni presek bloka (sl. 7) i na njemu se ucrtaju granične linije svake podetaže. Vreme otkopavanja jednog rezova može se dobiti po krivoj 1 sl. 6 kao zbir

vremena t'_1 (ako je prva podetaža) i t''_1 koje odgovaraju veličinom A'_{pr} i A''_{pr} odnosno

$$t_{rez1} = t'_1 + t''_1 \quad (13)$$

Vreme potrebno za otkopavanje jednog rezova u svim podetažama iznosi:

$$t_{rez} = \sum_{i=1}^u t_{rez} (\text{sec}) \quad (14)$$



Sl. 7 — Sema za određivanje projekcije linije rezova na poprečnom preseku bloka

Abb. 7 — Schema für die Bestimmung der Schnittlinienprojektion auf dem Blockquerschnitt

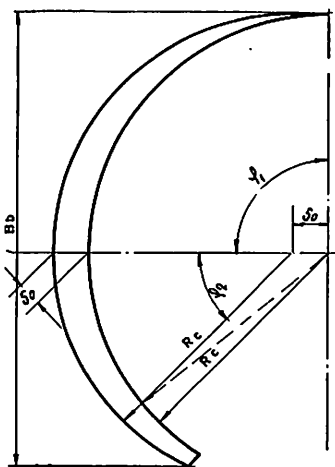
Vreme potrebno za otkopavanje po celom tehnološkom ciklusu (jedan blok) iznosi:

$$T_c = N_r \sum_{i=1}^u t_{rez} + T_{tg} (\text{Sec}) \quad (15)$$

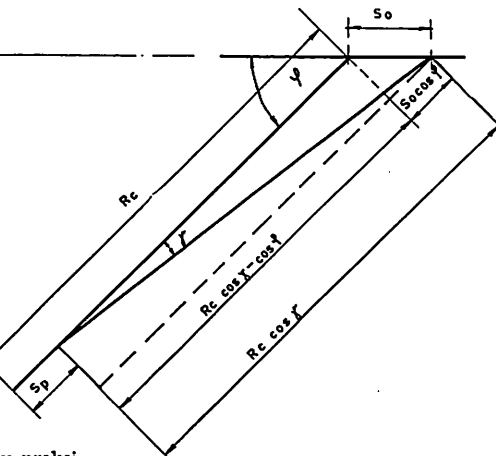
gde je:

N_r — broj rezova po dubini bloka u jednom tehnološkom ciklusu

T_{tg} — tehnološki gubici vremena koji su posledica samog tehnološkog procesa.



Sl. 8a — Geometrijski elementi reza
Abb. 8a — Geometrische Schnittelemente



Kod smanjenja širine bloka, što je u praksi najčešći slučaj (sl. 7b), projekcije ose okretanja bagera na poprečnom preseku bloka će presecati spoljašnju kosinu etaže. U ovom slučaju za izračunavanje vremena otkopavanja reza na onim podetažama gde rez ne dolazi do ose okretanja konstruiše se pomoćna kriva 2 (na sl. 6) po formulama:

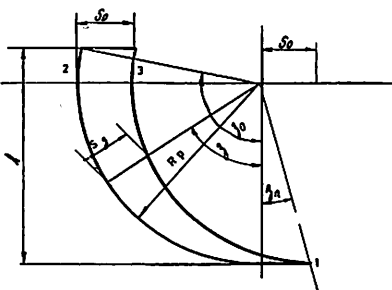
$$A_{dr} = R_c \sin \varphi + \frac{V_{bo}}{2 U_b \cos \varphi} \quad (16)$$

$$t_{rez} = \frac{R_c \sin \varphi}{V_{bo}} - \frac{V_{bo}}{U_b \cos \varphi} \quad (\text{sec}) \quad (17)$$

Vreme otkopavanja jednog reza u prvoj podetaži, za slučaj dat na slici 7b, određuje se kao razlika vremena t''_1 i t'_1 , koje odgovaraju veličinama A''_{pri} i A'_{pri} , gde se vreme t''_1 uzima sa krive 1, a vreme t'_1 sa krive 2.

Za bagere koji nemaju regulaciju brzine okretanja ili imaju stepenastu regulaciju može se koristiti slična metodologija određivanja vremena otkopavanja reza, ali proračunski dijagram mora da se konstruiše po formulama koje uzimaju u obzir taj oblik regulacije.

Debljina adreska se u toku bagerovanja menjala u zavisnosti od ugla okretanja bagerske vedrice oko osovine točka (β) i od ugla okretanja bagerskog točka oko osovine bagera. Na



Sl. 8b — Geometrijski elementi adreska
Abb. 8b — Geometrische Elemente der Schnittstärke

sl. 8 dati su geometrijski elementi adreska i reza. Matematička zavisnost debljine reza u osovini rotornog točka od ugla zaokreta nosača rotora φ prema sl. 8a je:

$$S(\varphi) = R_c - (R_c \cos \gamma - S_0 \cos \varphi)$$

Kako je R_c neuporedivo veće od S_o to je $\cos \gamma \approx 1$, pa se može napisati

$$S(\varphi) = S_o \cos \varphi \quad (18)$$

Promena debljine reza u zavisnosti od ugla φ , za mą, koji ugao okreta φ , može se izraziti jednakošću (sl. 8b)

$$S(\beta) = R_t - R_t \cos \gamma + S(\varphi) \sin \beta$$

ako u ovoj jednačini $S(\varphi)$ zamenimo vrednošću iz jednačine 18 imamo:

$$S(\beta) = R_t - R_t \cos \gamma + S_o \cos \varphi \sin \beta$$

Pošto je uvek $\frac{S_o}{R_t} < 0,1$ i $\cos \gamma \approx 1$ to možemo napisati

$$S(\beta) = S_o \cos \varphi \sin \beta \quad (19)$$

Pri određenom položaju nosača rotora u osnovi bloka debljina odreska, koja se bageruje u posmatranom vremenskom momentu za svaku vedricu, zavisi od njenog položaja koji je određen uglom β_i (sl. 8b).

Vrednost β_i određuje se u zavisnosti

$$\beta_i = \beta_1 - \frac{2\pi}{Z} (i-1) \quad (20)$$

$$i = 1, 2, \dots, n$$

gde je:

β_1 — ugao koji određuje položaj vedra od kojega počinje odbrojavanje

Z — broj vedara

i — indeks koji označava vedro za koje se vrši obračun debljine odreska.

Površina jednog srpastog odreska za određeni ugao φ se izračunava

$$P_s = \int_0^{\beta_0} S_o \cos \varphi \sin \beta R_t d\beta$$

$$P_s = S_o \cos \varphi R_t [-\cos \beta_0] \quad (21)$$

$$P_s = S_o \cos \varphi R_t (1 - \cos \beta_0)$$

Površina odreska u osovini okretanja bagera ($\varphi = 0$) je:

$$P S_o = S_o R_t (1 - \cos \beta_0)$$

Odavde možemo odrediti srednju debljinu odreska (potrebno je za određivanje snage pogonskog motora), tj. visinu pravougaonika, čija je dužina $\beta_0 R_t$, a po površini je jednak odresku

$$S_{sr} \beta_0 R_t = S_o R_t (1 - \cos \beta_0)$$

$$S_{sr} = \frac{S_o (1 - \cos \beta_0)}{\beta_0}$$

gde je:

β_0 — ugaona visina odreska (podetaže) u radijanima.

Površina poprečnog preseka odreska, koju odseca vedrica u ravni, a koja je upravna na rotor određuje se, za mą koji ugao okreta rotora β , iz formule

$$P_p(\beta) = S \beta b \beta \quad (22)$$

Ako usvojimo da je širina odreska $b \beta$ konstantna i jednaka b i zamenimo vrednost $S \beta$ iz jednačine (19) dobijamo

$$P_p = S_o b \cos \varphi \sin \beta \quad (23)$$

Širinu odreska odredićemo na osnovu šeme za uslov da je $V_b = \text{const}$. Vedrica 1 ulazi u materijal u položaju 1 i kreće se po liniji koja predstavlja pravac i smer rezultantne brzine i kada dođe u položaj 1' vedrica broj 2 ulazi u materijal. Pošto vedrica broj 1 ulazi u položaj 1'', a vedrica 2 u položaj 2', vedrica broj 3 ulazi u materijal itd. neprekidno za vreme celog procesa bagerovanja.

Rastojanje između tačaka 1 i 2 (1' i 2') odnosno 2 i 3 (2' i 3') predstavlja širinu reza b . Vertikalno rastojanje između tačaka 1 i 1', 2 i 2' itd. je rastojanje između dve susedne vedrice $\approx e$ (cm).

Na osnovu toga širina reza je jednaka

$$b = e \operatorname{tg} \varphi \quad (\text{cm}) \quad (24)$$

$$e = \frac{2 R_t \pi}{Z}$$

$$\operatorname{tg} \varphi = \frac{V_b}{60 V_r}; \quad V_r = \frac{2 R_t \pi n}{60}$$

prema tome:

$$b = \frac{V_b}{Z \cdot n} \quad (25)$$

gde je:

- V_b — brzina transportnog kretanja rotora u m/min
 Z — broj vredice na rotoru
 n — broj obrtaja rotora u minutu
 V_r — brzina rotacionog kretanja rotora u m/sec

Dobijeni izraz možemo napisati i u obliku

$$b = \frac{2\pi}{Z} \frac{W_b}{W_r} (a + L \cos \alpha + R + \sin \beta) \quad (26)$$

gde je:

- W_b , W_r — ugaone brzine kretanja nosača rotora i rotora
 $a + L \cos \alpha + R_t \sin \beta$ — odstojanje noža posmatrane vredice od osovine bagera.

Kako smo već ranije rekli, brzina translacionog pomeranja reznih elemenata kod konstantne brzine kretanja nosača neprekidno se menja, u zavisnosti od njihovog položaja prema luku rezanja, i funkcija je:

$$(V_b)\beta = V_b \frac{R \beta}{R_{rez}}$$

U zavisnosti od toga širina adreska je takođe funkcija ugla β reznog elementa (sl. 8b), koja dostiže maksimalnu vrednost u visini osovine rotora

$$b(\beta) = b_0 \frac{R \beta}{R_{rez}} \\ b(\beta) = b_0 \frac{a + L \cos \alpha + R_t \sin \beta}{a + L \cos \alpha + R_t} \quad (27)$$

Najmanju vrednost $R\beta$ ima kod $\beta \leq 0$, prema tome, najmanja vrednost za širinu reza $b(\beta)$ je kod ulaska vredice u materijal. Prilikom izračunavanja $b(\beta)$ za postojeće bagere došlo se do saznanja da minimalna širina reza ima vrednost

$$(0,70-0,90) b_{max} \text{ (u visini osovine rotora).}$$

Kod inženjerskih proračuna može se usvojiti da je $b\beta = b$.

Za horizontalni odrezak važe iste geometrijske i matematičke relacije kao i za vertikalni odrezak, samo što se pri proračunu deblijine adreska mora uzeti u obzir pored uglova α , β i φ i zavisnost od ugla nagiba etaže (δ). Za-

visnost deblijine horizontalnog adreska od ugla okretanja nosača rotora računa se po obrascima Beljakova i Vladimirova:

$$S_T(\varphi) = S \left\{ 1 + \frac{1}{2} \left[c \lg \delta \cos \varphi \tan \alpha \right. \right. \\ \left. \left. \left(1 - \cos \varphi \right) \right]^2 \right\} \quad (28)$$

Uzimajući u obzir i ugao okreta točka debljina adreska je

$$S_T(\beta) = S_T(\varphi) \left(\sin \beta + \frac{1}{2} \frac{S_T(\varphi)}{R_t} \cos^2 \beta \right) \quad (29)$$

U iznetim matematičkim metodama za određivanje dimenzija adreska nisu uzete u obzir oscilacije nosača rotora i njihov uticaj na rad rotora u bloku. Pri bagerovanju pored karakterističnih torsionih oscilacija javljuju se, takođe, oscilacije u vertikalnoj i horizontalnoj ravni. Zbog ovoga stvarni parametri adreska će se razlikovati od proračunatih i to utoliko znatnije ukoliko su amplitude oscilacija osetnije. Uzimanje u obzir odstupanja u dimenzijama adreska je naročito otežano zbog toga, što je potrebno, osim oscilacije u momentu otkopavanja jednog reza, uzimati u obzir odstupanje zbog oscilacija kod otkopavanja prethodnog reza. Uporedo sa ovim uzrocima, na promenu dimenzije adreska mogu uticati radikalni i obodni udari reznih elemenata konstrukcije koji se javljaju usled nedovoljno tačne izrade i montaže.

Svi ovi faktori će imati utoliko veći uticaj ukoliko se odnos S/b razlikuje više od jedinice. Ovaj slučaj se naročito javlja kod otkopavanja tvrdih stena i ugljeva, jer je veći odnos celishodan zbog smanjenja veličine komada.

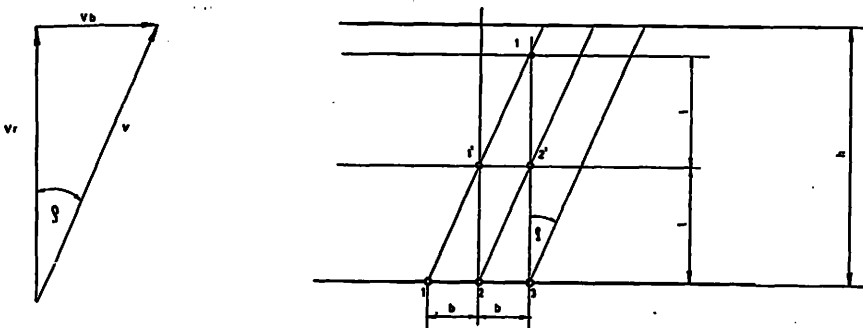
Uopšte rečeno, dimenzije adreska — uzimajući u obzir parametre oscilacije — mogu se predstaviti sledećim funkcionalnim izrazima (1).

$$(S\beta)_t = f [S_0, \varphi, \beta, y(t_n), y_1(t_m), z(t_n), z_1(t_m), \\ yz(t_n), y_1 z_1(t_m)]$$

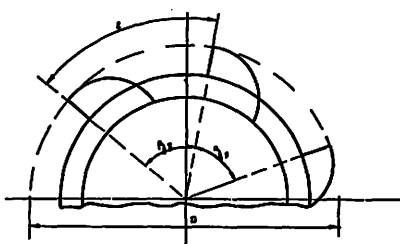
$$(b\beta)_t = f_1 [b_0, \beta, y(t_n), y_1(t_m), z(t_n), z_1(t_m), \\ yz(t_n), y_1 z_1(t_m)] \quad (30)$$

gde je:

$Y(t_n)$, $Z(t_n)$, $YZ(t_n)$ — zakon oscilacije rotora u odnosu na vertikalnu i horizontalnu ravan i torzionalne oscilacije



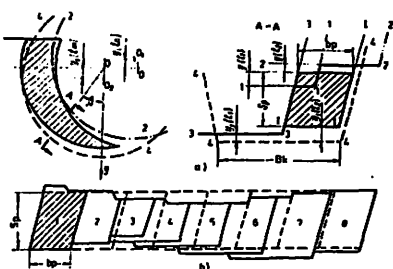
Sl. 9 — Sema za određivanje širine odreska
Abb. 9 — Schema zur Bestimmung der Schnittbreite



u vremenskom momentu t_n , koji odgovara otkopavanju prethodnog reza.
 Y_1 (tm), Z_1 (tm), $Y_1 Z_1$ (tm) — isto, kao i gore samo u vremenskom momentu t_m kod otkopavanja posmatranog reza.

Prikaz izraza (30) u analitičkom obliku ce-
lishodno je izvoditi u svakom konkretnom slu-
čaju samo posle ocene svih već nabrojanih
faktora.

Na slici 10 dat je primer promene parame-
tara odreska kod oscilacija rotora samo u ver-
ticalnoj ravni, što je analogno prisustvu ra-
dijalnih udaraca rotora. Linije 1—1 i 2—2 po-
kazuju uzastopnost položaja vedrice kod smi-
canja prethodnog reza, a linije 3—3 i 4—4 po-
ložaj vedrice kod rezanja tekućeg reza. Pro-
računati presek odreska I—I koji odgovara
radu rotora bez oscilacije na slici je šrafiran.
 Štvarni presek odreska je ograničen razmatra-
nim položajima vedrica. Na slici 10b pokazana
je razvijena promena površine preseka odre-
ska, koja se uzastopno odseca vedricama u jed-
nom istom preseku za vreme jednog obrtaja
rotora, kada postoji samo radijalno udaranje



Sl. 10 — Presek odreska kod postojanja oscilacija rotora
 s_p i b_p — proračunska debjina i širina odreska;
 B_K — širina vedrice

Abb. 10 — Spannquerschnitt beim Auftreten von Schaufel-
schwingungen
 s_p und b_p — Rechnungsquerschnitte und -stärke
 B_K — Eimerbreite

ZUSAMMENFASSUNG

Geometrische und mathematische Definitionen der Abbaublockelemente des Schaufelradbaggers

Dipl. Ing. M. Makar*)

In dem Aufsatz wurden mathematische und geometrische Definitionen der Abbaublockelemente, die für rechungsmässige Bestimmung der Schaufelradbaggerleistung genutzt werden können, gegeben. Durch gegebene mathematische Beziehungen wurde das Verhältnis der einzelnen geometrischen Elemente gegeben. Ebenso wurde die Bewegung der Baggerschaufel beim Abramschnitt definiert und erklärt.

Literatura

- | | |
|--|---|
| Akutin, Ščerbina, Jasnopolskij, 1968: Programirano upravljanje rotornim bagerima, Kijev. | Krasnikov, 1966: Naučni aspekti primene kontinuiranog rada na površinskim kopovima, Nauka. |
| Beljakov, Vladirov, V. M., 1967: Radni organi rotornih bagera, Mašinostrojenie. | Milosavljević, D.: Eksperimentalna fizika, Vladimirov, V. M., Senčurov, V. P., 1963: Određivanje optimalnog režima bagerovanja. — Rudarske mašine i automatizacija br. 7. |
| Filimonov, 1967: Rudarske mašine za površinske kopove, Nedra. | Zelenin, A. N., 1960: Fizički osnovi teorije rezanja materijala, izdanje AN SSSR. |

Grafički i matematički prikaz proračuna stabilnosti kosina Fröhlich-ovom metodom

(sa 7 slika)

Dipl. ing. Radmilo Obradović — dipl. ing. Jovan Radojević

Dosadašnje metode proračuna stabilnosti kosina u mehanici tla baziraju na određenim hipotezama i prihvaćenim pojmovima:

- lom se istovremeno pojavljuje i nastupa duž cele klizne površine;
- tretira se naponsko stanje ravni, što znači da je kosina teoretski beskonačno dugčka. Kod rešavanja praktičnih primera taj uslov je ispunjen, ako dužina kosine iznosi najmanje 2,5 puta njene visine;

— od mogućih kliznih površina usvaja se ona, kod koje se dobije najniži koeficijent sigurnosti;

— prema ispitivanjima Felleniusa i Taylora klizne površine prolaze uvek kroz podnože kosine u slučaju kad je ugao trenja $\phi > 5^\circ$.

Iskustva pokazuju da se klizišta dešavaju na manje ili više zakrivljenim kliznim površinama i da su uslovljeni fizičkim osobinama tla. Najveći broj postupaka proračuna zasniva se na kliznoj površini kružno cilindričnog oblika,

*) Dipl. ing. Milivoj Makar, viši stručni saradnik Zavoda za eksploataciju mineralnih

sировина Rudarskog instituta, Beograd.

Tablica 1

jer se na taj način lako obeleži klizno telo, koje se može matematički izraziti, a dobro odgovaraju stvarnim kliznim površinama.

Za proračun stabilnosti otkopa i odlagališta naročito je podesna Fröhlich-ova metoda, koja omogućava da se proračuni izvrše za različite čvrstoće smicanja; na osnovu njih se izrađuju dijagrami koji daju faktore sigurnosti u zavisnosti od čvrstoće smicanja tla.

Kod svojih posmatranja stabilnosti Fröhlich polazi od granične ravnoteže sa sigurnošću 1,0 i utvrđuje dodatnu sigurnost na osnovu postojećih rezervi u pokazateljima tla.

Raspodela normalnih naponata duž klizne površine

| Normalni naponi duž klizne površine | Vrednost koeficijenta, m |
|---|--|
| Koncentrisani u sredini | 1 |
| Rasporedeni u obliku srpa | $\frac{1}{\cos \alpha} - \left[1 - \left(\frac{2a}{\pi} \right)^2 \right]$ |
| Ravnomerno rasporedeni | $\frac{a}{\sin \alpha}$ |

Na kliznu površinu oblika kružnog luka, koja ograničava kliznu prizmu ABCD, sve delujuće sile kao što su sopstvena težina klizne prizme, opterećenje, pokretna opterećenja, dejstvo filtracije, vетра i dr. slazu se u rezultantu R, te se odredi veličina, položaj i pravac sile R, a zatim i njen kрак f u odnosu na centar rotacije O, odnosno na centar kružnog luka ADC izabrane klizne površine. Na taj način može se odrediti faktor sigurnosti F_s pomoću momentne jednačine, tako da se dobija momenat rezultante R svih sila oko centra rotacije O

$$M_R = R \times f$$

Momenat unutrašnjeg otpora koherentnog tla je:

$$M_o = (cL + R \cos \delta \times \operatorname{tg} \varphi \times m) r$$

gde je:

r — poluprečnik kliznog kruga
c — kohezija tla u M_s/m^2

L — dužina kružnog luka u m

δ — ugao između rezultante i simetrale centralnog ugla

μ — $\operatorname{tg} \varphi$ = koeficijent trenja duž klizne površine

φ — ugao unutrašnjeg trenja tla

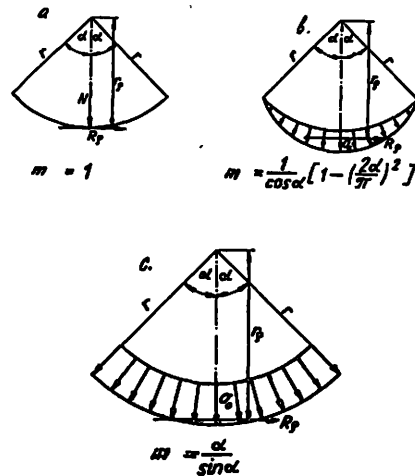
m — koeficijent za raspodelu normalnog naponata duž klizne površine.

Stabilnost kosine izražava se faktorom stabilnosti

$$F_s = \frac{r}{f} \left(\cos \delta \times \mu \times m + \frac{cL}{\mu} \right)$$

Dobijanje kritičnog kliznog kruga postiže se variranjem centralnog ugla kliznog kruga $2\alpha = 30^\circ, 60^\circ, 90^\circ$ i eventualno 120° .

Međutim, ako kohezija odložene mase ima veću vrednost, kritični klizni krug izlazi iza vrha kosine — tako da se presek kliznog kru-



Sl. 1 — Definicija faktora m i raspodela naponata po Fröhlichu:
a — napon koncentrisan u sredini; b — u obliku srpa;
c — ravnomerna raspodela naponata.

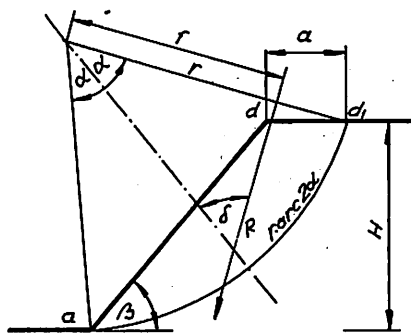
Abb. 1 — Die Definition des Faktors m und die Spannungsverteilung nach Fröhlich

Ovom metodom se izbegava opširan rad na računanju, koji se javlja kod metoda zasnovanih na podeli kliznog tela u lamele. Kod ove metode usvajaju se više mogućnosti podele naponata u kliznim površinama (slika 1), te se isti uzimaju u obzir kod određivanja koeficijenta sigurnosti preko konstante m (tablica 1).

Grafički prikaz ove metode dat je na slici 2 i 3.

ga i linije trenja udaljuje od vrha kosine B. U slučaju da se iza vrha nalazi radna mehanizacija, na primer bager guseničar, usvajaju se klizni krugovi koji prolaze kroz presečne tačke ivica gusenica sa presekom terena, pri čemu se uzima u obračun i težina mehanizacije u M_p/m^2 .

Fröhlich je na bazi svoje metode izradio dijagrame pomoću kojih se može odrediti najmanji koeficijent sigurnosti, a za razne slučajevе opterećenja tla iza kosine.



Sl. 2-3 — Grafički postupak proračuna stabilnosti Fröhlichovom metodom

Abb. 2-3 — Graphisches Rechenverfahren der Standfestigkeit mit der Methode Fröhlich

Međutim, u cilju ubrzanja procesa proračuna stabilnosti metodom Fröhlich-a izrađeni su dijagrami na bazi matematičke interpretacije geometrijskih odnosa grafičkog postupka proračuna koji omogućuju veoma brzo određivanje koeficijenta sigurnosti za najkritičniju kliznu površinu. Koristeći ove dijagrame, izvršeno je programiranje na elektronskom računaru tipa ELIOT 803B, pri čemu je utrošak vremena sveden na davanje ulaznih podataka i iscrtavanje završnih dijagrama koeficijenta sigurnosti.

Sigurnost je funkcija više promenljivih:

$$F_s = f(H, \beta, a, p, \gamma, c, \mu, r, G)$$

gdje je:

H — visina kosine

β — ugao kosine

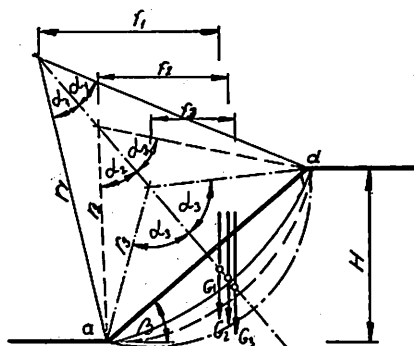
a — odstojanje iza vrha kosine

p — opterećenje mehanizacije

c — kohezija tla

μ — koeficijent trenja tla

r — poluprečnik kliznog kruga



Sl. 2-3 — Grafički postupak proračuna stabilnosti Fröhlichovom metodom

Abb. 2-3 — Graphisches Rechenverfahren der Standfestigkeit mit der Methode Fröhlich

Udeo kohezije:

$$F_c = \frac{r}{x} \times \frac{c \times L}{G}$$

Na dijagramu 3 data je skica sa novim oznakama geometrijskih elemenata kosine i to:

r — poluprečnik kliznog kruga

$2a$ — centralni ugao kliznog kruga

β — ugao kosine

l — projekcija kosine

F_1 — površina kružnog segmenta

X_1 — odstojanje težišta S_1 kružnog segmenta do centra rotacije

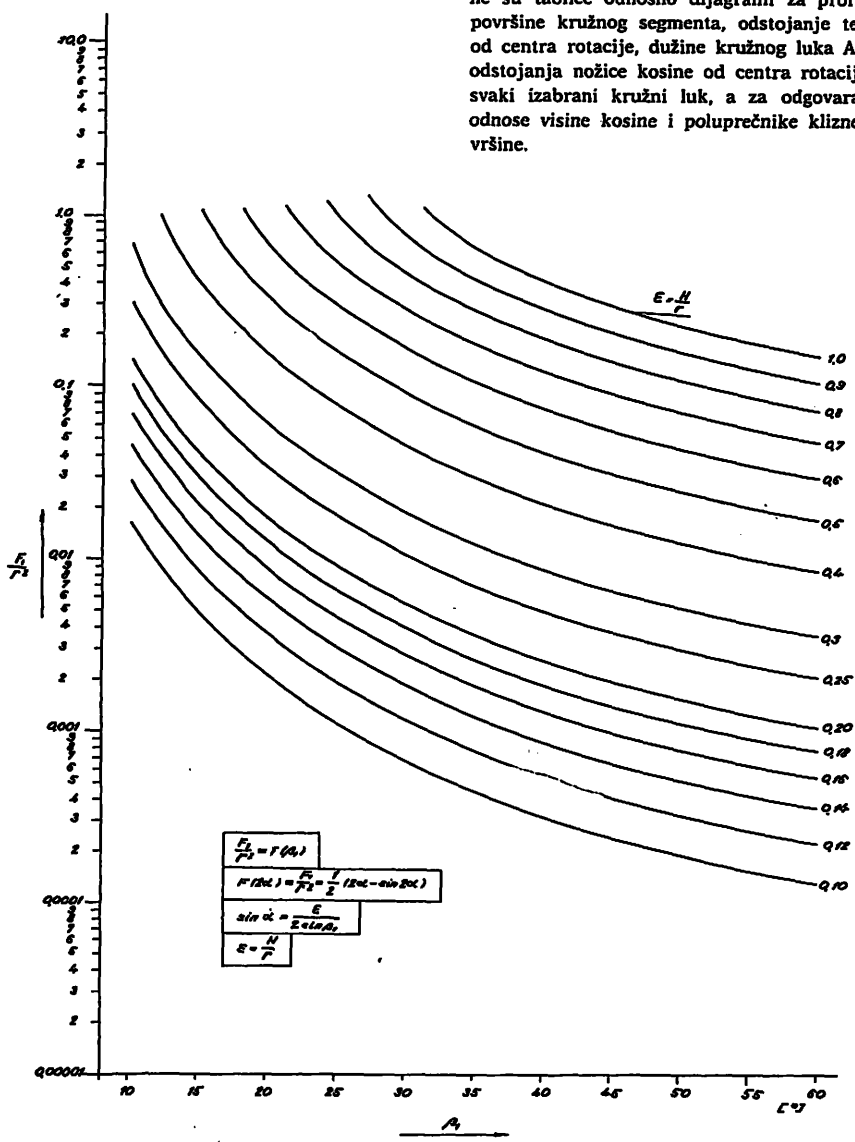
F_2 — površina trougla ABC

X_2 — odstojanje težišta S_2 do nožice kosine

X — odstojanje težišta površine ΣF do centra rotacije O

X_0 — odstojanje nožice kosine do centra rotacije.

Analizom trigonometrijskih odnosa izrade su tablice odnosno dijagrami za proračun površine kružnog segmenta, odstojanje težišta od centra rotacije, dužine kružnog luka ACD i odstojanja nožice kosine od centra rotacije za svaki izabrani kružni luk, a za odgovarajuće odnose visine kosine i poluprečnike klizne površine.



Sl. 4 — Dijagram za proračun površine kružnog segmenta
Abb. 4 — Diagramm für Oberflächenberechnung des Kreissegments

Tablica 2 (dijagram 1), slika 4.

$$\text{Odnos } \frac{F_1}{r^2} = f(\beta_1)$$

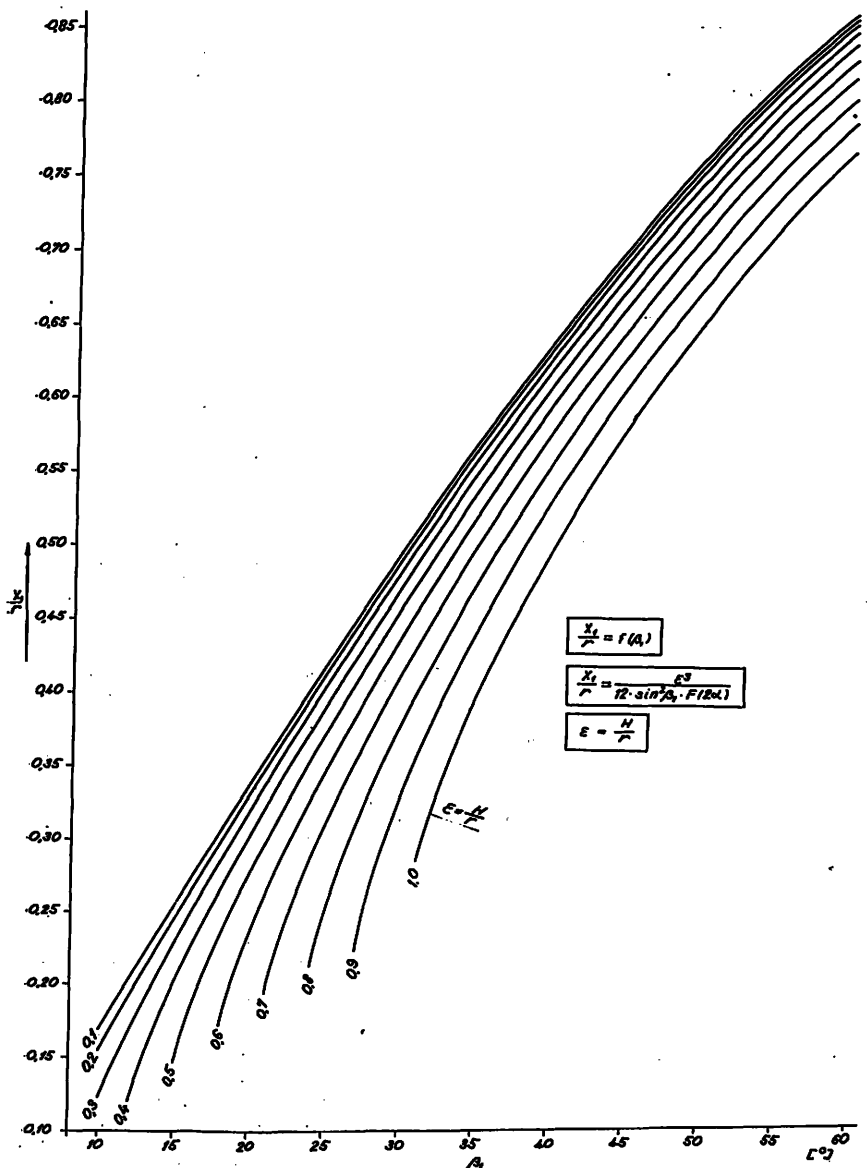
$$F(2\alpha) = \frac{F_1}{r^2} = \frac{2\alpha - \sin 2\alpha}{2}$$

$$\sin \alpha = \frac{\epsilon}{2 \sin \beta_1}$$

$$\epsilon = \frac{H}{r}$$

Tablica 2

| EPSILON | 10 | 13 | 16 | 19 | BETA 1 | | | | | | 37 | 40 |
|---------|--------|--------|--------|--------|--------|--------|--------|--------|--------|--------|--------|----|
| | | | | | 22 | 25 | 28 | 31 | 34 | | | |
| 0.10 | .01633 | .00743 | .00402 | .00243 | .00159 | .00111 | .00081 | .00061 | .00048 | .00038 | .00031 | |
| 0.12 | .02855 | .01293 | .00698 | .00422 | .00276 | .00192 | .00140 | .00106 | .00083 | .00066 | .00054 | |
| 0.14 | .04601 | .02070 | .01114 | .00672 | .00440 | .00305 | .00222 | .00168 | .00131 | .00105 | .00086 | |
| 0.16 | .06989 | .03121 | .01673 | .01008 | .00658 | .00457 | .00333 | .00252 | .00196 | .00157 | .00125 | |
| 0.18 | .10161 | .04494 | .02399 | .01442 | .00941 | .00653 | .00475 | .00359 | .00280 | .00224 | .00184 | |
| 0.20 | .14288 | .06246 | .03319 | .01990 | .01296 | .00899 | .00651 | .00494 | .00385 | .00308 | .00253 | |
| 0.22 | .19587 | .08439 | .04459 | .02665 | .01734 | .01200 | .00872 | .00659 | .00513 | .00411 | .00337 | |
| 0.24 | .26345 | .11146 | .05850 | .03485 | .02263 | .01565 | .01136 | .00857 | .00668 | .00535 | .00438 | |
| 0.26 | .34968 | .14453 | .07526 | .04467 | .02894 | .01998 | .01449 | .01093 | .00852 | .00682 | .00558 | |
| 0.28 | .46078 | .18461 | .09524 | .05628 | .03638 | .02508 | .01817 | .01370 | .01067 | .00853 | .00699 | |
| 0.30 | .60760 | .23300 | .11887 | .06990 | .04506 | .03102 | .02245 | .01691 | .01316 | .01052 | .00861 | |
| 0.32 | .81361 | .29133 | .14664 | .08575 | .05510 | .03786 | .02737 | .02060 | .01602 | .01280 | .01048 | |
| 0.34 | 1.1658 | .36184 | .17913 | .10406 | .06665 | .04570 | .03299 | .02481 | .01928 | .01540 | .01260 | |
| 0.36 | .44767 | .21702 | .12512 | .07983 | .05462 | .03938 | .02958 | .02297 | .01834 | .01500 | | |
| 0.38 | .55370 | .26116 | .14924 | .09481 | .06471 | .04658 | .03495 | .02712 | .02164 | .01769 | | |
| 0.40 | .68836 | .31259 | .17678 | .11176 | .07607 | .05466 | .04096 | .03176 | .02533 | .02070 | | |
| 0.42 | .86950 | .37271 | .20815 | .13088 | .08881 | .06369 | .04767 | .03693 | .02943 | .02404 | | |
| 0.44 | 1.1565 | .44337 | .24386 | .15236 | .10304 | .07375 | .05512 | .04266 | .03398 | .02773 | | |
| 0.46 | .52723 | .28448 | .17646 | .11889 | .08490 | .06336 | .04898 | .03899 | .03180 | | | |
| 0.48 | .62843 | .33077 | .20346 | .13651 | .09723 | .07245 | .05595 | .04449 | .03627 | | | |
| 0.50 | .75410 | .38364 | .23366 | .15603 | .11084 | .08244 | .06358 | .05052 | .04116 | | | |
| 0.52 | .91915 | .44433 | .26745 | .17765 | .12581 | .09340 | .07194 | .05711 | .04650 | | | |
| 0.54 | 1.1711 | .51449 | .30527 | .20154 | .14226 | .10539 | .08107 | .06429 | .05230 | | | |
| 0.56 | .59652 | .34767 | .22794 | .16030 | .11849 | .09100 | .07209 | .05860 | | | | |
| 0.58 | .69415 | .39532 | .25710 | .18006 | .13277 | .10180 | .08056 | .06543 | | | | |
| 0.60 | .81389 | .44909 | .28932 | .20169 | .14831 | .11352 | .08972 | .07281 | | | | |
| 0.62 | .96938 | .51011 | .32494 | .22535 | .16522 | .12622 | .09962 | .08077 | | | | |
| 0.64 | 1.2046 | .57996 | .36404 | .25123 | .18358 | .13996 | .11031 | .08934 | | | | |
| 0.66 | .66091 | .40821 | .27953 | .20352 | .15481 | .12183 | .09856 | | | | | |
| 0.68 | .75656 | .45702 | .31050 | .22515 | .17084 | .13422 | .10847 | | | | | |
| 0.70 | .87329 | .51167 | .34444 | .24863 | .18815 | .14756 | .11909 | | | | | |
| 0.72 | 1.0249 | .57327 | .38168 | .27410 | .20681 | .16188 | .13048 | | | | | |
| 0.74 | 1.2594 | .64339 | .42264 | .30175 | .22692 | .17726 | .14267 | | | | | |
| 0.76 | .72434 | .46785 | .33179 | .24861 | .19376 | .15571 | | | | | | |
| 0.78 | .81983 | .51795 | .36447 | .27199 | .21146 | .16965 | | | | | | |
| 0.80 | .93666 | .57380 | .40008 | .29721 | .23044 | .18454 | | | | | | |
| 0.82 | 1.0905 | .63655 | .43896 | .32443 | .25079 | .20045 | | | | | | |
| 0.84 | 1.3490 | .70785 | .48156 | .35383 | .27261 | .21744 | | | | | | |
| 0.86 | | .79019 | .52839 | .38363 | .29603 | .23557 | | | | | | |
| 0.88 | | .88775 | .58017 | .42008 | .32116 | .25493 | | | | | | |
| 0.90 | | 1.0086 | .63780 | .45750 | .34816 | .27560 | | | | | | |
| 0.92 | | 1.1738 | .70256 | .49825 | .37719 | .29768 | | | | | | |
| 0.94 | | | .77629 | .54281 | .40845 | .32127 | | | | | | |
| 0.96 | | | .86194 | .59174 | .44218 | .34649 | | | | | | |
| 0.98 | | | .96468 | .64584 | .47865 | .37349 | | | | | | |
| 1.00 | | | 1.0957 | .70614 | .51819 | .40242 | | | | | | |



Sl. 5 — Dijagram za proračun odstojanja težišta S_1 kružnog segmenta do centra rotacije O
 Abb. 5 — Diagramm für die Berechnung des Schwerpunktabstands S_1 des Kreissegments bis zum Umdrehungszentrum O

Tablica 3 (dijagram 2); slika 5

$$\frac{X_1}{r} = \frac{\epsilon}{12 \times \sin^2 \beta_1 \times F(2\alpha)}$$

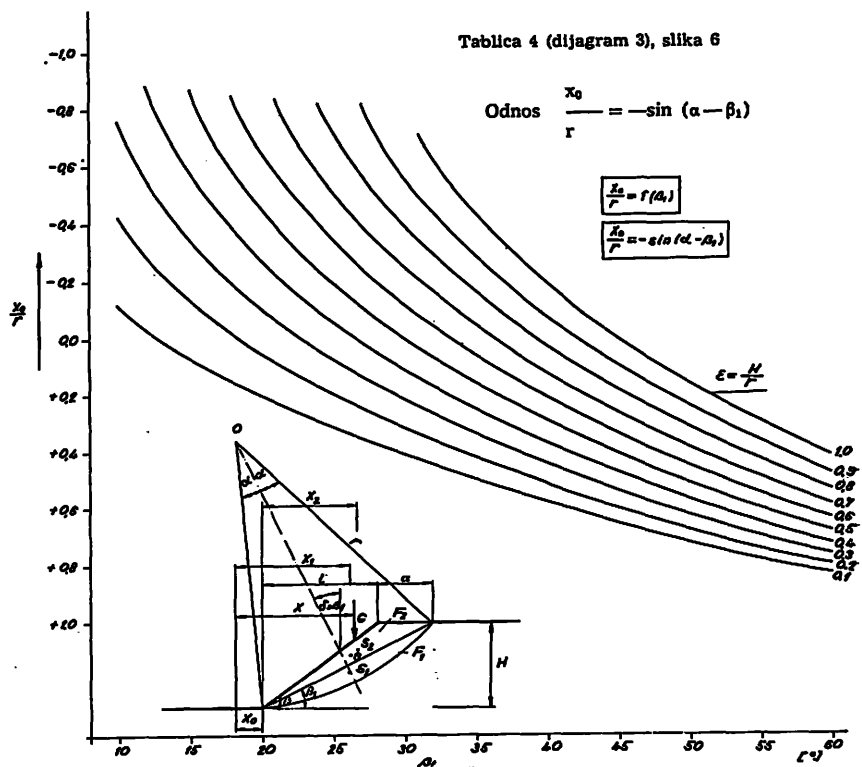
$$\text{Odnos } \frac{X_1}{r} = f(\beta_1)$$

$$\epsilon = \frac{H}{r}$$

Tablica 3

| EPSILON | BETA 1 | | | | | | | | | | 34 | 37 | 40 |
|---------|--------|--------|--------|--------|--------|--------|--------|--------|--------|--------|--------|----|----|
| | 10 | 13 | 16 | 19 | 22 | 25 | 28 | 31 | 34 | 37 | | | |
| 0.10 | 16924 | .22158 | .27289 | .32325 | .37260 | .42084 | .46787 | .51358 | .55785 | .60057 | .64162 | | |
| 0.12 | .16724 | .22007 | .27167 | .32222 | .37171 | .42005 | .46716 | .51293 | .55726 | .60002 | .64110 | | |
| 0.14 | .16483 | .21826 | .27022 | .32100 | .37065 | .41912 | .46632 | .51217 | .55655 | .59936 | .64049 | | |
| 0.16 | .16197 | .21614 | .26853 | .31958 | .36942 | .41804 | .46535 | .51129 | .55574 | .59861 | .63979 | | |
| 0.18 | .15863 | .21371 | .26659 | .31796 | .36803 | .41681 | .46425 | .51029 | .55482 | .59776 | .63899 | | |
| 0.20 | .15474 | .21092 | .26439 | .31614 | .36646 | .41542 | .46301 | .50916 | .55379 | .59680 | .63809 | | |
| 0.22 | .15024 | .20778 | .26193 | .31410 | .36471 | .41389 | .46164 | .50791 | .55264 | .59573 | .63710 | | |
| 0.24 | .14502 | .20424 | .25919 | .31184 | .36278 | .41219 | .46012 | .50654 | .55138 | .59457 | .63601 | | |
| 0.26 | .13891 | .20027 | .25616 | .30936 | .36066 | .41034 | .45847 | .50504 | .55001 | .59330 | .63482 | | |
| 0.28 | .13166 | .19582 | .25281 | .30664 | .35835 | .40832 | .45657 | .50342 | .54852 | .59192 | .63354 | | |
| 0.30 | .12281 | .19083 | .24913 | .30367 | .35585 | .40614 | .45473 | .50166 | .54691 | .59043 | .63215 | | |
| 0.32 | .11130 | .18523 | .24509 | .30045 | .35313 | .40378 | .45264 | .49977 | .54518 | .58883 | .63066 | | |
| 0.34 | .09317 | .17888 | .24067 | .29695 | .35021 | .40125 | .45039 | .49775 | .54333 | .58713 | .62907 | | |
| 0.36 | | .17163 | .23580 | .29316 | .34706 | .39854 | .44799 | .49559 | .54136 | .58531 | .62738 | | |
| 0.38 | | .16320 | .23046 | .28906 | .34368 | .39563 | .44543 | .49329 | .53927 | .58337 | .62558 | | |
| 0.40 | | .15311 | .22456 | .28463 | .34005 | .39253 | .44271 | .49084 | .53704 | .58133 | .62367 | | |
| 0.42 | | .14032 | .21803 | .27983 | .33617 | .38923 | .43981 | .48825 | .53469 | .57916 | .62166 | | |
| 0.44 | | .12129 | .21074 | .27464 | .33201 | .38571 | .43674 | .48551 | .53220 | .57687 | .61954 | | |
| 0.46 | | | .20250 | .26900 | .32756 | .38197 | .43349 | .48261 | .52958 | .57447 | .61730 | | |
| 0.48 | | | .19302 | .26287 | .32279 | .37800 | .43005 | .47956 | .52681 | .57193 | .61496 | | |
| 0.50 | | | .18181 | .25616 | .31768 | .37378 | .42641 | .47634 | .52391 | .56927 | .61249 | | |
| 0.52 | | | .16779 | .24880 | .31220 | .36930 | .42257 | .47294 | .52085 | .56648 | .60991 | | |
| 0.54 | | | .14748 | .24063 | .30631 | .36454 | .41851 | .46937 | .51765 | .56356 | .60721 | | |
| 0.56 | | | | .23146 | .29996 | .35947 | .41422 | .46562 | .51428 | .56049 | .60439 | | |
| 0.58 | | | | .22099 | .29309 | .35408 | .40970 | .46168 | .51076 | .55729 | .60144 | | |
| 0.60 | | | | .20865 | .28562 | .34834 | .40492 | .45753 | .50707 | .55394 | .59836 | | |
| 0.62 | | | | .19329 | .27745 | .34221 | .39987 | .45317 | .50320 | .55044 | .59515 | | |
| 0.64 | | | | .17110 | .26842 | .33565 | .39453 | .44860 | .49915 | .54679 | .59180 | | |
| 0.66 | | | | | .25832 | .32860 | .38887 | .44378 | .49492 | .54298 | .58831 | | |
| 0.68 | | | | | .24680 | .32101 | .38288 | .43872 | .49048 | .53900 | .58468 | | |
| 0.70 | | | | | .23324 | .31277 | .37652 | .43340 | .48584 | .53485 | .58090 | | |
| 0.72 | | | | | .21627 | .30378 | .36974 | .42779 | .48098 | .53052 | .57697 | | |
| 0.74 | | | | | .19107 | .29386 | .36251 | .42188 | .47589 | .52600 | .57287 | | |
| 0.76 | | | | | | .28276 | .35476 | .41564 | .47056 | .52128 | .56861 | | |
| 0.78 | | | | | | .27007 | .34642 | .40904 | .46496 | .51636 | .56418 | | |
| 0.80 | | | | | | .25504 | .33737 | .40204 | .45909 | .51123 | .55957 | | |
| 0.82 | | | | | | .23590 | .32750 | .39460 | .45291 | .50586 | .55477 | | |
| 0.84 | | | | | | .20500 | .31659 | .38666 | .44642 | .50025 | .54977 | | |
| 0.86 | | | | | | | .30434 | .37816 | .43956 | .49437 | .54457 | | |
| 0.88 | | | | | | | .29024 | .36901 | .43232 | .48823 | .53915 | | |
| 0.90 | | | | | | | .27328 | .35907 | .42465 | .48178 | .53349 | | |
| 0.92 | | | | | | | .25083 | .34820 | .41649 | .47501 | .52760 | | |
| 0.94 | | | | | | | | .33612 | .40779 | .46788 | .52144 | | |
| 0.96 | | | | | | | | .32246 | .39845 | .46037 | .51500 | | |
| 0.98 | | | | | | | | .30650 | .38837 | .45243 | .50826 | | |
| 1.00 | | | | | | | | .28672 | .37740 | .44402 | .50119 | | |

Tablica 4 (dijagram 3), slika 6



Sl. 6 — Dijagram za proračun odstojanja nožice kosine do centra rotacije O

Abb. 6 — Diagramm für die Berechnung des Böschungsfussabstands bis zum Umdrehungszentrum O

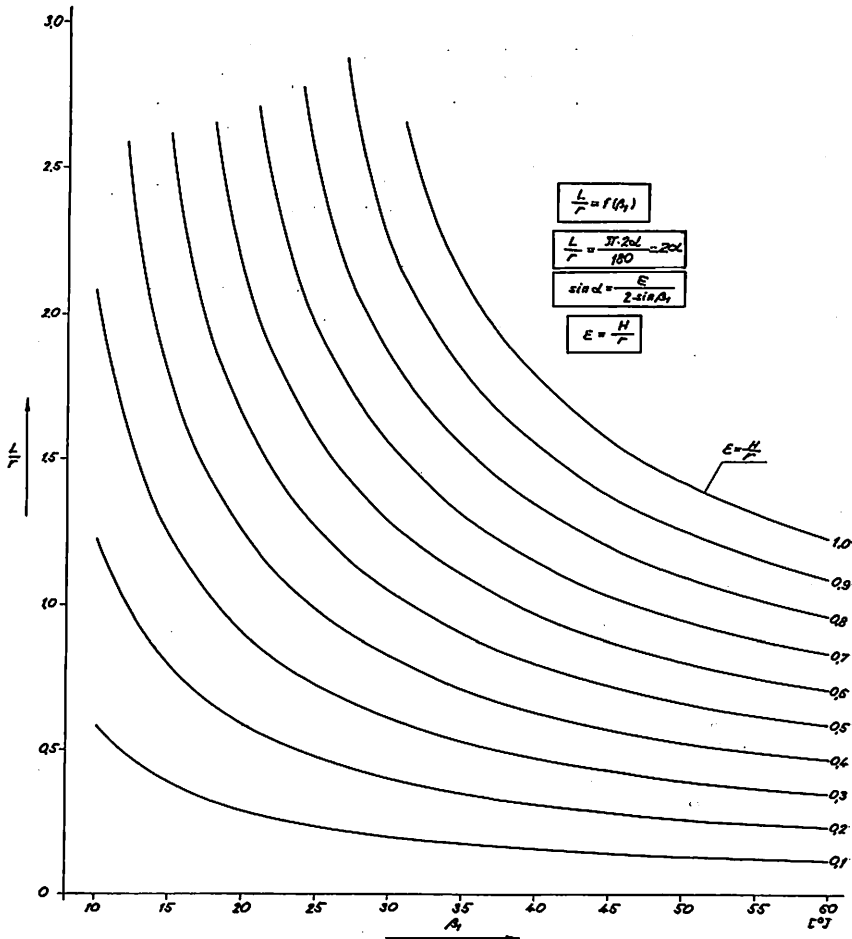
Tablica 4

| EPSILON | BETA 1 | | | | | | | | | | |
|---------|---------|---------|---------|---------|---------|--------|--------|--------|--------|--------|--------|
| | 10 | 13 | 16 | 19 | 22 | 25 | 28 | 31 | 34 | 37 | 40 |
| 0.10 | -.11727 | .00275 | .09669 | .17650 | .24750 | .31242 | .37277 | .42939 | .48283 | .53338 | .58125 |
| 0.12 | -.17732 | -.04309 | .05978 | .14574 | .22127 | .28967 | .35278 | .41167 | .46701 | .51919 | .56848 |
| 0.14 | -.23808 | -.08942 | .02248 | .11466 | .19475 | .26667 | .33257 | .39376 | .45102 | .50484 | .55554 |
| 0.16 | -.29958 | -.13627 | -.01522 | .08325 | .16796 | .24342 | .31215 | .37564 | .43484 | .49301 | .54245 |
| 0.18 | -.36191 | -.18367 | -.05334 | .05150 | .14080 | .21992 | .29150 | .35733 | .41847 | .47561 | .52920 |
| 0.20 | -.42516 | -.23165 | -.09188 | .01941 | .11350 | .19617 | .27063 | .33881 | .40192 | .46074 | .51579 |
| 0.22 | -.48948 | -.28024 | -.13088 | -.01304 | .08583 | .17216 | .24952 | .32008 | .38519 | .44570 | .50221 |
| 0.24 | -.55304 | -.32951 | -.17034 | -.04586 | .05786 | .14788 | .22819 | .30115 | .36826 | .43048 | .48848 |
| 0.26 | -.62214 | -.37951 | -.21031 | -.07906 | .02956 | .12334 | .20662 | .28201 | .35114 | .41509 | .47458 |
| 0.28 | -.69125 | -.43033 | -.25080 | -.11266 | .00095 | .09852 | .18481 | .26265 | .33383 | .39952 | .46051 |
| 0.30 | -.76321 | -.48208 | -.29186 | -.14668 | -.02800 | .07343 | .16275 | .24307 | .31631 | .38377 | .44628 |
| 0.32 | -.83992 | -.53491 | -.33354 | -.18113 | -.05730 | .04804 | .14045 | .22327 | .29860 | .36783 | .43188 |
| 0.34 | -.92871 | -.58903 | -.37589 | -.21606 | -.08695 | .02235 | .11789 | .20325 | .28069 | .35171 | .41730 |
| 0.36 | -.64475 | -.41899 | -.25147 | -.11699 | -.00364 | .09506 | .18299 | .26257 | .33540 | .40253 | |
| 0.38 | -.70255 | -.46292 | -.28742 | -.14742 | -.02996 | .07197 | .16280 | .24424 | .31890 | | |
| 0.40 | -.76332 | -.50781 | -.32395 | -.17827 | -.05660 | .04859 | .14176 | .22569 | .30220 | .37253 | |
| 0.42 | -.82897 | -.55382 | -.36110 | -.20956 | -.08360 | .02493 | .12078 | .20693 | .28531 | .35725 | |
| 0.44 | -.90599 | -.60117 | -.39894 | -.24112 | -.11095 | .00097 | .09955 | .18793 | .26821 | .34178 | |

| | | | | | | | | | | |
|------|--|--------|--------|--------|--------|--------|--------|--------|-------|-------|
| 0.46 | | —65020 | —43755 | —27358 | —13869 | —02330 | .07805 | 1.6871 | 25091 | 32613 |
| 0.48 | | —70142 | —47702 | —30639 | —16682 | —04789 | .05627 | 1.4926 | 23340 | 31028 |
| 0.50 | | —75577 | —51750 | —33979 | —19538 | —07281 | .03422 | 1.2956 | 21567 | 29124 |
| 0.52 | | —81521 | —56115 | —37424 | —22440 | —09809 | .01168 | 1.0961 | 19772 | 27800 |
| 0.54 | | —88614 | —60222 | —40860 | —25389 | —12373 | —01176 | 0.8940 | 17955 | 26156 |
| 0.56 | | —64706 | —44417 | —28391 | —14977 | —03372 | 0.6892 | 16114 | 24491 | |
| 0.58 | | —69425 | —45065 | —31449 | —17622 | —05701 | 0.4818 | 14249 | 22804 | |
| 0.60 | | —74479 | —51818 | —34568 | —20310 | —08064 | 0.2714 | 12360 | 21096 | |
| 0.62 | | —80083 | —55697 | —37756 | —23046 | —10463 | 0.0581 | 10445 | 19365 | |
| 0.64 | | —86939 | —59727 | —41019 | —25832 | —12901 | —01584 | 0.8503 | 17611 | |
| 0.66 | | —63949 | —44367 | —28672 | —15378 | —03781 | 0.6535 | 15833 | | |
| 0.68 | | —68427 | —47812 | —31571 | —17899 | —06011 | 0.4537 | 14031 | | |
| 0.70 | | —73275 | —51371 | —34536 | —20466 | —08278 | 0.2511 | 12203 | | |
| 0.72 | | —78745 | —55065 | —37573 | —23081 | —10582 | 0.0453 | 10349 | | |
| 0.74 | | —85722 | —58925 | —40690 | —25750 | —12927 | —01637 | 0.8467 | | |
| 0.76 | | —62996 | —43899 | —28477 | —15313 | —03761 | 0.6657 | | | |
| 0.78 | | —67355 | —47213 | —31267 | —17745 | —05920 | 0.4617 | | | |
| 0.80 | | —72140 | —50652 | —34127 | —20226 | —08117 | 0.2646 | | | |
| 0.82 | | —77675 | —54240 | —37064 | —22759 | —10354 | 0.0613 | | | |
| 0.84 | | —85372 | —58013 | —40090 | —25349 | —12624 | —01394 | | | |
| 0.86 | | —62029 | —43215 | —28041 | —15158 | —07458 | 0.3467 | | | |
| 0.88 | | —63340 | —46558 | —32223 | —17458 | —05578 | | | | |
| 0.90 | | —71252 | —59940 | —33519 | —19757 | —07729 | | | | |
| 0.92 | | —77131 | —53391 | —36402 | —22239 | —09923 | | | | |
| 0.94 | | —61213 | —42476 | —27396 | —14452 | | | | | |
| 0.96 | | —65686 | —45702 | —30085 | —16794 | | | | | |
| 0.98 | | —70859 | —49089 | —32859 | —19193 | | | | | |

Tablica 5

| BETA I RPNLON | BETA I | | | | | | | | | | |
|------------------|--------|--------|--------|--------|--------|---------|--------|--------|--------|--------|--------|
| | 10 | 13 | 16 | 19 | 22 | 25 | 28 | 31 | 34 | 37 | 40 |
| 0.10 | 58415 | .44829 | .36482 | .30838 | .26775 | .23718 | .21341 | .19447 | .17907 | .16636 | .15573 |
| 0.12 | 70560 | .53299 | .43887 | .37071 | .32177 | .28491 | .25631 | .23352 | .21501 | .19973 | .18696 |
| 0.14 | 82983 | .63287 | .51354 | .43340 | .37594 | .33280 | .29932 | .27267 | .25102 | .23316 | .21823 |
| 0.16 | 95757 | .72718 | .58895 | .49633 | .43043 | .38089 | .34248 | .31192 | .28711 | .26665 | .24956 |
| 0.18 | 1.0897 | .82322 | .66523 | .56018 | .48525 | .42920 | .38580 | .35129 | .32330 | .30022 | .28095 |
| 0.20 | 1.2274 | .92132 | .74253 | .62440 | .54045 | .47777 | .42930 | .39080 | .35959 | .33388 | .31241 |
| 0.22 | 1.3720 | 1.0219 | .82102 | .68931 | .59607 | .52663 | .47301 | .43047 | .39601 | .36763 | .34395 |
| 0.24 | 1.5259 | 1.1253 | .90086 | .75498 | .65217 | .57581 | .51695 | .47031 | .43255 | .40148 | .37556 |
| 0.26 | 1.6920 | 1.2323 | .98229 | .82151 | .70881 | .62535 | .56115 | .51034 | .46925 | .43546 | .40730 |
| 0.28 | 1.8755 | 1.3435 | 1.0655 | .88902 | .76604 | .67529 | .60563 | .55058 | .50611 | .46956 | .43912 |
| 0.30 | 2.0856 | 1.4598 | 1.1509 | .95764 | .82395 | .72568 | .65042 | .59105 | .54314 | .50380 | .47106 |
| 0.32 | 2.3434 | 1.5828 | 1.2386 | 1.0275 | .88266 | .76755 | .69555 | .63177 | .58036 | .53820 | .50312 |
| 0.34 | 2.7309 | 1.7135 | 1.3292 | 1.0988 | .94207 | .82796 | .71406 | .67276 | .61780 | .57275 | .53531 |
| 0.36 | 1.8552 | 1.4232 | 1.1716 | 1.0025 | .87995 | .78697 | .71405 | .65546 | .60749 | .56765 | |
| 0.38 | 2.0117 | 1.5211 | 1.2463 | 1.0639 | .93259 | .83332 | .75566 | .69336 | .64241 | .60014 | |
| 0.40 | 2.1907 | 1.6238 | 1.3230 | 1.1264 | .98593 | .88016 | .79762 | .73152 | .67754 | .63703 | |
| 0.42 | 2.4083 | 1.7324 | 1.4021 | 1.1902 | 1.0401 | .92751 | .83995 | .76996 | .71289 | .66562 | |
| 0.44 | 2.7212 | 1.8484 | 1.4839 | 1.2554 | 1.0950 | .97544 | .88268 | .80871 | .74747 | .69864 | |
| 0.46 | 1.9742 | 1.5690 | 1.3222 | 1.1509 | 1.0240 | .94240 | .89525 | .82743 | .78430 | .73186 | |
| 0.48 | 2.1133 | 1.6578 | 1.3907 | 1.2179 | 1.1079 | .96950 | .88719 | .82040 | .76529 | | |
| 0.50 | 2.2772 | 1.7511 | 1.4612 | 1.2660 | 1.1231 | 1.0136 | .92693 | .85679 | .81984 | .77984 | |
| 0.52 | 2.4647 | 1.8495 | 1.5368 | 1.3253 | 1.1861 | 1.0582 | .96717 | .89348 | .83284 | | |
| 0.54 | 2.7364 | 2.0707 | 1.6584 | 1.4848 | 1.2781 | 1.1496 | 1.0489 | .96785 | .90142 | | |
| 0.56 | 2.1980 | 1.7707 | 1.5125 | 1.3317 | 1.1962 | 1.0904 | 1.0056 | .93613 | | | |
| 0.58 | 2.3437 | 1.8574 | 1.5786 | 1.3864 | 1.2436 | 1.1325 | 1.0437 | .97115 | | | |
| 0.60 | 2.5206 | 1.9494 | 1.6470 | 1.4425 | 1.2917 | 1.1752 | 1.0823 | 1.0065 | | | |
| 0.62 | 2.7712 | 2.0481 | 1.7180 | 1.4999 | 1.3408 | 1.2185 | 1.1213 | 1.0422 | | | |
| 0.64 | 2.1556 | 1.7920 | 1.5590 | 1.3909 | 1.2625 | 1.1608 | 1.0783 | | | | |
| 0.66 | 2.2725 | 1.8697 | 1.6198 | 1.4420 | 1.3071 | 1.2008 | 1.1147 | | | | |
| 0.68 | 2.4127 | 1.9517 | 1.6826 | 1.4943 | 1.3526 | 1.2413 | 1.1516 | | | | |
| 0.70 | 2.5813 | 2.0389 | 1.7477 | 1.5479 | 1.3989 | 1.2825 | 1.1889 | | | | |
| 0.72 | 2.8276 | 2.1329 | 1.8155 | 1.6030 | 1.4461 | 1.3243 | 1.2267 | | | | |
| 0.74 | 2.2357 | 1.8863 | 1.6596 | 1.4943 | 1.3668 | 1.2650 | | | | | |
| 0.76 | 2.3507 | 1.9608 | 1.7181 | 1.5436 | 1.4100 | 1.3039 | | | | | |
| 0.78 | 2.4843 | 2.0397 | 1.7786 | 1.5942 | 1.4541 | 1.3433 | | | | | |
| 0.80 | 2.6516 | 2.1240 | 1.8415 | 1.6460 | 1.4990 | 1.3834 | | | | | |
| 0.82 | 2.9189 | 2.2152 | 1.9071 | 1.6994 | 1.5449 | 1.4241 | | | | | |
| 0.84 | 2.3156 | 1.9759 | 1.7544 | 1.5918 | 1.4356 | 1.3243 | | | | | |
| 0.86 | 2.4292 | 2.0484 | 1.8114 | 1.6399 | 1.4879 | 1.3879 | | | | | |
| 0.88 | 2.5638 | 2.1256 | 1.8784 | 1.7401 | 1.5951 | 1.45510 | | | | | |
| 0.90 | 2.7392 | 2.2052 | 1.9320 | 1.7401 | 1.5951 | 1.46401 | | | | | |
| 0.92 | 2.2990 | 1.9964 | 1.7924 | 1.6401 | | | | | | | |
| 0.94 | 2.3992 | 2.0642 | 1.8466 | 1.6863 | | | | | | | |
| 0.96 | 2.5154 | 2.1611 | 1.9027 | 1.7337 | | | | | | | |
| 0.98 | 2.6571 | 2.2130 | 1.9612 | 1.7825 | | | | | | | |



Sl. 7 — Dijagram za proračun dužine kružnog luka
Abb. 7 — Diagramm zur Berechnung des Kreisbogenlänge

Tablica 5 (dijagram 4) slika 7

$$\begin{aligned} \text{Odnos } \frac{L}{r} &= f(\beta_1) & \frac{L}{r} &= 2\alpha \\ \sin \alpha &= \frac{\epsilon}{2 \times \sin \beta_1} & H \\ \epsilon &= \frac{H}{r} \end{aligned}$$

Sema računskog postupka:

$$1. \quad 1 = \frac{H}{\operatorname{tg} \beta}$$

2. Izbor odstojanja ϵ iša iz vrha kosine do kliznog kruga i proračun ugla β_1

$$\operatorname{tg} \beta_1 = \frac{H}{1 + a} \quad (\beta_1 = \delta)$$

I. Proračun poluprečnika »r« za izabrane vrednosti elemenata kosine i centralnog ugla 2α

$$4. \text{ Određivanje koeficijenta } \epsilon = \frac{H}{r}$$

$$5. \text{ Iz tablice 2 za } \beta_1 \text{ i } \epsilon \text{ odrediti odnos } \frac{F_1}{r^2}$$

$$6. \text{ Iz tablice 3 odrediti vrednost } \frac{X_1}{r} \text{ za dato } \beta_1 \text{ i } r.$$

$$7. \text{ Tablica 4 daje vrednost } \frac{X_0}{r} \text{ za poznato } \beta_1 \text{ i } r.$$

$$8. \text{ Dužinu kružnog luka } »L« \text{ odrediti iz tablice 5 za odgovarajuće } \beta_1 \text{ i } \epsilon.$$

$$9. \text{ Površina } »F_2« \text{ dobija se iz } F_2 = \frac{a \times H}{2}$$

$$10. \text{ Vrednost odstojanja } X_2 = \frac{2}{3} (H + \frac{a}{2})$$

II. Odstojanje težišta »X« određuje se iz:

$$X = \frac{F_1 \times X_1 + F_2 (X_2 \pm X_0)}{\Sigma F}$$

$$\text{Faktor sigurnosti } F_s = F_\phi + F_g$$

$$F_\phi = \frac{r}{X} \lg \varphi \times \cos \delta \times m + \frac{r}{X} \times \frac{c \times L}{G} = \\ = \frac{r}{X} \left(\frac{c \times L}{G} + \lg \varphi \times \cos \delta \times m \right)$$

Iskustvo je pokazalo da dobijanje odgovarajućih podataka iz tablica 2–5 zahteva veoma precizno očitavanje, što u protivnom uslovljava pojavu greške i do 10% u očitavanim vrednostima.

Međutim, da bi se izbegle greške u očitanju odgovarajućih vrednosti sa dijagrama izrađene su tablice za vrednosti β_1 od 10° – 60° u intervalu od 30 min. i odnosa H/r od 0,1 do 1,0 u intervalu od 0,02. Pošto se iz tehničkih razloga, zbog obimnosti tablica, iste ne mogu u ovome članku publikovati u celini, to će odgovarajuće tablice biti date za uglove β_1 od 10° do 40° u intervalu od po 3° , a za vrednosti $\epsilon = H/r$ od 0,10 do 1,0 u intervalima od 0,02 (tablice 2–5).

Utrošak vremena za proračun sistema odlagališta za 250 kliznih krugova na osnovu programirane Fröhlich-ove metode na računskoj mašini tipa ELIOT 803 smanjuje vreme rada za 95% u odnosu na grafički način proračuna.

Analizirajući radne uslove, fizičko-mehaničke karakteristike tla na našim velikim površinskim otkopima, kao i primjenjujući mehanizaciju na otkopavanju i odlaganju i ostale uslove, Fröhlich-ova metoda omogućava izradu kompletnih dijagrama za utvrđivanje stabilnosti pojedinačnih radnih kosina, što bi za inženjere u praksi bilo od velike koristi za slučajevne provore stabilnosti u procesu otkopavanja i odlaganja, čime se daje mogućnost korigovanja već utvrđenih radnih uglova za određenu vrstu materijala i mehanizaciju.

ZUSAMMENFASSUNG

(Graphische und mathematische Darstellung der Böschungsstandfestigkeitsberechnung nach der Methode Fröhlich)

Dipl. Ing. R. Obradović – Dipl. Ing. J. Radojević*)

Für die Standfestigkeitsberechnung in den Tagebaubetrieben und Abraumkippen ist besonders die Methode Fröhlich passend, die die Sicherheitsfaktorberechnung bei mässigem Rechnungsweg und graphische Zeichnung ermöglicht. Ausserdem hat diese Methode den Vorteil, dass auch Berechnungen für verschiedene Elemente des Bodeninnenwiderstands ausgeführt werden können.

Zwecks Beschleunigung des Rechenverfahrens für die Auffindung der kritischen Höchstfälle wurden Diagramme ausgearbeitet, die in diesem Aufsatz besprochen wurden und die eine sehr schnelle Programmierung des ganzen Rechenverlaufs möglich machen.

*) Dipl. ing. Radmilo Obradović i dipl. ing. Jovan Radojević, saradnici Zavoda za ekspluataciju mineralnih sirovina u Rudarskom institutu, Beograd.

Primena jedne od masovnih otkopnih metoda za dobivanje zasipnog materijala u rudniku Kopaonik — Belo Brdo

(sa 3 slike)

Dipl. ing. Ratomir Đodić

Uvod

Ležište Kopaonik — Belo Brdo genetski padi metasomatskom tipu ležišta. U kompleksnoj polimetaličnoj mineralnoj paragenezi ističu se svojim intenzitetom sulfidni minerali olova, cinka i srebra, a slabije bizmuta, kadmijuma itd. Prema morfološkoj klasifikaciji (S. A. Fahrmeeva) to je pločasto rudno telo (sočiva i žice) epigenetskog tipa. Generalni pad rudnog ležišta je oko 40°, mnoćnosti od nekoliko desimetara do 10, 15 i više metara.

Neposrednu krovinu (povlatu) čini masivan, jedar i kompaktan, a u manjoj meri i laporvit krečnjak. Podina je od silifikovanog škriljca i stena podinske serije. Krovinski kontaci rude i krečnjaka je ravnomeren i vrlo oštro izražen. Podina je promenljivog nagiba.

Rudno ležište otvoreno je potkopima na kotti 1000 i 1235 m koji su spojeni sa dva sela, pa okna br. 14 i 15, na medusobnoj udaljenosti oko 700 m. Deo rudnog ležišta iznad horizonta 1235 otvoren je potkopom na kotti 1334 m, a između njih horizontom 1285 m, koji ne ima neposrednu vezu sa površinom. Između horizonta 1000 i 1235 m rudno ležište je razrađeno horizontima 1055, 1105, 1155 i 1195 m i to iz slepih okana broj 14 i 15.

Eksploatacija ovog ležišta vršena je od samog početka otkopavanjem u horizontalnim etažama sa zasipavanjem otkopanih prostora. Sve do 1965. godine, dominirale su sledeće varijante:

- otkopavanje u horizontalnim etažama sa podgradivanjem kvadratnim sloganima i potpunim zasipavanjem otkopanih prostora;
- otkopavanje prečnim hodnicima sa podgradivanjem trapeznim okvirima i potpunim zasipavanjem otkopanih prostora.

Ove dve varijante primenjivane su za otkopavanje rudnih tela sa trošnom i izrazito raspučalom rudom, kao i slabom povlatom. Da-nas je prva varijanta praktično eliminisana,

dok je učešće druge svedeno na najmanju mjeru (par otkopa i otkopavanje ploča rude ispod viših horizonata).

Novijsa varijanta otkopavanja u horizontalnim etažama po celoj površini rudnog tela sa ili bez delimične podgrade i zasipavanjem otkopanih prostora (*scut and fill*), imala je u eksploataciji ovog ležišta učešće: u 1964. godini 27%, 1965. godini 58%, 1966. godini 67,5%, a danas učešće je oko 90%. U cilju uvođenja mehanizacije radnih operacija, a samim tim i povećanja intenziteta eksploatacije otkopna visina je sa 2 m povećana na 3–4 m.

Obaranje rude vrši se kratkim horizontalnim minskim bušotinama (1,6 m), a utovar iste i prevoz po otkopu od čela radilišta do rudne sipke vrši se utovarno-transportnim mašinama TZGH i ručno malim vagonetima sa bočnim prevrtanjem.

Problem zasipavanja

Dobijanje zasipnog materijala do sada (i uglavnom još uvek) vrši se iz zasipnih uskopa, sl. 1 i 1a, a u manjoj meri iz zasipnih hodnika. Ovi radovi, kao po pravilu, izvode se u krovinskom krečnjaku. Za nivo godišnje proizvodnje rude potrebno je dobiti i ugraditi oko 23.000 m³ zasipnog materijala. Oko 17.000 m³ dobija se iz zasipnih uskopa i hodnika, dok se oko 6.000 m³ dobija od iskopa iz istražno-pripremних radova. Za potrebe zasipavanja jedne etaže, rade se najčešće 1–2 zasipna uskopa, što zavisi od njene površine. Površina etaže određuje i dužinu uskopa. Zasipni uskopi se izrađuju neposredno iz otkopa pod ugлом 40–45°, visine 1,2–1,6 m, a širina im se povećava od donjeg dela ka čelu do 6 m. Jedina prednost, koja ide u prilog ovakvom načinu dobijanja zasipnog materijala, je u tome, što materijal oboren sa čela uskopa gravitacijski dolazi do otkopanog prostora rudnog tela.

Ugrađivanje zasipnog materijala u otkopane prostore rudnih tela obuhvatalo je sledeće radne operacije: utovar, odvoz i pražnjenje vagoneta, a zatim ručno zabacivanje materijala do krovne otkopa. Ovaj postupak korišćen je pri otkopavanju rudnih tela kod kojih su ruda i bokovi manje čvrstoće i stabilnosti. Delovi rudnog ležišta koji se danas nalaze u fazi otkopavanja, a i u doglednoj budućnosti, odlikuju se znatno većom čvrstoćom i stabilnošću ruda i bokova, radi čega je povećana otkopna visina etaže. Ovim je znatno umanjen broj pripremних radova za neposredno otkopavanje. Isto tako površina rudnih otkopa u centrali postala je aktivna, za razliku od ranije, kada je bio aktivan samo onaj deo koji je zadržavao širinu otkopnog hodnika, odnosno jednog ili dva kvadratna sloga, već prema konkretnim uslovima. Ovakvo povećanje otkopne visine i širine omogućilo je i uvođenje mehanizacija na otkopima, kao i permanentno poboljšanje kapaciteta rudnika. Međutim, pitanje dobitljanja zasipnog materijala kao jedan od osnovnih problema ostalo je nerešeno.

Povećanjem otkopne visine modificiran je postupak prevoza i ugrađivanja zasipnog materijala po otkopu. Naime, na ustima za

Istovremeno je počelo uvođenje skrepera za razvlačenje zasipnog materijala po otkopu. Radi male količine materijala kapacitet skrepera iskorišćen je sa 10–15%.

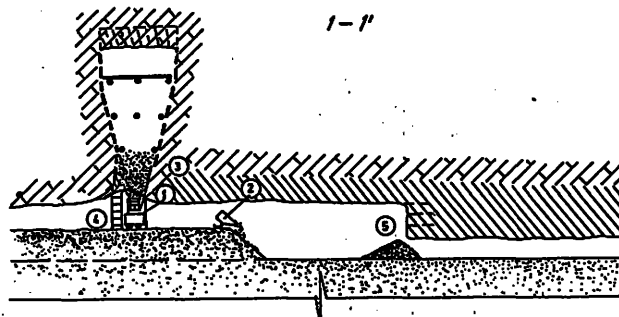
Nedostaci dobijanja zasipnog materijala iz zasipnih uskopa, a posebno iz zasipnih hodnika, bili bi sledeći:



Sl. 1 — Zasipni uskopi na trećoj etaži jednog otkopa
Рис. 1 — Восстаяние для добычи заладочной породы на третьем горизонте одного забоя.

1 — punjenje vagona;
2 — pražnjenje; 3 — imenovanje uskopa; 4 — stube;
5 — otkopno telo

1 — напрежата ваго-
нска; 2 — пустогрушка; 3 —
именоване ускопа; 4 —
шубе; 5 —
откопно тело.



sljednjeg uskopa izrađuje se improvizovana sipeka, na regulisano točenje materijala iz uskopa. U uskopa se najpre ispusti materijal u otkop gde određene količine, a zatim se isti poravnava i olivaju jedan plato, čija je visina do krova oko 1,3 m, površine do 20 m². Posle toga se u uskopa u pravcu zasipavanja postavi kolosek na vagonete prevrtiče u koj se stodi materijal iz uskopa. Sanduk vagoneta sa materijalom prevrće se na kraju kosine platoa, a zatim se materijal poravna ručno lopatom (sl 1a).

- niski učinci (oko 2 m³/n);
- velika potrošnja normiranog materijala i energije (oko 2 kg eksploziva/m³, 2 kom. elek. upaljača itd.);
- sporu pripremanje otkopa za otkopavanje naredne etaže (nizak intenzitet otkopavanja), zasipavanje traje po jedan pa čak i dva meseca;
- nizak stepen iskorišćenja mehanizacija pri razvlačenju male količine oborenog zasipnog materijala;

- kod dobijanja materijala iz zasipnih hodnika, on se ručno (isključivo) pretvaraju i po dva puta;
- poremećaj stabilnosti otkopa i nesiguran način rada, što uslovljava dodatne troškove na podgradivanju.

Faktor zasipavanja iznosi oko $0,250 \text{ m}^3/\text{t}$ (materijala po toni rude). Ova količina zasipnog materijala tereti tonu rude sa oko 25,00 dinara.

Uvodjenje masovne otkopne metode za dobivanje zasipnog materijala

Dobivanje zasipnog materijala uz visoke troškove i u malim količinama, a takođe i nizak stepen iskorишćenja mehanizacije, odavno su nametali potrebu za novom tehnologijom, kojom bi se ovi problemi rešili. Stečeno isku-

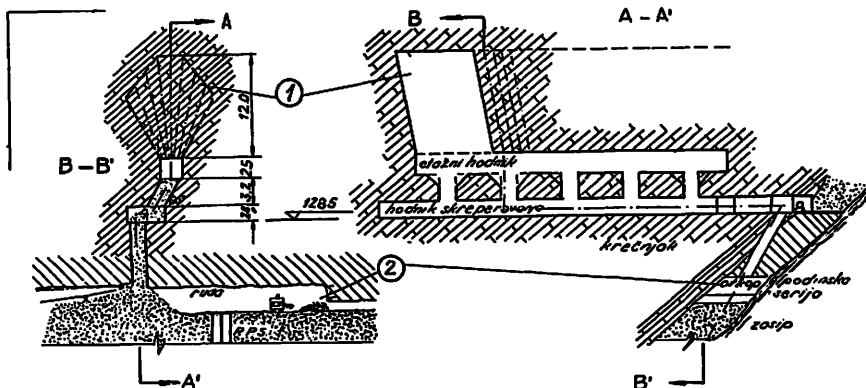
nata. Na sl. 2 prikazan je zasipni otkop u prečnom i uzdužnom preseku sa pripremnim radovima. Osnovni parametri pripremnih radova i zasipnog otkopa, kao i njihov redosled izrade, bili bi sledeći:

— skreperski hodnik širine 2,5 m i visine 2 m radi se od zasipnog uskopa u pravcu otkopnog čela sa usponom oko 3%

— kratki prečnici (niše) — izrađuju se samo na jednoj strani skreperskog hodnika, dužine 1,8 m, visine 2 m i širine 2 m na međusobnom rastojanju od 5 m

— kratki uskopi (sipke za zasip) — izrađuju se iz niša, pod uglom od 60° , dužine 3,6 m, širine 2 m i visine 1,5 m

— etažni hodnik — izrađuje se na 3,2 m od krova skreperskog hodnika, profila $2,5 \times 2,5 = 6,25 \text{ m}^2$



Sl. 2 — Podeljena otkopna metoda za masovno dobivanje zasipnog materijala na horizontu 1285 m

Рис. 2 — Поделенная система разработки для мас совой добычи заладочного материала на горизонте 1285 м

stvo zasipavanja otkopa krečnjakom iz krovine, koje se pokazalo vrlo pogodno, dalo je povoda da se za dobivanje većih količina ovog materijala primeni jedna masovna otkopna metoda. Na rudniku je izrađena studija jedne varijante podeljene otkopne metode za masovno dobivanje zasipnog materijala (3).

U cilju realizacije masovnog dobivanja zasipnog materijala izrađen je probni otkop i do sad je dobiveno nekoliko hiljada kubnih metara zasipnog materijala.

Zasipni otkop ima pružanje upravno ili privlačno upravno na rudno telo, a dobiveni materijal iz jednog zasipnog otkopa služi za zasipavanje otkopanih prostora na više horizo-

— levci za točenje zasipa uskcesivno se proširuju sa napredovanjem čela otkopa. Površine su $2,5 \times 5 = 12,5 \text{ m}^2$

— uskop za zasek — izrađuje se iz etažnih hodnika pod uglom od 80° i dužine 12 m, što odgovara i visini otkopa

— kosi zasek izrađuje se jednovremenim miniranjem dubokih minskih bušotina, a profil mu je identičan profilu otkopa, čija površina iznosi 83 m^2 .

Obaranje materijala vrši se lepezama minskih bušotina, dužine 8,5—12 m, $\phi 54 \text{ mm}$, koje se za sada izrađuju bušacom garnitutrom proizvodnje „Atlas Copco“, koju poseduje rudnik, a čiji je učinak prosečno 20 m^3 na smenu. Bu-

bušačko-minerski radovi se izvode iz etažnog hodnika. Lepeze su na rastojanju jedna od druge 1 m, a pod uglom od 80° . Pune se stubno, ispraklano eksplozivom — pojačanim amonijumom, $\phi 44$ mm, a miniranje se vrši detonirajućim Ataplnom i milisekundnim upaljačima. Utovar materijala u skreperskom hodniku vratio se mehaničkom lopatom umesto skrepom. Pokazalo se, da se materijal izvanredno dobro i usitnjava. Iskorisćenje dužine minskih bušotina je potpuno. Oboren materijal se utezom ravnomerno toči; bokovi i svi elementi rasipnog eksploata ostaju stabilni. Prvi eksperiment izveden je na horizontu 1285 m i dobiveni su sledeći osnovni tehnički pokazateli:

| | |
|---|-------|
| utrošak na obaranju materijala m^3/n | 12,5 |
| utrošak na utovaru materijala m^3/m | 7,50 |
| potrošnja eksploziva kg/m^3 | 0,260 |
| potrošnja detonirajućeg štapina m^3/m^3 | 1,34. |

Za sekundarno miniranje skoro u potpunosti iskoristljivo.

U poređenju sa ranijim načinom dobivanja rasipnog materijala, učinci su veći za šest puta, a potrošnja eksplozivnog materijala manja za osam puta. Provetranje radišta je difuzno, bez upotrebe ventilatora, a kao prolaz do radišta služi bilo koja sipka snabdevena vrućom jednom leštvom.

Ovaj je prvi deo zadatka ispunjen u potpunosti, jer su potvrđene sve pretpostavke o mogućnosti masovnog dobivanja zasipnog materijala. Jednim miniranjem na zasipnom otoku Nr. 713 dobiveno je $450 m^3$ zasipnog materijala, dok je ranije iz zasipnih uskopa u najboljem slučaju jednim miniranjem dobiveno oko $20 m^3$.

Mogućnost postizanja veće efektivnosti u dohvitanju zasipnog materijala

Kad uvođenja masovne otkopne metode osnovni problem predstavlja izbor odgovarajuće mehaničke opreme.

Kad postizanja većeg učinka na bušenju bušotina, odabran je bušači čekić tipa štamputa Junlora, čiji kapacitet bušenja iznosi više od $100 m^3/\text{smena}$. Za godišnju proizvodnju od $24,000 m^3$ materijala u rastresitom stanju dovoljan je jedan čekić. Za dopremu materijala do zasipnog uskopa, potreban je jedan skreperski uredaj sa snagom pogonskog motora od 25 kW .

Skrepersku korpu treba da ima zapreminu od oko $1 m^3$ sa visinom od $0,63$ m, dužinom $1,60$ m, alinom $1,26$ m i nagibom zadnje strane od oko 50° .

Prirodno pravilno odabrane mehanizacije, produktivnosti otkopne metode zavisi i od pravilno odabranih konstruktivnih parametara pripremljnih radova.

Kao jedan od osnovnih problema javlja se veličina i položaj etažnog hodnika iz koga se izvode bušačko-minerski radovi prema veličini i položaju skreperskog hodnika. Ove dve osnovne komunikacije spojene su međusobno nišama, sipkama i levcima na svakih 5 m. Ako su ove prostorije veće zapremine, to ima za posledicu njihovu sporiju i skuplju izradu. Sa druge strane, zbog manjih dimenzija može doći do formiranja svodova od krupnih blokova, čime se znatno smanjuje intenzitet točenja, a raste obim sekundarnog miniranja, zastoje mehanizacije i sl. Sledeci problem je pitanje stabilnosti ovih prostorija u procesu masovnog miniranja i izvođenju ostalih radnih operacija, a naročito stabilnost otvara točenja pri sekundarnom miniranju. O veličini ovih parametara u literaturi se nalaze različiti podaci. Kod mnogih rudnika rastojanje između nivoa hodnika skrepovanja i prvog etažnog hodnika iznosi $5-8$ m. U drugim rudnicima kao indikator pravilnosti veličine ovih odnosa koristi se odnos zapremine pripremljnih prostorija i prostorija podsecanja prema ukupnoj zapremini pripremljenog bloka. Kod nekih varijanti podetažnih otkopnih metoda količinski udio rude iz pripremljenih objekata i radova na podsecanju prema veličini bloka iznosi $23-30\%$ (1).

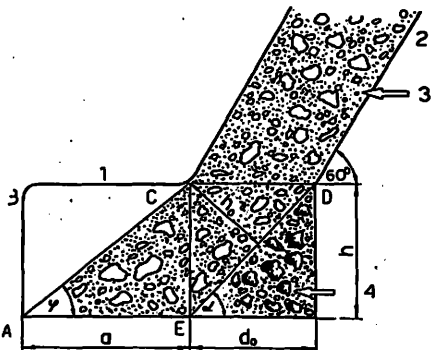
U našem slučaju, imali smo u vidu iznete kriterijume, ali se nismo rukovodili istima, već našim konkretnim uslovima, jer se radi o jačolini. Kako se iz izloženog i sl. 2 vidi, zapreminski obim pripremljnih radova, u odnosu na veličinu bloka, ima udio sa svega $16,8\%$. Pored toga, objekti u svim fazama rada imaju sasvim zadovoljavajuću stabilnost, jer je krećnjak dovoljno čvrst i otporan, što se uočilo pri izvođenju bušačko-minerskih radova.

Minirani materijal je vrlo dobrog granulometrijskog sastava i toči se nesmetano i ravnomerno.

Posebno pitanje predstavlja funkcionalna zavisnost skreperskog hodnika, niša i sipki, kroz koje se materijal toči, odnosno transportuje.

Pri svim postojećim šemama točenja oborene rude ili materijala iz blokova i otkopnih čela kroz levkove, sipke i niše, ruda ili materijal koji je u pokretu, treba da je usmeren na stranu skrepovanja, odnosno utovara. Veličina tog otklona određuje konstrukciju i razmere prostorija točenja i utovara. Pri točenju materijala iz sipki i niša, gornja površina materijala ima pad koji odgovara nagibu prirodnog kotrljanja ili klizanja materijala, tj. predstavlja graničnu stabilnost kosine nekoherentnog materijala. Razlikuju se dva krajnja položaja ravni klizanja: (1) oborenog i sipkog (nevezanog) materijala — maksimalni i minimalni (sl. 3). Položaj maksimalnog nagiba (ot klonu) ravni klizanja određen je uglom unu-

tražnjeg trenja materijala φ , tačka A. Ravan minimalnog nagiba (otklopa) određena je nagnibom prostorije točenja (ravni klizanja u njoj) materijala i pritiskom stuba oborenog materijala na dator površini (tačke E sl. 3). Ispod ove ravnih nagiba α , nalazi se »mrtva« zona materijala. Točenje materijala se vrši između ove dve ravnih, koje imaju međusobno rastojanje (sipke) h_0 .



Sl. 3 — Sema točenja oborenog materijala u hodniku skrepovanja
Prek. 3 — Схема вијуска обогтог материјала у скреперској вијароботки.

Ugao nagiba ravni, koju obrazuje mrtva zona, je veći od ugla unutrašnjeg trenja ($\alpha > \varphi$).

Rastojanje graničnih ravnih točenja oborenog materijala u visini prolaznog otvora — sipke, menja se u zavisnosti od sledećih parametara: tehnologije točenja i utovara, profila hodnika, fizičko-mehaničkih svojstava oborenog materijala (uglova unutrašnjeg trenja i »mrtve« zone), kao i nagiba sipki.

Praktično, visina ovog otvora (1) iznosi 0,7–1,1 m a obračunava se po formuli:

$$h_0 = h \cos \alpha - b \sin \alpha$$

Kod nas je visina skreperskog hodnika $h = 2$ m, ugao mrtve zone 50° , a rastojanje $b = 0$. Prema tome, otvor točenja je

$$h_0 = 2 \cos 50^\circ = 2 \times 0,64 = 1,28 \text{ m}$$

Ova veličina otvora postignuta je zahvaljujući nagibu sipki od 60° , pomeranjem radnog organa utovarnog sredstva tj. skreperske korpe ili lopate do samih niša. Širina materijala koji se toči na istom mestu može se odrediti prema formuli (2):

$$d_0 = h \operatorname{ctg} \alpha - b$$

Kako je u našem slučaju $b = 0$

$$d_0 = 2 \operatorname{ctg} 50^\circ = 2 \times 0,84 = 1,68 \text{ m}$$

gdje su:

d_0 = širina materijala u pokretu koji se toči iz otkopa na nivou krova skreperskog hodnika;

h_0 = visina materijala u pokretu na nivou krova skreperskog hodnika upravna na ravninu ograničenu uglom α ;

a = širina zahvata radnog organa utovarnog sredstva;

b = rastojanje između sipke i radnog prostora skrepera.

Prehodni proračun potvrđuje, dakle, pravilnost konstruktivnih elemenata otkopne metode. Točenje materijala vrši se u potpunosti, tj. isti se ne zadržava u otkopu i sipkama, izuzev »mrtve« zone.

Pri dobijanju zasipnog materijala opisanom otkopnom metodom u ovom rudniku moguće je direktno merenje i opažanje svih parametara (h , a , b , φ i α), što pri masovnoj eksploataciji rudnih ležišta sa višeetažnim obaranjem rude to nije moguće. Posebno je teško davanje ugla nagiba »mrtve« zone a , bez čijeg poznavanja nije moguće određivati date parametre.

Određivanje vrednosti ovog ugla vrši se laboratorijski i analitički (2), na bazi povezivanja svih uticajnih sila koje deluju pri točenju oborenog materijala i na osnovima zakona dinamike nevezanih — nekoherentnih tela.

Optima je utvrđeno (2) da je »mrtva« zona ograničena površinom oblika parabole, čiji prečnik zakrivljenosti u svakom preseku ima različitu vrednost, te na taj način klizna površina ima koristan oblik. Ova površina ima nagib veći od ugla unutrašnjeg trenja, sa naročito strmim padom u otvoru točenja (oko $60\text{--}70^\circ$). Tada je širina materijala koji se toči svega 20%, a u najboljem slučaju 60% od širine sipke.

U svakom slučaju, slobodno točenje materijala zavisi od prolaznosti otvora točenja, koja je određena odnosom veličine profila — sipe, prema krupnoći oborenog materijala i definisana je koeficijentom prolaznosti, $n = 3\text{--}5$ (1). Prema tome, za minimalne uslove slobodnog točenja oborenog materijala, stvarni profil otvora točenja neophodno je da bude bar dva puta veći od većeg prečnika najkrupnijeg komada oborenog materijala, tj. mora biti zadovoljen uslov:

$$h_0 > 2d$$

gde je d veći prečnik najkrupnijeg komada oborinog materijala. Veličina površine preseka materijala koji se toči zavisi od veličine rotivaln (2) istog u skreperskom hodniku i približno iznosi

$$h_0 \approx 0.5 a$$

Ali odgovara našem slučaju, jer je $h_0 = 1.28$ m, a $a = 2.5$ m.

I jednačenjem prva dva člana prethodnih izračuna dobija se:

$$a \approx 4d.$$

To znači, za slobodno istakanje materijala u slpki, neophodno je zahvatiti skreperskom hodnikom materijal na dubini 4 puta većoj od maksimalne veličine prečnika komada oborenog materijala, tj. povećanjem dubine zahvata skreperske korpe povećava se i prolaznost oborenog materijala kroz slike. Radi toga je projektom i predviđena skreperska korpa širine u najširem delu 1,26 m, koja omogućuje da se pomeranjem u pravcu slike zahvati materijal u dubini od 2,5 m. Na osnovu toga, realno je očekivati brzo i potpuno osvajanje nove tehnologije na dobijanju zasipnog materijala u ovom rudniku.

U samom postupku nema potrebe bilo šta izuzev rastojanja lepeza minskih bušotina,

šotina, čije rastojanje treba povećati od 1 na 1,5 m, kao i birati najbolji milisekundni interval miniranja pojedinih lepeza.

Da bismo dobili predstavu osnovnih tehničkih pokazatelja, nakon potpunog osvajanja nove tehnologije dobivanja zasipnog materijala, prikazaćemo samo polovine kapaciteta na bušenju, utovaru i dopremi materijala.

Na osnovu navedenog realno je očekivati sledeće rezultate:

| | |
|---|-------|
| — učinak na izradi minskih bušotina m^3/n | 35 |
| — koeficijent obaranja materijala $m^3 m^1$ bušotine | 1,93 |
| — učinak na obaranju materijala ($1,93 \times 35$) m^3/n | 67,55 |
| — učinak na skreperovanju m^3/n | 100 |
| — potrošnja eksploziva kg/m^3 | 0,170 |

Postizanjem navedenih efekata rudnik bi godišnje na materijalnim troškovima, režijskim troškovima i nadnicama uštedeo oko 1.000.000,00 N. dinara. Izradom centralne rudne slike (koja se uskoro završava), kao i znatno većim intenzitetom otkopavanja, može se očekivati povećanje proizvodnje za oko 30%, što bi poslovanje ove proizvodne jedinice Komбинata »Trepca« dovelo do visokog stepena ekonomičnosti.

РЕЗЮМЭ

Применение одной из систем массовой разработки для добычи закладочной породы в руднике Копаоник—Бело Брдо

Дипл. инж. Р. Джедич*

В статье освещается проблема закладки выработанного пространства породой из породоносных слоёв, добываемой проходкой проширенных восстающих.

Учитывая очень благоприятные физико-механические свойства покрывающих пород типичных из известняка, разработан идейный проект добычи закладочного материала с принципом одного варианта подэтажной системы разработки. Экспериментальные работы в горизонте по горизонте 1285 м дал очень удовлетворительные результаты. По сравнению с предыдущей системой разработки закладочной породы, производительность возросла в 6 раз, а расход взрывчатого вещества уменьшился в 8 раз.

Для проведения работ применялось оборудование которое уже существовало в руднике.

Для получения ещё лучших результатов при бурении веерных комплексов буровых станков, а также на погрузке и откатке взрытом отбитой породы, в недалёком будущем будут применяться соответствующее оборудование для осуществления этой системы разработки.

В статье даны основные параметры подготовительных работ и забоя для добычи закладки, а также, рассматривается влияние выбранных параметров на свободное истечени в придон отбитой породы.

Получение закладочного материала таким способом в большой степени увеличит производительность разработки, а также повысит производительность рудника в целом.

* Dipl. Ing. Ratomir Djordić, tehn. rukovodilac Rudnika »Suva ruda«, Raška.

Literatura

1. Agoškov, M. I., 1965: Konstruirovanie i rascety sistem i tehnologii razrabotki rudnyh mestorozdenij. — »Nauka«, Moskva.
2. Sestakov, V. A., Šukin, A. J., Jakovjev, M. A., Kučkin, V. A., Sidorov, V. A., Lepuhova, T. G., 1967: Povišenje effektivnosti podzemnoj razrabotki rudnyh zaležej. — »Ilme«, Frunze.
3. Džodić, R., 1967: Elaborat studije podetaže otkopne metode za masovno dobija-
4. Džodić, R., 1968: Uticaj osnovnih rudarsko-geoloških faktora na intenzivnost eksploracije Pb-Zn ležišta Kopaonik, Belo Brdo. — »Tehnika« br. 3, Beograd.
- nje zasipnog materijala. — Rudnik Kopaonik, Lešak.
5. Džodić, R., 1968: Uputstvo za realizaciju otkopne metode za masovno dobijanje zasipnog materijala. — Rudnik Kopaonik, Lešak.

Aktiviranje oksalatom u razdvajaju monacita od kolumbotantalita pomoću oleinske kiseline

(sa 5 slika)

Dr ing. Dušan Salatić — prof. ing. Paul Moiset

Uvod

Ispitivanje mogućnosti razdvajanja monacita i kolumbotantalita, nakon izdvajanja na klatnom stolu Wilfley u pretkoncentrat teških minerala iz kongoanske rude aluvijalnog ležišta, koji čine pretežni deo ovog pretkoncentrata, postupcima gravitacijske, magnetske i elektrostatičke separacije, nije dalo pozitivne rezultate. Zbog toga se pristupilo ispitivanju mogućnosti razdvajanja ovih minerala postupkom flotacije. U ovom radu su obuhvaćena ispitivanja flotabilnosti monacita i kolumbotantalita u modifikovanoj Hallimond cevi, u pneumatskoj flotacijskoj ćeliji sa poroznim dnem i u standardnoj laboratorijskoj subaeracijskoj ćeliji prozvodnje Denver Co.

Flotabilnost pomenutih minerala razlikuje se u zavisnosti od pH. Berger G. S. (1) je konstatovao da flotabilnost kolumbotantalita oleinskom kiselinom kao kolektorom opada sa prelaskom iz kisele u baznu sredinu. S druge strane, autor ovog članka (2) je u ranijem radu konstatovao da monacit relativno dobro

flotira i u baznoj sredini. Natrijumsilikofluorid deprimira oba minerala. Mitrofanov S. I. (3) kaže, da isti deprimira monacit samo ako je pH manje od 7, dok kolumbotantalit deprimira po celom rasponu pH skale. I natrijumsilikat deluje kao deprimator u flotaciji tantalita oleinskom kiselinom (4). Farah Y. i Fayed L. (5) ukazuju na aktivirajuće dejstvo natrijumoksalata u flotiranju monacita. Eksperimentalni rad obuhvatio je ispitivanje uticaja pomenutih reagensa na flotabilnost monacita i kolumbotantalita u zavisnosti od vrednosti pH rastvora, koja je regulisana hlorovodoničnom kiselinom i natrijumhidroksidom. Rezultati su prikazani u ovom članku.

Eksperimentalni rad

Modifikovana Hallimond cev

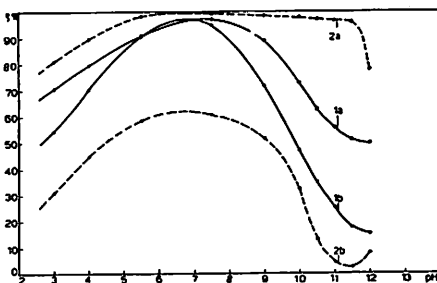
Studija flotabilnosti monacita i kolumbotantalita izvedena je u modifikovanoj Hallimond cevi na čistim mineralima. Potrebna količina čistih minerala izdvojena je iz pretkon-

centrata' teških minerala pomoću elektromagnetskog Franz Isodynamic analizatora i Hallimondovog stola — Superpannera. Modifikovana Hallimond cev konstruisana je prema opisu J. M. Casesa (6). Prednost joj je što se gas uvođi po celoj površini dna, a ne samo kroz kapilaru, te se više približava uslovima uvođenja vazduha u pulpu u industrijskim uslovima.

Najpre je izveden niz opita flotiranja oleinskom kiselinom u zavisnosti od vrednosti pH. Rezultati ovih ispitivanja dati su dijagramski na slici 1. Flotabilnost oba minerala je značajna u slabo kiseloj, neutralnoj i slabu baznoj sredini (sl. 1, krive 1a—1b). Ispod pH = 5 iskorijenja u flotaciji opadaju, i to brže iskorijenja kolumbotantalita. Slično se ponašaju

takođe u zavisnosti od pH. Na slici 2 kriva 2b pokazuje da kolumbotantalit praktično ne flotira u celom rasponu pH skale pri koncentraciji od 20 mg/l natrijumsilikofluorida. Maksimalno iskorijenje istog od 4,6% postiže se pri pH = 7. Monacit je, takođe, deprimiran natrijumsilikofluoridom (sl. 2, kriva 2a). Deprimiranje je jače u kiseloj nego u baznoj sredini. Pri pH = 9 iskorijenje istog je oko 16%. Međutim, rezultati pokazuju da ovde ne postoji selektivno dejstvo deprimatora.

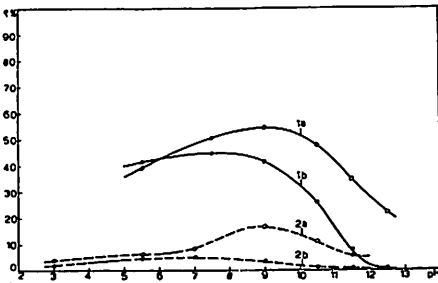
Na kraju eksperimentalnog rada u Hallimond cevi izvedena je serija opita u kojima je i dalje kolektor bila oleinska kiselina, a kao modifikator natrijumoksalat. Rezultati ove serije opita dijagramski su prikazani na slici 1, krive 2a—2b. Uočava se da u jače baznoj sre-



Sl. 1 — 1) Krive iskorijenja monacita (a) i kolumbotantalita (b) u zavisnosti od pH sa 50 mg/l oleinske kiseline
2) Krive iskorijenja monacita (a) i kolumbotantalita (b) u zavisnosti od pH sa 50 mg/l oleinske kiseline i 50 mg/l natrijumoksalata

Fig. 1 — 1) Courbes de récupération de la monazite (a) et des columbotantalites (b) en fonction du pH en présence d'acide oléique (50 mg/litre)

2) Courbes de récupération de la monazite (a) et des columbotantalites (b) en fonction du pH en présence d'acide oléique (50 mg/l) et d'oxalate de sodium (50 mg/l)



Sl. 2 — 1) Krive iskorijenja monacita (a) i kolumbotantalita (b) u zavisnosti od pH sa 50 mg/l oleinske kiseline i 120 mg/l natrijumsilikata

2) Krive iskorijenja monacita (a) i kolumbotantalita (b) u zavisnosti od pH sa 50 mg/l oleinske kiseline i 20 mg/l natrijumsilikofluorida

Fig. 2 — 1) Courbes de récupération de la monazite (a) et des columbotantalites (b) en fonction du pH et l'acide oléique (50 mg/l) et le silicate de sodium (120 mg/l)
2) Courbes de récupération de la monazite (a) et des columbotantalites (b) en fonction du pH avec l'acide oléique (50 mg/l) et le silicofluorure de sodium (50 mg/l)

i u baznoj sredini, iznad pH = 9. Do znatnije razlike u iskorijenjima dolazi tek kad je pH veće od 11.

Sledeći eksperimenti obuhvatili su ispitivanja uticaja natrijumsilikata na flotabilnost oba minerala pri iskorijenju oleinske kiseline kao kolektora. Rezultati su prikazani na slici 2, krive 1a—1b. Uticaj vodenog stakla osetan je na flotabilnost oba minerala u celom rasponu pH skale. Iskorijenja su snižena i to značajnije kod kolumbotantalita. Međutim, ova razlika nije dovoljna da bi se moglo govoriti o selektivnom dejstvu natrijumsilikata na ove minerale.

Treća serija opita obuhvata ispitivanja uticaja natrijumsilikofluorida na flotabilnost monacita i kolumbotantalita oleinskom kiselinom,

dini natrijumoksalat pospešuje flotabilnost monacita, dok istovremeno pogoršava flotabilnost kolumbotantalita.

Monacit zadržava visoko iskorijenje sve do pH = 11,5, dok pri ovoj vrednosti pH kolumbotantalit praktično ne flotira. Izuzetno velika selektivnost postiže se između pH = 11,0 i 11,5, premda se zapaža dovoljna selektivnost već iznad pH = 10,0. Aktivirajuće dejstvo natrijumoksalata na monacit zapaža se pri svim vrednostima pH do pH = 11,5. Nakon toga iskorijenje monacita brzo opada, dok istovremeno se zapaža povećanje iskorijenja kolumbotantalita.

Eksperimenti u Hallimond cevi završeni su ispitivanjem uticaja koncentracije oleinske ki-

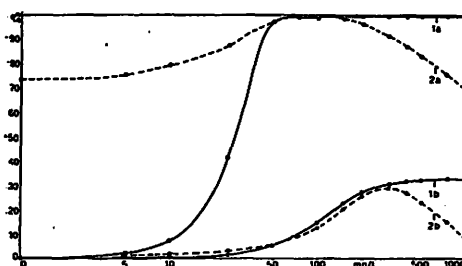
seline i natrijumoksalata u rastvoru pri vrednosti pH = 11,2.

Najpre je ispitani uticaj koncentracije oleinske kiseline pri konstantnoj koncentraciji natrijumoksalata (50 mg/l). Rezultati su prikazani na slici broj 3, krive 1a—1b. Povećanjem koncentracije od 10 do 50 mg/l iskorišćenje monacita nagle raste, potom veoma polagano do 100 mg/l i dalje ostaje to maksimalno iskorišćenje sve do 1000 mg/l (sl. 3, kriva 1a). Iskorišćenje kolumbotantalita raste polagano sa porastom koncentracije oleinske kiseline sve do 500 mg/l i te vrednosti zadržava i pri povećanju koncentracije do 1000 mg/l (sl. 3, kriva 1b).

Drugi deo ovih ispitivanja obuhvata uticaj koncentracije natrijumoksalata pri konstantnoj koncentraciji oleinske kiseline (50 mg/l),

torevi za pripremu mineralnih sirovina na Politehničkom fakultetu u Monsu (7). Ispitivanja su vršena na pretkoncentratu teških minerala izdvojenom na klatnom stolu Wilfley. U ovom pretkoncentratu oko 92% čine minerali monacit i kolumbotantalit. Ostatak sačinjavaju kaseriter (2—4%), ilmenit (1—3%), rutil (1—2%) i turmalini (1—4%).

Prvi opiti ukazali su da pri istim uslovima flotiranja iz Hallimond cevi u čeliji sa poroznim dnem dolazi do flokuliranja, te na taj način oba minerala ili ostaju u čeliji ili skupa flotiraju. Da bi se sprečila flokulacija u pulpu je dodavana manja količina (30 mg/l) natrijumsilikata. Isti je veoma uspešno dispergovao pulpu, tako da je postignuta odlična efikasnost razdvajanja, a koja je grafički prikazana u tablici 1 i na slici 4, gde predstavlja prosečne rezultate iz pet opita.



Sl. 3 — 1) Krive iskorišćenja monacita (a) i kolumbotantalita (b) u zavisnosti od koncentracije oleinske kiseline u prisustvu 50 mg/l natrijumoksalata;

2) Krive iskorišćenja monacita (a) i kolumbotantalita (b) zavisnosti od koncentracije natrijumoksalata u prisustvu 50 mg/l oleinske kiseline

Fig. 3 — 1) Courbes de récupération de la monazite (a) et des columbotantalites (b) en fonction de la concentration en acide oléique en présence d'oxalate de sodium (50 mg/l);

2) Courbes de récupération de la monazite (a) et des columbotantalites (b) en fonction de la concentration en oxalate de sodium en présence d'acide oléique (50 mg/l)

takođe pri pH = 11,2. Kao što pokazuju krive 2a—2b na slici 3, povećanjem koncentracije iznad kritične opada iskorišćenje oba minerala. Kritična koncentracija za monacit je oko 100 mg/l, a za kolumbotantalit oko 300 mg/l. Povećanje koncentracije natrijumoksalata do 50 mg/l povećava iskorišćenje monacita za oko 22% (sl. 3, kriva 2a). Maksimalno iskorišćenje kolumbotantalita postiže se pri koncentraciji oko 300 mg/l, a iznosi oko 30% (sl. 3, kriva 2b).

Na osnovu rezultata postignutih eksperimentalnim radom u Hallimond cevi može se zaključiti da su optimalni uslovi za flotacijsko razdvajanje monacita i kolumbotantalita pri koncentraciji oleinske kiseline 75 mg/l i natrijumoksalata 50 mg/l, a pri pH = 11,0 do 11,5.

Pneumatska čelija sa poroznim dnem

Da bi se proverili rezultati flotacijskih opita dobiveni u Hallimond cevi, izведен je veći broj laboratorijskih opita u pneumatskoj flotacijskoj čeliji sa poroznim dnem. Ovu čeliju je konstruisao profesor P. Moiset u labora-

toriju za pripremu mineralnih sirovina na Politehničkom fakultetu u Monsu (7). Ispitivanja su vršena na pretkoncentratu teških minerala izdvojenom na klatnom stolu Wilfley. U ovom pretkoncentratu oko 92% čine minerali monacit i kolumbotantalit. Ostatak sačinjavaju kaseriter (2—4%), ilmenit (1—3%), rutil (1—2%) i turmalini (1—4%).

Iskorišćenje monacita je veoma visoko uz vrlo dobar kvalitet. Kao što dijagram pokazuje maksimalna efikasnost (E_{max}) postiže se

Tablica 1

| Vreme flotiranja t min | Tedine koncentrata T %. | Sadržaj monac. M _k % | Sadržaj kol-tant. K _k % | Sadržaj monacita u konc. IM _k % | Iskorišć. monacita u konc. IK _k % | Iskorišć. kol-tant. u konc. IK _K % | Efikasnost flotiranja E % |
|---------------------------|----------------------------|------------------------------------|---------------------------------------|---|---|--|------------------------------|
| 5 | 16,38 | 98,86 | 0,57 | 31,88 | 0,22 | 31,66 | |
| 10 | 28,10 | 97,76 | 0,59 | 54,01 | 0,39 | 53,62 | |
| 15 | 38,10 | 95,43 | 1,15 | 71,52 | 1,05 | 70,47 | |
| 20 | 45,86 | 92,94 | 1,94 | 83,55 | 2,14 | 81,71 | |
| 30 | 57,41 | 87,98 | 4,20 | 99,39 | 5,83 | 93,56 | |
| Ulaž | 100,00 | 50,78 | 41,19 | 100,00 | 100,00 | | |
| Ostatak | 42,59 | 0,64 | 91,05 | 0,53 | 94,17 | | |

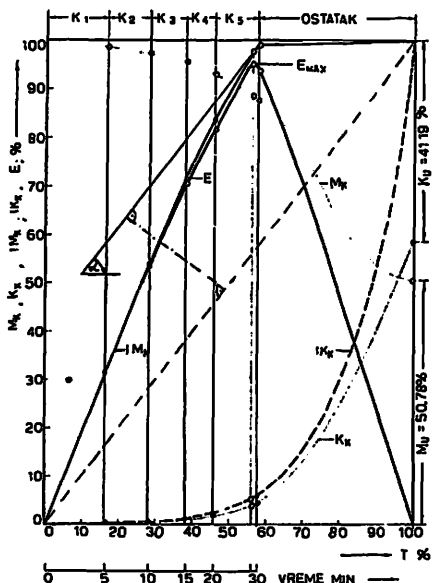
pri težinskom iskoršćenju koncentrata od 56% pri čemu iskoršćenje monacita iznosi 97,5%, a kvalitet koncentrata 88,5% monacita. Iskoršćenje kolumbotantalita u koncentratu monacita iznosi 5,25%, a sadržaj 4,20%.

Pretežni udeo primesa u koncentratu monacita predstavljaju turmalini, dok su manje prisutni kasiterit, rutil i ilmenit.

Ostatak u flotacijskoj čeliji takođe predstavlja koncentrat, jer isti sadrži 90 do 95% kolumbotantalita uz 3 do 4% kasiterita, 2 do 3% ilmenita i 1 do 3% rutila. Kako se i ovaj proizvod može direktno smatrati kao prodajni to se postupkom flotacije iz pretkoncentrata teških minerala mogu dobiti dva komercijalna proizvoda.

Subaeracijska čelija Denver

Uslovi rada subaeracijske čelije razlikuju se unekoliko od uslova u pneumatskoj čeliji sa

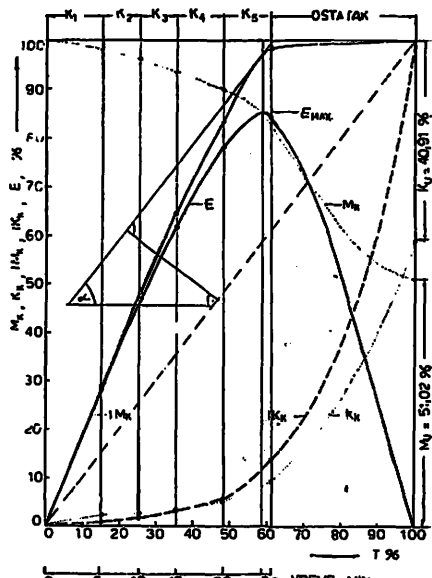


Slika 4 — Efičnost razdvajanja monacita i kolumbotantalita u pneumatskoj čeliji sa poroznim dnem

Fig. 4 — Efficacité de la flottation de la monazite et kolumbotantala dans une cellule pneumatique à fond poreux

poroznim dnem. Usled obrtanja impelera dolazi do stvaranja mulja, koji negativno utiče na tok flotiranja. Sem toga, i uvođenje vazduha u pulpu nije identično. Da bi se i prak-

| Vreme flotiranja t min | Težine koncentrata | | Sadržaj monacita u konc. | | Iskoršćenje monacita u konc. | | Iskoršćenje kolumbotantalita u konc. | | Efikasnost flotiranja E % | |
|---------------------------|--------------------|-------|--------------------------|------------------|------------------------------|-------------------|--------------------------------------|-----|---------------------------|--|
| | T % | Mg % | K _k % | K _g % | IM _k % | IK _k % | IK _g % | E % | | |
| 5 | 15,08 | 97,38 | 2,32 | 28,77 | 0,86 | 27,91 | | | | |
| 10 | 25,39 | 96,42 | 2,44 | 47,98 | 1,52 | 46,46 | | | | |
| 15 | 35,24 | 93,59 | 3,60 | 64,64 | 3,11 | 61,53 | | | | |
| 20 | 47,99 | 88,69 | 4,75 | 83,42 | 5,58 | 77,84 | | | | |
| 30 | 60,39 | 82,98 | 9,63 | 98,22 | 13,67 | 84,55 | | | | |
| Ulaž | 100,00 | 51,02 | 40,91 | 100,00 | 100,00 | 0 | | | | |
| Ostatak | 39,81 | 2,30 | 89,17 | 1,78 | 86,33 | | | | | |



Slika 5 — Efičnost razdvajanja monacita i kolumbotantalita u subaeracijskoj čeliji

Fig. 5 — Efficacité de la flottation de la monazite en cellule «subaeration»

tično potvrdili ovi navodi, izveden je niz opita u standardnoj laboratorijskoj subaeracijskoj čeliji proizvodnje Denver. Ispitivanja su, takođe, izvršena na pretkoncentratu teških minerala.

Prvi opiti su pokazali da se stvara znatna količina mulja koja otežava flotiranje monacita. Ni dodatak natrijumsilikata u ovakvim uslovima nije poboljšao flotabilnost monacita. Tek nakon snižavanja brzine obrtanja impelera ispod 1000 o/min došlo je do selektivnog flotiranja. Potrošnja natrijumsilikata je povećana na 40 mg/l.

Pri sniženoj brzini obrtanja impelera (900 o/min) i koncentraciji natrijumsilikata od 40 mg/l, zadržavajući ostale uslove rada iz pneumatičke ćelije sa poroznim dnom, izvedeno je pet opita, a srednje vrednosti postignutih rezultata prikazane su u tablici 2 i na slici 5.

Uporedjujući dijagrame sa sl. 4 i sl. 5 može se konstatovati da postoji razlika u visini iskorijenja i kvalitetu koncentrata, a isto tako i u stepenu efikasnosti razdvajanja. Međutim, i rezultati iz ćelije Denver mogu se smatrati kao zadovoljavajući. Maksimalna efikasnost (E_{max}) postiže se pri težinskom iskorijenju koncentrata od 58,6% pri čemu je iskorijenje monacita 97,5% uz kvalitet koncentrata 84,9% monacita.

Ostatak u flotacijskoj ćeliji sadrži 89,17% kolumbotantalita, čije je iskorijenje 86,33%, te se može smatrati kao drugi komercijalni proizvod dobiven u postupku flotacije.

I ovde, u koncentratu monacita, glavnu primenu čine turmalini, a u koncentratu kolumbotantalita — kasiterit, ilmenit i rutil.

Zaključak

Ispitivanja u Hallimond cevi potvrdila su navode da flotabilnost monacita i kolumbotantalita oleinskom kiselom umnogom zavise od vrednosti pH sredine. U baznoj sredini opada flotabilnost oba minerala, premda sporije kod monacita.

Modifikatori natrijumsilikat i natrijumsilicofluorid ne pokazuju selektivno dejstvo na posmenute minerale. Oba deprimiraju kako monacit tako i kolumbotantalit.

Natrijumoksalat pokazuje selektivno dejstvo. Dok je na kolumbotantalit delovao kao slab deprimator, kod monacita je pokazao aktivirajuće dejstvo, naročito pri visokim vrednostima pH.

Objašnjenje se može naći u tome što monacit u baznoj sredini poseduje negativne vrednosti zeta potencijala (8), a poznato je da oleinska kiselina u toj sredini (do pH = 11,5) ima jonsku formu (9), tj. pretežno je zastupljena ionima oleata (Ol^-). U takvim uslovima joni Ol^- stupaju u kontakt sa površinom monacita i čine ga hidrofobnim, tj. sposobljenim za kontakt sa vazdušnim mehurićem. Sa porastom koncentracije jona OH^- konkurentska borba između jona OH^- i jona Ol^- za površinu monacita postaje povoljnija za jone OH^- koji se gomilaju na površini i sprečavaju pristup ionima Ol^- . Dodatak natrijumoksalata verovatno vezuje izvestan ideoj jona OH^- i tako smanjujući njihov broj omogućuje prevlast jona Ol^- u borbi za površinu monacita.

Što se tiče kolumbotantalita izgleda da on flotira adsorpcijom oleinske kiseline i natrijumoleata u molekularnom obliku. Kako se ideoj oleinske kiseline u molekularnom obliku naglo smanjuje iznad pH = 7 na račun stvaranja jona Ol^- i znatno manje molekula natrijumoleata, to je verovatan razlog naglog opadanja flotabilnosti kolumbotantalita u baznoj sredini do pH = 11,5. Ovu pretpostavku potvrđuje i dijagram na slici 3, krive 2a-2b, koji pokazuje da iskorijenje monacita opada iznad pH = 11,5 (kriva 2a), jer naglo opada i koncentracija jona Ol^- na račun stvaranja molekula natrijumoleata, dok se ovde povećava iskorijenje kolumbotantalita (kriva 2b).

Eksperimenti, kako u pneumatskoj ćeliji sa poroznim dnom, tako i u subaeracijskoj ćeliji Denver, su pokazali da se flotacijski metod razdvajanja može i praktično primeniti u širim razmerama nego što su laboratorijske. Pri tome može se računati da pneumatska ćelija daje bolje rezultate, uglavnom, zahvaljujući tome što ne stvara mulj kao subaeracijska.

Na kraju, na osnovu eksperimentalnog rada i postignutih rezultata može se zaključiti da se postupkom flotacijske koncentracije mogu iz pretkoncentrata teških minerala, izdvojenog na klatnom stolu Wilfley iz kongoanske rude aluvijalnog ležišta, dobiti dva prodajna proizvoda, tj. uslovni koncentrati monacita i kolumbotantalita.

RÉSUMÉ

Activation par l'oxalate dans la séparation de la monazite d'avec les columbotantalites à l'aide d'acide oleique

Dr ing. D. Salatić et prof. ing. P. Moiset^{*)}

Le présent article relate les recherches essentiellement à la suite d'essais infructueux de récupération de concentrés purs de monazite et columbotantalites associés en un mixte, résidu d'une concentration gravimétrique et magnétique d'un minéral de cassiterite du MANIEMA (République Démocratique du Congo), irréductible par les procédés industriels, gravimétrique et magnétique les plus sélectifs.

Pour aborder l'étude de cette séparation, on a se procuré des échantillons aussi purs que possible de monazite et de columbotantalites.

Après avoir fixé les conditions particulières de collection de ceux deux minéraux, des essais de séparation de leur mélange ont été poursuivis sur le même appareil, ainsi que en cellule pneumatique à fond poreux et en cellule »subaeration» de laboratoire.

La constatation primordiale résultante de ceux examens est que par flottation on peut obtenir deux concentrés la haute sélectivité de la séparation dont l'efficacité est maximum (95%) pour un rendement ponderal en monazite de 56 à 58% correspondant à un rendement en monazite de 96 à 98% à la teneur de 85 à 88% de monazite.

Concomitamment, le rendement en columbotantalites du concentré de monazite est de 5,25% (teneur en columbotantalites du concentré de monazite: 4,2%, avec 3—5% de tourmalines et moins de 1% de cassiterite, rutile et ilmenite).

Le fond de cellule contient 89—95% de columbotantalites, avec 3—4% de cassiterite, 2—3% d'ilmenite et de 1—3% de rutile. On n'y trouve pas de tourmalines.

Literatura

1. Berger, G. S., 1962: Flotiruemost' minera-
lov, str. 173—175. Gosgortehizdat, Moskva.
2. Salatić, D., 1965: Flotabilnost monacita i
cirkona u funkciji promena njihovih po-
vršina. — Doktorska disertacija na Rudar-
sko-geološkom fakultetu, Beograd.
3. Mitrofanov, S. I., 1967: Selektivnaja flo-
tacija. — Nedra, str. 512, Moskva.
4. Singh, S. G., Oberbillig, E., 1959:
Monazite flotation. — Min. Congr. J., Vol
45, No 8, str. 82—83.
5. Farah, Y., Fayed, L., 1966: Die Monazit-
flotation mit schweren Sulfonaten als
Sammler und Kohlehydraten als regelnde
Mittel. — Aufbereitungs-Technik, Vol. 7,
No 2, str. 74—76.
6. Cases, J. M., 1968: Les phénomènes phy-
sico-chimiques à l'interface Application
au procédé de la flottation. Thèse pour
l'obtention du grade de Docteur ès-sciences
physiques à la Faculté des sciences de
l'Université de Nancy, Nancy, str. 32.
7. Moiset, Cagars, Z., 1968: Une nouvelle
cellule de flottation pneumatique. — Rad
primijen za IX međunarodni kongres za
pripremu mineralnih sirovina u Pragu,
juna 1970. godine.
8. Salatić, D., 1967: Flotability of monazite
and zircon related to electrochemical
changes on their surfaces. — Min. Metall.
(Sect. C: Mineral Process. Extr. Metall.),
Vol. 76, No 733.
9. Pol'kin, S. I. et al., 1968: Diagramma
sostojanja i sobiratel'nye svojstva oleino-
voj kisloty pri izmenenii pH. — Cvetnaja
metallurgija, Vol. 11; No 3, str. 6—11.

Dr ing. Dušan Salatić, Rudarsko-geološki fakultet u Beogradu, prof. ing. Paul Moiset,
Faculté polytechnique de Mons (Belgija).

Koncentracija brečastog magnezita iz ležišta Strezovci u teškoj sredini

(sa 7 slika)

Dipl. ing. Dragorad Ivanković — dipl. ing. Tihomir Kostić

Uvod

Ranija ispitivanja čišćenja i koncentracije magnezita Strezovci, izvršena u Rudarskom institutu, Zavodu za pripremu mineralnih sirovina, ukazala su da u ležištu magnezita »Beli Kamene» — Strezovci egzistiraju tri vrste magnezita (jedri, brečasti i trakasti magneziti) i da se kao metoda za njihovu koncentraciju može primeniti koncentracija u teškoj sredini.

Polažeći od činjenice da su u ležištu Strezovci najviše zastupljeni brečasti magneziti, čija je eksplotacija moguća jedino primenom prethodne koncentracije, pri odgovarajućem granulometrijskom sastavu koncentrata magnezita, u ovom članku je dat poseban značaj ovom vidu magnezita i njegovom tretiranju u cilju dobijanja kvalitetnijih koncentrata magnezita u postrojenjima sa uređajima za tešku sredinu.

Kvalitet rovnog magnezita

Utvrđivanje kvaliteta rovnog brečastog magnezita iz ležišta Strezovci izvršeno je na reprezentativnom uzorku.

Kompletna hemijska analiza brečastog magnezita Strezovci dala je sledeći sastav:

| | |
|--------------------------------|---------|
| SiO ₂ | 11,25 % |
| Al ₂ O ₃ | 0,87 % |
| Fe ₂ O ₃ | 0,11 % |
| CaO | 5,16 % |
| MgO | 36,92 % |
| Mn | 0,015 % |
| SO ₃ | 0,027 % |
| CO ₂ | 44,42 % |
| Gubitak žarenjem | 45,12 % |

Sadržaj štetnih primesa u ispitivanom uzorku iznosi:

| | |
|------------------|---------|
| SiO ₂ | 11,25 % |
| CaO | 5,16 % |

Granulometrijski sastav brečastog magnezita

Određivanje granulometrijskog sastava brečastog magnezita izvršeno je mokrim prosejanjem na seriji sita sa odgovarajućim otvori-ma.

U tablici 1 dati su rezultati analize granulometrijskog sastava rovnog uzorka brečastog magnezita.

Tablica 1

| Klase krupnoće mm | Težinski udio | | |
|-------------------|---------------|--------|--------|
| | % | Σ % ↓ | Σ % ↑ |
| + 150 | 4,06 | 4,06 | 100,00 |
| - 150 + 80 | 10,32 | 14,38 | 95,94 |
| - 80 + 60 | 5,71 | 20,09 | 85,02 |
| - 60 + 30 | 18,38 | 38,47 | 79,91 |
| - 30 + 20 | 9,42 | 47,89 | 61,58 |
| - 20 + 12 | 16,05 | 63,94 | 52,11 |
| - 12 + 5 | 12,89 | 76,83 | 36,06 |
| - 5 + 3 | 7,98 | 84,81 | 23,17 |
| - 3 + 1 | 5,99 | 90,80 | 15,19 |
| - 1 + 0 | 9,20 | 100,00 | 9,20 |
| Ukupno | 100,00 | — | — |

Težinski udio krupnijih klasa od + 60 mm iznosi 20,09%.

Težinski udio sitne klase — 1 + 0 mm iznosi 9,20%.

Mineraloška ispitivanja brečastog magnezita

Mineraloška ispitivanja (primena optičkih, rentgenskih i termičkih ispitivanja) izvršena su na krupnim komadima i na usitnjениim uzorcima (na granulaciji — 2 mm i — 100 mikrona).

Opis rude. — Krupni komadi sirovine imaju brečast izgled i sastoje se od odlomaka belog, kompaktног jedrog magnezita, školjkašтog loma, vezanog mrkom karbonatskom kristalastom mason. Mrko obojeni masa čini vizio koje čvrsto povezuje magnezitske komade. Vid stranjsa bele i mrke mase je, uglavnom, dvojak:

— preovlađuje bela masa: mrka masa povezuje u obliku prirodnog cementa ujednačene komade belog magnezita. Veličina komada belog magnezita kreće se od 20 do 80 mm. Debljina mrežaste zapune najčešće je od 5 do 10 mm, mada se zapažaju i proširenja do 20 i 30 mm;

— ujednačene količine bele i mrke mase: mrka masa povezuje u obliku zapuna komade belog magnezita. Veličina belog magnezita kreće se u rasponu od 20 do 80 mm. Mrka masa dostiže proširenje od 40 do 60 mm.

Rezultati optičkih ispitivanja.

— Ovim ispitivanjima utvrđene su strukturno-teksturne osobine i mineralni sastav.

— Beli odlomci magnezita sastoje se od magnezita sa vrlo malim učešćem nečistoća u obliku silicijске komponente i dolomita. Struktura magnezita je kriptokristalasta do mikrokristalasta, kada zrna dostižu veličinu 2 mikrona. U izvesnim slučajevima magnezit je prekrystalisan, najčešće u kontaktnoj zoni sa mrkom masom, te je došlo do povećanja zrna na veličinu od 60 do 250 mikrona. Opalsko kalcedonska masa gnezdsto prožima kriptokristalastu magnezit. Veličina silifikovanih gnezda kreće se u rasponu od 10 do 250 mikrona, a veličine pojedinih individua u gnezdu do 5 mikrona. Sadržaj magnezita u belim komadima iznosi 95–97%.

— Kontaktni delovi prekrystalisanog magnezita sa mrkom masom sadrže nečistoće od silicijске komponente u obliku kvarcnih kristala, nastalih pseudomorfozom po dolomitu. Zadržali su oblik romboedarskih kristala i relikte dolomita koncentrisane u centralnim delovima. Veličina kristala kreće se u rasponu od 5 do 100 mikrona. Javljuju se u većim koncentracijama — nagomilanjima u prekrystalisanom magnezitu ili na rubovima žica mrkih kristalastih partija. Silicijска komponenta javlja se u obliku radikalno zrakastih sferolita rozeta, sastavljenih od kalcedona. Prečnik sferolita koleba se u rasponu od 100 do 250 mikrona. Debljina vlakana je do 5 mikrona.

— Mrke partie sadrže dolomit, magnezit, kalcit i aragonit. Struktura je krupnokristalasta. Dolomit se javlja u obliku romboedarskih kristala u rasponu veličine 5–100 mikrona izuzetno i do 1–3 mm. Kalcit se javlja u obliku izduženih prizmatičnih kristala, najčešće oko jezgra od dolomita. Dužina prizmi je najčešće od 100 do 250 mikrona, ali dostiže veličinu i do 1 mm. Aragonit se javlja uz kalcit u vidu mineraloških pojava, obrazuje rozete od radikalno zrakastih agregata oko jezgra od magnezita. Dužina radikalno zrakastih agregata je od 100 do 250 mikrona.

Potrebno je naglasiti da mrke partie pored dolomita, kalcita, aragonita i silicijске komponente sadrže i magnezit u promenljivoj količini. Magnezit je kriptokristalast do mikrokristalast, a najčešće se zonarno raspoređuje i smenjuje sa zonama krupnokristalastih karbonata koji čine nečistoće.

Optičkim ispitivanjima sitnih klasa utvrđeno je: u klasi krupnoće — 2 mm dolazi skoro do potpunog razdvajanja mrke mase od belog magnezita. Međutim, to nije potpuno odvajanje magnezita od ostalih karbonata i silicijске komponente, koji predstavljaju jalovinu, jer je i sam beli magnezit u izvesnom stepenu nosilac nečistoća. U klasi krupnoće — 100 mikrona dolazi do većeg oslobođanja magnezita od ostalih komponenti, stepen oslobođanja magnezita iznosi oko 90%.

Rezultati rentgenskih ispitivanja. — Primjenom Debašererove metode prava ispitani je usitnjeni uzorak magnezita — 100 mikrona. Interpretacijom dobijenih podataka, po redu zastupljenosti, utvrđeni su sledeći minerali: magnezit, kvarc, dolomit, kalcit i hidrofiskun.

Rezultati termičkih ispitivanja. — Upotrebljene su dve metode i to: DTA i termogravimetrijska analiza. Diferencijalno-termička analiza izvršena je uz kontinualni prirast temperature od 120°C/min. sve do 1.000°C. Kriva diferencijalno-termičkog zagrevanja pokazala je sledeće efekte: u temperaturnom intervalu do 300°C javlja se mali endotermni efekat koji odgovara dehidrataciji hidrofiskunka. U intervalu od 500–700°C javlja se znatan endotermni efekat magnezita, koji predstavlja disocijaciju karbonata na MgO i CO₂. U intervalu 700–800 i 850–950°C javljaju se endotermni efekti karakteristični za dolomit. U prvom se vrši disocijacija magnezijum karbonata iz dolomita, a u drugom kalcijum karbonata iz dolomita i kalcita sa kojim se spaja (sl. 1).

Termogravimetrijska analiza ukazuje da se gubici u težini vezuju za vlagu uzorka, zatim dehydrataciju hidrofiskunka do temperature od 300°C. Dalji gubici u težini su nastali usled diso-

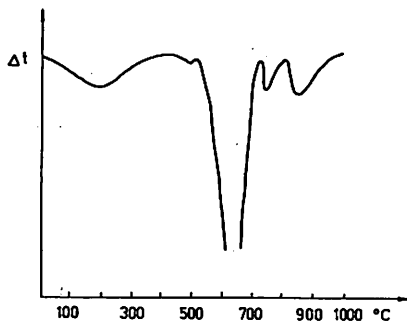
cijacije karbonata i gubitka u CO_2 . Ukupni gubitak u težini do temperature od 1000°C iznosi 45,80% (sl. 2).

Mineraloški sastav ispitivanog uzorka brečastog magnezita

Na osnovu svih izvršenih ispitivanja utvrđen je kvalitativan i kvantitativan mineralni sastav brečastog magnezita Strezovci i sve strukturne i teksturne karakteristike.

Kvantitativan mineraloški sastav uzorka brečastog magnezita Strezovci dao je sledeće rezultate:

| | |
|------------------------|--------|
| Magnezit | 73,40% |
| Dolomit | 8,20% |
| Kalcit | 4,80% |
| Aragonit | trag |
| Hidroliskun | 2,60% |
| Limonit | 0,10% |
| Magnezit | trag |
| Kvarc, kalcedon i opal | 10,90% |



Sl. 1 — Kriva DTA
Fig. 1 — The curve DTA

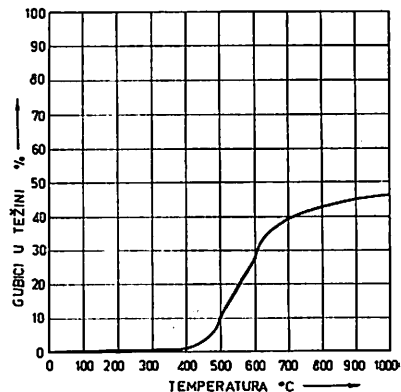
Sadržaj magnezita iznosi 73,40%. Nečistoću predstavljaju ostali karbonati, dolomit i kalcit, glinovita komponenta iz grupe hidroliskuna koja je u glavnim nosilac gvožđa. Sadržaj slobodne silicijske komponente, koji je predstavljen kvarcom, kalcedonom i opalom je znatan i iznosi 10,90%.

Premda prikazanim rezultatima mineraloških ispitivanja može se konstatovati da je ispitivani uzorak brečastog izgleda i da je veoma veliki intenzitet srastanja i urastanja minerala koji predstavljaju jalovinu sa magnezitom. Strukturno-teksturne osobine ove sirovine ukazuju da je potrebno znatno usitnjavanje, da bi se postiglo oslobođanje magnezita od jalovine.

Rezultati laboratorijskih ispitivanja

Laboratorijska ispitivanja u cilju utvrđivanja stepena otvaranja i izbora najpovoljnije klase krupnoće za tretiranje magnezita u postrojenju za tešku sredinu izvršena su na manjem uzorku, koji je uzet od poluindustrijskog uzorka iz ležišta brečastog magnezita Strezovići.

U studiji koju je izradio Rudarski institut dati su svi rezultati ovih ispitivanja, a u ovom članku daju se rezultati ispitivanja samo za klase krupnoće u rasponu od $-25 + 0 \text{ mm}$ i $-15 + 0 \text{ mm}$. Utvrđivanje stepena otvaranja magnezita, kao i analize pliva-tona, vršene su na pojedinim klasama krupnoće pri usitnjavanju magnezita do ggk 60 mm; 30 mm; 10 mm i na kraju kao završni opit ggk 25 i 15 mm.



Sl. 2 — Termogravimetrijska kriva
Fig. 2 — The curve of thermogravimetry.

Sadržaj štetnih primesa u ispitivanom uzorku:

| | |
|------------------|--------|
| CaO | 5,16% |
| SiO ₂ | 11,25% |

U tablici 2 daje se sadržaj SiO₂ i CaO u klasama krupnoće posle usitnjavanja rovnog magnezita do ggk 25 mm. Usitnjavanje je vršeno u čeljusnoj drobilici, a klasiranje mokrim prosečavanjem.

U tablici 3 daje se sadržaj SiO₂ i CaO u klasama krupnoće posle usitnjavanja rovnog magnezita do ggk 15 mm.

Na osnovu rezultata datih u tablicama 2 i 3 može se konstatovati da je sadržaj SiO_2 u krupnjim klasama od 1 mm skoro isti, a da se znatno smanjuje u sitnoj klasi $-1 + 0$ mm. Sto se tiče sadržaja CaO, ovde je situacija sasvim suprotna: u krupnjim klasama od 1 mm sadržaj CaO opada, u sitnoj klasi $-1 + 0$ mm se znatno povećava (što je veoma povoljna činjenica).

Usitnjavanje rovnog brečastog magnezita u čeljusnoj drobilici je veoma efikasno, a pri tome se relativno malo javlja sitna klasa $-1 + 0$ mm. Težinski udio sitne klase $-1 + 0$ mm pri usitnjavanju do ggk 25 mm iznosi 8,30%, a pri usitnjavanju do ggk 15 mm 13,20%. Pri tome treba imati u vidu da je sitna klasa tretirana kao jalovina pri konačnom bilansu čišćenja i koncentracije brečastog magnezita.

Rezultati analize pliva-tone

Analiza pliva-tone vršena je na pojedinim klasama krupnoće brečastog magnezita posle usitnjavanja do ggk 25 mm i 15 mm. Sitna klasa $-1 + 0$ mm nije tretirana analizom P-T. Ispitivanja su vršena u tečnosti bromoform-a u rasponu specifičnih težina 2,60 do 2,89 g/cm³.

Hemiske analize vršene su na SiO_2 i CaO.

U prvoj fazi ispitivanja analiza pliva-tone vršena je na sledećim klasama (posle usitnjavanja do ggk 25 mm):

- $-25 + 20$ mm
- $-20 + 15$ mm
- $-15 + 10$ mm
- $-10 + 5$ mm
- $-5 + 1$ mm

Tablica 2

Sadržaj SiO_2 i CaO u klasama krupnoće posle usitnjavanja do ggk 25 mm

| Klase krupnoće mm | Težinski udio | | Sadržaj % | | Raspodela % | |
|-------------------------|---------------|------------|----------------|------|----------------|--------|
| | % | Σ % | SiO_2 | CaO | SiO_2 | CaO |
| $-25 + 15$ | 57,40 | 57,40 | 10,75 | 4,13 | 60,30 | 51,70 |
| $-15 + 1$ | 34,30 | 91,70 | 10,02 | 4,27 | 33,50 | 31,90 |
| $-1 + 0$ | 8,30 | 100,00 | 7,81 | 9,01 | 6,20 | 16,40 |
| Ukupno | 100,00 | — | 10,25 | 4,58 | 100,00 | 100,00 |

Tablica 3

Sadržaj SiO_2 i CaO u klasama krupnoće posle usitnjavanja do ggk 15 mm

| Klase krupnoće mm | Težinski udio | | Sadržaj % | | Raspodela % | |
|-------------------------|---------------|------------|----------------|------|----------------|--------|
| | % | Σ % | SiO_2 | CaO | SiO_2 | CaO |
| $-15 + 1$ | 86,80 | 86,80 | 10,57 | 4,04 | 89,70 | 76,70 |
| $-1 + 0$ | 13,20 | 100,00 | 8,02 | 8,11 | 10,30 | 23,30 |
| Ukupno | 100,00 | — | 10,25 | 4,58 | 100,00 | 100,00 |

Tablica 4

Zbirni pregled odvajanja teške frakcije na pojedinim specifičnim težinama

Klase $-25 + 1$ mm

| Klase mm | Specifična težina | T% teške frakcije | T% na ulaz | Sadržaj % | | Suma T% x% | |
|-------------|----------------------|-------------------------|------------------|----------------|------|----------------|-------|
| | | | | SiO_2 | CaO | SiO_2 | CaO |
| $-25 + 20$ | 2,87 | 42,81 | 14,20 | 3,00 | 1,75 | 42,60 | 24,87 |
| $-20 + 15$ | 2,87 | 29,68 | 7,20 | 2,04 | 1,60 | 14,68 | 11,52 |
| $-15 + 10$ | 2,83 | 33,27 | 4,10 | 1,04 | 1,17 | 4,26 | 4,80 |
| $-10 + 5$ | 2,80 | 30,04 | 2,40 | 1,78 | 1,31 | 4,27 | 3,14 |
| $-5 + 1$ | 2,85 | 39,15 | 5,50 | 1,25 | 1,84 | 6,87 | 10,21 |
| $-25 + 1$ | — | 36,52 | 33,40 | 2,18 | 1,64 | 72,68 | 54,54 |

Težinski udio % na ulaz klase:

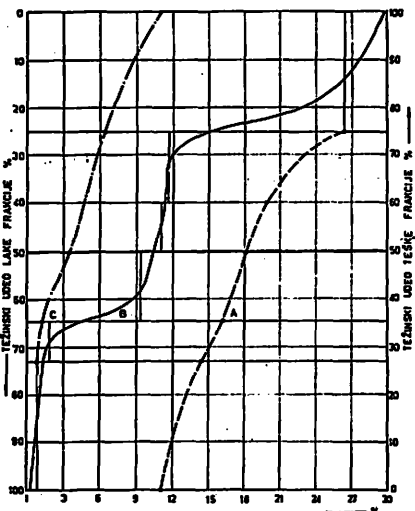
- | | |
|------------------------|-----------------------|
| $-25 + 20$ mm — 33,06% | $-10 + 5$ mm — 7,92% |
| $-20 + 15$ mm — 24,34% | $-5 + 1$ mm — 14,07% |
| $-15 + 10$ mm — 12,31% | $-25 + 1$ mm — 91,70% |

Zbirni pregled postignutih rezultata odvajanja teške frakcije (magnezita) na pojedinim specifičnim težinama dat je u tablici 4.

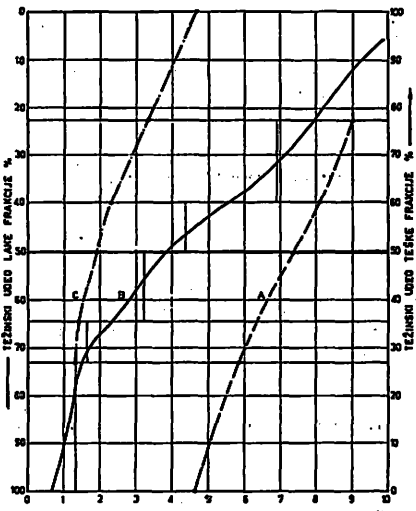
Identična ispitivanja izvršena su na uzorku magnezita posle usitnjavanja do ggk 15 mm. Zbirni pregled postignutih rezultata odvajanja teške frakcije na pojedinim specifičnim težinama daje se u tabloidi 5.

Imajući u vidu postignute rezultate pri analizi pliva-tone na pojedinim klasama krupnoće izvršena je analiza na klasi — 25 + 1 mm i na klasi — 15 + 1 mm posle mokrog prosejavanja na situ otvora 1 mm.

U tablici 6 daju se rezultati analize pliva-tone za SiO_2 na klasi — 25 + 1 mm, kao i na sl. 3. U tablici 7 daju se rezultati analize pliva-



Sl. 3 — Krive analize P-T za SiO_2 . Uzorak ggk 25 mm; klasa — 25+1 mm
A — kriva lave frakcije; B — elementarna kriva;
C — kriva teške frakcije
Fig. 3 — The curve of float — sink analysis of SiO_2 .
The sample size — 25+1 mm.



Sl. 4 — Krive analize P-T za CaO . Uzorak ggk 25 mm; klasa — 25+1 mm
A — kriva lave frakcije; B — elementarna kriva;
C — kriva teške frakcije
Fig. 4 — The curve of float — sink analysis of CaO .
The sample size — 25+1 mm.

Zbirni pregled odvajanja teške frakcije na pojedinim specifičnim težinama
Klase — 15 + 1 mm

Tablica 5

| Klase mm | Specifična težina | T% teške frakcije | T% na ulaz | Sadržaj % | | Suma T% x% |
|-------------|----------------------|-------------------------|---------------|----------------|------|------------|
| | | | | SiO_2 | CaO | |
| — 15 + 10 | 2,83 | 37,98 | 15,30 | 1,40 | 1,31 | 21,58 |
| — 10 + 5 | 2,80 | 28,08 | 5,60 | 0,89 | 1,38 | 4,57 |
| — 5 + 1 | 2,80 | 39,48 | 10,50 | 2,11 | 2,15 | 22,18 |
| — 15 + 1 | — | 36,24 | 31,40 | 1,56 | 1,61 | 48,73 |
| | | | | | | 50,53 |

Težinski udeo % na ulaz klase:

— 15 + 10 mm — 40,45%
— 10 + 5 mm — 19,70%

— 5 + 1 mm — 26,65%
— 15 + 1 mm — 86,80%

Rezultati analize P—T za SiO₂; gsk 25 mm
Klasa — 25 + 1 mm

| Specifična težina tehnosti | Elementarna kriva | | | Integralna kriva lute frakcije | | | Integralna kriva teške frakcije | | |
|----------------------------------|-------------------|--------------------|--------------------------|--------------------------------|--------------------|-------|---------------------------------|--------------------|----------|
| | T% | SiO ₂ % | ΣT% × SiO ₂ % | T% × ΣT% × SiO ₂ % | SiO ₂ % | R% | ΣT% × SiO ₂ % | SiO ₂ % | R% |
| —2,75 | 22,67 | 26,54 | 601,682 | 22,67 | 601,682 | 26,54 | 54,85 | 100,00 | 1095,583 |
| +2,75—2,80 | 17,21 | 11,78 | 202,389 | 39,88 | 304,051 | 20,18 | 73,37 | 77,33 | 493,921 |
| +2,80—2,83 | 10,28 | 11,18 | 114,930 | 50,16 | 918,981 | 18,26 | 83,90 | 60,12 | 291,582 |
| +2,83—2,85 | 14,45 | 9,42 | 136,119 | 64,61 | 1055,100 | 16,32 | 96,29 | 49,84 | 176,602 |
| +2,85—2,87 | 8,43 | 1,86 | 15,680 | 73,04 | 1070,780 | 14,68 | 97,73 | 35,39 | 40,483 |
| +2,87 | 26,96 | 0,92 | 24,803 | 100,00 | 1095,583 | 10,95 | 100,00 | 26,96 | 24,803 |
| | 100,00 | 10,95 | 1095,583 | — | — | — | — | — | — |

Rezultati analize P—T za CaO; gsk 25 mm
Klasa — 25 + 1 mm

| Specifična težina tehnosti | Elementarna kriva | | | Integralna kriva lute frakcije | | | Integralna kriva teške frakcije | | |
|----------------------------------|----------------------|------|------------|--------------------------------|---------|------|---------------------------------|--------|---------|
| | T% | CaO% | ΣT% × CaO% | T% × ΣT% × CaO% | CaO% | R% | ΣT% × CaO% | CaO% | R% |
| —2,75 | 22,67 | 9,01 | 204,257 | 22,67 | 204,257 | 90,1 | 44,01 | 100,00 | 463,882 |
| +2,75—2,80 | 17,21 | 6,91 | 118,921 | 39,88 | 323,176 | 8,10 | 69,71 | 77,33 | 259,625 |
| +2,80—2,83 | 10,28 | 4,37 | 44,924 | 50,16 | 366,102 | 7,34 | 78,32 | 60,12 | 140,704 |
| +2,83—2,85 | 14,45 | 3,21 | 46,334 | 64,61 | 414,486 | 6,41 | 88,13 | 49,84 | 95,780 |
| +2,85—2,87 | 8,43 | 1,67 | 14,078 | 73,04 | 428,564 | 5,87 | 92,13 | 35,39 | 49,386 |
| +2,87 | 26,96 | 1,31 | 35,318 | 100,00 | 463,882 | 4,63 | 100,00 | 26,96 | 35,318 |
| | 100,00 | 4,63 | 463,882 | — | — | — | — | — | — |

Tablica 6

Tablica 7

Tablica 8

Rezultati analize P—T za SiO₂ sek 15 mm Klase — 15 + 1 mm

| Specificna težina tehnosti | Elementarna kriva | | | Integralna kriva luke frakcije | | | R% | $\Sigma T\% \times SiO_2\% / SiO_2\% R\%$ | Integralna kriva luke frakcije |
|----------------------------------|----------------------|--------------------|-------------------------|--------------------------------|--------------------------|--------------------|--------|---|--------------------------------|
| | T% | SiO ₂ % | T% × SiO ₂ % | T% × SiO ₂ % | ΣT% × SiO ₂ % | SiO ₂ % | | | |
| -2,75 | 23,85 | 23,34 | 628,208 | 23,85 | 628,208 | 26,34 | 56,36 | 100,00 | 1,114,577 11,14 |
| +2,80—2,83 | 15,43 | 16,88 | 257,372 | 39,28 | 885,581 | 22,54 | 79,45 | 76,15 | 486,388 6,39 |
| +2,83—2,85 | 18,03 | 8,86 | 156,139 | 57,31 | 1,041,720 | 18,18 | 83,46 | 60,72 | 228,986 3,77 |
| +2,85—2,87 | 12,34 | 4,33 | 54,868 | 69,65 | 1,086,386 | 15,74 | 98,37 | 42,89 | 72,887 1,71 |
| +2,85—2,87 | 9,62 | 1,46 | 14,045 | 79,27 | 1,110,431 | 14,01 | 98,63 | 30,35 | 18,181 0,80 |
| +2,87 | 20,73 | 0,20 | 4,146 | 100,00 | 1,114,577 | 11,14 | 100,00 | 20,73 | 4,146 0,20 |
| | 100,00 | 11,14 | 1,114,577 | | | | | | |

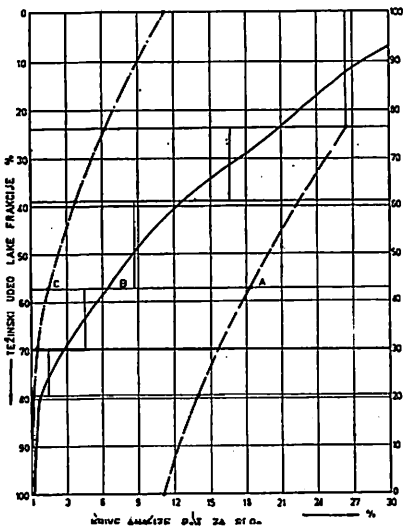
Tablica 9

Rezultati analize P—T za CaO sek 15 mm. Klase — 15 + 1 mm

| Specificna težina tehnosti | Elementarna kriva | | | Integralna kriva luke frakcije | | | R% | $\Sigma T\% \times CaO\% / CaO\% R\%$ | Integralna kriva luke frakcije |
|----------------------------------|----------------------|------|-----------|--------------------------------|------------|------|--------|---------------------------------------|--------------------------------|
| | T% | CaO% | T% × CaO% | T% × CaO% | ΣT% × CaO% | CaO% | | | |
| -2,75 | 23,85 | 8,92 | 212,742 | 23,85 | 212,742 | 8,92 | 47,51 | 100,00 | 448,117 4,48 |
| +2,75—2,80 | 15,43 | 5,33 | 82,242 | 39,28 | 284,984 | 5,98 | 65,80 | 76,15 | 235,355 3,09 |
| +2,80—2,83 | 18,03 | 3,95 | 87,445 | 57,31 | 382,429 | 5,68 | 85,32 | 60,72 | 153,113 2,52 |
| +2,83—2,85 | 12,34 | 2,34 | 28,875 | 69,65 | 411,304 | 5,16 | 91,81 | 42,69 | 65,668 1,54 |
| +2,85—2,87 | 9,62 | 1,38 | 13,275 | 79,27 | 424,579 | 4,76 | 94,70 | 30,35 | 36,933 1,22 |
| +2,87 | 20,73 | 1,14 | 23,632 | 100,00 | 448,117 | 4,48 | 100,00 | 20,73 | 23,638 1,14 |
| | 100,00 | 4,48 | 448,097 | — | — | — | — | — | — |

-tone za CaO na istoj klasi i na sl. 4. Imajući u vidu rezultate prikazane u tablici 6 i 7 za klasu $-25 + 1$ mm može se konstatovati, da pri odvajjanju na specifičnoj težini $+2,85$ udeo teške frakcije iznosi 35,39% i da je pri tome sadržaj SiO_2 1,14%, a sadržaj CaO 1,40%.

Izvršena ispitivanja na klasi krupnoće $-15 + 1$ mm su isto tako dala veoma povoljne rezultate. U tablici 8 daju se rezultati analize pliva-tone za SiO_2 , kao i na sl. 5. U tablici 9 daju se rezultati analize pliva-tone za CaO i na sl. 6. Na osnovu rezultata prikazanih u tablici



Sl. 5 — Krive analize P-T za SiO_2 . Uzorak gwk 15 mm;
A — kriva lage frakcije; B — elementarna kriva;
C — kriva teške frakcije.
Fig. 5 — The curve of float — sink analysis of SiO_2 .
The sample size $-15+1$ mm.

Sl. 6 — Krive analize P-T za CaO. Uzorak gwk 15 mm;
A — kriva lage frakcije; B — elementarna kriva;
C — kriva teške frakcije.
Fig. 6 — The curve of float — sink analysis of CaO.
The sample size $-15+1$ mm.

Uporedni pregled analize P-T po pojedinim opitimama

Tablica 10

| Analiza pliva-tone | Klasa mm | T% na tešku frakciju | T% na ulaz | Odvajanje na spec. težini | Sadržaj % | |
|-----------------------|-------------|----------------------------|---------------|------------------------------|----------------|------|
| | | | | | SiO_2 | CaO |
| Analiza po klasama | $-25 + 1$ | 36,52 | 33,40 | 2,80—2,87 | 2,18 | 1,64 |
| Analiza po klasama | $-15 + 1$ | 36,24 | 31,40 | 2,80—2,83 | 1,56 | 1,61 |
| Analiza kompozita* | $-25 + 1$ | 35,39 | 32,30 | 2,85 | 1,14 | 1,40 |
| Analiza kompozita* | $-15 + 1$ | 42,69 | 37,10 | 2,83 | 1,71 | 1,54 |

Težinski udeo % na ulaz klase:
 $-25 + 1$ mm — 91,70%
 $-15 + 1$ mm — 86,80%

* Analiza P-T vršena na klasi $-25 + 1$ mm odnosno $-15 + 1$ mm.

8 i 9 može se konstatovati da pri odvajjanju na specifičnoj težini +2,83 udeo teške frakcije iznosi 42,69% i da je sadržaj SiO_2 u teškoj frakciji 1,71% a sadržaj CaO 1,54%.

Posmatrajući u celini rezultate analize plivatone na pojedinim klasama krupnoće posle usitnjavanja do ggk 25 i 15 mm, kao i na zbirnim klasama (rezultati prikazani u tablici 10) može se konstatovati sledeće:

- usitnjavanje magnezita do ggk 25 mm može se smatrati kao gornja granica pri kojoj analiza plivatone daje zadovoljavajuće rezultate. Usitnjavanje magnezita do ggk 15 mm daje veoma povoljne rezultate u pogledu težinskog iskorишćenja, ali se oseća mali pad kvaliteta teške frakcije u pogledu sadržaja SiO_2 , što znači da se ova granična krupnoća mogla smatrati kao donja granica usitnjavanja magnezita;
- težinski udeo teške frakcije (koncentrat magnezita) se kreće od 32,30% do 37,10% u odnosu na tretiranu klasu pri odvajjanju na specifičnoj težini tečnosti 2,83–2,85 g/cm³, a pri tome je sadržaj SiO_2 od 1,14 do 1,71%, a sadržaj CaO od 1,40% do 1,54%;
- kvalitet teške frakcije (koncentrat magnezita) u pogledu granulometrijskog sastava i sadržaja SiO_2 i CaO u potpunosti odgovara postavljenim zahtevima od strane vatrostalne industrije, tj. sadržaj SiO_2 i CaO manji od 2,0% i granulometrijski sastav u granicama —30+1 mm.

Rezultati poluindustrijskih ispitivanja

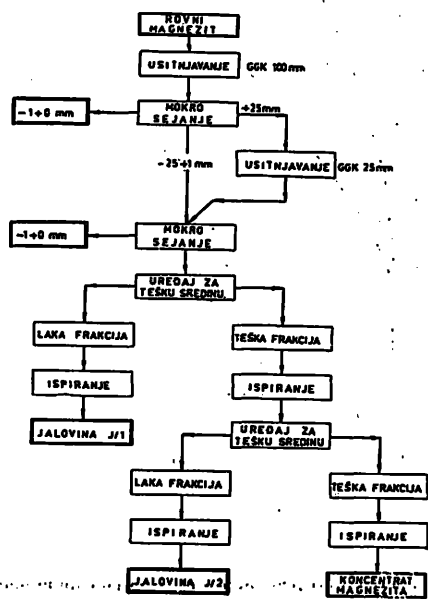
Utvrđeni kvalitet rovnog brečastog magnezita Strezovci je ukazao na mogućnost primene pojedinih metoda čišćenja i koncentracije, a izvršena laboratorijska ispitivanja su potvrdile mogućnost čišćenja i koncentracije brečastog magnezita u postrojenju za tešku sredinu. Na osnovu rezultata laboratorijskih ispitivanja data je šema tehnološkog procesa čišćenja i koncentracije magnezita Strezovci (sl. 7). U kraćem izводu daje se šema tehnološkog procesa, koja je istovremeno poslužila i za poluindustrijska ispitivanja utvrđivanja mogućnosti koncentracije brečastog magnezita u postrojenju za tešku sredinu:

- usitnjavanje rovnog magnezita do ggk 25 mm
- klasiranje usitnjenog magnezita mokrim prosejavanjem na dve klase krupnoće —25+1 mm i —1+0 mm
- sitna klasa —1+0 mm se smatra kao jalovina i ista se dalje ne tretira u procesu

— tretiranje klase —25+1 mm u postrojenju za tešku sredinu. Teška frakcija predstavlja koncentrat magnezita, a laka frakcija predstavlja jalovinu

— koncentrat magnezita od prvog odvajanja u uredaju za tešku sredinu se naknadno prečišćava. Teška frakcija predstavlja konačni koncentrat magnezita, a laka frakcija predstavlja jalovinu.

Poluindustrijska ispitivanja čišćenja i koncentracije brečastog magnezita Strezovci izvršena su u postrojenju za tešku sredinu »Bela Stena« kapaciteta 15–20 tona/čas.



Sl. 7 — Šema tehnološkog procesa poluindustrijskog optinjenja koncentracije brečastog magnezita Strezovci.
Fig. 7 — The flowsheet of pilot-plant test of concentration of magnesite ore from Strezovci orebodies.

Opis tehnološkog procesa u separaciji magnezita »Bela Stena« daje se u kraćem izводu:

- privyatni bunker za rovni magnezit kapaciteta oko 30 m³
- primarno usitnjavanje do ggk 100 mm u čeljustnoj drobilici »Fagram« 1000×600 mm
- mokro prosejavanje na vibracionom situ sa jednom mrežom otvora 1,5 mm

- sekundarno usitnjavanje do ggk 25 mm u udarnoj drobilici IZ-II »STT«
- mokro prosejavanje usitnjenog magnezita na vibracionom situ sa dve mreže otvora 25 i 1 mm
- krupna klasa +25 mm odvaja se kao jalovina i dalje se ne tretira u procesu proizvodnje
- klasa krupnoće —25+1 mm ide u proces odvajanja u postrojenju za tešku sredinu, gde se vrši odvajanje magnezita od jalovine u suspenziji ferosilicijuma u rasponu specifičnih težina od 2,5 do 3,05 g/cm³
- odvajanje na laku i tešku frakciju vrši se u koritu »Basse Sambre«, kapaciteta 15–20 t/h
- ispiranje luke i teške frakcije vrši se na zaledničkom vibracionom situ sa mrežom otvora 1 mm
- rekuperacija suspenzije ferosilicijuma vrši se elektromagnetskim separatorom
- teška frakcija pri tretiraju rovnog magnezita smatra se kao koncentrat magnezita, a laka frakcija kao jalovina
- održavanje specifične težine suspenzije u postrojenju je ručno, a može se održavati u pogonskim uslovima od 2,5–3,10 g/cm³.

Poliindustrijski opit u postrojenju za tešku tečnost „Bela Stena“

Ispitivanja brečastog magnezita u poliindustrijskim uslovima izvršena su na uzorku od oko 28 tona sa radnim kapacitetom postrojenja od 10–15 t/h.

Rovni magnezit ggk 400 mm usitnjavan je u dva stupnja do ggk 25 mm, a klasa —1+0 mm dobijena mokrim prosejavanjem usitnjenog magnezita na vibracionom situ, sa težinskim udelom od 7,90%, odbacuje se kao jalovina.

Sadržaj štetnih primesa u ispitivanom uzorku je 9,02% SiO₂ i 3,15% CaO.

Čišćenje i koncentracija brečastog magnezita izvršeno je na klasi krupnoće —25+1 mm, a rezultati ispitivanja dati su u tablici 11.

Tablica 11

| Proizvodi odvajanja | Težinski udeo % | | Sadržaj % | |
|---------------------|-----------------|---------|------------------|------|
| | Na klasu | Na ulaz | SiO ₂ | CaO |
| Koncentrat K/1 | 42,00 | 38,50 | 2,63 | 1,63 |
| Jalovina J/1 | 58,00 | 53,60 | 16,24 | 3,15 |
| Ulaž —25+1 mm*) | 100,00 | 92,10 | 10,52 | 2,51 |

*) Sračunate vrednosti:

- teška frakcija — koncentrat K/1
- laka frakcija — jalovina J/1

Odvajanje je izvršeno pri specifičnoj težini suspenzije od 2,96–2,98 g/cm³.

Prečišćavanje koncentrata K/1 (teške frakcije) u koritu »Basse Sambre« i odvajanje pri specifičnoj težini 2,98 do 3,05 g/cm³. Izvršeno je u cilju dobijanja kvalitetnijih koncentrata magnezita. Rezultati prečišćavanja dati su u tablici 12.

Tablica 12

| Proizvodi prečišćavanja | Težinski udeo % | | Sadržaj % | |
|-------------------------|-----------------|---------|------------------|------|
| | Na frakciju | Na ulaz | SiO ₂ | CaO |
| Koncentrat K/2 | 80,00 | 30,80 | 1,02 | 1,50 |
| Jalovina J/2 | 20,00 | 7,70 | 8,53 | 2,36 |
| Ulaž K/1*) | 100,00 | 38,50 | 2,52 | 1,67 |

*) Sračunate vrednosti:

- teška frakcija — koncentrat K/2
- laka frakcija — jalovina J/2

Sumirajući rezultate poliindustrijskog optičišćenja i koncentracije brečastog magnezita Strezovci su napomenom da je krupna klasa +25 mm занемарена (udeo manji od 1%) može se dati sledeći bilans:

| | |
|---------------------------------------|---------|
| konzentrat magnezita | 30,80% |
| jalovina (ukupna od I i II odvajanja) | 61,30% |
| jalovina klasa —1+0 mm | 7,90% |
| ukupno rovni magnezit | 100,00% |

Zaključni osvrt

Ležište brečastog magnezita Strezovci u sadašnjim uslovima eksploracije tretira se kao vanbilansno usled visokog sadržaja SiO₂ i CaO. U studiji koju je izradio Rudarski institut izvršena su obimna istraživanja u cilju dobijanja koncentrata magnezita za potrebe vatrastalne industrije i pri tome su iznadene odgovarajuće metode čišćenja i koncentracije brečastog magnezita. U ovom se radu tretira odstranjanje štetnih primesa SiO₂ i CaO korišćenjem rezultata analize pliva-tone, kao i rezultata izvršenih poliindustrijskih ispitivanja čišćenja i koncentracije brečastog magnezita Strezovci u postrojenju za tešku sredinu »Bela Stena«.

Brečasta ruda magnezita sastavljena je od odlikama belog čistog magnezita koji je cementiran mrkrom masom koja se sastoji od minerala nosilaca štetnih primesa SiO₂ i CaO (opal, kalcedon, kvarc, dolomit i kalcit). Veličina komada čistog magnezita kreće se od nekoliko mm pa do 80 mm (u proseku je najveći udeo komada veličine 5–20 mm). Mrka masa, koja je nosilac štetnih primesa, je u većini slučajeva iste veličine kao i komadi čistog magnezita. Pri usitnjavanju rovnog brečastog magne-

zita do ggk 25 mm postiže se veoma visok stepen oslobođanja magnezita — oko 80—90%, a pri usitnjavanju do ggk 15 mm stepen oslobođanja se povećava na oko 90—95%. Korišćenjem navedenih karakteristika rovnog brečastog magnezita i primenom analize pliva-tone (u teškoj tečnosti — bromoform) dokazana je mogućnost odvajanja teške frakcije (koncentrata magnezita) od lake frakcije (jalovine) pri tretirajući klasa —25+1 mm i —15+1 mm (tablica 10).

Prema rezultatima laboratorijskih ispitivanja utvrđena je šema tehnološkog procesa tretiranja brečastog magnezita Strezovci. Izvršen poluindustrijski opit sa brečastom rudom magnezita iz ležišta Strezovci u separaciji magnezita (teška sredina) »Bela Stena« kapaciteta 15 t/čas je u potpunosti potvrdio rezultate la-

batorijskih ispitivanja. Bilans čišćenja i koncentracije dat je u tablici 12. Sadržaj SiO₂ u koncentratu magnezita iznosi 1,02% prema 9,02% u ulaznoj rudi. Sadržaj CaO iznosi 1,50% prema 3,15% u rovnoj sirovini. Težinsko iskorisćenje koncentrata magnezita iznosi 30,80% u odnosu na tretiranu rovnu sirovinu. Postignuti rezultati pri laboratorijskim i poluindustrijskim ispitivanjima brečastog magnezita Strezovci su ukazali na mogućnost tretiranja magnezita u postrojenju za tešku sredinu. Utvrđena je šema tehnološkog procesa čišćenja i koncentracije brečastog magnezita Strezovci, a zasebnim izveštajem dokazana je mogućnost ekonomične proizvodnje kvalitetnog koncentrata magnezita za potrebe vatrostalne industrije primenom ovde navedenog tehnološkog procesa.

SUMMARY

Concentration of Magnesite Ore of Strezovci Orebody by Heavy Medium Separation

D. Ivanković, min. eng. — T. Kostić, min. eng.*)

The investigations on possibility of concentration and cleaning of magnesite ore of Strezovci orebody by heavy medium separation, described in this article represent results obtained after laboratory tests and pilotplant test.

The content of impurities of magnesite ore is 9,02% SiO₂ and 3,15% CaO. Obtained grade of concentrate have content of 1,02% SiO₂ and 1,50% CaO. Details of investigations are given in the paper.

Literatura

1. Studija čišćenja i koncentracije magnezita »Strezovci«. — Rudarski institut, Beograd, 1968.
2. Izveštaj o poluindustrijskim ispitivanjima brečastog magnezita »Strezovci«. — Rudarski institut, Beograd, 1969.
3. Investicioni program izgradnje separacije magnezita »Strezovci«. — Rudarski institut, Beograd, 1969.
4. Fromenko, T. G., 1966: Gravitacionnye processy obogashcheniya poleznykh iskopayemyh. — Nedra, Moskva.
5. Evsimović, S. G., 1959: Obogashchenie rud v tjazelyh sredah. — Gosgortehizdat.
6. Salzmann, G., 1962: Die Sink-Schwimm-aufbereitung von Erzen. — Erzbergbau u. Metallhüttenwesen, Band XV, H. 10.

*) Dipl. ing. Dragorad Ivanković i dipl. ing. Tihomir Kostić, saradnici Zavoda za prizemnu mineralnih sirovina Rudarskog instituta, Beograd.

O mogućnostima briketiranja koncentrata hromne rude iz Republike Turske pomoću veziva i uz dodatak reducenta

(sa 17 slika)

Dipl. ing. Mira Mitrović — dipl. ing. Vera Stamenković

Uvod

U članku je prikazano ispitivanje okrupnjavaanja sitnozrnog flotacijskog koncentrata hromne rude iz Republike Turske odnosno prikazana je mogućnost dobijanja kvalitetnih briketa, koji mogu da se upotrebe u proizvodnji legure hroma.

Radovi na ovoj studiji su obuhvatili:

- utvrđivanje osobina koncentrata rude hroma,
- ispitivanje mogućnosti briketiranja koncentrata rude hroma sa vezivnim sredstvom i to: smolom katrana kamenog uglja; sulfitnom lužinom;
- ispitivanje mogućnosti briketiranja koncentrata rude hroma i reducenta sa vezivnim sredstvom: smolom katrana kamenog uglja; sulfitnom lužinom;
- ispitivanje kvaliteta i osobina dobijenih briketa.

Uzorci za ispitivanje

Za ispitivanje su bili na raspolaganju reprezentativni srednji uzorci sledećih sirovina:

- koncentrat rude hroma iz Republike Turške u težini od 40 kg. Uzorak je uzet sa skladišta u luci Mudanya. Krupnoća koncentrata je $-3+0$ mm;
- metalurški koks (reducent) veličine zrna $-40+0$ mm u težini od 46 kg;
- smola katrana kamenog uglja u težini od 10 kg, proizvod koksare »Boris Kidrič«, Lukavac;
- sulfitna lužina u težini od 10 kg, proizvod Fabrike celuloze i viskoze, Banja Luka.

Rezultati ispitivanja

Osobine koncentrata rude

Mineraloška ispitivanja koncentrata. — Koncentrat se sastoji od mineralnog praha tamnosive boje u kojem se ističu bela, zelenasta, žuta i mrka mineralna zrna koja čine primeće.

Određivanje mineralne vrste. — Utvrđeno je optičkim metodama da ruda pripada mineralnoj grupi spinelida.

Kristalohemjiska vrsta minerala je određena rentgenskim ispitivanjem. Primenjena je Debajšerova metoda praha. Snimanje je izvršeno pomoću antikatode od bakra, u komori 57,3 mm. Rentgensko zračenje je filtrirano filterom od nikla. Uslovi pri snimanju su bili sledeći: 35 kV, 14 mA. Dužina snimanja iznosila je 3 h.

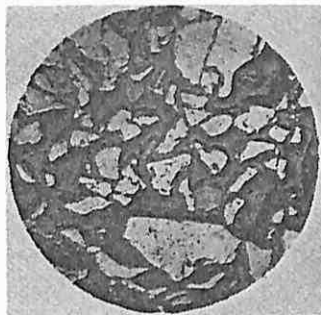
Interpretacijom Debaograma praha utvrđena je mineralna vrsta hromopikotit (Mg, Fe) $(Cr, Al)_2O_4$.

Kvalitativan mineralni sastav. — Kvalitativan mineralni sastav koncentrata je određen na osnovu optičkih i rentgenskih ispitivanja. Utvrđene su sledeće mineralne vrste: hromopikotit (Mg, Fe) $(Cr, Al)_2O_4$; magnetit ($Fe Fe_2O_4$); magnezit ($Mg Co_3$); olivin ($Mg Fe_2 SiO_4$); delimično serpentinisani opal i kalcodon (SiO_2 i H_2O).

Strukturno-teksturne osobine. — Hromopikotit se najčešće javlja u samostalnim (slobodnim) zrnima različitog oblika i veliči-

ne. Manjim delom je srastao i čini mikrobreć ili je srastao sa olivinom ili opalom u obliku uklopaka. Hrompikotitska zrna se javlaju u sledećim oblicima: okruglastim, izdužnim zaobljenim, poluzaoobljenim različitog izduženja, nepravilnim, zupčastim, trouglastim i trapezastim (sl. 1).

Oko 40% hrompikotitskih zrna je ispučalo, sl. 3, (kataklizirano). Pukotine na jednom zrnu se sekut pod različitim uglovima, tako da se ne može utvrditi neka pravilnost.



Sl. 1 — Reflektovana svetlost, nikoli paralelni. Uvećanje 40 puta. Oblici pojavljivanja hrompikotitskih zrna

Abb. 1 — Reflektiertes Licht, Nikols parallel. Vergrößerung 40-fach. Erscheinungsformen der Chrompikotitkörper

Na zrnima srednje veličine (200 mikrona) obično se javljaju dve do četiri pukotine; međutim, njihov broj na velikim zrnima (400 mikrona) povećava se i do petnaest. Debljina pukotina je od 5 do 15 mikrona.

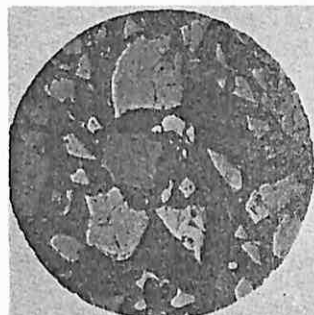
Srasla hrompikotitska zrna javljaju se u obliku mikrobreća (sl. 4), koja se sastoje od hrompikotitskih odlomaka cementovanih pornim karbonatnim cementom. Veličina hrompi-

kotskih odlomaka je u rasponu od 2 do 100 mikrona.

Veličina hrompikotitskih zrna i njihovo procentualno učešće po veličini prikazani su na tablici 1.

Magnetit se javlja u obliku slobodnih zrna veličine oko 100 do 150 mikrona.

Nemetalna zrna, pratećih minerala javljaju se u slobodnim zrnima veličine 100 do 300 mikrona (sl. 2). Manji deo olivina, odnosno opala uklapa hrompikotit.



Sl. 2 — Reflektovana svetlost — nikoli paralelni. Uvećanje 40 puta. Hrompikotit (1), Opal (2), Magnezit (3)

Abb. 2 — Reflektiertes Licht — Nikols parallel. Vergrößerung 40-fach. Chrompikotit (1), Opal (2), Magnesit (3)

Kvantitativan mineralni sastav.
— Kvantitativan mineralni sastav je utvrđen mineraloškim ispitivanjem. Rezultati ispitivanja pokazuju da se mineralna materija sastoji od 89,6% hrompikotita, 0,2% magnetita, 3,5% opala i kaledona, 3,7% magnezita, 3,0% olivina i od granata u tragovima.

Zrna hrompikotita su najvećim delom oslobođena (97%). Oko 40% zrna hrompikotita je

Veličina i učešće hrompikotitskih zrna po veličini u koncentratu rude

Tablica 1

| Način pojavljivanja zrna | Oblik pojavljivanja | Veličina μ | Učešće % |
|--------------------------|---|----------------|----------|
| Srasla | mikrobreća | 2—100 | 3 |
| Srasla | uklopci u olivinu i opalu | 30—150 | 2 |
| Slobodna | okrugla, poluzaoobljena, zupčasta, trouglasta, trapezasta | do 45 | 15 |
| Slobodna | okrugla, izdužena, nepravilna, poluzaoobljena | 45—150 | 50 |
| Slobodna | izdužena, poluzaoobljena, nepravilna | 150—270 | 25 |
| Slobodna | nepravilno izdužena, poluzaoobljena | 400—500 | 5 |
| U k u p n o | | | 100 |

ispucalo. Minerali koji čine primese hrompi-kotita imaju veliku tvrdinu. Hrompikotitova breča se rasipa pod prstima i iznosi oko 3% od svih hrompikotita sadržanih u mikrobreći.

Fizičke i hemijske osobine koncentrata. — Koncentrat rude hrompikotita ima sledeće fizičke i hemijske osobine:

- sadržaj vlage 0,15%
- veličina zrna —3+0 mm
- granulometrijski sastav (prikazan u tablici 2).



Sl. 3 — Reflektovana svetlost — nikoli paralelni. Uvećanje 40 puta. Hrompikotit ispucao

Abb. 3 — Reflektiertes Licht — Nikols parallel. Vergrößerung 40-fach. Chrompikotit zerbrockelt

Specifična površina Q izračunata je formu-lom W. Anslen-a:

$$Q = \frac{36,8 \cdot 10}{d' \cdot n \cdot s} \text{ cm}^2/\text{g}$$

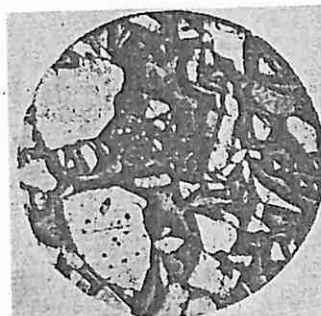
gde je:

Q = specifična površina

d' = srednji prečnik zrna po E. Puffe-u

n = tangens nagibnog ugla prave po E. Puffe-u; koeficijent za ravnomer-nost = 1,13

S = specifična težina.



Sl. 4 — Reflektovana svetlost — nikoli pa-ralelni. Uvećanje 40 puta. Delovi mikro-breće

Abb. 4 — Reflektiertes Licht — Nikols pa-rallel. Vergrößerung 40-fach. Bruchstücke von Mikrobreccie

— Specifični električni otpor je određivan na aparatu »Randohr« KL 199, koji služi za određivanje elektroprovodljivosti koksne pra-sine. Izračunat je pomoću izraza:

$$\rho = R \frac{S}{h} \text{ mm}^2/\text{m}$$

gde je:

R = mereni specifični električni otpor

S = površina mm^2

h = visina mm

$\rho = 34 \cdot 10^{10} \Omega \text{ mm}^2/\text{m}$

— Sadržaj Cr_2O_3 49,54%

Pregled podataka o hemijskom sastavu ru-de hroma je dat u tablici 3.

Tablica 2
Granulometrijski sastav koncentrata rude

| Veličina zrna mm | Udeo % | Σ Udeo % | Srednji prečnik zrna (d') mm (10^{-2}) |
|-------------------------------|--------|-----------------|--|
| — 3 + 2 | 0,14 | 0,14 | 0,350 |
| — 2 + 0,75 | 3,14 | 3,28 | 4,317 |
| — 0,75 + 0,63 | 1,92 | 5,20 | 1,325 |
| — 0,63 + 0,25 | 31,70 | 36,90 | 13,948 |
| — 0,25 + 0,20 | 7,97 | 44,87 | 1,793 |
| — 0,20 + 0,10 | 29,88 | 74,75 | 4,482 |
| — 0,10 + 0,075 | 5,85 | 80,60 | 0,512 |
| — 0,075 | 19,40 | 100,00 | 0,728 |
| Ukupno: | | 100,00 | 27,455 |
| — specifična težina | | 4,07 g/cm³ | |
| — usipna težina | | 2,29 g/cm³ | |
| — srednji prečnik zrna | | 0,27 mm | |
| — specifična spoljna površina | | 298 cm²/g | |

Tablica 3

Hemijska analiza rude hroma

| Elementi | % |
|--------------------------------|----------|
| Cr ₂ O ₃ | 49,54 |
| SiO ₂ | 4,84 |
| Al ₂ O ₃ | 9,06 |
| Fe ₂ O ₃ | 2,08 |
| FeO | 14,91 |
| MnO | trag |
| CaO | 0,15 |
| MgO | 17,75 |
| NiO | 0,07 |
| Gubitak žarenjem | 1,94 |

Tablica 4

Granulometrijski sastav usitnjenog reducenta

| Veličina zrna mm | Udeo % | Σ Udeo % | Srednji prečnik zrna (d') mm (10^{-2}) |
|---------------------|---------------|--------------------|--|
| | | | (d') mm (10^{-2}) |
| — 0,7 + 0,6 | 0,68 | 0,68 | 0,442 |
| — 0,6 + 0,25 | 46,90 | 47,58 | 19,932 |
| — 0,25 + 0,20 | 3,41 | 50,99 | 0,768 |
| — 0,20 + 0,10 | 26,10 | 77,09 | 3,915 |
| — 0,10 + 0,075 | 11,21 | 88,30 | 0,981 |
| — 0,075 | 11,70 | 100,00 | 0,439 |
| Ukupno: | 100,00 | | 28,477 |

Tablica 5

Tehnička i elementarna analiza reducenta

| | Sa vlagom % | Bez vlagu % | Bez vlage i pepele % |
|--|-----------------------|-----------------------|------------------------------------|
| Vлага | 7,60 | — | — |
| Pepeo | 8,60 | 9,30 | — |
| Sumpor ukupan | 0,95 | 1,03 | — |
| Sumpor vezan | 0,11 | 0,12 | — |
| Sumpor sa goriljivim | 0,84 | 0,91 | 1,03 |
| Koks | 91,27 | 98,78 | 98,66 |
| C-fix | 82,67 | 89,47 | 98,66 |
| Isparljive materije | 1,13 | 1,22 | 1,34 |
| Sagorljive materije | 83,80 | 90,70 | 100,00 |
| Gornja Kcal/kg | 7007 | 7585 | 8362 |
| Donja Kcal/kg | 6913 | 7533 | 8306 |
| C (ugljjenik) | 81,49 | 88,20 | 97,24 |
| H (vodonik) | 0,89 | 0,96 | 1,06 |
| O+N (kiseonik + azot) | 0,58 | 0,63 | 0,67 |
| Kalorična vrednost izračunata iz elementarne analize: | | | |
| Gornja Kcal/kg | 6897 | 7464 | 8230 |
| Donja Kcal/kg | 6807 | 7414 | 7876 |

Osobine reducenta — metalurškog koksa

Fizičke i hemijske osobine reducenta. — Pri opitima briketiranja upotrebljavan je kao reducent metalurški koks. Dostavljeni uzorak reducenta imao je veličinu zrna — 40+0 mm. Za opite briketiranja reducent je usitnjen na gg krupnoću od oko 0,6 mm. Osobine usitnjene reducenta su izložene u tablicama 4, 5 i 6.

Tablica 6

Hemijska analiza pepela reducenta

| Elementi | % |
|--|-------------|
| SiO ₂ | 41,04 |
| Fe ₂ O ₃ | 17,36 |
| Al ₂ O ₃ | 23,83 |
| CaO | 6,30 |
| MgO | 2,01 |
| SO ₃ | 3,22 |
| P ₂ O ₅ | 1,34 |
| TiO ₂ | 1,02 |
| Na ₂ O | 1,54 |
| K ₂ O | 2,50 |
| Reakcija | jako kisela |
| Topljivost pepela (oksidaciona atmosfera) | |
| Početak sinterovanja | °C 870 |
| Tačka omekšavanja | °C 1180 |
| Tačka polulopte | °C 1300 |
| Tačka razlivanja | °C 1320 |

Ostale utvrđene osobine reducenta su:

- specifična težina 1,91 g/cm³
- usporna težina 0,917 g/cm³
- srednji prečnik zrna (d) 0,265 mm
- koeficijent za ravnomernost (n) 1,33
- specifična spoljna površina (po W. A n s e l m u) 643,4 cm²/g

— Reaktivnost reducenta (određena po metodi »Koppers-a« provodenjem struje CO₂ kroz uzorak reducenta zagrejanog na 950°C) iznosi 46,68%. Ispitivani reducent pripada nisko-reaktivnim koksevima. Rezultati određivanja reaktivnosti reducenta u vremenskom intervalu od 90 min prikazani su u tablici 7.

— Specifični električni otpor je određen na aparatu »Ramdohr« KL 199. Izračunat je po moci izraza:

$$\frac{S}{\rho} = R - \Omega \frac{\text{mm}^2/\text{m}}{h}$$

gde je

$$R = \text{mereni specifični električni otpor}$$

$$S = \text{površina mm}^2$$

$$h = \text{visina (m)}$$

$$\rho = 1740 \Omega \text{ mm}^2/\text{m}$$

Tablica 7

Rezultati određivanja reaktivnosti reducenta
(po metodi »Koppers-a« — slika 5)

| Vreme, min. | Reaktivnost, % |
|---------------------|----------------|
| 10 | 152 |
| 20 | 38,1 |
| 30 | 38,7 |
| 40 | 36,0 |
| 50 | 35,1 |
| 60 | 33,1 |
| 70 | 34,1 |
| 80 | 32,3 |
| 90 | 35,3 |
| 100 | 31,5 |
| Srednja reaktivnost | 46,68% |

Tablica 8

Osobine sulfitne lužine

| Elementi | Količina |
|-----------------------------|----------|
| Sadržaj vode, % | 45,29 |
| Sadržaj čvrstih materija, % | 54,71 |
| Tigl koks, % | 18,15 |
| Gustina, (°Be) | 30 |
| Vrednost, pH | 1,2 |
| Sumpor ukupan, % | 3,09 |
| Sumpor vezani, % | 0,74 |
| Sumpor sagorljiv, % | 2,35 |

Viskozitet po Engler-u:

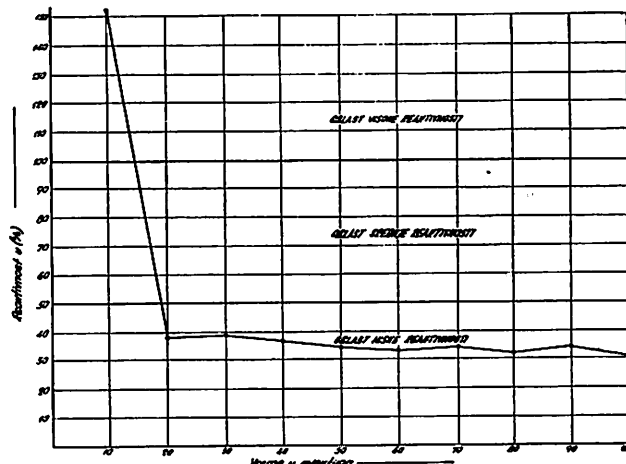
| | |
|---------|-------------------|
| t = 20° | (mlaz se prekida) |
| t = 30° | 6,8° |
| t = 40° | 4,9° |
| t = 50° | 3,4° |
| t = 60° | 2,4° |
| t = 70° | 1,9° |
| t = 80° | 1,6° |

Specifični električni otpor $57 \cdot 10^{10} \Omega \text{ mm}^2/\text{m}$
(određen na aparatu Ramdohr KL 199)

Sl. 5 — Kriva reaktivnosti reducenta (metalurškog koksa).

Abb. 5 — Die Kurve der Reaktionsfähigkeit des Reduktionsmittels (Hüttenkokses)

reaktivnost = Reaktionsfähig-
keit
vreme u min = Zeit in min
obič oblast visoke reaktivnosti =
Gebiet der hohen Reakti-
onsfähigkeit
obič oblast srednje reaktivnosti =
Gebiet der mittlerem Reak-
tionsfähigkeit
obič oblast niske produktivnosti =
Gebiet der geringen Reak-
tionsfähigkeit



Osobine vezivnih sredstava

- Sulfitna lužina od bukovog drveta, proizvod fabrike celuloze, Banja Luka (tablica 8).
- Smola katrana kameog uglja, proizvod koksare »Boris Kidrič«, Lukavac (tablica 9).

Laboratorijsko briketiranje rude

Priprema mase za briketiranje

Dobro homogenizovana masa za briketiranje na bazi: koncentrat rude — smola i koncentrat rude — reducent — smola zagrevana je na temperaturi od 100°C pre izlaganja procesu presovanja.

Tablica 9

Osobine smole katrana kamenog uglja

| Elementi | Količina |
|--|---|
| Tačka omešavanja po Krämer Sarnow-u | t = 72° |
| Rastegljivost (duktilitet) na 62° | + 100 cm |
| Rastvorljivost smole: | |
| rastvorljivo u CS ₂ | 91% |
| Sadržaj vlage | Ø |
| Pepeo (na 105°) | 0,17% |
| Isparljive materije (na 105°) | 59,5% |
| Meljivost smole (Nedelman-Broche)* | |
| nezdrobljeno (+0,5 mm) | 79% |
| izdrobljeno (-0,5 mm) | 21% |
| Specifični električni otpor | $35 \cdot 10^{10} \Omega \text{ mm}^2/\text{m}$ |
| (određen na aparatu Ramdohr KL 190) | |

Kod opita briketiranja na bazi: koncentrat rude — sulfitna lužina i koncentrat rude — reducent — sulfitna lužina masa za briketiranje je zagrevana na temperaturu od oko 60° C.

Pri opitima briketiranja smola katrana kamenog uglja, koja je prethodno usitnjena do gornje granične krupnoće (ggk) od oko 1 mm, dodavana je u količini 5—9%, a sulfitna lužina je dodavana u tečnom stanju, uz težinsko učešće od 7—11% (računato na količinu koncentrata).

Primeri pripremanja mase za briketiranje:

| | |
|------------------------|------------------|
| a) 1 t koncentrata | — 100 g — 77,5% |
| 220 kg reducenta | — 22 g — 17,1% |
| 70 kg smole | — 7 g — 5,4% |
| 1290 kg | — 129 g — 100,0% |
| b) 1 t koncentrata | — 100 g — 76,3% |
| 220 kg reducenta | — 22 g — 16,8% |
| 90 kg sulfitne lužine | — 9 g — 6,9% |
| 1310 kg | — 131 g — 100,0% |
| c) 1 t koncentrata | — 100 g — 75,2% |
| 220 kg reducenta | — 22 g — 16,5% |
| 110 kg sulfitne lužine | — 11 g — 8,3% |
| 1330 kg | — 133 g — 100,0% |

Briketiranje

Za presovanje mase za briketiranje upotrebljavani su metalni kalupi oblike kocke, čija je jedna stranica iznosila 40 mm. Masa za briketiranje je stavljena u tiske kalupe.

Dobijeni briketi imaju oblik kocke čija stranica iznosi 40 mm, a težina briketa na bazi:

* Meljivost smole je ispitana po standardnoj metodi dатој у Din. 23081 од 1949. g. Verlag »Glückauf«, Zapadna Nemačka.

- koncentrat hrompikotita + vezivo cca 186 g, i
- koncentrat hrompikotita + reducent + vezivo 153 g (cca).

Presovanje je vršeno pomoću uređaja za ispitivanje materijala na pritisak »Baustoffprüfmaschine BPP s 100. Pomoću ovog uređaja mogu se postići veliki pritisci presovanja. Kod opita briketiranja, radni pritisci su se kretnali od 300—500 kg/cm².

Hlađenje i očvršćavanje briketa

Briketi koji su proizvedeni pomoću veziva smola bili su, izlagani sušenju na sobnoj temperaturi i 24 h posle izrade podvrgnuti ispitivanjima.

Briketi dobijeni pomoću sulfitne lužine očvršćavani su u struji toplog vazduha zagrevanjem 90 min na 130°C, a zatim 15 min na 320°C, odnosno po potrebi, da bi se sprečilo raspadanje u vodi, 120 min na 150°C, a zatim 30 min na 420°C. Posle 24 h od završetka termičkog tretiranja briketi su bili podvrgnuti daljim ispitivanjima.

Ispitivanje osobina briketa

Proizvedeni briketi su bili podvrgnuti dalje navedenim ispitivanjima:

— Sadržaj vlage. — Sadržaj vlage u briketu određen je prema standardnoj metodi propisanoj po JUS-u.

— Postojanost prema vodi. — Postojanost prema vodi je određena potpunim potapanjem odmerenih briketa u vodu. Pri rast težine briketa, usled upijanja vode, je određen merenjem briketa, posle 1 h, 2 h, 5 h, i 24 h stajanja u vodi i izražen u procentima od težine briketa pre potapanja u vodu. U priloženim tablicama dati su rezultati upijanja vode posle 24 h.

— Otpornost na pritisak. — Otpornost na pritisak briketa je određena na uređaju za ispitivanje materijala na pritisak »Baustoffprüfmaschine BPPs 100.

— Specifični električni otpor. — Specifični električni otpor proizvedenih briketa je meren na modifikovanom aparatu »Ramdohr« RL 199 koji služi za određivanje elektroprovodljivosti koksne prašine. Adaptiranje ovog aparata se sastojalo u zamjeni postojeće cilindrične cevi za koksni prah sa ispitivanim briketom površine 40 × 40 mm².

Specifični električni otpor (ρ) je dobijen računski preko izraza:

$$\rho = R \frac{S}{L} \Omega \text{ mm}^2/\text{m}$$

gde je:

R — mereni specifični električni otpor briketa (Ω)

S — površina briketa $40 \times 40 \text{ mm}^2$

L — visina briketa (m)

— Postojanost na vatri. — Termička stabilnost briketa određena je žarenjem briketa na 900°C u električnoj peći tipa Heraeus u prisustvu vazduha.

Opita briketiranja sa smolom katrana kamenog uglja

Način rada. — Kod opita briketiranja koncentrata hrompikotita i veziva smole, kao i koncentrata hrompikotita, reducenta i smole, određene količine polaznih komponenti su posle homogenizovanja zagrevane na 90°C .

Smola katrana kamenog uglja je prethodno usitnjena do gornje granice krupnoće od oko 1 mm. Reducent je sušen i usitnjen do ggg 0,6 mm.

Briketiranje smeše je vršeno sa topлом masom i u toploju metalnom kalupu. Pri opitu briketiranja sadržaj smole se kretnao od 5–9%, a pritisak presovanja je iznosio 300 kg/cm^2 i 400 kg/cm^2 .

Uslovi rada u toku izvršenih opita briketiranja su bili, u glavnom, približno isti, a menjao se samo jedan od uticajnih parametara.

Proizvedeni briketi su bili sušeni 24 h na sobnoj temperaturi, a zatim podvrgnuti daljim ispitivanjima.

Briketiranje koncentrata hrompikotita sa smolom katrana kamenog uglja. — U tablici 10 dati su uslovi rada i rezultati opita briketiranja koncentrata sa smolom iz katrana kamenog uglja.

Dobijeni rezultati pokazuju:

— da su briketi dobijeni pomoću ovog veziva otporni na dejstvo atmosferilija, ali da posle 2 h žarenja na 900°C nemaju znatnu otpornost na pritisak;

— da za izradu briketa na bazi smole katrana kamenog uglja treba primeniti sledeće uslove:

— sadržaj vlage u kočenatu

0,15 %

| | |
|-----------------------------------|-----------------------|
| — količina smole katrana iz uglja | 7 % |
| — pritisak presovanja | 300 kg/cm^2 |

Masa za presovanje treba da je dobro homogenizovana i zagrejana na 90°C .

Smola treba da je usitnjena ispod 1 mm; — da kvalitetni briketi dobijeni pomoću ovog veziva imaju sledeća svojstva:

- sadržaj vlage 0,1%
- otpornost na pritisak 131 kg/cm^2
- procenat habanja 2,2%
- dobro se drže posle 24 h potapanja u vodi (upijaju 3,9% vode i imaju posle toga otpornost na pritisak od 78 kg/cm^2);

— ne raspadaju se na vatri, ali imaju nezнатну otpornost na pritisak (15 kg/cm^2);

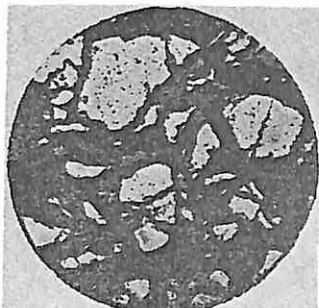
— pri propuštanju struje pokazuju vrlo veliki električni otpor ($7,2 \cdot 10^{11} \Omega \text{ mm}^2/\text{m}$).

Tablica 10

Uslovi rada i rezultati opita briketiranja koncentrata hrompikotita klase — 3 + 0 mm sa smolom katrana kamenog uglja

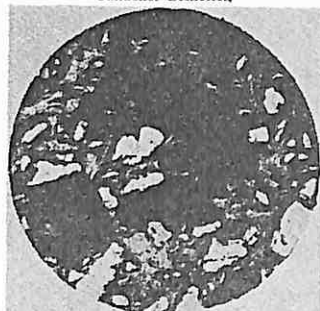
| Opit br. | 1 |
|---|---------------------|
| Vezivo: smola, (uvečešće %) | 7 |
| Vlaga u masi za briketiranje, % | 0,15 |
| Radni pritisak, kg/cm^2 | 300 |
| Temperatura briketiranja, $^\circ\text{C}$ | 90 |
| Vlaga u briketu, % (odmah posle dobijanja) | 0,1 |
| Otpornost briketa na pritisak, kg/cm^2 | 131 |
| Otpornost briketa na habanje, % | 2,2 |
| Specifični električni otpor, $\Omega \text{ mm}^2/\text{m}$ | $7,2 \cdot 10^{11}$ |
| Briket posle 24 h stajanja u vodi | dobro se drži |
| Osobine briketa posle 24 h stajanja u vodi: | |
| — upijena voda, % | 3,9 |
| — otpornost na pritisak, kg/cm^2 | 78 |
| Postojanost na vatri | drži se |
| Zarenje 2 h na 900°C : | |
| — gubitak žarenjem, % | 8,9 |
| — otpornost na pritisak, kg/cm^2 | 15 |

Mikroskopska ispitivanja briketa pokazuju da su struktorno-teksturne osobine sirovine, koja je briketirana sa smolom, vrlo povoljne. Materijal je dobro granuliran i homogeniziran.



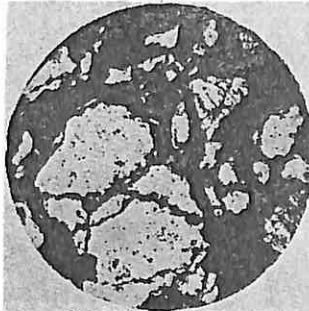
Sl. 6 — Mikrosnimak briketa opita br. 1, tablica 14. Reflektovano svetlo; uvećanje 40 puta. Dobro granuliran i dobro vezan deo briketa

Abb. 6 — Mikroaufnahme des Brietts aus dem Versuch Nr. 1, Tab. 14. Refl. Licht, Vergr. 40-fach. Gut granulierter und gut gebundener Brikettteil



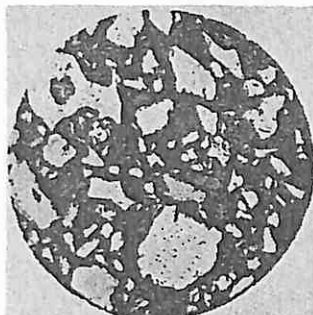
Sl. 7 — Mikrosnimak briketa opita br. 1, tablica 14. Reflektovano svetlo; uvećanje 40 puta. Deo briketa sa koncentracijom sitnih zrna i pojavom šupljina u vezivu

Abb. 7 — Briquet-Mikroaufnahme aus der Versuchsreihe Nr. 1, Tab. 14. Refl. Licht, Vergr. 40-fach. Brikettteil mit Feinkornkonzentration und Hohlräumauftreten im Bindemittel



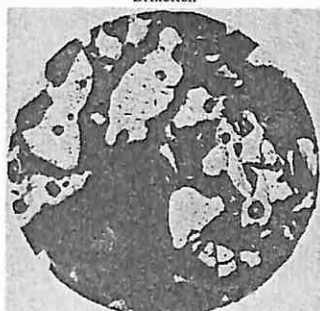
Sl. 8 — Mikrosnimak briketa opita br. 1, tablica 14. Reflektovano svetlo; uvećanje 40 puta. Kataklazirana zrna hrompikotita dobro vezana

Abb. 8 — Briquet-Mikroaufnahme, Versuchsreihe Nr. 1, Tab. 14. Refl. Licht, Vergr. 40-fach. Zerdrückte Chromipotitkörner, gut verkittet



Sl. 9 — Mikrosnimak briketa opita br. 4, tablica 15. Reflektovano svetlo; uvećanje 40 puta. Dobro granuliran i dobro vezan deo briketa

Abb. 9 — Briquet-Mikroaufnahme, Versuchsreihe Nr. 4, Tab. 15. Refl. Licht, Vergr. 40-fach. Gut granulierter und gut verkitteter Brikettteil



Sl. 10 — Mikrosnimak briketa opita br. 4, tablica 15. Reflektovano svetlo; uvećanje 40 puta. Poroznost i veživo oko zrna

Abb. 10 — Briquet-Mikroaufnahme, Versuchsreihe Nr. 4, Tab. 15. Refl. Licht, Vergr. 40-fach. Porosität im Bindemittel und um das Korn herum



Sl. 11 — Mikrosnimak briketa opita br. 4, tablica 15. Reflektovano svetlo; uvećanje 40 puta. Deo briketa koji nije dobro homogeniziran. Mnogo veziva — malo zrna s razvijenom poroznošću

Abb. 11 — Briquet-Mikroaufnahme, Versuchsreihe Nr. 4, Tab. 15. Refl. Licht, Vergr. 40-fach. Der nicht gut vergleichmässigte Brikette. Viel Bindemittel — wenig Körner mit entwickelter Porosität

Mestimično je zapažena koncentracija sitnijeg materijala sa pojavom slabo izraženih šupljina. Kataklazirana zrna hrompikotita su dobro vezana (vidi mikrosnimke slika 6, 7 i 8).

Briketiranje koncentrata hrompikotita i reducenta sa smolom katranom kamenog uglja. — U tablici 11 dati su uslovi rada i rezultati opita briketiranja koncentrata hrompikotita i reducenta sa smolom katranom kamenog uglja.

Opiti briketiranja su vršeni sa 5,7 i 9% smole (računato na količinu koncentrata), pri čemu su optimalni rezultati dobijeni kod briketa pri sledećim uslovima rada:

- sadržaj vlage u koncentratu 0,15 %
- učešće reducenta g/kg koncentrata 220
- sadržaj vlage u reducentu 0,2 %
- količina smole 7% (računato samo na koncentrat)
- pritisak presovanja 400 kg/cm²

Masa za presovanje treba da je dobro homogenizovana i zagrejana na 90°C.

Smola treba da je usitnjena ispod 1 mm.

Reducent je usitnjen na veličinu zrna $-0,6 + 0,0$ mm.

Kvalitetni briketi dobijeni na opisani način imaju sledeća svojstva:

- sadržaj vlage oko 0,2%
- otpornost na pritisak 190 kg/cm²
- procenat habanja 2,3%
- dobro se drže posle 24 h potapanja u vodi (upijaju 3% vode i imaju posele toga otpornost na pritisak od 138 kg/cm²)
- ne raspadaju se na vatri, ali imaju nisku otpornost na pritisak (3 kg/cm²)
- pri propuštanju struje pokazuju vrlo veliki električni otpor $2,9 \cdot 10^7 \Omega \text{ mm}^2/\text{m}$.

Mikroskopska ispitivanja briketa (opit 4, tablica 11) pokazuju da briketi imaju dobre strukturno-teksturne osobine. Materijal je dobro homogeniziran i vezivo je dobro povezalo zrna. Zrna koksa pokazuju mikro poroznost. Mestimično se zapaža na briketima slabija homogenizacija materijala i zatim veliki sadržaj veziva u kome se uočavaju šupljine. Kataklazirana zrna hrompikotita su dobro vezana (vidi mikrosnimke 9, 10 i 11).

Opiti briketiranja sa sulfitnom lužinom

Način rada. — Pri opitima briketiranja koncentrata hrompikotita i veziva sulfitne lužine, odnosno koncentrata, sulfitne lužine i reducenta, dobro su homogenizovane tačno od-

Tablica 11

Uslovi rada i rezultati opita briketiranja koncentrata hrompikotita krupnoće $3 + 0,0$ mm i reducenta sa smolom katranom kamenog uglja

| Opit br. | 1 | 2 | 3 | 4 | 5 | 6 |
|---|------------------|------------------|------------------|------------------|------------------|------------------|
| Vezivo: smola (učešće), % | 5 | 5 | 7 | 7 | 9 | 9 |
| Reducent (učešće), g/kg koncentrata | 220 | 220 | 220 | 220 | 220 | 220 |
| Vлага u koncentratu za briketiranje, % | 0,15 | 0,15 | 0,15 | 0,15 | 0,15 | 0,15 |
| Radni pritisak, kg/cm ² | 300 | 400 | 300 | 400 | 300 | 400 |
| Temperatura briketiranja, °C | 90 | 90 | 90 | 90 | 90 | 90 |
| Vлага u briketu (odmah posle dobijanja), % | 0,2 | 0,2 | 0,2 | 0,2 | 0,2 | 0,2 |
| Otpornost briketa na pritisak, kg/cm ² | 30 | 40 | 106 | 190 | 120 | 144 |
| Otpornost briketa na habanje, % | 50 | 50 | 5,5 | 2,3 | 8,6 | 6,7 |
| Specifični električni otpor, $\Omega \text{ mm}^2/\text{m}$ | $1,4 \cdot 10^8$ | $4,2 \cdot 10^7$ | $1,1 \cdot 10^8$ | $2,9 \cdot 10^7$ | $9,9 \cdot 10^7$ | $1,8 \cdot 10^7$ |
| Briket posle 24 h stajanja u vodi | drži se | drži se | drži se | dobro se drži | dobro se drži | dobro se drži |
| Osobine briketa posle 24 h stajanja u vodi: | | | | | | |
| — upijena voda, % | 9,8 | 9,3 | 5,2 | 3,0 | 7,2 | 5,2 |
| — otpornost na pritisak, kg/cm ² | 7 | 22 | 26 | 138 | 40 | 75 |
| Postojanost na vatri Žarenje 2 h na 900°C | | | | | | |
| — gubitak žarenjem, % | 11,5 | 11,2 | 13,8 | 13,0 | 15,3 | 14,9 |
| — otpornost na pritisak, kg/cm ² | 1,2 | 1,0 | 1,3 | 3,0 | 1,2 | 1,2 |

merene komponente. Masa, zagrejana na 60°C, je zatim prebacivana u metalne kalupe, takođe zagrejane na 60°C.

Sulfitna lužina je dodavana u količini od 7—11% (računato na količinu koncentrata). Pritisak presovanja je iznosio od 300—500 kg/cm².

Za vreme opita se menjao samo jedan parametar, uslovi su bili približno ujednačeni kod svih opita.

Dobijeni briketi su usled nepostojanosti prema vodi bili izlagani procesu sušenja u struji toplog vazduha na različitim temperaturama (od 20—420°C) i različitom vremenu (od 15—30 minuta). Posle 24 h od završetka sušenja briketi su bili podvrgnuti daljim ispitivanjima kvaliteta.

Briketiranje koncentrata hrom-pikotita sa sulfitnom lužinom. — U tablici 12 dati su uslovi rada i rezultati opita briketiranja koncentrata hrom-pikotita sa 7—9% sulfitne lužine (računato na koncentrat) pri pritisku presovanja od 300—500 kg/cm².

Rezultati pokazuju:

- da briketi dobijeni sa 7% sulfitne lužine nisu otporni na dejstvo vode (raspadaju se u vodi), ali imaju znatnu mehaničku otpornost na pritisak koja se sa povišenjem pritiska briketiranja od 300—500 kg/cm² povećava od 246—375 kg/cm²;
- da su dobijeni najbolji briketi sa 9% sulfitne lužine i pri pritisku briketiranja od 500 kg/cm²;

— da, pošto je rad sa nižim pritiscima briketiranja ekonomičniji i prihvativiji, za izradu briketa na bazi sulfitne lužine treba primeniti sledeće uslove:

- sadržaj vlage u koncentratu 0,15%
- količina sulfitne lužine 9%
- pritisak presovanja 400 kg/cm²

Sadržaj vlage sulfitne lužine ne treba da prelazi 45%, jer u protivnom briketi pre sušenja ne bi sačuvali oblik dobijen u uređaju za presovanje.

Proizvedeni briketi treba pažljivo da se odvode iz prese i izlazu duže vreme procesu sušenja — očvršćavanja.

Proces sušenja treba da traje 90 minuta na 130°C i 15 minuta na 320°C;

— da kvalitetni briketi dobijeni pomoću ovog veziva imaju sledeća svojstva:

- sadržaj vlage 0,35
- otpornost na pritisak 310 kg/cm²
- procenat abanja 2,6%

Ne raspadaju se posle 24 h potapanja u vodi (upijaju 6,8% vode i imaju posle toga otpornost na pritisak od 35 kg/cm²).

Postojani su na vatri; posle 2 h žarenja na temperaturi od 900°C gube 6,5% teže i posle žarenja imaju otpornost na pritisak od 45 kg/cm².

Pri propuštanju struje pokazuju vrlo veliki električni otpor ($8,06 \cdot 10^{11} \Omega \text{ mm}^2/\text{m}$).

Tablica 12

Uslovi rada i rezultati opita briketiranja koncentrata hrom-pikotita krupnoće — 3 + 0 mm i reducenta sa sulfitnom lužinom

| O pit. br. | 1 | 2 | 3 | 4 | 5 |
|---|---------------------|---------------------|---------------------|----------------------|----------------------|
| Vezivo: sulfitna lužina, (učešće % na koncentrat) | 7 | 7 | 7 | 9 | 9 |
| Vlaga u koncentratu za briketiranje, % | 0,15 | 0,15 | 0,15 | 0,15 | 0,15 |
| Vlaga u smeši za briketiranje, % | 2,8 | 2,7 | 2,7 | 3,6 | 3,6 |
| Radni pritisak, kg/cm ² | 300 | 400 | 500 | 400 | 500 |
| Vlaga u briketu (odmah posle dobijanja) | 1,9 | 1,4 | 1,4 | 2,8 | 2,7 |
| Sušenje briketa: | 90+15 | 90+15 | 90+15 | 90+15 | 90+15 |
| — vreme (min) | 130+320 | 130+320 | 130+320 | 130+320 | 130+320 |
| — temperatura, °C | 0,31 | 0,28 | 0,28 | 0,35 | 0,33 |
| Vlaga u briketu posle sušenja, % | 246 | 250 | 375 | 310 | 325 |
| Otpornost briketa na pritisak, kg/cm ² | 1,4 | 1,2 | 1,1 | 2,6 | 0,6 |
| Otpornost briketa na habanje, % | $9,5 \cdot 10^{11}$ | $5,7 \cdot 10^{11}$ | $2,5 \cdot 10^{11}$ | $8,06 \cdot 10^{11}$ | $6,94 \cdot 10^{11}$ |
| Specifični električni otpor, $\Omega \text{ mm}^2/\text{m}$ | rasпада | распада | распада | не рас- пада | не рас- пада |
| Briket posle 24 h stajanje u vodi: | се | се | се | пода | пода |
| — upijena voda, % | — | — | — | 6,8 | 4,7 |
| — otpornost na pritisak, kg/cm ² | — | — | — | 35,0 | 75,0 |
| Postojanost na vatri | dobra | dobra | dobra | dobra | dobra |
| Žarenje 2 h na 900°C: | 5,0 | 5,3 | 5,1 | 6,5 | 6,3 |
| — gubitak žarenjem | 20,0 | — | — | 45 | 46,0 |
| — otpornost na pritisak, kg/cm ² | | | | | |

Tablica 13

Uslovi rada i rezultati opita briketiranja koncentrata hrompičita krupnoće —3 + 0 mm
i reducenta sa sulfitnom kuhinom

| Opit br. | 1 | 2 | 3 | 4 | 5 | 6 | 7 | 8 | 9 | 10 | 11 | 12 |
|---|------------------|------------------|------------------|------------------|------------------|------------------|------------------|------------------|------------------|------------------|------------------|------------------|
| Vezivo: sulfitna kuhina, učešće % | 7 | 7 | 7 | 7 | 9 | 9 | 9 | 11 | 11 | 11 | 11 | 11 |
| Reducent, učešće g/g koncentrata | 220 | 220 | 220 | 220 | 220 | 220 | 220 | 220 | 220 | 220 | 220 | 220 |
| Vlagu u koncentr. za briketir. % | 0,15 | 0,15 | 0,15 | 0,15 | 0,15 | 0,15 | 0,15 | 0,15 | 0,15 | 0,15 | 0,15 | 0,15 |
| Vlagu u smesi za briketiranje, % | 3,0 | 3,0 | 3,0 | 3,0 | 3,5 | 3,5 | 3,5 | 3,7 | 3,7 | 3,7 | 3,7 | 3,7 |
| Temperatura briketiranja, °C | 60 | 60 | 60 | 60 | 60 | 60 | 60 | 60 | 60 | 60 | 60 | 60 |
| Radij pritisk, kg/cm ² | 300 | 300 | 400 | 400 | 300 | 400 | 500 | 300 | 300 | 400 | 400 | 400 |
| Vlagu u briketu, % — odmah posle dobijanja stupnjevi brikanja: | 2,6 | 2,6 | 2,6 | 2,6 | 2,7 | 2,7 | 2,8 | 2,8 | 2,9 | 2,9 | 2,9 | 2,9 |
| — vreme, min | 90+15 | 120+30 | 90+15 | 120+30 | 90+15 | 120+30 | 90+15 | 90+15 | 120+30 | 90+15 | 120+30 | 120+30 |
| — temperatura °C | 120+320 | 150+320 | 120+320 | 150+320 | 120+320 | 150+320 | 120+320 | 120+320 | 150+320 | 120+320 | 150+320 | 150+320 |
| Vlagu u briketu posle sušenja, % | 0,31 | 0,31 | 0,31 | 0,31 | 0,31 | 0,31 | 0,30 | 0,30 | 0,30 | 0,30 | 0,30 | 0,30 |
| Otpornost briketa na pritisak, kg/cm ² | 145 | 138 | 125 | 105 | 276 | 141 | 231 | 230 | 200 | 180 | 114 | 106 |
| Otpornost briketa na habanje, % | 12,2 | 8,4 | 4,4 | 2,2 | 11,7 | 6,5 | 1,0 | 1,0 | 0,8 | 1,5 | 0,45 | 11,1 |
| Specifični električni otpor, Q m ² /m | $1,7 \cdot 10^6$ | $8,8 \cdot 10^6$ | $1,5 \cdot 10^6$ | $5,8 \cdot 10^6$ | $9,6 \cdot 10^6$ | $6,2 \cdot 10^6$ | $9,1 \cdot 10^6$ | $7,1 \cdot 10^6$ | $7,5 \cdot 10^6$ | $4,5 \cdot 10^6$ | $3,8 \cdot 10^6$ | $1,7 \cdot 10^6$ |
| Briketi posle 24 h stajanja u vodi: | | | | | | | | | | | | |
| — upijena voda, % | 12,5 | 11,0 | — | 8,7 | 15,3 | 13,2 | — | — | — | 7,1 | — | 7,7 |
| — otpornost na pritisak, kg/cm ² | 20 | 21 | — | 47 | 47,0 | 54,0 | — | — | — | 84 | — | 40 |
| Postojanost na varij: | | | | | | | | | | | | |
| — grublak izorenjem, % (zarenje 2 h na 900°C) | 10,2 | 7,9 | 9,9 | 7,9 | 12,1 | 8,2 | 11,8 | 11,5 | 14,1 | 8,7 | 13,8 | 8,5 |
| — otpornost na pritisak, kg/cm ² | 1,0 | 1,1 | 1,0 | 1,0 | 1,1 | 1,1 | 1,0 | 1,1 | 1,1 | 1,2 | 1,2 | 1,1 |

Mikroskopska ispitivanja briketa, dobijenog u opitu br. 4, tablica 12, pokazuju da ovaj ima povoljne struktorno-teksturne osobine. Mineral je dobro homogeniziran i vezan. Kataklazirana zrna su takođe dobro vezana (vidi mikrosnimke slike 12, 13 i 14).

Briketiranje koncentrata hrompikotita i reducenta sa sulfitnom lužinom. — U tablicama 13, 14 i 15 dati su uslovi rada i rezultati opita briketiranja.

nja koncentrata hrompikotita i reducenta sa 7,9 i 11% sulfitne lužine (računato na koncentrat) i pri pritisku presovanja od 300—500 kg/cm².

Dobijeni rezultati pokazuju:

— da pri povećanju učešća sulfitne lužine od 7—11% dolazi do porasta mehaničke otpornosti na pritisak, koja se nasuprot očekivanju smanjuje pri povećanju pritiska presovanja od 300—400 kg/cm²;

Tablica 14

Uslovi rada i rezultati opita briketiranja koncentrata hrompikotita i reducenta sa sulfitnom lužinom (briketi sušeni na 320°C)

(Izvod iz tablice 13)

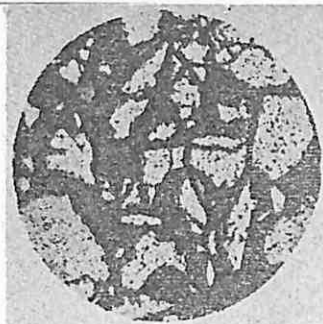
| Opit br. | 1 | 3 | 5 | 7 | 8 | 9 | 11 |
|---|-----------------------|-----------------------|-----------------------|-----------------------|-----------------------|-----------------------|-----------------------|
| Vezivo: sulfitna lužina, učešće % | 7 | 7 | 9 | 9 | 220 | 220 | 11 |
| Reducent (ucešće g/kg koncentrata) | 220 | 220 | 220 | 220 | 220 | 220 | 220 |
| Vlaga u koncentratu za briketiranje, % | 0,15 | 0,15 | 0,15 | 0,15 | 0,15 | 0,15 | 0,15 |
| Vlaga u smeši za briketiranje, % | 3,0 | 3,0 | 3,5 | 3,5 | 3,7 | 3,7 | 3,7 |
| Temperatura briketiranja, °C | 66 | 60 | 60 | 60 | 60 | 60 | 60 |
| Radni pritisak, kg/cm ² | 300 | 400 | 300 | 400 | 500 | 300 | 400 |
| Vlaga u briketu, % — odmah posle dobijanja | 2,6 | 2,6 | 2,7 | 2,8 | 2,8 | 2,9 | 2,9 |
| Sušenje briketa: | | | | | | | |
| — vreme, min. | 90+15 | 90+15 | 90+15 | 90+15 | 90+15 | 90+15 | 90+15 |
| — temperatura, °C | 120+320 | 120+320 | 120+320 | 120+320 | 120+320 | 120+320 | 120+320 |
| Vlaga u briketu posle sušenja, % | 0,31 | 0,31 | 0,31 | 0,30 | 0,30 | 0,30 | 0,30 |
| Otpornost briketa na pritisak, kg/cm ² | 145 | 125 | 276 | 231 | 230 | 200 | 114 |
| Otpornost briketa na habanje, % | 12,2 | 4,4 | 11,7 | 1,0 | 1,0 | 0,8 | 0,45 |
| Specifični električni otpor, Ω mm ² /m | 1,7 · 10 ⁹ | 1,5 · 10 ⁹ | 9,6 · 10 ⁹ | 9,1 · 10 ⁹ | 7,1 · 10 ⁹ | 7,5 · 10 ⁹ | 3,8 · 10 ⁹ |
| Briketi posle 24 h stajanja u vodi: | | | | | | | |
| — upijena voda, % | 12,5 | — | 15,3 | — | — | — | — |
| — otpornost na pritisak, kg/cm ² | 20 | — | 47,0 | — | — | — | — |
| Postojanost na vatri: | | | | | | | |
| (žarenje 2 h na 900°C) | drže se |
| — gubitak žarenjem, % | 10,2 | 9,9 | 12,1 | 11,8 | 11,5 | 14,1 | 13,8 |
| — otpornost na pritisak, kg/cm ² | 1,0 | 1,0 | 1,1 | 1,0 | 1,1 | 1,1 | 1,2 |

Tablica 15

Uslovi rada i rezultati opita briketiranja koncentrata hrompikotita krupnoće — 3 + 0 mm i reducenta sa sulfitnom lužinom (briketi sušeni na 420°C)

(Izvod iz tablice 13)

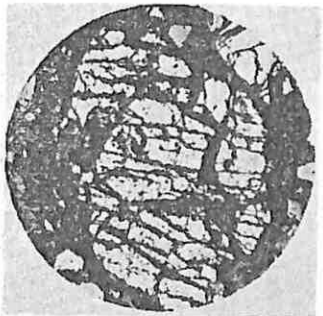
| Opit br. | 2 | 4 | 6 | 10 | 12 |
|---|-----------------------|-----------------------|-----------------------|-----------------------|-----------------------|
| Vezivo: sulfitna lužina, učešće % | 7 | 7 | 9 | 11 | 11 |
| Reducent (ucešće g/kg koncentrata) | 220 | 220 | 220 | 220 | 220 |
| Vlaga u koncentratu za briketiranje, % | 0,15 | 0,15 | 0,15 | 0,15 | 0,15 |
| Vlaga u smeši za briketiranje, % | 3,0 | 3,0 | 3,5 | 3,7 | 3,7 |
| Temperatura briketiranja, °C | 60 | 60 | 60 | 60 | 60 |
| Radni pritisak, kg/cm ² | 300 | 400 | 300 | 300 | 400 |
| Vlaga u briketu (% — odmah posle dobijanja) | 2,6 | 2,6 | 2,7 | 2,9 | 2,9 |
| Sušenje briketa: | | | | | |
| — vreme, min. | 120+30 | 120+30 | 120+30 | 120+30 | 120+30 |
| — temperatura, °C | 150+420 | 150+420 | 150+420 | 150+420 | 150+420 |
| Vlaga u briketu posle sušenja, % | 0,31 | 0,31 | 0,31 | 0,30 | 0,30 |
| Otpornost briketa na pritisak, kg/cm ² | 138 | 105 | 141 | 180 | 106 |
| Otpornost briketa na habanje, % | 8,4 | 2,2 | 6,5 | 1,5 | 11,1 |
| Specifični električni otpor, Ω mm ² /m | 8,8 · 10 ⁹ | 5,8 · 10 ⁹ | 6,2 · 10 ⁹ | 4,5 · 10 ⁹ | 1,7 · 10 ⁹ |
| Briketi posle 24 h stajanja u vodi: | | | | | |
| — upijena voda, % | 11,0 | 8,7 | 13,2 | 7,1 | 7,7 |
| — otpornost na pritisak, kg/cm ² | 21 | 47 | 54,0 | 84 | 40 |
| Postojanost na vatri: | | | | | |
| (žarenje 2 h na 900°C) | drže se |
| — gubitak žarenjem, % | 7,9 | 7,9 | 8,2 | 8,7 | 8,5 |
| — otpornost na pritisak, kg/cm ² | 1,1 | 1,0 | 1,1 | 1,2 | 1,1 |



Sl. 12 — Mikrosnimak briketa opita br. 4, tablica 16. Reflektovano svetlo; uvećanje 40 puta. Dobre granulirane i dobro vezane deo briketa — porsim vezivom
Abb. 12 — Briquet-Mikroaufnahme, Versuchsreihe Nr. 4, Tab. 16. Refl. Licht, Vergr. 40-fach. Gut granulierter und gut verklebter Brikettteil — mit Porenbindemittel



Sl. 13 — Mikrosnimak briketa opita br. 4, tablica 16. Reflektovano svetlo; uvećanje 40 puta. Dobre granulirane i dobro vezane deo briketa bazalnim vezivom
Abb. 13 — Briquet-Mikroaufnahme, Versuchsreihe Nr. 4, Tab. 16. Refl. Licht, Vergr. 40-fach. Gut granulierter und gut verklebter Brikettteil mit Grundbindemittel



Sl. 14 — Mikrosnimak briketa opita br. 4, tablica 16. Reflektovano svetlo; uvećanje 40 puta. Ispucao hrompikotit dobro vezan
Abb. 14 — Briquet-Mikroaufnahme, Versuchsreihe Nr. 4, Tab. 16. Refl. Licht, Vergr. 40-fach. Zerbröckelter Chrompikotit, gut verklebt

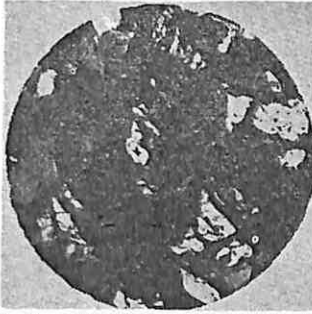


Sl. 15 — Mikrosnimak briketa opita br. 10, tablica 17 i 19. Reflektovano svetlo; uvećanje 40 puta. Deo briketa koji nije dobro homogeniziran. Koncentracija sitnih zrna sa mnogo mase

Abb. 15 — Briquet-Mikroaufnahme, Versuchsreihe Nr. 10, Tab. 17 und 19. Refl. Licht, Vergr. 40-fach. Der nicht gut vergleichmässigte Brikettteil. Feinkornkonzentration mit viel Masse



Sl. 16 — Mikrosnimak briketa opita br. 10, tablica 17 i 19. Reflektovano svetlo; uvećanje 40 puta. Dobro granulirano smeša hrompikotita i koksa sa šupljinama u vezivu
Abb. 16 — Briquet-Mikroaufnahme, Versuchsreihe Nr. 10, Tab. 17 und 19. Refl. Licht, Vergr. 40-fach. Gut granuliertes Gemenge von Chrompikotit und Koks mit Bindemittelhohlräumen



Sl. 17 — Mikrosnimak briketa opita br. 10, tablica 17 i 19. Reflektovano svetlo; uvećanje 40 puta. Deo briketa koji nije dobro homogeniziran. Ispučlost, šupljine i mnogo vezivne mase

Abb. 17 — Briquet-Mikroaufnahme, Versuchsreihe Nr. 10, Tab. 17 und 19. Refl. Licht, Vergr. 40-fach. Der nicht gut vergleichmässigte Brikettteil. Zerbröckelung, Hohlräume und viel Bindemittel

— da proizvedeni briketi, podvrgnuti procesu sušenja na 320°C (tablica 14), kod većine opita nisu otporni na dejstvo vode; raspadaju se u vodi;

— da se procesom sušenja briketa na 420°C (tablica 15) povećava otpornost prema vodi i otpornost na habanje, a smanjuje mehanička čvrstoća;

— da za dobijanje kvalitetnih briketa sa reducentom na bazi veziva sulfitne lužine treba primeniti sledeće radne uslove:

| | |
|---|------------------------|
| — sadržaj vlage u koncentratu | 0,15% |
| — učešće reducenta g/kg koncentrata | 220 |
| — količina sulfitne lužine (računato na koncentrat) | 11% |
| — sadržaj vlage u reducentu | 0,2% |
| — sadržaj vlage u sulfitnoj lužini | 45,3% |
| — pritisak presovanja | 300 kg/cm ² |
| Proces sušenja treba da traje 120 minuta na 150°C i 40 minuta na 420°C | |
| — da kvalitetni briketi dobijeni na opisani način imaju sledeća svojstva: | |
| — sadržaj vlage | 0,30% |
| — otpornost na pritisak | 180 kg/cm ² |
| — procenat habanja | 1,5% |

Dobro se drže posle 24h potapanja u vodi (upijaju 7,1% vode i imaju posle toga otpornost na pritisak od 84 kg/cm²);

— pri propuštanju struje pokazuju vrlo veliki električni otpor ($4,5 \cdot 10^4 \Omega \text{ mm}^2/\text{m}$);

— postojani su na vatri — ne raspadaju se, posle 2h žarenja na 900°C gube 8,7% od težine, ali imaju vrlo slabu otpornost na pritisak (1,2 kg/cm²).

Mikroskopska ispitivanja briketa, dobijenog u opitu br. 10 tablice 13 i 15 pokazuju da ovaj ima slabe strukturno-teksturne osobine. Materijal nije dovoljno homogeniziran i vezivo je ispučalo. Na koksu se zapožaju tragovi reakcije (vidi mikrosnimke slika 15, 16 i 17).

Osvrt na izvršena ispitivanja

U okviru laboratorijskih uslova izvedena su ispitivanja mogućnosti briketiranja koncentrata turske hromne rude. Opiti briketiranja su vršeni sa vezivnim sredstvom smolom katranom kamenog uglja i sulfitnom lužinom i to sa reducentom i bez reducenta.

Najkvalitetniji briketi su dobijeni pri sledećim uslovima briketiranja:

| V e z i v o | Smola katrana kamenog uglja | Sulfitna lužina |
|---|-----------------------------|------------------------------|
| Količina veziva, % (računato na koncentrat) | 7 | 9 |
| Vлага koncentrata | 0,15 | 0,15 |
| Reducent g/kg koncentrata | — | 220 |
| Vлага reducenta | — | 0,20 |
| Radni pritisak, kg/cm ² | 300 | 400 |
| Temperatura mase za briket, °C | 90 | 60 |
| Očvršćavanje briketa | ne | 15' na 30° na 320°C 420°C |

Osobine najkvalitetnijih briketa

| Sastav briketa | Smola 7% | Smola 7%; reducent 220 g/kg | Sulfitna lužina 9% | Sulfitna lužina 11%; reducent 220 g/kg |
|---|---------------------|--------------------------------|-----------------------|---|
| Vлага briketa | 0,2 | 0,2 | 0,35 | 0,3 |
| Otpornost na pritisak, kg/cm ² | 131 | 190 | 310 | 180 |
| Procenat habanja, % | 2,2 | 2,3 | 2,6 | 1,5 |
| Posle 2 h stajanja u vodi: | | | | |
| — upijena voda, % | 3,9 | 3,0 | 6,8 | 7,1 |
| — otpornost na pritisak, kg/cm ² | 78 | 138 | 35 | 84 |
| Specif. električni otpor $\Omega \text{ mm}^2/\text{m}$ | $7,2 \cdot 10^{11}$ | $2,9 \cdot 10^7$ | $8,06 \cdot 10^{11}$ | $4,5 \cdot 10^8$ |
| Posle 2 h žarenja na 900°C: | | | | |
| — gubitak žarenjem | 8,9 | 13,0 | 6,5 | 8,7 |
| — otpornost na pritisak | 15 | 3,0 | 45 | 1,2 |

Iz već izloženih podataka se vidi da se iz koncentrata hrompikotita mogu proizvesti pomoću veziva dobri briketi. Briketi dobijeni pomoću smole katranu kamenog uglja (7%) imaju visoku otpornost na pritisak (131 kg/cm^2) i vodu. Međutim, žarenjem na visokoj temperaturi (2 h na 900°C) ova osobina se menja i iznosi 15 kg/cm^2 . Otpornost na pritisak briketa, dobijenih pomoću sulfitne lužine (9%), je 310 kg/cm^2 i povoljna je i posle žarenja na visokoj temperaturi (45 kg/cm^2). Specif. električni otpor kod oba briketa je $7,2 \cdot 10^{11} - 8,06 \cdot 10^{11} \Omega \text{ mm}^2/\text{m}$.

Briketiranje hrompikotita zajedno sa reducentom pomoću veziva je dalo takođe pozitivne rezultate. Dobijeni briketi su čvrsti (oko 190 kg/cm^2) i otporni prema vodi. Posle žarenja na visokoj temperaturi njihova otpornost na pritisak iznosi $1,2-3 \text{ kg/cm}^2$.

Dodatak reducenta utiče na:

- smanjenje otpornosti briketa prema vodi
- povećanje gubitka žarenjem
- smanjenje otpornosti briketa na pritisak posle 2 h žarenja na 900°C
- smanjenje električnog otpora briketa.

ZUSAMMENFASSUNG

Über die Brikettierungsmöglichkeit des Chromerzkonzentrats auf der Republik Türkei mit Hilfe von Bindemittel und unter Zugabe von Reduktionsmittel

(Dipl. Ing. M. Mitrović — Dipl. Ing. V. Stamenković*)

In diesem Aufsatz wurden die Ergebnisse der Laboruntersuchungen über die Möglichkeiten der Stückigmachung des feinkörnigen Chromerzkonzentrats aus der Türkei unter Anwendung der Bindemittelbrikettierung und unter Zugabe des Hüttenkokses als Reduktionsmittel, behandelt. Ausserdem wurden auch Angaben über die Eigenschaften von Erzkonzentrat, Hüttenkokse, Bindemittel und hergestelltes Brikett angegeben.

Es wurde festgestellt, dass das Chromerzkonzentrat $49,54\%$ Cr_2O_3 enthält und die Mineralabart Chrompikotit darstellt.

Die Brikettierversuche wurden mit Pechbindemittel aus Steinkohlenteer und Sulfitalauge, einmal ohne und das zweite mal mit Reduktionsmittel, ausgeführt. Als Reduktionsmittel wurde Hüttenkoks, der der Gruppe von schwach reaktionsfähigen Koksen gehört, verwendet.

Diese Studie umfasste die Untersuchung des Einflusses von verschiedenen Faktoren auf die Chrompikotit-Brikettierung und zwar: Bindemittelmengen, Betriebsdruck, Betriebstemperatur, Konzentratfeuchtigkeit, die Anwesenheit von Reduktionsmittel, die Feuchtigkeit von Reduktionsmittel, die Temperatur der Brikettiermasse, die Temperatur und die Zeit der Brikettverfestigung.

Es wurde festgestellt, dass aus dem Chrompikotitkonzentrat mit angeführten Mitteln gute Briketts hergestellt werden können. Die mittels Steinkohlenteerpech gewonnenen Briketts (7% Pechzugabe) haben grosse Druckfestigkeit (131 kg/cm^2) und sind sehr widerstandsfähig. Durch Glühen bei hoher Temperatur (2 h auf 900°C) ändert sich diese Eigenschaft und die Festigkeit beträgt 15 kg/cm^2 . Die Druckfestigkeit der mit Sulfitalauge (9%) hergestellten Briketts beträgt 310 kg/cm^2 und ist günstig auch nach dem Glühen bei hoher Temperatur (45 kg/cm^2). Der spez. elektrische Widerstand bei beiden Briketts ist $7,2 \cdot 10^{11} - 8,06 \cdot 10^{11} \Omega \text{ mm}^2/\text{m}$.

Die Chrompikotitbrikettierung zusammen mit dem Reduktionsmittel mittels angeführter Bindemittel hat ebenfalls gute Ergebnisse ergeben. Die hergestellten Briketts sind fest ((etwa 190 kg/cm^2) und wasserabweisend. Nach dem Glühen bei hoher Temperatur beträgt die Brikettdruckfestigkeit $1,2-3 \text{ kg/cm}^2$.

Die Zugabe des Reduktionsmittels hat Einfluss auf:

- Herabsetzung der Briketteigenschaften gegen Wasserabweisung
- Vergrößerung der Glühverluste
- Herabsetzung der Brikettdruckfestigkeit nach 2 h währendem Glühen auf 900°C
- Herabsetzung des elektrischen Brikettwiderstandes.

*) Dipl. ing. Mira Mitrović, naučni saradnik Zavoda za PMS Rudarskog instituta, dipl. ing. Vera Stamenković, Beograd.

Literatura

- Gordienko, N. A., 1931: Briketirovanie hromistogo koncentrata. — Žurnal Hliničeskoj promišljenosti No. 18, (32).
- Hitrik, S. I., Glikson, A. Ja., Cibakin, Ja. R., 1940: Briketirovanie hromostoj rudy. Proizvodstvo ferrospalov. — Teoriya i praktika metalurgii. No. 1, (42—46).
- Stülpnagel, K., Struve, G., 1959: Über Abbindevorgänge beim härteln von Erz-Kalk-Koks Mischbriketts unter verschiedenartigen Bedingungen. — Neue Hütte No. 6.
- Decker, H., Wawroschek, S., Wolf, F., 1959: Die Briketierung. Klöckner Humboldt, Deutz AG, Köln.
- Schedel, A., 1960: A frissítőcek brikkettezése. — Kohászati Lapok, 93.
- Ravič, B. M., Semenov, L. V., 1962: Novoe sviazujušče díja polučenija technologičeskikh briketov. — Obogaščenie i briketirovanie ugleja, Naučno-tehn. sbornik 10—11.
- Burstein, E., 1963: Preparation du poussier de coke pour l'agglomération des minéraux de fer. — Rev. ing. miner., 45, 11, str. 919—927, Paris.
- Petersen, W., Mingenbach, H., 1963: Briketierversuche mit feinkörnigen Eisenerzkonzentraten. — Z. Erzbergb. Metallhüttenw. 16.
- Ušakov, K. I., 1963: Briketirovanie okislennyh nikalevyh rud. — Cvetnye metally, No. 10.
- Schedel, A., 1963: Az ércelőkészítés új útjai. Magyar tud. akad. Műsz. tud. oszt. közl., 32.
- Novák, J., 1964: Briketace železných rud. — Rudy, No. 12.
- Ravič, B. M., Jarho, A. N., 1964: Gorjačee briketirovanie rud. — Stal', No. 2.
- Rubinović, R., 1964: Postupak dobijanja briketa iz stena, ruda i minerala koji su u obliku praha. — Bjul. naučno-tehn. inform. VIZMS-a, No. 3.
- Mitchell, R. J., 1965: What's ahead for Iron Ore Briquetting? — Metal Mining and Process, No. 2.
- Metallgesellschaft Aktiengesellschaft — Procédé pour l'agglomération de combustibles et de minéraux en grains fins et pour le durcissement consécuit des agglomérés en atmosphère oxydante.

Ispitivanje mogućnosti proizvodnje i upotrebe polukoksa iz domaćeg lignita kao bezdimnog goriva*

(II deo)

(sa 5 slika)

Dipl. ing. Dimitrije Matić

Tehnološki proces industrijske proizvodnje polukoksa

Sitan polukoks proizведен je iz lignita Kreka na industrijskom postrojenju po postupku Lurgi — Ruhrgas AG, koji se skraćeno zove LR-postupak.

Princip postupka sastoji se u cirkulacionom kretanju jednog dela proizvedenog sitnog polukoksa koji služi kao čvrst nosilac toploće. Dimni gasovi nose i istovremeno zagrevaju cirkulacioni polukoks, koji zatim prenosi ovu toplost u dodatom, prethodno osušenom, uglju koji se šveluje.

Postupak je pogodan kako za karbonizaciju na visokoj tako i na srednjoj temperaturi uz

dobijanje odgovarajućeg polukoksa, koncentrovano švelnog gasa i visokog prinosa tera.

Sistem cirkulacije uglja i polukoksa prikazan je na sl. 1.

Ispitivanje upotrebe polukoksa lignita kao bezdimnog goriva u industrijskim kotlovima i kotlovima za centralna grejanja

U industrijskom kotlu sa pneumatskim sistemom loženja

Za sagorevanje goriva i merenje bezdimnosti sagorevanja upotrebljen je ekranski kotao u fabrici »Galenika« — pogon penicilina, proizvodnja TPK, Zagreb, No. 769.

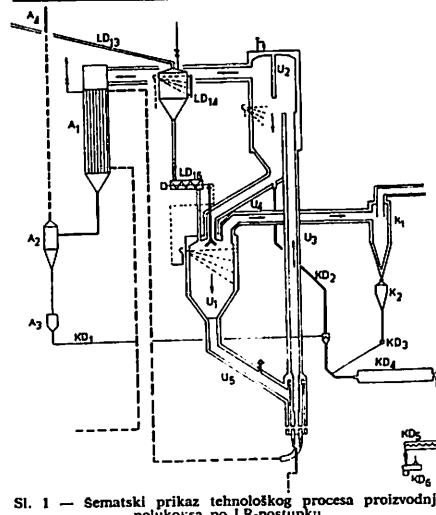
Ovaj kotao je konstruisan za toplotnu moć goriva od cca 3800 kcal/kg. Pri normalnom kapacitetu od 6—7 t/h projektovani stepen korisnog dejstva kotla iznosi 72%.

* I deo članka objavljen je u »Rudarskom glasniku« br. 3/69.

Tehničke osobine ispitivanih goriva. — Kao bezdimno gorivo za ispitivanje užet je sitan polukoks lignita »Kreka«, proizveden u Lukavcu po već opisanom tehnološkom postupku, a kao uporedno gorivo užet je sitan mrki ugajl »Zenica«. Osnovne karakteristike upotrebljenih goriva date su u tablici 1.

**Tablica 1
Osnovne karakteristike upotrebljenih goriva**

| | Ugalj »Zenica« | Polukoks »Kreka« |
|--------------------------------|-------------------|---------------------|
| Vлага | % 6 | 20,3 |
| Pepeo | % 10,7 | 13,4 |
| C-fix | % 35,4 | 44,4 |
| Isparljivo | % 33,6 | 42,2 |
| Sagorljivo | % 69,0 | 86,6 |
| S ukupan | % 2,62 | 3,29 |
| S sagorljiv | % 1,86 | 2,34 |
| Gornja topotna moć, kcal/kg | 4844 | 6078 |
| Donja topotna moć, kcal/kg | 4571 | 5760 |
| C | % 48,2 | 60,4 |
| H | % 2,8 | 3,5 |
| O + N | % 15,4 ± 0,8 | 20,3 |
| | | 6,1 ± 0,6 |
| | | 9,4 ± 0,7 |



Sl. 1 — Sematski prikaz tehnološkog procesa proizvodnje polukoksa po LR-postupku

A. Sistem dimnih gasova: 1 — pregrađa vazduha; 2 — multiklon; 3 — posuda za pršinu iz multiklona; 4 — usponski vod; 5 — gornji silazni vod; 6 — donji silazni vod.

U. 1 — švelni rov; 2 — bunker za sakupljanje; 3 — usponski vod; 4 — duvaljka švelnog gasa; 5 — trčna vaga.

KD. Duvaljka: 1 — vazdušna duvaljka; 2 — duvaljka švelnog gasa; 4 — bubreži; 5 — trčna vaga.

K. Kompenzacija: 1 — ciklon švelnog gaza; 2 — rezervoar za pršinu iz ciklona.

LD. Tretiranje lignita: 13 — presipavanje lignita; 14 — medubunker za lignit; 15 — puž za doziranje.

Abb. 1 Schematische Darstellung des technologischen Prozessstücks der Halbkokserzeugung nach dem LR-Verfahren

Tablica 2

Toplotni bilans kotla za vreme sagorevanja polukoksa »Kreka« i ugaja »Zenica«, određen po indirektnoj metodi*)

| | P. koks »Kreka« | Ugalj »Zenica« |
|--|--------------------|-------------------|
| Gubici topote: | | |
| gubici u šljaci (qs) | 3,8% | 1,1% |
| gubici u letećem pepelu (qp) | 0,4% | 0,7% |
| gubici u topotli dim- nih gasova (qd) | 8,3% | 12,2% |
| gubici usled nesagore- lih gasova (qn) | 4,8% | 5,8% |
| ostali gubici (zračenje kotla i dr.) | 6—8% | 6—8% |
| Ukupni gubici: | 23,3—25,3 | 25,8—27,8 |
| Stepen iskorišćenja kotla (η _k) | 74,7—76,7 | 72,2—74,2 |
| Proizvodnja pare po 1 kg goriva | 7,0 kg | 5,2 kg |

Tablica 3

Rezultati ispitivanja dimnosti

| | Sitan polukoks »Kreka« 0—5 mm vlaga 10% | Sitan ugalj Zenica 0—20 mm vlaga 20,3% |
|---|---|--|
| Količina utrošenog goriva, kg | 3.040 | 2.880 |
| Vreme trajanja sagorevanja, min. | 240 | 240 |
| Ukupna količina dobijenih dimnih gasova za vreme sagorevanja, Nm ³ | 22.830 | 21.053 |
| Količina dimnih gasova izdvojena za hvatanje čadi i letećeg pe- pela, Nm ³ | 2,07 | 2,14 |
| Dobijeno čadi i letećeg pepela, g | 0,53 | 1,73 |
| Količina čadi i letećeg pepela, Nm ³ | 0,256 | 0,808 |
| Količina vlažnih dimnih gasova, Nm ³ /1 kg goriva | 7,5 | 7,3 |
| Količina čadi i letećeg pepela, g/1 kg goriva | 1,92 | 5,90 |
| Količina utrošenog goriva, kg/h | 760 | 720 |
| Količina razvijenih dimnih gasova, Nm ³ /h | 5.700 | 5.260 |
| Količina čadi i letećeg pepela, g/h | 1.460 | 4.250 |

*) Termotehnička ispitivanja vršio je Zavod za termo-techniku Rudarskog instituta, Beograd.

Iz rezultata prikazanih u tablici 3 i priloženih slika može se zaključiti da je dimnost, odnosno količina čadi i letećeg pepela znatno manja pri sagorevanju polukoksa »Kreka« nego kod upotrebe uglja »Zenica«. Količina čadi i letećeg pepela je oko tri puta veća kod upotrebe uglja nego kod polukoksa, iako konstrukcija kotla nije predviđena za primenu tako sprašenog goriva kao što je upotrebljen polukoks. Primena polukoksa u odgovarajućem kotlu bi dala daleko povoljnije rezultate.



Sl. 2 — Snimak filtra od vate sa čadi i letećim pepelom iz $2,07 \text{ Nm}^3$ dimnog gasa izdvojenog iz dimnog kanala za vreme sagorevanja polukoksa »Kreka« u toku 240 min.
Abb. 2 — Wattenfilteraufnahme mit Russ und Flugasche aus $2,07 \text{ Nm}^3$ Rauchgas abgesetzt aus dem Rauchkanal während der Verbrennung von Halbkoks »Kreka« im Laufe von 240 min. entnommen



Sl. 3 — Snimak filtra od vate sa čadi i letećim pepelom iz $2,14 \text{ Nm}^3$ dimnog gasa uzetog za vreme sagorevanja uglja »Zenica« u toku 240 min.
Abb. 3 — Wattenfilteraufnahme mit Russ und Flugasche aus $2,14 \text{ Nm}^3$ Rauchgas entnommen während der Verbrennung der Kohle »Zenica« im Lauf von 240 min.

Ispitivanja na kotlu za centralna grejanja

Sa polukoksom »Kosovo«. — Ova ispitivanja izvedena su u Zavodu za termoteh-

niku Rudarskog instituta. Ispitivanja su vršena na kotlu za centralna grejanja »Neo-vulkan 3« sa sekundarnim vazduhom, fabrike kotlova — Zrenjanin koji je kod nas najviše u upotrebi kao kotao za čvrsta goriva za centralna grejanja topлом vodom ili parom.

Kotao ima grejnu površinu od $39,8 \text{ m}^2$ i radi u zatvorenom sistemu, pri čemu topla voda iz kotla odlazi u radijatore, odnosno u našem slučaju u hladnjak i pomoću pumpa vraća se u kotao.

Ispitivanje je vršeno po DIN-propisima i za svu merenja bili su obezbedeni odgovarajući merni instrumenti.

Kao uporedno gorivo u odnosu na polukoks »Kosovo« uzet je lignit »Kreka« assortmana »kokca«.

Polukoks je proizведен u REH — Kombinatu »Kosovo« po postupku opisanom u I delu članka.

Tablica 4

Analiza goriva upotreblijenih za ispitivanje Teknička analiza

| | Ugalj »Kreka« | Polukoks »Kosovo« |
|-----------------|---------------------------|----------------------|
| Vlaga | % 24,33 — 7,50 — | |
| Pepeo | % 15,47 20,64 21,85 23,62 | |
| S — ukupan | % 0,51 0,67 0,05 1,03 | |
| S u pepelu | % 0,39 0,51 0,92 1,00 | |
| S — sagorljiv | % 0,12 0,16 0,03 0,03 | |
| koks | % 41,30 54,58 80,49 87,02 | |
| C - fix | % 25,83 34,14 58,64 63,40 | |
| Isparlj. mater. | % 34,37 45,42 12,01 12,98 | |
| Sagor. mater. | % 60,20 79,56 70,65 76,38 | |
| Toplotna moć: | | |
| gornja, kcal/kg | 3784 5000 5282 5710 | |
| donja, kcal/kg | 3463 4768 5153 5619 | |

Tablica 5

Elementarna analiza

| | Ugalj »Kreka« | Polukoks »Kosovo« |
|-----------------|---------------------------|----------------------|
| Vlaga | % 24,33 — 7,50 — | |
| Pepeo | % 15,47 20,44 21,85 23,62 | |
| Ugljenik | % 40,42 53,41 61,99 67,02 | |
| Vodonik | % 3,24 4,30 1,56 1,69 | |
| Azot + kiseonik | % 16,42 21,69 7,07 7,64 | |
| S — sagorljiv | % 0,12 0,16 0,03 0,03 | |

Sa polukoksom »Stanari«. — I ova ispitivanja izvršena su na parnom kotlu za centralna grejanja fabrike »Radijator« — Zrenjanin, tipa »Neo — vulkan« III. Karakteristike kotla date su u prethodnom poglavljju.

Kao bezdimno gorivo upotrebljen je polukoks dobijen karbonizacijom mladog lignita iz rudnika »Stanari«. Karbonizacija je izvršena u vertikalnim retortama $h = 438 \text{ cm}$ u $\phi 195—265 \text{ cm}$, proizvodnje nemačke firme »Didier«,

Rezultati ispitivanja

Tablica 6

| | Ugalj »Kreka« | Polukoks »Kosovac« |
|--|------------------|-----------------------|
| Količina dimnih gasova užetih za ispitivanje, l | 4.620 | 5.794 |
| Količina dimnih gasova užetih za ispitivanje, Nm ³ | 4.139 | 5.176 |
| Količina dimnih gasova pri sagorevanju Nm ³ /kg goriva | 5,7 | 11,12 |
| Količina čadi, katrana i letećeg pepela u dimnim gasovima, g/Nm ³ | 0,295 | 0,058 |
| Količina čadi, katrana i letećeg pepela u dimnim gasovima g/kg goriva | 1,68 | 0,645 |
| Gubici za vreme sagorevanja: | | |
| u propadu % | 2,3 | 1,4 |
| u šljaci % | 2,5 | 1,1 |
| u dimnim gasovima % | 13,7 | 15,6 |
| usled nepotpunog sagorevanja % | 5,8 | 0,3 |
| ostali gubici % | 6,5 | 6,1 |
| Ukupni gubici % | 30,8 | 24,5 |
| Iskorišćenje kotla, η _k % | 69,2 | 75,5 |

Tablica 7

Analiza goriva upotrebljenih za ispitivanje

Tehnička analiza

| | Ugalj »Breza« | Polukoks »Stanari« |
|-----------------|------------------|-----------------------|
| Vlaga % | 11,19 | — |
| Pepeo % | 16,67 | 18,77 |
| S — ukupan % | 2,94 | 0,20 |
| S vezan % | 0,78 | 0,17 |
| S — sagorljiv % | 2,16 | 0,03 |
| Koks % | 53,71 | 60,48 |
| C-fix % | 37,04 | 41,71 |
| Isparljivo % | 35,10 | 39,52 |
| Sagorljivo % | 72,14 | 81,23 |
| Kalorična moć: | | |
| gornja, kcal/kg | 5285 | 5976 |
| donja, kcal/kg | 4998 | 5704 |
| | 6667 | 6516 |
| | 7513 | 7419 |

koje se upotrebljavaju za proizvodnju gradskog gasa, pri čemu se dobija koks, odnosno u našem slučaju polukoks sa niskim sadržajem isparljivih materija.

Dalje ispitivanje sa ovako dobijenim polukoksom izvršeno je da bi se utvrdilo kakvi se rezultati dobijaju upotreboom polukoksa proizvedenog na višim temperaturama i sa niskim

sadržajem isparljivih materija i to kako sa termotehničkog tako i sa gledišta bezdimnosti.

Za upoređenje efekta korišćenja bezdimnog goriva — polukoksa »Stanari« na ovom kotlu upotrebljen je mrki ugalj »Brez«. Za merenje količine čadi, katrana i letećeg pepela u dimnim gasovima upotrebljena je ista aparatura kao i kod laboratorijskog ispitivanja, opisana u I delu članka. U toku trajanja opita uzimana je konstantna količina dimnih gasova iz dimnih kanala za vreme sagorevanja šarži uglja odnosno polukoksa.

Tablica 8

Elementarna analiza

| | Ugalj »Breza« | Polukoks »Stanari« |
|--|------------------|-----------------------|
| C % | 52,28 | 61,13 |
| H % | 4,08 | 4,80 |
| S — sagorljiv % | 1,92 | 2,16 |
| O + N % | 11,86 | 13,34 |
| | 5,64 | 4,09 |
| Kalorična moć izračunata iz elementarne analize: | | |
| gornja, kcal/kg | 5322 | 5992 |
| donja, kcal/kg | 5112 | 5836 |
| | 6683 | 7532 |
| | 6554 | 7464 |

Tablica 9

Rezultati ispitivanja

| | Ugalj »Breza« | Polukoks »Stanari« |
|--|------------------|-----------------------|
| Količina užetih dimnih gasova za ispitivanje, l | 3,410 | 4,598 |
| Količina užetih dimnih gasova za ispitivanje, Nm ³ | 3,2 | 4,2 |
| Količina dimnih gasova pri sagorevanju Nm ³ /kg | 7,96 | 11,23 |
| Količina čadi + katran + + leteći pepeo u dimnim gasovima, g/Nm ³ | 0,812 | 0,0035 |
| Količina čadi + katran + + leteći pepeo u dimnim gasovima u g/kg goriva | 6,46 | 0,0392 |
| Gubici za vreme sagorevanja | | |
| u pepelu i propadu, % | 2,94 | 0,75 |
| u šljaci, % | 3,27 | 0,09 |
| u produktima sagorevanja usled visoke temperature, % | 13,96 | 12,75 |
| usled nepotpunog sagorevanja gasova, % | 5,42 | 0,74 |
| ostali gubici, % | 8,91 | 3,34 |
| Ukupni gubici, % | 34,50 | 17,67 |
| Iskorišćenje kotla — goriva (η _k) % | 65,50 | 82,33 |

Kao što se vidi iz rezultata iznetih u tablicama 6 i 9 i sl. 4 i 5, može se zaključiti:

- da upotreba polukoksa kao goriva u kotlovima za centralna grejanja daje znatno bolje iskorišćenje kotla (η_E) (75,5–82,3%) nego kad je kao gorivo upotrebљen lignit ili mrki ugalj (69,2–65,5%);

— da se iz naših lignita, čiji se sadržaj vlage kreće oko 50%, procesom karbonizacije na temperaturama od 500–600°C, može dobiti gorivo visoke kalorične vrednosti koja se kreće od 5600–7400 kcal/kg polukoksa (bez vлаге) зависno od sadržaja pepela;

— ovako gorivo sagoreva u kotlovima za centralna grejanja sa iskorišćenjem od 75–82%,



Sl. 4 — Snimak filtra od vate sa čadi iz 2 Nm³ dimnih gasova za vreme sagorevanja mrkog uglja »Zenica« u toku 180 min.

Abb. 4 — Wattentileraufnahme mit Russ aus 2 Nm³ Rauchgas während der Verbrennung der Hartbraunkohle »Zenica« im Laufe von 180 min.



Sl. 5 — Snimak filtra od vate sa čadi iz 2 Nm³ dimnih gasova za vreme sagorevanja polukoksa »Stanari« u toku 180 min.

Abb. 5 — Wattentileraufnahme fit Russ aus 2 Nm³ Rauchgas während der Verbrennung von Halbkoks »Stanarie« im Laufe von 180 min.

- da je »dimnost« pri sagorevanju polukoksa uočljivo manja (0,058–0,0035 mg/Nm³ dimnih gasova) nego pri sagorevanju mrkog uglja i lignita (0,812–0,295 mg/Nm³ dimnih gasova).

Zaključak

Iz podataka iznetih u I i II delu ovog članka može se reći sledeće:

u odnosu na razne vrste ugljeva, čije se iskorišćenje na kotlu na kome je vršeno ispitivanje kreće od 65–69%;

— emitovanje čadi i katrana u atmosferu je mnogo veće kod ugljeva nego kod polukoksa dobijenog iz lignita, tako da se sadržaj čadi, katrana i letećeg pepela u dimnim gasovima kod ugljeva kreće od 0,295–0,812 mg, a kod polukoksa od 0,0035–0,058 mg na 1 Nm³ dimnih gasova.

ZUSAMMENFASSUNG

Untersuchung der Erzeugungs- und Verwendungsmöglichkeiten des Halbkokses aus einheimischen Braunkohlen als rauchlosen Brennstoff

Dipl. Ing. D. Matić*)

Aus den im I. und II. Teil dieses Aufsatzes gemachten Angaben kann folgendes gesagt werden:

— Aus unseren Braunkohlen, deren Wassergehalt sich um 50% bewegt, kann durch Verbrennungsprozess bei Temperaturen von 500–600°C ein Brennstoff von hohem Heizwert, ein Halbkoks (ohne Wassergehalt) abhängig von Aschengehalt, mit einem Heizwert von 5600–7400 kcal/kg abhängig vom Aschengehalt, gewonnen werden;

— ein solcher Brennstoff verbrennt unter den Zentralheizungskesseln mit einem Wirkungsgrad von 75–82% in bezug auf verschiedene Kohlenarten, deren Wirkungsgrad auf denselben Kesseln sich von 65–69% bewegte;

— Russ- und Teeraussendung in die Luft war viel grösser bei den Kohlen als bei dem aus Braunkohle gewonnenen Halbkoks, so dass sich der Gehalt an Russ, Teer und Flugasche bei Rauchgasen bei Kohlen von 0,295–0,812 mg und beim Halbkoks von 0,0035–0,058 mg/l Nm³ Rauchgas bewegte.

*) Dipl. ing. Dimitrije Matić, naučni saradnik Zavoda za pripremu mineralnih sirovina Rudarskog instituta, Beograd.

Literatura

1. Bronowski, Y., 1969: Lévolution de nouveaux combustibles sans fumée. — Annales des Mines de Belgique, 1969/II.
2. Beskine, J. M., 1962: Die Herstellung einer Rauchlosen Kohle. — Erdöl und Kohle, 1962/IV.
3. Future availability of Solid Smokeless fuels. — Coke and Gas, 1961/V, 264/177.
4. Ledent, P., 1960: Production de boulets non fumeux par carbonisation à basse température. — Annales des Mines de Belgique, 1960/II, 853.
5. The Fuel Industries and Air Pollution. — Coke and Gas, 24/1962/281.
6. Evropskaja Ekonomičeskaja Komisija, Komitet po uglju. Bezdimmnoe tverdoe toplivno. Coal (U) Working Paper No 4, 16 July 1963 i No 4 Add. 1, 11 September 1963.
7. Voločov, N. J.: 1) Sagorevanje lignita u tankom sloju. 2) Sagorevanje lignita u debijem sloju. 3) Metode ispitivanja sagorevanja lignita. — Iz Zbornika radova Mašinskog instituta SAN, Tom LXX, knj. 8, IX knj. 8, LIV knj. 7.
8. Rammel, E., Alberti, H. J. V., 1962: Technologie und Chemie der Braunkohlenverwertung. Leipzig.
9. Ledent, P., Marcourt, M., 1961: Eude des aérosols émis par différents types de combustibles lors de leur combustion dans un poêle domestique. — Annales des Mines de Belgique 1961/VII—VIII.
10. Fejiks, Dordović, 1962: Merenja zagonnosti vazduha u Beogradu. — Narodno zdravlje.
11. Economic Commission for Europe, Coal Committee: Smokeless Fuels, Paper No 23, 10. I 1966.
12. Matić, D., 1964-66: Studija o proizvodnji i primeni bezdimmnog goriva (I, II, III, deo). — Rudarski institut, Beograd.
13. Economic Commission for Europe, Coal Committee: Air Pollution Standards Concerning the Characteristics of Smokeless Fuels, Paper No 40, May 1967.
14. Opis LR — švelare za proizvodnju sitnog švel-koksa iz prethodno sušenog Kreka — lignita, Koksare »Boris Kidrič« — Lukavac. Prevod s nemačkog Gazibara, 14. 8. 1963.
15. Matić, D., 1968: Izveštaj o mogućnosti proizvodnje i upotrebe polukoksa kao bezdimmnog goriva na bazi kosovskog lignita. — Rudarski institut, Beograd.

Specifičnosti grafičke i vremenske analize izvođenja nekih rudarskih radova

(sa 3 slike)

Prof. ing. Vladimir Buljan

Prilikom razrade vremenskog programa izgradnje rudnika »Blagodat«, da bi se došlo do što tačnijih rezultata, pokazalo se da je potrebno upustiti se u direktnu analizu radova na nekim značajnijim rudarskim objektima. Analiza je pokazala da većina rudarskih radova ima neke posebne karakteristike o kojima treba voditi računa kod grafičkog prikaza vremenskog programa njihove izrade. Te karakteristike su sledeće:

— poželjno je da se neka operacija počne samo ako je situacija takva, da se ta operacija, kada je jednom početa, može izvesti u potpunosti i bez prekida,

— tehnička mogućnost za početak neke operacije ne zavisi uvek od potpunog završetka prethodne, nego najčešće od određenog stepena njenog napredovanja,

— tehnička mogućnost dovršenja neke operacije ne zavisi uvek od potpunog završetka prethodne, nego često od dovoljnog razmaka

između njenog završetka i završetka posmatra-ne operacije.

Pomenute karakteristike: nedeljivost, neop-hodan tehnički razmak od početka do početka, odnosno od završetka do završetka, moraju kod grafičkog prikaza vremenskog programa biti u celosti uzete u obzir, jer inače možemo doći do apsurdnih rezultata.

Pre nego navedeno ilustrujemo jednim pri-merom — bez namere da se upuštamo u detaljan opis metoda grafičkog prikazivanja vre-menskog programa — smatramo da potrebno da podsetimo na bitne osobine dvaju najpri-menjenijih u praksi.

Grafikoni tipa Gantt

Mnogi se organizatori koriste grafikonima tipa Gantt gde se operacije prikazuju odgo-vajuće postavljenim segmentima prave. Ovakvo prikazivanje ne zadovoljava u potpunosti, jer ne omogućuje reprodukciju međuakcija i za-visnosti raznih operacija od kojih se sastoji program. U tome smislu je mnogo svršihod-niji savremeni način prikaza metodom mrež-nog programiranja.

Metoda mrežnog programiranja

Ova metoda, u stvari, predstavlja specijalnu primenu dinamičkog programiranja, a za pri-kaz vremenskih programa koristi dijagrame sa strelicom odnosno grafove.

Postoje, međutim, dve varijante grafičkog prikaza po ovoj metodi:

- najčešće je u primeni, može se reći, klasična varijanta po kojoj se u mrežnom dijagramu operacije prikazuju strelicama kojima je dodat broj, koji označava tra-janje operacije, a kružići u vrhovima di-jagrama označavaju realizaciju pojedinih operacija (»događaji«).

Ovakva predstava dozvoljava vođenje raču-na o redosledu odnosno paralelnosti više ope-racija. Zavisnosti redosleda operacija često su izražene uslovima, kao npr.: »Operacija »b« ne može početi, dok se ne završi operacija »a«.

Druga u pogledu grafičkog prikaza potpunc različita varijanta metode mrežnog programi-ranja je varijanta »potencijala« odnosno još po svome autoru nazvana »metoda ROY«.

Dok u dijagramu po prethodnoj varijanti svakoj operaciji pripada određeni luk, u mode-lu »potencijala« njoj pripada određeni vrh. Lukovi ovde predstavljaju redosled među raz-nim operacijama, a vrednosti koje se dodaju lukovima predstavljaju najčešće ograničenja tipa:

»Da bi operacija »j« mogla da počne, pot-rebno je da trajanje, proteklo od početka neke

druge operacije »i« bude najmanje jednakod određenom trajanju »t i j«, koje je dovoljno da se operacija »i« u celosti ili delimično za-vrši.«

Varijanta potencijala može uzeti u obzir i ograničenja sledećeg tipa:

»Da bi operacija »j« mogla da počne, potre-bno je da trajanje koje je proteklo od početka neke druge operacije »i« bude najviše jednakod određenom trajanju »t i j«.

Ovaj poslednji tip ograničenja, iako redak, vrlo je važan. On nam omogućuje da izbegne-mo neprihvativije rezultate, da se osigura konti-nuitet između dve operacije i da se izradi si-multanost. U tu svrhu dovoljno je da se druk-čije formuliše:

»Da bi operacija »j« mogla da počne, potre-bno je da trajanje, proteklo od početka neke druge operacije »j«, bude najmanje jednakod određenom trajanju »t i j«.

Ovo je, zapravo, već navedeni tip — ali sa negativnim trajanjem.

Iz ovog proizlazi da se ova varijanta može okarakterisati kao varijanta operacija i ogra-ničenja.

Iako postoje fundamentalne razlike između navedene dve varijante u pogledu grafičkog prikaza, u odnosu na rešavanje one se bitno ne razlikuju i mogu se koristiti isti algoritmi.

Primer grafičke i vremenske analize izgradnje rudarskog hodnika

Među objektima pomenutog rudnika u iz-gradnji posebnu je pažnju trebalo posvetiti iz-radi hodnika dužine od oko 7 km, čijim je pot-punim ili delimičnim završavanjem bio uslov-lijen početak izgradnje gotovo isto tako veli-kih rudničkih objekata (okno, sipka i dr.), a niz operacija je trebalo simultano izvoditi.

Detaljna analiza izgradnje pomenutog hod-nika pokazala je:

a) da se hodnik može izrađivati iz 3 napad-ne tačke, pa je njegova izgradnja podeljena na 3 deonice: A, B, C;

b) da je za tačnije sagledavanje vremenskog programa izgradnje pojedinih deonica hodnika potrebno njihovu izgradnju podeliti na sledeće operacije:

- iskop (Isk)
- betoniranje obloge (Bet)
- izrada kanala (Kan)
- postavljanje koloseka (Kol)
- postavljanje instalacija za trolejsku vuću (Tr).

Razmatranjem uslova rada na deonici A dužine 2.987 m' i uzimanjem u obzir raspolo-zivih sredstava i kadrova došlo se do sledećih zaključaka:

1. da potrebno vreme za izvršenje svake od pomenutih operacija iznosi i to za:

| | | |
|---|-----|-------------|
| — iskop (Isk) | 450 | kalen. dana |
| — betoniranje oblage (Bet) | 427 | " |
| — izrada kanala (Kan) | 299 | " |
| — postavljanje koloseka (Kol) | 63 | " |
| — postavljanje instalacija za trolejsku vuču (Tr) | 100 | " |

2. uslovi redosleda i zavisnosti izgradnje su sledeći:

— odmah može započeti jedino operacija iskopa;

— operacija betoniranja oblage može početi tek kad iskop dovoljno napreduje da ne bi potresi usled miniranja uticali na sveže betonske radove i da ne dođe do nagomilavanja sredstava i radnika na uskom prostoru. Taj razmak ocenjen je sa 50 m³ što izraženo kroz vreme potrebno za iskop iznosi 8 kal. dana. Osim toga, završetak iskopa treba da usledi dovoljno pre završetka rada na betoniranju oblage. Znači, u ovom slučaju dovoljno je vreme, koje je potrebno za betoniranje poslednjih 50 m³ iskopa, i koja iznosi 8 kal. dana.

— Operacija izrade kanala može najranije početi tek posle 28 kal. dana od početka betoniranja, pošto je toliko vremena potrebno da se stvrdnu prvi metri betona i da se s njega skela.

Iz istog razloga betoniranje oblage se mora završiti 28 kal. dana pre završetka izrade kanala.

— Operacija postavljanja koloseka može najranije da počne 5 dana posle početka izrade kanala, jer se ovaj vremenski razmak smatra dovoljnim, da radovi na postavljanju koloseka ne oštete relativno sveže betonske radove na kanalu.

Iz istog razloga se izrada kanala mora završiti 5 kal. dana pre završetka postavljanja koloseka.

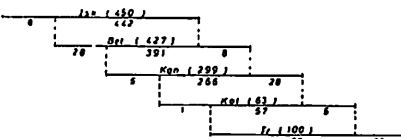
— Operacija postavljanja instalacija za trolejsku vuču može početi jedan kal. dan posle početka postavljanja koloseka, jer je jednodnevni napredak postavljanja koloseka dovoljan da ne dođe do nagomilavanja sredstava i ljudi na uskom prostoru.

Postavljanje koloseka treba da se završi 28 kal. dana pre završetka postavljanja instalacija za trolejsku vuču. Ovo proizlazi iz razlike predvidenog potrebnog vremena za izvršenje svake od ove dve operacije.

— Poželjno je, iz organizaciono-ekonomskih razloga, da svaka od navedenih operacija bude izvedena u neprekidnom toku. Jedanput sasta-

vljene ekipe i sredstva doneta na radilište jedino se racionalno mogu koristiti, ako nema prekida u izvođenju operacije. Svaki prekid radova i njihovo ponovno nastavljanje posle izvesnog vremena dovodi do njihovog poskupljenja.

Vremenski odnosi koji su proizašli iz gornje analize izgradnje deonice A prikazani su na sl. 1.



Sl. 1 — Sema vremenskih odnosa
Рис. 1 — Схема временских зависимостей

Način grafičkog prikaza i metoda rešavanja

Za grafički prikaz vremenskog programa izgradnje deonice A á priori je odbačen grafikon tipa Gantt i usvojen metod mrežnog programiranja. Ovo je urađeno zbog već iznajednošću nedostatka grafikona tipa Gantt — nemogućnosti prikazivanja zavisnosti i povezanosti pojedinih operacija, što je od bitnog značaja za konkretni slučaj.

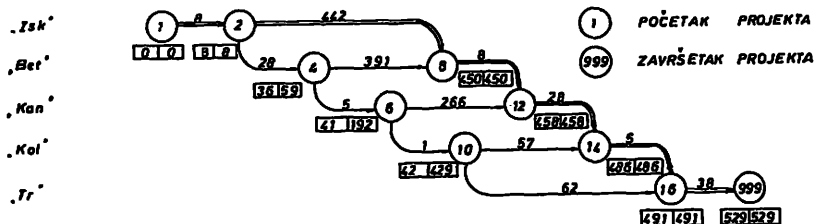
Prikaz pomoću »klasičnog« mrežnog dijagrama (dijagrama orijentisanog dogadjajima)

Pošavši od šeme na sl. 1 vremenski program izgradnje deonice A pokušali smo prikazati pomoću klasične varijante mrežnog dijagrama i ručno ga rešiti pomoću poznatog uprošćenog algoritma koji se može primeniti na samom dijagramu.

Cilj rešavanja bio je:

- da se utvrdi najduži put od početka do završetka
- da se utvrdi »najraniji« i »najkasniji početak« svake operacije i »konsekventno »najraniji« i »najkasniji završetak« svake operacije
- da se utvrdi »ukupan« i »slobodan zazor«
- da se utvrdi kritičan put tj. onaj koji postoji po operacijama sa ukupnim zazorom jednakim nuli.

Grafički prikaz dat je na sl. 2, a tablični pregled rezultata u tablici 1.



Sl. 2 — Mrežni dijagram po klasičnoj varijanti.
Pic. 2 — График драграмма согласно классическому варианту

Pregledna tablica rezultata

| Strelica | t | t^0_1 | t'_1 | t^0_3 | t'_3 | S_t |
|----------|-----|---------|--------|---------|--------|-------|
| 1 — 2 | 8 | 0 | 0 | 8 | 8 | 0 |
| 2 — 4 | 28 | 8 | 31 | 36 | 59 | 23 |
| 2 — 8 | 442 | 8 | 8 | 450 | 450 | 0 |
| 4 — 6 | 5 | 36 | 187 | 41 | 192 | 151 |
| 4 — 8 | 391 | 36 | 59 | 427 | 450 | 23 |
| 6 — 10 | 1 | 41 | 428 | 42 | 429 | 387 |
| 6 — 12 | 266 | 41 | 192 | 307 | 458 | 151 |
| 8 — 12 | 8 | 450 | 450 | 458 | 458 | 0 |
| 10 — 14 | 57 | 42 | 429 | 99 | 486 | 387 |
| 10 — 16 | 62 | 42 | 429 | 104 | 491 | 387 |
| 12 — 14 | 28 | 458 | 458 | 486 | 486 | 0 |
| 14 — 16 | 5 | 486 | 486 | 491 | 491 | 0 |
| 16 — 999 | 38 | 491 | 491 | 529 | 529 | 0 |

t = trajanje

t^0_1 = najraniji početak

t'_1 = najkasniji početak

t^0_3 = najraniji završetak

t'_3 = najkasniji završetak

S_t = ukupan vremenski razvor

0 = operacije koje leže na kritičnom putu

Osim na navedeni način rešenja su tražena i pomoću algoritma Bellman-Kalaba, postupak vršeći opet ručno, što je prikazano u tablicama 2, 3, 4 i 5.

Tablica 2

Matrična osnovnih podataka

| ka | 1 | 2 | 4 | 6 | 8 | 10 | 12 | 14 | 16 | 999 |
|-----|---|---|----|---|-----|----|-----|----|----|-----|
| od | 1 | 0 | 8 | . | . | . | . | . | . | . |
| 1 | — | 8 | . | . | . | . | . | . | . | . |
| 2 | . | — | 28 | . | 442 | . | . | . | . | . |
| 4 | . | . | — | 5 | 391 | . | . | . | . | . |
| 6 | . | . | . | — | . | 1 | 266 | . | . | . |
| 8 | . | . | . | . | — | 8 | . | . | . | . |
| 10 | . | . | . | . | . | — | 57 | 62 | . | . |
| 12 | . | . | . | . | . | . | — | 28 | . | . |
| 14 | . | . | . | . | . | . | . | — | 5 | . |
| 16 | . | . | . | . | . | . | . | . | — | 38 |
| 999 | . | . | . | . | . | . | . | . | . | — |

Tablica 3

Iteracije — linije (proračun najdužeg trajaanja između svakog vrha i završetka projekta)

| Vrh. | 1 | 2 | 4 | 6 | 8 | 10 | 12 | 14 | 16 | 999 |
|-------|-----|-----|-----|-----|-----|-----|-----|----|----|-----|
| iter. | 1 | . | . | . | . | . | . | . | . | 38 |
| 1 | . | . | . | . | . | . | . | . | . | 38 |
| 2 | . | . | . | . | . | . | . | . | 43 | 38 |
| 3 | . | . | . | . | 101 | . | 100 | 71 | 43 | 38 |
| 4 | . | . | . | 106 | 337 | 79 | 100 | 71 | 43 | 38 |
| 5 | . | . | 521 | 470 | 337 | 79 | 100 | 71 | 43 | 38 |
| 6 | 529 | 521 | 470 | 337 | 79 | 100 | 71 | 43 | 38 | 0 |
| 7 | 529 | 521 | 470 | 337 | 79 | 100 | 71 | 43 | 38 | 0 |

| t'_3 | 0 | 8 | 59 | 192 | 450 | 429 | 458 | 486 | 491 | 529 |
|--------|---|---|----|-----|-----|-----|-----|-----|-----|-----|
| — | — | — | — | — | — | — | — | — | — | — |

Tablica 4

Inverzne iteracije — kolone (proračun najdužeg trajaanja između početka projekta i svakog vrha)

| Vrh. | 1 | 2 | 4 | 6 | 8 | 10 | 12 | 14 | 16 | 999 |
|-------|---|---|----|----|-----|----|-----|-----|-----|-----|
| iter. | 1 | 0 | 8 | . | . | . | . | . | . | . |
| 1 | 0 | 8 | . | . | . | . | . | . | . | . |
| 2 | 0 | 8 | 36 | . | 450 | . | . | . | . | . |
| 3 | 0 | 8 | 36 | 41 | 450 | . | 458 | . | . | . |
| 4 | 0 | 8 | 36 | 41 | 450 | 42 | 458 | 486 | . | . |
| 5 | 0 | 8 | 36 | 41 | 450 | 42 | 458 | 486 | 491 | . |
| 6 | 0 | 8 | 36 | 41 | 450 | 42 | 458 | 486 | 491 | 529 |
| 7 | 0 | 8 | 36 | 41 | 450 | 42 | 458 | 486 | 491 | 529 |

| t'_3 | 0 | 8 | 36 | 41 | 450 | 42 | 458 | 486 | 491 | 529 |
|--------|---|---|----|----|-----|----|-----|-----|-----|-----|
| — | — | — | — | — | — | — | — | — | — | — |

Tablica 5

Proračun zazora

| | 1 | 2 | 4 | 6 | 8 | 10 | 12 | 14 | 16 | 999 |
|---------|---|---|----|-----|-----|-----|-----|-----|-----|-----|
| t'_j | 0 | 8 | 59 | 192 | 450 | 429 | 458 | 486 | 491 | 529 |
| t''_j | 0 | 8 | 36 | 41 | 450 | 42 | 458 | 486 | 491 | 529 |
| S_t | 0 | 0 | 23 | 151 | 0 | 387 | 0 | 0 | 0 | 0 |

Analizirajući rezultate grafičkog vremenskog prikaza izgradnje deonice A pomoću klasične varijante mrežnog dijagrama dolazimo do sledećih zaključaka:

— za konstrukciju odgovarajućeg dijagrama bilo je potrebno deliti operacije i

— na kritičnom putu ne leže cele operacije nego samo njihovi delovi, pa u vezi s tim postoje i zatori među pojedinim delovima jedne te iste operacije, iz čega sledi, da postoji sloboda da se pojedini delovi operacije počnu odnosno završe na relaciji između najranijeg i najkasnijeg.

Već na prvi pogled, polazeći od gornjih rezultata, vidimo da prikaz nije zadovoljio kroz analizu problema izgradnje iznetu poželjnost o nedeljivosti operacija, dozvolivši odgovarajuće slobode u pogledu započinjanja, a prema tome i završavanja pojedinih delova operacija.

Analizirajući dalje posledice postojanja zazora došli smo do niza nelogičnosti ili bolje reći apsurdra.

Ilustracije radi navodimo sledeći primer:

Ukoliko se svi radovi počnu najranijeg mogućeg datuma i odvijaju po programu, posle 41 kal. dana od početka iskopa može se početi sa postavljanjem koloseka, a posle 58 kal. dana izgradnje koloseka odnosno 99 kal. dana od početka iskopa, može biti završeno 92,1% koloseka, tj. kolosek će biti postavljen na 2.753 m' deonice A hodnika, dok će u tom istom momentu iskop biti završen na 22% celokupne predviđene dužine tj. oko 657 m'. Eto apsurd!

U hodnik dužine 657 m smestili smo 2.753 m' koloseka, iako je postavka da m' hodnika odgovara m' koloseka.

Ovo jasno govori o nepodobnosti grafičkog prikaza vremenskog programa rudarskih rado-

va klasičnom varijantom mrežnog programiranja čim se ukaže potreba za ulaganje u detalje samoga rada.

Rešenje pomoću varijante »potencijala« mrežnog programiranja, odnosno dijagrama orijentisanog operacijama — aktivnostima

Podoban način grafičkog prikaza vremenskog programa za isti problem, kao i u prethodnoj tački, pokušali smo naći posluživši se varijantom »potencijala« metode mrežnog programiranja; odgovarajući mrežni dijagram prikazan je na sl. 3.

Iako smo — sa malo više pažnje i truda zbog učešća negativnih vremena, pa prema tome i više rizika da se napravi neka greška — dijagram mogli rešiti istim uprošćenim algoritmom kao i u prethodnom slučaju kada se radi o prikazu putem klasične varijante mrežnog dijagrama, ovaj smo rešavali samo pomoću algoritma Bellman—Kalaba radeći ručno. Izabrali smo baš ovaj algoritam imajući u vidu njegove prednosti pri rešavanju pomoću elektronskih računara, posebno kada se radi o varijanti »potencijala« i slučaju projekta kad broj operacija prelazi stotinu, a što ćemo docnije pobliže objasniti.

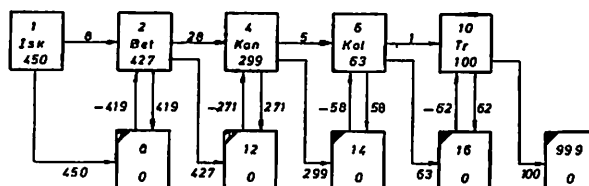
Podsećamo da algoritam Bellman—Kalaba bazira na teoremi optimaliteta dinamičkog programa. On je matematski izraz definicije kritičkog puta i izražava sledeće evidentno svojstvo:

»Najduži put između početka i završetka, koji prolazi kroz vrh P_i sastoji se iz najdužeg puta između početka i P_i i najdužeg puta između P_i i završetka.«

Postupa se korak po korak počevši od završetka, tražeći sve puteve sa jednim lukom, zatim dva luka itd., dok ne dodemo do početka.

Algoritam Bellman—Kalaba može se isto tako primeniti kod traženja minimalne vrednosti kritičkog puta.

Postupak i rešenje prikazani su u tablicama 6, 7, 8 i 9.



Sl. 3 — Mrežni dijagram po varijanti »potencijala«

Ruc. 3 — Сетевая диаграмма согласно варианте „потенциалов“.

Već prvi pogled na dijagram, izrađen po varijanti »potencijala« pokazuje, da nam ovaj pruža daleko veći volumen podataka od onoga, koji je izrađen po prethodnoj varijanti pri obradi jednog te istog problema.

Matrica osnovnih podataka

Tablica 6

| ka | 1 | 2 | 4 | 6 | 8 | 10 | 12 | 14 | 16 | 999 |
|-----|---|-----|----|-----|-----|-----|-----|----|----|-----|
| 1 | — | 8 | . | . | 450 | . | . | . | . | . |
| 2 | . | — | 28 | 5 | 419 | . | 427 | . | . | . |
| 4 | . | . | — | 5 | . | 271 | 299 | . | . | . |
| 6 | . | . | . | — | . | 1 | . | 58 | 63 | . |
| 8 | — | 419 | . | . | . | . | . | . | . | . |
| 10 | . | . | . | . | — | . | . | . | 62 | 100 |
| 12 | . | . | — | 271 | . | . | . | . | . | . |
| 14 | . | . | . | — | 58 | . | . | . | . | . |
| 16 | . | . | . | . | — | 62 | . | . | . | . |
| 999 | . | . | . | . | . | . | . | . | . | . |

Iteracije — linije

Tablica 7

| Vrh. | 1 | 2 | 4 | 6 | 8 | 10 | 12 | 14 | 16 | 999 |
|---------|-----|-----|-----|-----|-----|-----|-----|-----|-----|-----|
| iter. | 1 | 2 | 4 | 6 | 8 | 10 | 12 | 14 | 16 | 999 |
| 1 | . | . | . | . | 101 | . | 100 | . | 38 | 0 |
| 2 | . | . | . | 101 | . | 100 | . | 43 | 38 | 0 |
| 3 | . | . | 106 | 101 | . | 100 | . | 43 | 38 | 0 |
| 4 | . | 134 | 342 | 101 | . | 100 | 165 | 43 | 38 | 0 |
| 5 | 152 | 376 | 342 | 101 | 285 | 100 | 71 | 43 | 38 | 0 |
| 6 | 378 | 498 | 342 | 101 | 102 | 100 | 71 | 43 | 38 | 0 |
| 7 | 508 | 498 | 342 | 101 | 79 | 100 | 71 | 43 | 38 | 0 |
| 8 | 529 | 498 | 342 | 101 | 79 | 100 | 71 | 43 | 38 | 0 |
| 9 | 529 | 498 | 342 | 101 | 79 | 100 | 71 | 43 | 38 | 0 |
| t_1' | 0 | 31 | 187 | 428 | 450 | 429 | 458 | 486 | 491 | 529 |
| t_1^t | 450 | 427 | 299 | 63 | 0 | 100 | 0 | 0 | 0 | 0 |
| t_1^t | 450 | 458 | 486 | 491 | 450 | 529 | 458 | 486 | 491 | 529 |

Inverzne iteracije — kolone

Tablica 8

| Vrh. | 1 | 2 | 4 | 6 | 8 | 10 | 12 | 14 | 16 | 999 |
|---------|-----|-----|-----|-----|-----|-----|-----|-----|-----|-----|
| iter. | 1 | 2 | 4 | 6 | 8 | 10 | 12 | 14 | 16 | 999 |
| 1 | 0 | 8 | . | . | 450 | . | . | . | . | . |
| 2 | 0 | 31 | 36 | . | 450 | . | 435 | . | . | . |
| 3 | 0 | 31 | 164 | 41 | 450 | . | 458 | 335 | . | . |
| 4 | 0 | 31 | 187 | 277 | 450 | 42 | 458 | 463 | 104 | . |
| 5 | 0 | 31 | 187 | 405 | 450 | 278 | 458 | 486 | 340 | 142 |
| 6 | 0 | 31 | 187 | 428 | 450 | 405 | 458 | 486 | 468 | 378 |
| 7 | 0 | 31 | 187 | 428 | 450 | 429 | 458 | 486 | 491 | 505 |
| 8 | 0 | 31 | 187 | 428 | 450 | 429 | 458 | 486 | 491 | 529 |
| 9 | 0 | 31 | 187 | 428 | 450 | 429 | 458 | 486 | 491 | 529 |
| t_1' | 0 | 31 | 187 | 428 | 450 | 429 | 458 | 486 | 491 | 529 |
| t_1^t | 450 | 427 | 299 | 63 | 0 | 100 | 0 | 0 | 0 | 0 |
| t_1^t | 450 | 458 | 486 | 491 | 450 | 529 | 458 | 486 | 491 | 529 |

Proračun zazora

Tablica 9

| | 1 | 2 | 4 | 6 | 8 | 10 | 12 | 14 | 16 | 999 |
|---------|---|----|-----|-----|-----|-----|-----|-----|-----|-----|
| t_1' | 0 | 31 | 187 | 428 | 450 | 429 | 458 | 486 | 491 | 529 |
| t_1^t | 0 | 31 | 187 | 428 | 450 | 429 | 458 | 486 | 491 | 529 |
| S_t | 0 | 0 | 0 | 0 | 0 | 0 | 0 | 0 | 0 | 0 |

Osim toga, iz rešenja se vidi da je izbegnuto neželjeno deljenje operacija, pa smo, što je najbitnije, na ovaj način došli do želenog rezultata: u dijagramu su uzeti u obzir svi ograničavajući faktori i želje, izražena je simultanost i kontinuitet između operacija, a izbegnut je neželjeni prikaz sloboda u pogledu počinjanja odnosno završavanja pojedinih operacija, koje kod datih ograničenja i želja ne postoje, iako su u osnovi moguće.

Iz rešenja se vidi da operacije ne treba poteti odmah kada to omogući situacija na terenu, nego u momentu kada nam njihovo programsko i simultano sa ostalim operacijama izvođenje osigurava kontinuitet izvođenja i završetak u programom predvideno vreme.

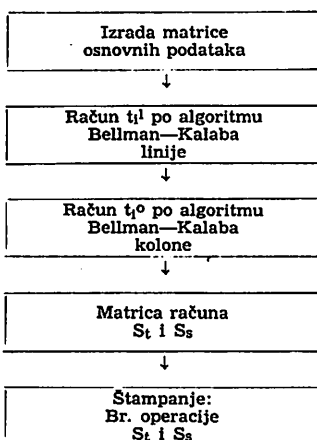
Grafički prikaz vremenskog programa izgradnje, predstavljen modelom »potencijala«, i njegovo rešavanje pomoću algoritma Bellman-Kalaba iziskuje minimum vremena za pripremu kod rešavanja pomoću elektronskih računara. Dovoljno je imati listu operacija sa označkom njihovog trajanja i njima prethodećih i sledećih operacija sa označkom trajanja.

Računar radi sistematski, sledeći šemu algoritma Bellman-Kalaba, a polazeći od podataka koji su uvedeni u računar pomoću bušenih kartica. Postoje dva tipa kartica:

— jedna bušena kartica po operaciji na kojoj je označen broj operacije i njeno trajanje;

— jedna bušena kartica za svaku vezu među operacijama na kojoj je napisan broj operacije koja »prethodi« i one koja »sledi« sa trajanjem razmaka.

Ordinogram rada na računaru imaće sledeći oblik:



Zaključak

U mnogim slučajevima grafički prikaz vremenskog programa pomoći varijante »potencijala« mrežnog programiranja ima prednost u odnosu na varijantu prema kojoj se operacije u dijagramima prikazuju strelicama.

Osim prednosti koje pokazuje ova varijanta u pogledu modifikacije problema, prikazivanja operacija koje se sastoje iz delova prikazivanja paralelnih operacija, prikazivanja nezavisnih i zavisnih operacija od posebne je važnosti za rešavanje određenih problema njenim svojstvom, da se mogu pomoći nje prikazivati i limitirajući uslovi započinjanja odnosno završavanja neke operacije, a što je pokazano na primjeru iznetom u našem članku. U našem primjeru ograničavajući podaci su bili tehničke i organizaciono-ekonomski prirode, ali to mogu biti

i drugi, kao npr.: rok isporuke materijala, klimatske prilike itd.

Prikaz po varijanti »potencijala« je, može se slobodno reći, neophodan, kada se ukaže potreba da se pride direktnoj analizi radova.

Prikaz po varijanti »potencijala« omogućuje da se osigura kontinuitet dveju operacija i izrazi simultanost.

Kao što smo iz primera videli, prevođenje logičke analize, koju je pri izradi vremenskog programa rudarskih radova neophodno napraviti, u model »potencijala« je vrlo jednostavno.

Polazeći od tako dobivene mreže sve sledeće operacije planiranja mogu se obaviti bez teškoća: proračun početka i završetka operacija najranije i najkasnije, račun ukupnih i slobodnih zavora, harmonizacija sredstava, kalendar izgradnje, grafikon Gantt itd.

Samo rešavanje pomoći elektronskog računara, a po algoritmu Bellman—Kalaba nije posebno komplikovano.

РЕЗЮМЕ

Специфические особенности графического и временного анализа производства некоторых горных работ

Проф. инж. В. Булян^{*)}

На примере взятом из практики показано что, поскольку появится необходимость анализа горных работ в течении их программирования, то представление пропрограммы во временных классических вариантах сетевой техники, в котором диаграмма определяется прошествиями, не соответствует и может привести к абсурдным выводам.

В случае, если нужно представить условия ограничения для начала или завершения отдельных операций, что часто встречается в горном деле, автор отдает преимущество графическому представлению при помощи варианта «потенциалов» (РОЙ) сетевой техники.

Указывается также на преимущество этого варианта в связи с преработкой на ЭВМ по алгоритму Белльмана-Калаба.

Literatura

- Brandenberger, J., Konrad, R., 1967: L'étude du Planing des travaux routiers par la méthode P. E. R. T. — Widmayer — Centre de Recherches Routières, Bruxelles, 1967.
- Buljan, V., Mihalović, N., 1969: Programiranje i praćenje izgradnje rudnika »Blagodat« metodom mrežne tehnike. — Rudarski institut, Beograd.
- Technique de programmation et d'ordonnancement. — Centre de formation postuniversitaire Faculté Polytechnique de Mons, Belgique, 1969.
- Essai de Systematisation de l'analyse logique de travaux routiers en vue de leur planification par la Méthode P. E. R. T. — Centre de Recherches Routières, Bruxelles, 1967.
- Le Calcul partique des graphes P. E. R. T. — Temps par l'algorithme de Bellman—Kalaba. — Centre de Recherches Routières, Bruxelles, 1967.

^{*)} Prof. ing. Vladimir Buljan, naučni savetnik Rudarskog instituta, Beograd.

Integracija i koncentracija u proizvodnji i preradi bakra u svetu

Dipl. ekonom. Stevan Majdanac

Opšti pogled

Integracija i koncentracija svetske industrije bakra predstavlja jedan od bitnih faktora njenog razvoja. Istoriski posmatrano, proces integracije i koncentracije ostvarivao se različitim metodama, dobijajući katkad u forme direktnog nasilja. U savremenoj svetskoj industriji bakra ovaj proces pre treba shvatiti kao formu savremene organizacije rada i proizvodno-tehnološke ekspanzije, nad kojima ipak dominira finansijski kapital najrazvijenijih zemalja.

Preko 80% ukupne proizvodnje primarnog bakra u kapitalističkom svetu otpada na SAD, Čile, Zambiju, Kongo, Kanadu i Peru. Koncentracija obimnih i veoma kvalitetnih nalazišta bakra na mali broj nerazvijenih zemalja (Čile, Zambija, Kongo, Peru), bez najosnovnijih finansijskih sredstava za preduzimanje opsežnih investicija, omogućavala je da razvijene zemlje u prošlosti na jednostavan način dobiju koncesije za eksploataciju bakra i da plasmanom svog kapitala obezbede kontrolu u rudarskoj proizvodnji bakra ovih zemalja. Otuda se preko 75% ukupnih rezervi bakarne rude u svetu, bez socijalističkih zemalja, nalazi pod kontrolom i uticajem visoko razvijenih zemalja (u prvom redu američkih, britanskih i belgijskih kompanija). Uticaj američkih kompanija ipak je dominantan, jer one pored proizvodnje u SAD, kontrolišu bogata nalazišta u Čileu, Meksiku i drugim latinskoameričkim zemljama. Engleska je, međutim, zadobila najznačajnije učešće i kontrolu nalazišta bakra u Zambiji i Rodeziji, dok je Belgija uspela da ostvari kontrolu u Kongu (Leopoldvili), mada i ovde značajnu ulogu igra američki i engleski kapital.

Visok stepen koncentracije proizvodnje i monopolskog uticaja na svetsko tržište bakra, ogleda se preko činjenice, da ključne pozicije na međunarodnom tržištu bakra kapitalističkih

zemalja drži sedam velikih korporacija (kompanija)* iz SAD, Vel. Britanije i Belgije:

SAD

- Anaconda Sales Co.,
- Kennecott Sales Corp.,
- Phelps Dodge Corp.,
- American Metal Climax inc.

Vel. Britanija (i SAD)

- Anglo-American Corporation of South Africa
- Rhodesian Selection Trust Ltd.

Belgija (i Vel. Britanija)

- Union Miniere du Haut Katanga

Najčešće se osnovna forma integracije u industriji bakra u svetu identificuje sa pojmom velike proizvodčačke organizacije (kompanije). Međutim, treba imati u vidu da se integrisana proizvodno-tehnološka i finansijska celina ne poplaka uvek sa pojmom velike kompanije. Velika kompanija ima širi i uži značaj u tom smislu što je ona, ukoliko i sama nije prerasla u nosioca nekog finansijskog koncerna, obično član takvog koncernta, te na taj način kompanija deluje u okviru jedne šire finansijske integracije. Tako je, na primer, krajem pedesetih g. predstavnici bankarske i finansijske kuće »Morgan« bio direktor »Kennecott Copper Co.«, dok je predsednik saveza direktora bankarske kuće »National City Bank«, koja je bila pod kontrolom »Morgan« bio direktor »Anaconde«, kao i da su potpredsednici »Morgan« bili direktori »Phelps Dodge«. Finansijska grupa »Morgan« uticajna je, takođe, i u kanadskoj industriji

*) Zadnjih godina vlade pojedinih zemalja u kojima se nalaze eksploraciona područja bakra (Zambija, Kongo) sproveli su izvesne potrebe koji imaju za cilj da ogranicite prava velikih stranih kompanija u eksploraciji bakra na njihovoj teritoriji. Međutim, sustina u svetskoj koncentraciji i monopolskog uticaja velikih kompanija time se ne menja.

bakra, kao i u kanadskom moćnom trutzu za proizvodnju nikla. U Nemačkoj, na primer, veoma ugledna kompanija sa preradu bakra »VDM« (Vereinigte Deutsche Metallwerke AG), u čijem sastavu je i »Norddeutsche Affinerie«, nalazi se u okviru moćnog koncerna »Metallgesellschaft AG«. F/M.

S druge strane, integracija može da ima i uži značaj od pojma velike kompanije, pošto, po pravilu, velike (matične) kompanije objednuju više krupnih proizvođača, koji, svaki za sebe, predstavlja posebnu proizvodno-tehnološku i komercijalnu celinu, odnosno integraciju, jer objedinjuje vertikalno i horizontalno više preduzeća i pogona. Tako, na primer, kompanija »American Smelting and Refining Company« — New York, objedinjuje 7—8 osnovnih kompanija, od kojih svaka predstavlja integraciju za sebe. Isti je slučaj sa matičnom »Anaconda«, koja u svom sastavu ima 5 krupnih integriranih kompanija. Na tom principu je organizovana krupna integracija za proizvodnju i preradu bakra »Phelps Dodge Corp., »Kennecott Copper Corporation« i druge velike kompanije u SAD. Isti je, na primer, slučaj sa velikim proizvođačima »Noranda Mines Ltd.« i »International Nickel Co. u Kanadi; grupacijom za preradu bakra »Trefimetaux« u Francuskoj, koja se sa više svojih preduzeća, nalazi u sastavu najveće zapadnoevropske grupacije za proizvodnju aluminijuma »Pechiney«, veoma poznatim svetskim proizvođačem polufabrikata bakra i kablova »British Insulated Callender's Cables« u Engleskoj; istaknutim preradivačima bakra: »AB Swenska Metallverken« u Švedskoj, »Hackethal Draht und Kabel Werke« u SR Nemačkoj i drugim značajnijim proizvođačima i preradivačima bakra u svetu.

Savremena kretanja na svetskom tržištu bakra, a slično je i kod ostalih osnovnih obojenih metala, nije moguće shvatiti niti otkriti njihovu unutrašnje zakonomernost, bez analize i razumevanja integracionih celina, njihovih oblika povezanosti i načina delovanja na tržištu.

Uticaj na svetsko tržište bakra ne sprovodi se samo preko visokog obima koncentracije proizvodnje i direktnog posedovanja bogatih eksploatacionalih područja bakra u sopstvenim zemljama i van njih. Odgovarajući uticaj se sprovodi na širem planu, putem razvijene integracije u oblasti finansijskog kapitala, posedovanja vrhunske tehnologije, uživanja monopola u oblasti potrošnje i primene bakra, s tim da se u pojedine od ovih aktivnosti, pod pritiskom velikih integrisanih grupacija često uključuju i nacionalne vlade.

Ovakvo snažne kompanije bakra, povezane sa moćnim finansijskim grupama, u mogućnosti su da monopolisu svetsko tržište bakra. One to stvarno i čine, s tim što se njihov monopolistički uticaj naročito oseća u onim vremenjskim pe-

riodima kada na svetskom tržištu bakra pretežno deluju ekonomski faktori. Međutim, kada na svetskom tržištu bakra deluju pretežno vojno-politički činiovi, monopolistički uticaj velikih kompanija slablji. Tako, na primer, zadnje 2—3 godine, nerazvijene zemlje (Čile, Zambija, Kongo i Peru), koristeći povoljnu političku klimu i visoku konjunkturu bakra, pokušavaju da ostvare u odnosu na velike kompanije jednu vrstu svog državnog monopolisa u pogledu formiranja cena bakru. Naime, ove države, iako je eksploracija bakra u njihovim zemljama zasnovana na inostranom kapitalu (američkom, engleskom i belgijskom), sprovode zajedničku akciju da one određuju propozicije cena bakru. Ove zemlje, zahvaljujući izuzetnoj situaciji, u tome u priličnoj meri i uspevaju. One su zainteresovane za viši nivo cena, jer se u tom slučaju i prihodi ovih zemalja, preko odgovarajućih taksa koje plaćaju inostrane kompanije, povećavaju. Ali, čim se situacija stabilizuje, te ekonomski faktori prevagnu, nerazvijene zemlje teško da mogu ostvariti takav značajniji uticaj na velike kompanije.

Integraciju u oblasti industrije bakra u svetu treba u prvom redu shvatiti kao krupnu proizvodno-tehnološku, finansijsku, razvojno-istraživačku i komercijalnu organizaciju, koja na širokom prostoru omogućuje delovanje specijalizacije, unutrašnje podele rada, ekonomičnog korišćenja proizvodnih i finansijskih sredstava i povezivanja razvoja i tehnologije sa tržistem. Zbog toga krupnu integriranu organizaciju (matičnu kompaniju) ne treba tretirati kao strogo centralizovanu celinu, već kao organizaciju koja je sastavljena od mnoštva autonomnih celina, koje imaju zajednički ekonomski interes za razvoj i prosperitet a koje ujedinjuje i simbolizuje i kojima krči put matična kompanija. Ovakva organizacija omogućuje znatno veći manevarski prostor za ostvarivanje programirane razvojne politike i daleko jači uticaj na tržištu.

Ako svetsku industriju bakra posmatramo sa stanovišta najpresudnijih faktora za ekspanziju, u koje ubrajamo: tehnološki nivo, raspoložive izvore sirovina, stepen integracije i finansijsko-ekonomske moći povezano sa međunarodnim finansijskim koncernima, onda se SAD i Kanada nalaze u velikoj prednosti nad ostalim svetom. Integracija je za proces razvoja i ekspanzije najvažniji činitelj, jer ona povezuje i otvara prostor za najcešljodnije delovanje svih ostalih faktora. Još jedna zemlja kapitalističkog sistema pokazuje izrazitu ekspanziju u industrijskoj preradi i potrošnji bakra, iako raspolaže veoma oskudnim sopstvenim izvorima. Radi se o Japanu. Slično kao i u drugim oblastima, Japan svoju životvornu snagu za ekspanziju crpi iz nešto družljivijih, sebi svojstvenih potencijala. To su izrazita vitalnost i smisao

za prilagođavanje. Savremena organizacija i disciplina rada, veoma brzo ovladavanje vrhunskim tehnološkim dostigcima sa proporcionalno veoma malim angažovanjem sredstava za istraživanje i relativno niska cena radne snage.

Integracije u oblasti obojene metalurgije u SAD i Kanadi razlikuju se od onih u Evropi i Japanu.

Integracije u industriji bakra u SAD odlikuju se, pre svega, po tome što su one u proizvodno-tehnološkom pogledu pretežno zasnovane na vertikalnoj konceptiji povezivanja (eksploatacija rude — topljenje i rafiniranje bakra — proizvodnja polufabrikata bakra i kablova) s tim da su one često povezane i sa velikim finalnim potrošačima. Evropske integracije, međutim, pretežno se odlikuju koncentracijom proizvodnje po horizontalnoj liniji, dok integracija u Japanu nosi izvesne specifičnosti, jer se odvija u industriji koja ima izvesna posebna obeležja, kako u odnosu na američku tako i evropsku industriju. Isto tako, integracije u SAD se odlikuju većom prostornom obuhvatnošću, većom koncentracijom materijalno-proizvodnih snaga i finansijskih sredstava, kao i većim delovanjem van nacionalnih granica.

Integracija u SAD i Kanadi

Ove dve zemlje, kao istaknuti proizvođači bakra i drugih obojenih metala u svetu, u oblasti koncentracije proizvodnje i integracije nose izvesne zajednička obeležja. Na to utiče što je kapital, i jedne u druge zemlje, u industriji bakra međusobno često povezan i isprepletan, što daje pečat da se sličnim metodama i konцепcijama utiče na tržište bakra.

SAD

Industrija bakra SAD, slično kao i u ostalim industrijskim oblastima, predstavlja daleko najveći stepen integracije i koncentracije proizvodnje u svetu. Integracija je sprovedena u više pravaca.

Pre svega, integracija je sprovedena po vertikalnoj liniji: rudarska proizvodnja bakra — topljenje i rafiniranje — prerada otpadaka — priprema sirovina (proizvodnja raznih valjaonika, presaoničkih i livenih oblika bakra i bakarnih legura) — valjanje, presovanje i izvlačenje i proizvodnja kablova. Mnoge od fabrika odnosno kompanija su povezane sa finalnim potrošačima iz oblasti metalne, metaloprerađivačke i elektroindustrije, brodogradnje, PIT, železnice itd. Integracija nije sprovedena na principu stroge centralizacije, već na decentralizovanom principu, jer se radi o jednoj organizacionoj celini — finansijski i proizvodno povezanoj — dejstvom akcijskog i finansijskog kapitala, sa čitavim nizom manjih i većih kompanija u

čijem sastavu su posebni specijalizovani pogoni, koji u određenoj krupnoj integralnoj celini deluju sinhronizovano po liniji proizvodnje, razvoja, tehnologije, finansijski i komercijalno. Svaka veća integracija nije vezana samo za tržište SAD; već se interesi i direktna proizvodno-tehnološka i finansijska povezanost prostire na području van SAD. Tako su sve velike kompanije je direktno povezane i preko posebnih preduzeća — kompanija, koje se nalaze u njihovom sastavu, putem učešća, i tako ostvaruju svoje interesu u Kanadi, Meksiku, Peruu, Čileu, Brazilu, Ekvadoru, Paragvaju, zatim u Africi a i Evropi (Engleskoj, Zap. Nemačkoj, Francuskoj, Italiji, Španiji itd.).

Svaka matična kompanija, bez izuzetaka, kao krupna integrisana celina, pored direktnih članica — većih i manjih kompanija, koje među sobno čine jedinstvenu celinu u okviru velike kompanije, imaju u svom sastavu veći ili manji broj pomoćnih kompanija (afilijacija), koje se prostiru kako na područje SAD, tako i van njega. Na primer, kompanija »American Smelting and Refining Company« — New York,* pored 7—8 osnovnih kompanija, koje su u sastavu ove velike integracije, deluje još i preko 30 preduzeća kao pomoćnih kompanija, koje često nemaju direktnе veze sa proizvodnim programom osnovne kompanije, ali koje zasnivaju svoj razvoj i interes povezivanjem sa ovom kompanijom. Takav je slučaj i sa ostalim velikim proizvodama odnosno kompanijama bakra u SAD. Zbog toga je njihov uticaj znatno širi i obuhvatniji od onog koji proistiće po osnovu direktne vezanosti za preduzeća, pogone i kompanije koji su u direktnom sastavu matične kompanije.

Integrисана организација (matična kompanija), koja se sastoji od mnoštva autonomnih celina — vertikalno i horizontalno razgranatih, na raznim tačkama u SAD i van njih, ali koja ipak deluje po jasno utvrđenom i jedinstvenom programu, omogućuje znatno veći manevarski prostor za ostvarivanje programirane razvojne politike i znatno jači uticaj na tržište. U okviru ovakvih celina, na raznim tačkama Amerike, a zatim i ostalim kontinenata, nalaze se specijalizovana preduzeća i pogoni, koji predstavljaju samo jedan proizvodni detalj u krugu celine. Tako u sastavu krupnih kompanija ima krupnih često rudarskih kapaciteta, zatim metalurških pogona za ekstrakciju metala (pogona za livenje i pripremu primarnih i sekundarnih sirovina, specijalizovanih valjaonica, presaonica i

*) American Smelting and Refining Co N. Y., osnovana 1899. g. proizvodi znatne količine bakra, olova, cinka, antimona, arsena, bismuta, kadmijuma, germanijuma, zlata, indijuma, platine, paladijuma, selenia, srebra, telura, talijuma, legure i razne proizvode od raznovrsnih metala.

izvlačionica, fabrika kablova itd.). Preradivački kapaciteti bakra su takođe specijalizovani, pa je stoga redak slučaj da se jedna fabrika odlikuje širokim proizvodnim programom, jer kod takve proizvodnje specijalizacija ne dolazi do izražaja, a ekonomski i tehnološke prednosti se umanjuju.

Na primer, matična kompanija »Anaconda« (The Anaconda Co.), koja je osnovana 1895. godine i koja danas raspolaže osnivačkim kapitalom od oko 1,1 milijardu dolarla, u svom sastavu ima centralne pogone matične kompanije i još 5 velikih kompanija, koja, svaka za sebe, predstavlja visok stepen koncentracije proizvodnje, sa velikim brojem posebnih preduzeća (afiliacija) i pogona. Tih pet velikih kompanija u sastavu matične »Anaconde« su:

— **Anaconda American Brass Company** — sa posebnim afiliacijama i pogonima za preradu bakra u Konektikatu, Bu-falu, Njujorku, Detroitu, Mičigenu, Viskonsinu, Los Andelosu, Kaliforniji, Torontu;

— **Anaconda Wire and Cable Co.** — sa posebnim preduzećima i pogonima za proizvodnju raznih tipova kablova i žice u Indijani, Montani, Misuri, Njujorku, Mičigenu, Kaliforniji, Illinoisu, Karolinu, Džordžiji;

— **International Smelting and Refining Co.** — sa velikim rudarsko-metallurškim pogonima za proizvodnju raznih kategorija bakra (kapacitet od oko 220.000 t bakra godišnje), olova i prerada bakarnih otpadaka u Nju Džersiju i Utahu;

— **Anaconda Aluminum Co.** — kapacitet od oko 175.000 tona proizvodnje i prerade aluminijuma (sirovi aluminijum i valjanje, presovanje i izvlačenje) u Montani, Nju Džersiju, Indijani;

— **Chile Copper Co.** — kompanija za eksplotaciju bakra iz čileanskih rudnika. Va-di se oko 300.000 t bakra godišnje. Bakar se delimično rafiniše u Cileu, delimično u SAD.

Pored toga, u sastavu matične »Anaconde« nalazi se nekoliko posebnih preduzeća i pogona, direktno vezanih za matičnu kompaniju, za eksplotaciju rude i proizvodnju bakra, olova i cinka i pratećih metala u Montani, Nevadi i Novom Meksiku. Tako se u centralnim pogonima matične »Anaconde« proizvodi godišnje oko 150.000 t elektrolitnog bakra, oko 130.000 tona cinka visoke čistoće, a zatim vrlo značajne količine: olova, bizmuta, kadmijuma, zlata, kon-

centrata molibdena, paladijuma i paladijum spužve, selenia, indijuma, srebra, telura, uranijum oksida i dr.

Na sličnom principu su zasnovane i ostale velike integracije u SAD (kao što su matične kompanije: »Kennecott Copper Corporation« New York*), »Phelps Dodge Corp.«**) »American Smelting and Refining Co.« i druge.

Sve velike integracije u SAD objedinjuju u različitim proporcijama i kombinacijama rudarsku i metaluršku proizvodnju bakra, često uz kombinaciju sa proizvodnjom drugih metala (olovo, cink, aluminijum, zatim retki plemeniti metali). Na primer, »Anaconda« i »American Smelting and Refining Co.«, u svojim afiliacijama i pogonima, proizvode značajne količine bizmuta, kadmijuma, zlata, platine, paladijuma, srebra, molibdena, germanijuma, indijuma, uranijuma, telura i drugih metala. U sastavu ovih integracija (Anaconda, Kennecott, Phelps, Dodge i drugi) objedinjena je prerada bakra (valjanje, presovanje, izvlačenje, proizvodnja žice i kablova), sa čitavim pogonima za proizvodnju raznih tipova legura na bazi primarnog bakra i otpadaka, s tim što se u manjoj meri obavlja i prerada drugih metala (olova, cinka, aluminijuma, nikla, srebra i drugih). »Phelps Dodge«, na primer, ima čitavu mrežu preradivkih pogona, u prvom redu bakra i njegovih legura, u SAD i drugim zemljama.

Proces koncentracije i integracije u industriji bakra u SAD, u prošlosti, bio je potpomagan opštim razvojem privredne aktivnosti, novim pronalascima u oblasti primene bakra, koji su u SAD bili vrlo intenzivni, potencirani još razvojem konkurenkcije, na bazi čega, je izrasla ekonomski snaga pojedinih kompanija, koje su na taj način zauzimale dominirajuću ulogu na tržištu. U ovom procesu ekonomski jače kompanije su primenjivale odgovarajuća ekonomika i vanekonomika sredstva za uspostavljanje svoje prevlasti — nemilosrdno i efikasno. Svakakao američkih kompanija prošla je kroz relativno dug razvojni put, pri čemu se odigravao proces stapanja sa drugim kompanijama i sprovodila koncentracija proizvodnje i kapitala.

I pored visokog stepena koncentracije proizvodnje i finansijske moći u rukama velikih kompanija, koja igraju odlučujuću ulogu u SAD, a samog toga utiču i na međunarodnu industriju i tržište bakra, ipak postoji i priličan broj manjih preduzeća, koja svoju egzistenciju

*) »Kennecott Copper Corporation«, N. York, osnovana 1945. god. direktno objedinjuje i raspolaže najznačajnijim preduzećima i pogonima u Arizoni, Harijiju, Utahu, Nevadi Ohaju, Čileu, Vaterburu i dr. za eksplotaciju, optemljenje vajanje, prešovanje i rafinisanje bakra, proizvodnju legura bakra i valjanje, presovanje i izvlačenje bakra i njegovih legura (kapacitet godišnje: 650.000 t blistera i anoda, 385.000 t elektrolitnog bakra, 295.000 t plameno-rafinisanog bakra, 10.000 kg zlata, 100.000 kg srebra, 50.000 kg selenia, 14.000 t molibdena, 8.000 t malibdenoksida, zatim cirkonijum i dr.). Direktno je povezana sa udruženim kompanijama i akcionarima iz Kanade, a svoju aktivnost ostvaruje preko

velikog broja pomoćnih kompanija i afiliacija u SAD, Kapanadi (»Kennartice« i »Kenco« i dr.), Vel. Britaniji (»British Columbia Molybdenum«), Meksiku (»Minera Kenmax«), Australiji (Ozark Lead Kennecott Explorations) i dr.

**) »Phelps Dodge Corporation«, New York, objedinjuje veliki broj udruženih i pomoćnih preduzeća i kompanija u Kolumbiji, Salvadoru, Indiji, Meksiku, Filipinima, Portoriku, Venecueli, Engleskoj, SR Nemačkoj i dr. Najvažnija delatnost je eksplotacija bakra (proizvodi u SAD godišnje oko 270.000 t bakra u Morencima, Ajoj, Daglasu) i preradivanje bakra i njegovih legura, kao i priprema i prerada bakarnih otpadaka.

zasmivaju na visokom stepenu specijalizacije. Koncentracija i integracija su odigrale pozitivnu ulogu na efikasnu podešenje rada i specijalizaciju, jer u suprotnom opstanak malih preduzeća ne bi bio moguć.

Kanada

Po mnogim osnovnim karakteristikama i razvojnim pravcima industrija bakra u SAD izvršila je odgovarajući uticaj na ovu industriju u Kanadi. Industrija bakra u Kanadi takođe se odlikuje visokim stepenom koncentracije proizvodnje i integracije, s tim što ovde nije mogao biti u velikoj meri proširen vertikalni vid integracije (na preradu bakra) zbog činjenice što se radi o daleko užem unutrašnjem tržištu, jer je Kanada po broju stanovnika za oko 13 puta manja od SAD.

Obojena metalurgija Kanade zauzima jednu od vodećih pozicija u svetu, što samo po sebi stvara uslove za visok stepen koncentracije proizvodnje i integracije.⁴⁾

Dve najjače integrisane grupacije koje objedinjuju oko 80% rudarsko-metalurške proizvodnje bakra u Kanadi su »Noranda Mines Ltd. — Toronto i »The International Nickel Company of Canada Ltd. — Ontario. Ova dva velika trusta objedinjuju ne samo najveći deo proizvodnje bakra, već skoro svu proizvodnju nikla (oko 200.000 t nikla godišnje), zatim veliki deo proizvodnje olova i cinka, a posebno retkih i plemenitih metala. Pored toga, u pomoćnim kompanijama koje su u sastavu »Norande obavlja se veliki deo prerade bakra u obliku valjanih i vučenih proizvoda, kablova i provodnika. Obe kompanije (»Noranda i »International Nickel) u velikoj meri prevazilaze nacionalne granice i vrše uticaj i plasman sredstava u druge zemlje (primer: kompanija »Chile Canadian Mines i »Empresa Minera de El Sententrio pripadaju grupi »Noranda«). Industrija bakra Kanade povezana je u velikoj meri sa ovom industrijom u SAD (primer: »The Anaconda Company Canada Ltd.« je sastavni deo »Anaconda American Brass Co.« i posle grupe »Noranda« ima najveće učešće u proizvodnji polufabrikata na bazi bakra u Kanadi).

⁴⁾ Po rudničkoj proizvodnji cinka (oko 950.000 t godišnje) Kanada zauzima prvo mesto u svetu, po proizvodnji aluminijskog (blizu 850.000 t) Kanada je treća u svetu tj. posle SAD i SSSR, po rudničkoj proizvodnji bakra (oko 400.000 t) ona je peta posle SAD, SSSR, Čilea i Zambije, a po rudničkoj proizvodnji olova četvrta u svetu tj. posle Australije, SSSR i SAD. Po proizvodnji nikla, kao i retkih plemenitih metala, Kanada se nalazi u samom vrhu najvećih svetskih proizvođača (po proizvodnji nikla zauzima prvo mesto u svetu i sa oko 250.000 t rudničke proizvodnje nikla predstavlja preko 50% ukupne svetske proizvodnje ovog metala). Cifre u pogledu proizvodnje objenih metala u Kanadi utoliko su izmornitije ukoliko se zna, da ova zemlja ima oko 13 puta manji broj stanovnika u odnosu na SAD, a oko 17 puta manji broj u odnosu na broj stanovnika u SSSR.

Karakteristično je, kao što je već rečeno i u prethodnim izlaganjima, da je u velikoj meri proizvodnja i prerada bakra u SAD i Kanadi putem integracije povezana sa proizvodnjom i preradom drugih obojenih metala. Kanadski trust za nikl pored nikla (preko 200.000 t) direktno objedinjuje preko 200.000 tona proizvodnje bakra, zatim velike količine platine, paladijuma, radijuma, rutila, ţridijuma, zlata, srebra, kobalta i drugih metala. U sastavu kanadske grupacije »Noranda Mines«, pored ostalih, nalazi se i kompanija »Canadian Electrolytic Zinc«, koja objedinjuje proizvodnju od oko 150.000 t cinka godišnje. Slično je i sa kanadskom kompanijom »The Canada Metal Co.« koja proizvodi razne bakarne, cinkove i olovne legure, a pripada matičnoj kompaniji »National Lead Co. — New York.«

Kanadska industrija bakra i ostalih obojenih metala, preko veoma razvijenih integrisanih grupacija, povezanih sa međunarodnim kapitalom, a na osnovu izrazitih sopstvenih potencijala, ispoljava tendencije daljeg ubrzanog razvoja.

Integracija u Zapadnoj Evropi

Vertikalni oblik integracije između ekstraktivne i preradivačke industrije bakra u Evropi znatno je manje zastupljen u poređenju sa ovom industrijom u SAD. Evropa je veoma rano iscrplila mineralne izvore (rudne rezerve) za dobijanje bakra, pa ovaj oblik integracije na evropskom kontinentu nije imao dovoljno uslova za razvoj. Otvaranje rudnika bakra u drugim zemljama zahtevalo je značajna finansijska sredstva, pa su se na ovo odlučivale one zemlje koje su u tom momentu bile najdalje otiske u sopstvenom razvoju industrije bakra, te su najbolje shvatile dalju perspektivu razvoja ove industrije (Engleska i Belgija). Međutim, u ovom pogledu ove zemlje nisu mogle obezbediti potpunu autonomiju, već je engleski kapital u afričkim rudnicima bakra delimično participirao sa američkim.

Evropske zemlje se više odlikuju po horizontalnim oblicima integracije tj. po međusobnoj povezanosti fabrika i pogona koji se bave preradom bakra. Kadak je vertikalna povezanost sprovedena sa velikim potrošačima polufabrikata na bazi bakra. Veoma je čest slučaj, da je prerada bakra integrisana sa preradom drugih metala, najčešće sa preradom aluminijskog.

Najveći stepen integracije u industriji bakra na evropskom kontinentu sproveden je u Engleskoj. Jedan od najvećih pojedinačnih proizvođača bakra u svetu »Roan Selection Trust Limited« (RST) nalazi se pretežno u rukama engleskog, a jednim delom i američkog kapitala. Zajednička prava u proizvodnji i profitu ovog trusta (RST) ostvaruju se preko zajednič-

ke finansijske grupe »Zambian Anglo-American Ltd.«*) Ovaj trust preko nekoliko rudnika i to pionica u Zambiji ostvaruje godišnju proizvodnju od oko 300.000 t bakra (6% od ukupne svetske proizvodnje).**) Pored toga, ova finansijska grupa raspolaže sa još nekoliko pogona za eksploataciju bakra u Zambiji i Rodeziji.

Dve najkrupnije kompanije iz oblasti prerađivačke industrije bakra su »British Insulated Callender's Cables Ltd.« i »Association Electrical Industries Ltd.«.

Prva kompanija ima veoma razgranatu mrežu pogona za proizvodnju polufabrikata na bazi bakra, a delimično i na bazi aluminijuma. Zatim, u direktnom sastavu ove kompanije nalazi se više fabrika za proizvodnju raznih vrsta i tipova kablova u Engleskoj i van nje (u Africi, Indiji, Novom Zelandu, Pakistanu, Portugaliji i Venecueli). U sastavu ovog giganta prerađivačke industrije bakra nalazi se veoma značajna kompanija (»British Copper Refiners Ltd.«), koja proizvodi godišnje preko 100.000 dugih tona raznih valjaoničkih formata iz visokopravljivog i fosforom dezoksidisanog bakra i bakarnih legura. Pored toga, »British Insulated Callender's Cables« u svojoj organizaciji ima više udruženih kompanija (afiliacija) u Engleskoj, kao i drugim zemljama (u Africi — dve, u Australiji — pet, Kanadi — jednu, Maltezi i Italiji — po jednu).

»Associated Electrical Industries Ltd.« raspolaže sa nekoliko centralnih fabrika za valjanje, presovanje i izvlačenje bakarne žice i proizvodnju raznih vrsta kablova u Engleskoj. S druge strane, preko velikog broja afiliacija (preko 20 pomoćnih i pridruženih preduzeća), ova kompanija ostvaruje visok stepen koncentracije proizvodnje i uticaja na tržiste. Pored ostalih, afilijacije ove kompanije nalaze se u Australiji, Kanadi, Indiji, Novom Zelandu, Pakistanu, Irsku, Francuskoj i Africi.

Belgija

Ovo je druga evropska zemlja (pored Engleske), koja sprovodi kontrolu nad eksploatacijom bakra van Evrope (u Kongu), koja ima veoma razvijenu metalurgiju za dobijanje i prerađuju bakra, zasnovanu gotovo isključivo na uvoznim sirovinama, koje pretežno pritiču po osnovu plasmana belgijskog kapitala.

*) Od pre nekoliko nedelja vjeda Zambije vodi pregovore sa kompanijama »RST« i »Anglo American Ltd.«, o ustanjanju vjedi Zambije 51% učestva u industriji bakra. Među je ovo veoma značajan događaj, okončanje pregovora sa »RST« bez u sultini neće bitno promeniti postojecu odnos, niti bitno uticati na smanjenje uticaja anglo-američkog.

**) Prema podacima: Room Selection Trust Ltd. — Annual Report 1966. g. kompanija »RST« je u 1966. g. ostvarila profit uključujući i takse od 71,4 mil. dolara, a isplaćene dividende akcionarima iznosile su 21,5 mil. dolara.

Belgijska kompanija »Union Minière de Haute Katanga« (UMHK*) predstavlja jednu od najpoznatijih svetskih kompanija za proizvodnju bakra u Africi (Kongo). Ova kompanija pripada matičnoj kompaniji »Societe Générale des Minerais«, s tim što je sa »Union Minière« udružena takođe veoma poznata kompanija »Tanganyika Concessions Ltd. Metallurgie Hoboken«. UMHK, takođe, objedinjuje 8 pridruženih preduzeća koje se bave proizvodnjom energije, uglja i drugih sirovina, kao i istraživanjem mineralnih sirovina i finansiranjem određenih delatnosti ove integracije. UMHK u više svojih pogona proizvodi blizu 300.000 t bakra, oko 8.000 t kobala, cink koncentrata blizu 150.000 t, germanijuma oko 9.000 kg, a zatim značajne količine kadmijuma, srebra, zlata i radijuma. »Hoboken« u svojim pogonima i afiliacijama »Sa Fanstell«, raspolaže značajnim kapacitetima za proizvodnju elektrolitnog bakra, germanijuma, olova, zlata, srebra, kalaja, uranijuma, a zatim antimona, bizmuta, kobala, kolumbijuma, paladijuma, platine, selenia, silitaka, tantala i ostalih retkih i plemenitih metala.

Belgija raspolaže značajnim kapacitetima za prerađu bakra koji, sem sporazuma o dugoročnim isporukama sirovina, nisu u velikoj meri integrisani sa proizvođačima bakra. Međutim, horizontalna integracija među prerađivačkim preduzećima je razvijena.

Najpoznatija prerađivačka preduzeća (po skraćenom nazivu) su: »Culvre et Zinc«, »Lamitref«, »VTR«, »Cables Electriques«, »De Rosse« i »Lamminoire de Hale«, koja proizvode raznovrsni assortiman valjanih i vučenih proizvoda od bakra i njegovih legura i kablova. Jedno od njih (»Cables Electriques«) pripada matičnoj kompaniji »Kabelwerk Phenania GmbH«, Aachen (SR Nemačka).

Francuska

Nema nikakvih sopstvenih sirovina za proizvodnju bakra, pa je prerađivačka industrija bakra u celini zavisna od uvoza. Francuski prerađivači sprovode centralizovano snabdevanje bakrom preko svoje zajedničke organizacije GIRM — (»Groupement d'Importation et de la Réparation des Métaux«), na principu udruženja, jer snabdevanje obavljaju preko svojih punktova u inostranstvu, skladistištem u zemlji, zaračunavajući samo efektivne troškove kupoprodaje i skladiranja.

Najveći deo proizvodnje polufabrikata bakra koncentrisan je na nekoliko preduzeća, koja pored bakra često prerađuju i druge metale

*) Zadnjih godina »UMHK« je delimično nacionalizvana od strane vjedi Konga, ali je uticaj Belgije još uvek značajan.

(aluminijum, olovo). Najznačajniji preradivač bakra je firma »Trefimetaux«. Ova kompanija istovremeno predstavlja, među zemljama — članicama EEZ, najznačajnijeg preradivača drugih metala prvenstveno aluminijuma i olova. Od pre nekoliko godina ova kompanija se integrisala sa kompanijom »Pechiney« — najvećim francuskim i zapadnoevropskim proizvođačem aluminijuma. »Trefimetaux« objedinjuje 5 preradivačkih fabrika koje raspolažu pogonima lociranim na raznim tačkama Francuske (u Marseju, Dijonu, Šerlevilu, Remsu, Sen Denisu, Sent-Morisu, Havru i drugim centrima). Ova kompanija u svoju organizaciju uključuje više pridružnih preduzeća, raznih delatnosti, koja imaju interes za saradnju i proizvode matične kompanije. Ova organizacija raspolaže svojim predstavničkim — prodajnim servisima u mnogim proizvođačko-potrošačkim centrima u nizu zemalja sveta.

Druga značajna kompanija je »Segedur — Cie Generale du Duralumin et du Cuivre«. Ova kompanija raspolaže preradivačkim kapacitetima: za proizvode iz bakra i njegovih legura oko 100.000 t/god., za proizvode iz aluminijuma oko 70.000 t/god. Ova kompanija je zajednička afiliacija kompanija »Cie Generale et l'Electrometalurgie« i »Pechiney-a«, a u njenom sastavu se nalazi nekoliko pridružnih kompanija. Ova kompanija, pored proizvoda na bazi bakra i proizvoda iz aluminijuma, proizvodi još i magnezijum i titan. Prema tome, francuska preradivačka industrija bakra u velikoj meri je oslođena i integrisana sa moćnom evropskom grupacijom aluminijuma »Pechiney«. Među ostalim preradivačima bakra najznačajniji su: »Cables de Lyon«, »Thomson-Houston«, »Jeumont Schneider« i drugi. »Cables de Lyon« objedinjuje nekoliko pogona u Francuskoj (u Buržeu i Lionu), za proizvodnju bakarne žice i kablova kao i Al žicu. Naročito je specijalizovan za proizvodnju podmorskikh kablova.

SR Nemačka

S jedne strane ima razvijenu integraciju po horizontalnoj liniji između preradivačkih preduzeća bakra, ali i veliki broj malih preduzeća za preradu bakra i bakarnih otpadaka. SR Nemačka je poznata po razvijenoj preradivačkoj industriji bakra. Godišnje proizvodi blizu 800.000 t polufabrikata na bazi bakra i njegovih ligura, pa u tom pogledu zauzima zajedno sa Engleskom vodeće mesto u Z. Evropi.

Najveća koncentracija i integracija preradivačke industrije bakra u SR Nemačkoj objedinjena je preko dva moćna koncerna: »Metallgesellschaft AG Frankfurt/Main« i »Gutehoffnungshütte«.

U sastavu »Metallgesellschaft-a« nalazi se veoma značajna kompanija za preradu bakra

»Vereinigte Deutsche Metallwerke AG« (skraćeno VDM). U sastavu VDM nalazi se velika rafinerija bakra »Norddeutsche Affinerie«, najpoznatija u Z. Evropi. Ova integracija istovremeno predstavlja jedini slučaj vertikalne integracije sa proizvođačem sirovina u industriji bakra u SR Nemačkoj, a on je gotovo jedini i u celoj Z. Evropi. U 1966. god. »Metallgesellschaft« i »Alusuisse« (moći koncern aluminijuma iz Švicarske) su uspostavili zajedničku koordinaciju interesa radi regulisanja ekonomike i razvojne ravnoteže svojih kompanija: »VDM« — »Singen-a« — »Rheinfelden-a«. VDM raspolaže preduzećima i pogonima za preradu bakra, njegovih klasičnih i specijalnih legura, kao i u manjem obimu za preradu aluminijuma u Frankfurtu, Altenu, Duisburgu, Manhajmu (Metallindustrie) u Vedholu. Za ove fabrike uobičajeno je da se u poslovnoj praksi upotrebljavaju sledeći simboli: »F, A, D, K, M, N, W. »Norddeutsche Affinerie«,) koja je preko VDM član moćnog koncerna »Metallgesellschaft-a« i raspolaže značajnim pogonima za topljenje i rafiniranje bakra i olova, uredajući za dobijanje raznovrsnih legura bakra, kao i retkih i plamenitih metala.

U okviru drugog velikog koncerna »Gutehoffnungshütte« nalaze se istaknute organizacije za preradu bakra kao što su: »Hackethal Draht und Kabel Werke AG«, zatim »Osnabrücker Kupper und Drahtwerk« — (skraćeno OKD), »Hackethal Draht...« saraduje sa pri-druženim kompanijama ovog koncerna, ima više pogona za proizvodnju žice i bakarnih kablova i provodnika, a od 1965. god. uvedena je i proizvodnja cevi na bazi bakra. »OKD« proizvodnju uskladijuje sa više od 10 udruženih kompanija. U kompleksu pogona ove organizacije proizvode se prah, lokalni i telekomunikacioni kablovi od bakra, a izvesni tipovi i na bazi aluminijuma, celična žica i celični proizvodi. »OKD« raspolaže prodajnim servisima u mnogim centrima Evrope i drugim regionima. Uživa značajan ugled u Evropi među proizvođačima ove vrste i potrošačima. Značajan deo svoje proizvodnje izvozi i poseduje veoma racionalan proizvodni program.

U SR Nemačkoj, kao i Francuskoj i drugim evropskim zemljama, mnoge firme, čija je osnova delatnost prerada bakra, bave se u mnogim slučajevima i preradom aluminijuma, a neki i preradom olova i cinka.

^{*)} Kapaciteti bakra i olova iznose oko: 200.000 t elektrolitičnog bakra, 30.000 t plameno-rafinisanog bakra, 36.000 t rafinisanog olova. Osim toga, »Norddeutsche Affinerie« raspolaže uređajima za dobijanje raznovrsnih legura bakra — klasičnih i specijalnih Al praha, nikla, bismuta, zlata, srebra, platine, paladijuma, arsena, selena, teitura oksida: bakra, kobalta, cinka; metalnih hidrida, sulfata i acetata i dr. Svi ovi produkti se praktično i proizvode u ovom preduzeću.

Među ostale značajne prerađivače bakra u SR Nemačkoj ubrajaju se: »Busch Jäger Düren Metallwerke« (proizvodi valjane i vučene proizvode bakra i njegovih legura oko 2/3 proizvodnje, a oko 1/3 otpada na preradu Al i Al-legura); »Diehl Metal Works« — Nürnberg, osnovana 1903., sa njenom udruženom firmom »Sundwiger Messingwerk« (proizvodi raznovrsni assortiman valjanih i vučenih proizvoda bakra i njegovih legura oko 70.000 t godišnje); »Kredler's Metall und Drahtwerke GmbH« — Stuttgart (raspolaze kapacitetima za valjanje, presovanje i izvlačenje bakra i njegovih legura, a u manjoj meri i Al i njegovih legura) i drugi.

Svedska

Nalazi se u samom vrhu u svetu po stepenu razvijenosti proizvodnje i potrošnje polufabrikata na bazi bakra. Najveći deo proizvodnje bazira na uvoznim sirovinama, pošto iz sopstvenih primarnih sirovina proizvodi svega 15—17% bakra.

Svedska industrija bakra je u velikoj meri integrisana vertikalno (najčešće sa velikim potrošačima polufabrikata) i horizontalno.

Najznačajnija rudarsko-metalurška kompanija je »Boliden Aktiebolag« (Boliden AB), sa kojom je integrisana norveška kompanija »Det Norske Zinkkompani« i koja raspolaže afilijacijom »AB Förende Superfosfatfabriker«. »Boliden« raspolaže značajnim kapacitetima za proizvodnju bakra pretežno na bazi uvoznih sirovina (naročito otpadaka), zatim olova, srebra, piritnog koncentrata i raznih hemijskih proizvoda.

U oblasti prerađivačke industrije bakra najistaknutije mesto zauzima »Ab Svenska Metallwerken«. Ova kompanija direktno integriše pet fabrika u raznim mestima Svedske, koje obavljaju pripremu i livenje sirovina, proizvodnju polufabrikata, inženjering i unapređenje, sklapanje i montažu. Sem toga, za ovu kompaniju je vezano oko 10 posebnih fabrika (afiliacija) koje se bave proizvodnjom i preradom polufabrikata bakra, aluminijuma i drugih metala. »Svenska Metallwerken« je istovremeno (preko svojih decentralizovanih fabrika i pogona) jedini švedski proizvođač i prerađivač aluminijuma. U 1965. godini polovina vrednosti prodaje ove kompanije (oko 200 mil. \$) poticala je od aluminijuma i njegove prerade. Ova kompanija ima svoje istraživačke i razvojne centre koji se naročito bave pitanjima ekonomičnije primene bakra i proširenja oblasti njegove namene u klasičnim i novim sektorima, pa su zadnjih godina u tom pogledu naročito postignuti dobitni rezultati za oblast građevinarstva. Iako se primena bakarnih polufabrikata u najvećoj meri prepiće i supstituiše polufabrikatima aluminijuma i plastikom, »Svenska Metallwerken«

preko svojih pogona i fabrika, integriše kako preradu bakra, tako i preradu aluminijuma, kao i proizvodnju polufinalnih i finalnih proizvoda dobijenih presovanjem plastičnih materijala. Proizvodnja produkata na bazi bakra, aluminijuma i plastičnih, u okviru jedinstvene organizacije, na najbolji način može dati realan odgovor pri međusobnom upoređenju ekonomiske opravdanosti upotrebe jednog na račun другog materijala. Ova kompanija ostvaruje visok stepen vertikalne povezanosti sa velikim specijalizovanim potrošačima proizvoda na bazi bakra, među kojima se naročito ističe veliki proizvođač teške električne opreme — kompanija »ASEA«.

Grupa »ASEA«, kao najistaknutiji finalni potrošač bakra, preko teške električne opreme, pored saradnje i kooperacije sa kompanijom »Svenska Metallwerken«, ima u svom sastavu značajnog prerađivača bakra »AB Electrokoppar« i neke druge druge prerađivačke organizacije. Jedan drugi veliki potrošač bakra — kompanija za telekomunikacije »LM Ericsson« u Štokholmu, integrisan je sa poznatim prerađivačem bakra »Sieverts Kabelverk Aktiebolag«.

Svedska, zajedno sa Švajcarskom, predstavlja najveći domaći u Z. Evropi u pogledu specijalizacije, finalnih oblika prerađe, racionalizacije i potrošnje bakra. Zajedno sa SAD, one imaju najveću potrošnju polufabrikata bakra i njegovih legura po stanovniku.

Italija

Iako ne raspolaže gotovo nikakvim sopstvenim izvorima sirovina (sem otpadaka na bazi bakra)*, italijanska prerađivačka industrija bakra u odnosu na ostale evropske zemlje ima najvišu stopu porasta proizvodnje (u periodu 1951—1957. god. ova stopa je iznosila 11%, u 1957.—1961. — 9%, 1963.—1965. god. zbog recesije potrošnja stagnira, a od 1965. god. stopa porasta bakarnih polufabrikata prelazi 7%).

Prerađivačka industrija bakra u Italiji je međusobno u velikoj meri integrisana, a sem toga ona pokazuje tendenciju ekspanzije i izgradnje kapaciteta i u drugim zemljama, kao i povezivanja kroz integraciju sa ovom industrijom u drugim zemljama. Značajni prerađivači bakra — kompanija »A. Tonelli« iz Milana ima svoje tri afilijacije (dve u Kanadi, jednu u Brazilu). Drugi istaknuti prerađivač bakra, sa veoma raznovrsnim proizvodnim programom (»DELTA«, Società Metallurgica Ligure), poslu-

* Opaci bakra i njegovih legura za sve razvijene zemlje predstavljaju veoma značajnu bazu za prerađivačku industriju bakra. U svetu, od ukupne potrošnje bakra, preko preko 40% obavlja se kroz potrošnju otpadaka. Zbog toga se sekundarne sirovine bakra (otpaci), popularno nazivaju »rudnikom bakra iznad zemlje«, koji se stalno puši i prazni.

je u sastavu poznate potrošačke firme »Finmeccanica« iz Rima. Jedan poznati talijanski preradivač bakra »TLM« (Trafilerie e Lamina-toi di Metalli — Milan), sa svoje tri pridružne kompanije, takođe iz Milana, u sastavu je poznate francuske kompanije za preradu bakra — kompanije »Trefimetaux«, koja je takođe integrisana sa poznatom grupom »Pechiney«.

Talijanska preradivačka industrija bakra pokazuje veoma dobre rezultate u uvođenju novih tehnoloških procesa (postupak emajlirane bakarne žice, postupak »Pedone« za bakarne limove i dr.). Kvalitet i prilagodljivost bakarne emajlirane žice doprinoe je da je talijanska industrija aparata za domaćinstva (frižideri, mašine za pranje, usisivači i sl.), stekne izvesne prednosti i postane drugi proizvođač u svetu (posle SAD). I u nekim drugim oblastima primena bakra postiže vanredne rezultate (primena u zanatstvu, predmeti za dekoraciju, umetnički okovi i sl.).

Ostale evropske zemlje

Među ostalim evropskim zemljama, zbog izvesnih posebnih karakteristika, treba istaći:

Svajcarsku, čija se industrija za preradu bakra odlikuje visokim stepenom specijalizacije (primer preduzeća »Swiss Metalworks Selve Co.«), horizontalne integracije i povezanosti sa preradom aluminijuma. Svajcarska industrija za preradu bakra u velikoj meri saraduje, međusobno se dopunjuje i integrše, naročito preko velikog koncerna »Alusuisse«, sa industrijom aluminijuma. Tako je, na primer, značajna kompanija za preradu bakra — »Sades Cableries et Trefileries de Cossonay« iz Lozane, sa svojom afilijacijom »Metallwerke AG Fornach/SO« u još 5–6 manjih preduzeća, jedna od osam udruženih kompanija sa »Alusuisse-ome.*)

Španiju, koja raspolaže sa oko 20.000 t rudničke proizvodnje bakra, a godišnje proizvodi oko 65.000 t rafinisanog bakra. Industrija za proizvodnju i preradu bakra u Španiji je pretežno pod uticajem i dominacijom inostranog kapitala. Tako je najveći proizvođač polufabrikata (»Sdad Espanola de Construcciones Electro-Mecanicas« iz Madrida), u stvari, afiliacija »Pirelli« (Italija) i »Trefimetaux-a« (Francuska), sa kapacitetima prerade od oko 70.000 t bakarnih i 15.000 t aluminijumskih polufabrikata.

* Koncern aluminijuma »Swiss Aluminum Ltd.« (»Alusuisse«) raspolaže kapacitetima za proizvodnju aluminijuma od blizu 350.000 t kao i kapacitetima proizvodnju Al-Al-legiranih polufabrikata od preko 220.000 t aluminijumskih folija od oko 60.000 t. U sastavu sastava ima 8 udruženih kompanija i veliki broj afiliacija (oko 35) u Svajcarskoj i ostalim evropskim i drugim zemljama. Ova grupa po svojoj snazi tržištu obimu proizvodnje tehnologiji izradivanja, plasmanu kapitala ima u potpunosti međunarodni karakter i učila vrlo visok ugled u svetu.

Jedan manji preradivač bakra »General Cable Co« iz Barcelone), sa još jednim pomoćnim preduzećem, afiliacija je američke kompanije »General Cable Co.« — New York. Isto tako, proizvođač žice i kablova raznih tipova (»Produtos Pirelli SA iz Barcelone) kapaciteta 35.000 t predstavlja afiliaciju kompanije »Ste — International Pirelli« (Bazel — Švajcarska).

Integracija u Japunu

Japanska potrošnja i industrijska prerada bakra pokazuju visok trend ekspanzije. Zahvaljujući visokoj stopi porasta celokupne privredne aktivnosti, japanska proizvodnja i potrošnja žice i ostalih polufabrikata na bazi bakra, uspeva je zadnjih godina da se uspne na drugo mesto u svetu (posle SAD), te da u ovom pogledu za veoma kratko vreme stigne i pretekne Vel. Britaniju.

Izrazita ekspanzija razvoja proizvodnje i potrošnje polufabrikata na bazi bakra utoliko je interesantnija, s obzirom da Japan nema povoljnu situaciju u sirovinskim izvorima za proizvodnju bakra, kojima se u velikoj meri zanabdeva iz uvoza, pod relativno nepovoljnim uslovima, a sam toga, i deo bakra koji se dobija iz sestvene rude, uslovljava visoke proizvodne troškove. Naime, gruba statistička situacija japanske industrije bakra je:

— Japan raspolaže sopstvenom rudarskom proizvodnjom bakra od oko 120.000 metr. tons godišnje,

— ostali deo potreba u bakru pokriva se uvozom i to: uvozi se oko 700.000 t koncentrata radi dobijanja odgovarajuće količine bakra. Na osnovu sopstvene rude i uvozних koncentrata dobija se godišnje oko 370.000 t topioničkog bakra, koji je predmet rafinacije u japanskim rafinerijama. Pored toga, Japan uvozi bakrenac (matte) u količinama od oko 30.000 t, koji je predmet dalje prerade u japanskim topionicama i rafinerijama, kao i oko 130.000 t sirovog, i naročito, raznih oblika rafinisanog bakra i to pretežno iz Zambije i SAD,

— japanska industrija troši godišnje oko 510.000 metr. tons primarnog bakra i značajne količine otpadaka na bazi bakra (200–250.000 t/godišnje),

— proizvodnja bakarnih polufabrikata iznosi približno nešto preko 700.000 t sa tendencijom da 1968/69. godine dostigne, a možda i preuzeće nivo od 800.000 t/godišnje,

— japanska industrija prerade bakra nije u dovoljnoj meri konkurentna na svetskom tržištu, pa je izvoz bakarnih polufabrikata relativno nizak i ne prelazi 5% proizvodnje,

— s obzirom na visoka tehnološka dostignuća u finalnoj industriji (elektroindustrija, mašinogradnja, brodogradnja i druge grane), kao i na izvanrednu disciplinu rada i relativno ni-

sko učešće troškova rada u ceni, japanska finalna industrija je sposobna da nadoknadi relativno više troškove u ceni sirovina i da stekne izvesne prednosti u ceni finalne proizvodnje, te da se na svetskom tržištu pojavljuje sa ovim proizvodima i bude konkurentna, ispoljavajući karakteristike ekspanzije u odnosu na ostale svetske proizvođače.

Preradivačka industrija bakra u Japanu, u pogledu strukture i stepena integracije, nosi izvesna specifična obeležja. S jedne strane, ona se odlikuje značajnom koncentracijom proizvodnje, a uporedi s tim, ona je i veoma rascepmana, sa velikim brojem malih preduzeća i usitnjrenom proizvodnjom. U japanskoj preradivačkoj industriji bakra ispoljavaju se elementi međusobne izrazite konkurenциje, koja naročito dolazi do izraza u onim godinama, kada se na tržištu pojavljuju znaci usporene privredne aktivnosti, kakav je slučaj bio 1965/66. godine.

Prema mišljenju japanskog udruženja proizvođača legura, u koje je učlanjeno 111 proizvođača, japanska industrija raspolaže sa oko 160 valjaonica i presaonica bakra. Od ovog broja samo šest kompanija zapošljava više od 500 radnika, a ove kompanije drže oko jednu trećinu ukupne japanske proizvodnje valjanog bakra, legura i legiranih proizvoda. Isto tako, prema podacima japanskog udruženja proizvođača električne žice i kablova, u Japanu ima 380 preduzeća koja proizvode električnu žicu i kableve. Najveći deo proizvodnje elektrožice i kablova otpada, takođe, na šest velikih integrisanih kompanija, na koje dolazi 60% ukupne japanske proizvodnje bakarne žice, 90% ukupne proizvodnje kablova, gotovo 70% proizvodnje gole bakarne žice i oko 40% proizvodnje izolovane

bakarne žice. Vodeće japanske valjaonice bakra integrisane su sa proizvođačima žice i kablova. Tako na primer, dve vodeće kompanije žice i kablova »Furkawa Electric Co« i »Sumitomo Industries« imaju u svom sastavu i nekoliko najvećih proizvođača valjanih i vučenih proizvoda na bazi bakra. Većina preradivača bakra u svojim pogonima bave se pored prerade bakra još i preradom aluminijuma, bilo da se radi o proizvodnji ostalih polufabrikata, bilo o žici i kablovima.

Sve velike kompanije, koje se bave preradom bakra u Japanu, organizovane su na taj način što je sprovedena horizontalna i vertikalna integracija. Horizontalna integracija deluje preko priličnog broja afilijacija matične kompanije. Vertikalna integracija u prvom redu je sprovedena preko centralnih pogona matične kompanije, koji se međusobno vertikalno tehnički povezuju i dopunjaju. Pored toga, veliki proizvođači polufabrikata i kablova su vertikalno povezani sa velikim potrošačima njihovih proizvoda na taj način, što je matična kompanija obično udružena sa velikim potrošačkim kompanijama. Tako su, na primer, sa matičnom kompanijom »Sumitomo Electric Industries« udružene kao veliki potrošači još i kompanije: »International Telephone and Telegraph« u USA; Sumitomo Metal Industries; Sumitomo Chemical Co; Nippon Electric Co, i druge, tj potrošačke kompanije iz oblasti telegrafa i telefona, metalne, hemijske i elektroindustrije. Isto tako u sastavu ove integracije nalazi se i posebna finansijska organizacija (Sumitomo Bank), koja finansira poslove među integrisanim preduzećima, kao i poslove kupoprodaje ovog koncerna sa ostalim svetom.

L iterat ura

1. Metallstatistik, 1958—1967. Metallgesellschaft A. G., 54, Jahrgang 1968.
2. World Metal Statistics, 1967.
3. Copper, a Metal Bulletin Special Jusue May 1965, London.
4. Cuivre — Laition Alliages, mesečni bilteni za 1967. i 1968. g.
5. Metal Bulletin Handbook, 1968. London.
6. »Copper and Brass« — posebna publikacija Metal and Mineral Markets, 24. oktobra 1965. god.
7. The Associations. — »Copper and Brass«, oktobra 1966. god.
8. C. Corsetti: Razvoj i novosti u industriji bakra Italije. — »Metall« br. 11/1966.
9. Copper Cupply and Consumption 1947—1966, Annual Data Report 1967. — Copper development Association inc. New York.
10. Uklapanje u međunarodnu podelu rada proizvoda na bazi bakra sa aspektima spoljno-trgovinskog i deviznog režima. — Institut za spoljnu trgovinu — Beograd, 1969.

^{*)} Dipl. ekonom. Stevan Majdanac, rukovodilac ekonomsko-konjunktурне službe Udruženja proizvođača i preradivača bakra Jugoslavije, Beograd.

Cene nekih primarnih proizvoda rudarstva

Dipl. ekonom. Milan Žilić

Prosečne cene uglja i koksa 1966—1968. g.

| | \$/m. t | | | 1 | 2 | 3 | 4 |
|--|---------|-------|-------|--------------------------------------|---|----|----|
| | 1966. | 1967. | 1968. | | | | |
| K a m e n i u g a l j | | | | | | | |
| — Savezna Republika Nemačka | | | | | | | |
| koksnii ugalj — 10 mm, oprani | 17 | 17 | 16 | antracit, rurski, uvoz, 30—50 mm | | — | 43 |
| gasno plam. kom. + 80 mm | 18 | 18 | 17 | | | | 42 |
| antracit, orah 80—85 mm | 26 | 26 | 25 | | | | |
| — Francuska | | | | | | | |
| masni orah 50—80 mm | 16 | 16 | 16 | Gor. Ślezija + 30 mm, uvoz | | 17 | 17 |
| plam. orah 20/30—15/35 mm | 17 | 17 | 17 | Gor. Ślezija 10—30 mm, uvoz | | 16 | 16 |
| sarski, masni | 20 | 20 | 21 | Gor. Ślezija, fini ugalj, uvoz | | 11 | 11 |
| antracit, orah, 30—50 mm — kućni | 39 | 38 | 40 | | | | |
| — Belgija | | | | | | | |
| masni orah 30—50 mm, oprani | 18 | 17 | 17 | Antracit | | 14 | 16 |
| posni 30—50 mm, oprani | 29 | 27 | 27 | Maroko | | 36 | 37 |
| antracit, orah III, 18/30— — 20/30 mm | 39 | 36 | 36 | SAD | | | |
| — Holandija | | | | | | | |
| koksnii ugalj | 16 | 16 | 16 | ugalj domaće upotrebe | | 7 | 7 |
| antracit, orah IV, 10—16/18 mm | 32 | 32 | 32 | bitum. grub dom. sortiran | | 8 | 8 |
| — Italija | | | | | | | |
| gasno plam. poljski 40—80 mm | 22 | 22 | 22 | industr. ostatak pri prosejavanju | | 6 | 6 |
| antracit, orah — nemač. 30—50 mm | 43 | 43 | 43 | metalurg. koksni, visok volatil | | 7 | 7 |
| antracit, j. afrič. 30—60 mm | 36 | 36 | 36 | antracit, kesten | | 14 | 14 |
| — Velika Britanija | | | | | | | |
| antracit, fini, oprani, izvoz | 12 | 11 | 11 | antracit za sobne peći | | 14 | 14 |
| — Kanada | | | | | | | |
| — Japan | | | | | | | |
| fini >Kyushu< | | | | finski uvoz ugalj | | 13 | 13 |
| antracit, dom. cena | | | | antracit, dom. cena | | 18 | 18 |
| | | | | koksnii ugalj | | 17 | 17 |

| 1 | 2 | 3 | 4 | 1966. | 1967. | 1968. |
|---|----|----|----|---|-------|-------|
| Mrki ugalj | | | | | | |
| — Sav. Republika Nemačka | | | | — Austrija | | |
| rajski briket | 11 | 11 | 10 | koks običan | 42 | 42 |
| — Francuska | | | | — Španija | 17 | 17 |
| fino zrnast | 17 | 17 | 18 | koks običan | 18 | |
| — Italija | | | | — SAD | | |
| nemački briket | 23 | 23 | 23 | konelsville, za peći | 17 | 17 |
| — Švajcarska | | | | | 17 | |
| »Union«, uvoz. cena | 24 | 25 | 26 | | | |
| — Austrija | | | | Napomena: Kod cena uglja treba uzeti u obzir razne vrste drž. intervencije | | |
| orah I briket, rajski | 22 | 23 | 24 | | | |
| »Union« briket, sred. nem. | 32 | 33 | 35 | | | |
| »Record« | 30 | 31 | 32 | | | |
| Koks | | | | | | |
| — Sav. Republika Nemačka | | | | Cene nekih ruda crne i obojene metalurgije | | |
| lomljiv, I/II 90—40 mm | 22 | 22 | 21 | | 1966. | 1967. |
| — Belgija | | | | | 1968. | |
| livački topionički | 23 | 23 | 23 | | | |
| — Francuska | | | | — Ruda antimona | | |
| topionič., nemački topionič., sev. franc. | 28 | 27 | 27 | — Velika Britanija | | |
| 90 mm livački, franc. | 20 | 20 | 20 | sulfid 60% Sb | 442 | 642 |
| 80 mm | 23 | 24 | 24 | | 643 | |
| — Holandija | | | | — SAD | | |
| topionički, 60—80 mm | 21 | 21 | 22 | ruda 65% Sb | 844 | 649 |
| — Italija | | | | | 659 | |
| topionički 40—70 mm | 32 | 32 | 32 | Boksit | | |
| livački gasni 40—70 mm | 41 | 41 | 41 | — Francuska | | |
| | 33 | 29 | 29 | 55% <chem>Al2O3</chem> , 5% <chem>SiO2</chem> | 3,6 | 4,1 |
| — Švedska | | | | | 4,4 | |
| topionički, vestfalijski livački, vestfalijski | 29 | 27 | 26 | Hromiti | | |
| | 36 | 35 | 35 | — Velika Britanija | | |
| — Švajcarska | | | | rodež. 48% <chem>Cr2O3</chem> | 37,9 | 37,9 |
| lomljiv, 40—60 mm, uvoz | 29 | 29 | 29 | | nom. | |
| | | | | — Turska | | |
| | | | | izvozna cena | 20,3 | 23,0 |
| | | | | | 24,8 | |
| | | | | — SAD | | |
| | | | | turski 48% <chem>Cr2O3</chem> | 31,9 | 31,9 |
| | | | | | 32,4 | |
| | | | | Rude mangana | | |
| | | | | — Velika Britanija | | |
| | | | | 46—48 Mn, uvoz | 68,4 | 64,0 |
| | | | | | 64,0 | |

| | 1966. | 1967. | 1968. | | 1966. | 1967. | 1968. |
|---------------------------------|-------|------------|-------|-----------------------------------|---------|---------|---------|
| | | | | | \$/m. t | \$/m. t | \$/m. t |
| — SAD | | | | Hematit — sirovo liveno gvožde | | | |
| sa 46—50% Mn, uvoz | 176,9 | 164,0 | 143,5 | Sav. Republika Nemačka | | | |
| sa 35% Mn i preko iz | | | | Vestfal. 2—2,5% Si, | | | |
| Afrike \$/m. t | 32,4 | 29,8 | 29,7 | 0,08—0,12% P | 60,8 | 59,4 | 55,5 |
| Ruda molibdena — koncentrat | | \$/m. t Mo | | — Francuska | | | |
| — SAD | | | | 2,5—3% Si, 0,06% S, | | | |
| koncentrat 90—95% | | | | 0,08—0,12% P | 68,2 | 67,6 | 65,0 |
| MoS ₂ | 3.417 | 3.571 | 3.571 | — Belgija | | | |
| Rude cinka | | | | max 3% Si, | | | |
| — Velika Britanija | | | | 0,06—0,08% P | 68,3 | 68,3 | 68,3 |
| sulfid, 52—55% Zn | 42,3 | 45,9 | 45,7 | — Holandija | | | |
| — SAD | | | | 0,06—0,08% P | 69,6 | 70,2 | 70,8 |
| Joplin, 60% Zn | 90,5 | 86,0 | 82,7 | — Italija | | | |
| Rude gvožda | | \$/m. t | | domaći, 0,08—0,16% P | 67,2 | 67,2 | 67,2 |
| — Sav. Republika Nemačka | | | | — Velika Britanija | | | |
| uvoz iz Švedske | 10,7 | 9,8 | 9,3 | do 0,08% P | 68,4 | 66,5 | 53,7 |
| — Francuska | | | | Fosforasto — sirovo liveno gvožde | | | |
| 32% Fe | 3,3 | 2,9 | 2,8 | — Sav. Republika Nemačka | | | |
| 52,5% Fe i 12% SiO ₂ | 9,2 | 8,7 | 8,7 | Oberh., livarstvo III, | | | |
| — Velika Britanija | | | | 0,7—1% P | 59,2 | 57,7 | 53,4 |
| uvoz raznog porekla | 10,3 | 10,2 | 11,1 | — Francuska | | | |
| uvoz iz Švedske | 10,9 | 10,4 | 10,6 | lifarstvo III, 2,5—3% Si, | | | |
| — Švedska | | | | 1,4—2% P | 57,1 | 57,1 | 55,5 |
| Kiruna D 60% Fe i | | | | — Belgija | | | |
| 1,8% P | 9,9 | 8,7 | 8,4 | lifarstvo III, 2,5—3% Si, | | | |
| — SAD, Gornja Jezera | | | | 1,4—2% P | 54,3 | 54,3 | 54,3 |
| 51,5% Fe Bessemer | 10,5 | 10,5 | 10,5 | — Holandija | | | |
| 51,5% Fe ne Bessemer | 10,4 | 10,4 | 10,4 | lifarstvo III, 1,4—1,6% P | | | |
| 51,5% Fe staro klasir. | 10,8 | 10,8 | 10,8 | 60,6 | 61,1 | 61,7 | |
| 51,5% Fe Taconiti | 13,0 | 13,0 | 13,0 | — Italija | | | |
| — SAD, N. York | | | | lifarstvo III, domaće | | | |
| uvoz iz Švedske, min. | | | | 60,0 | 60,0 | 60,0 | |
| 68% Fe | 13,8 | 13,8 | 13,8 | — Velika Britanija | | | |
| uvoz iz Brazil. kom. | | | | bogato fosforom, | | | |
| 68—69% Fe | 10,2 | 10,0 | 9,2 | 0,75—1,2% P | 63,9 | 62,7 | 51,4 |
| — Venecuela | | | | fosforasto, | | | |
| Orinoco 58% Fe | 7,7 | 7,7 | 7,7 | 0,40—0,75% P | 62,8 | 63,0 | 53,1 |
| — Japan | | | | sirom. fosforom, | | | |
| 58% Fe, Goa, uvoz | 11,6 | 11,2 | 10,9 | 0,08—0,4% P | 69,8 | 67,4 | 53,7 |
| 62% Fe, Texsada, uvoz | 14,1 | 13,8 | 12,6 | — Švedska | | | |
| | | | | koksnii kvalitet, | | | |
| | | | | 2,5—3% Si | 54,1 | 47,9 | 47,9 |
| | | | | — Svajcarska | | | |
| | | | | utovaren u vagon, | | | |
| | | | | Basel | 52,5 | 52,6 | |
| | | | | — SAD | | | |
| | | | | topioničke pros. cene | | | |
| | | | | do 1,5% Si, do 0,4% P | 61,8 | 61,7 | 61,7 |
| | | | | lifarstvo II, 1,75—2,25% Si, | 62,0 | 62,0 | 62,0 |
| | | | | 0,4—0,8% P | 63,0 | 63,0 | 63,0 |

| | 1966. | 1967. | 1968. | | 1966. | 1967. | 1968. |
|--------------------------------------|-------|-------|-------|-----------------------|-------|-------|-------|
| — Kanada | | | | — Velika Britanija | | | |
| livarstvo I, fco sklad. | 59,2 | 59,2 | 59,2 | stand. kval., 78% Mn, | | | |
| — Japan | | | | 0,5% C | 139,7 | 141,2 | 121,0 |
| livarstvo I, fco sklad. | 73,6 | 73,6 | 73,6 | — SAD | | | |
| Fero-mangan — visoke peći | | | | stand. kval., | | | |
| — Francuska | | | | 74—76% Mn | 164,8 | 163,7 | 161,9 |
| ugljenični, 76—80% Mn, 0,2—0,3% P | 147,6 | 147,8 | 147,8 | | | | |

Komparativne prosečne mesečne cene nekih obojenih metala na Londonskoj berzi metala 1968. i 1969. god.

\$ po m. t, a za Au i Ag \$ po kg

| Meseci | el. bakar | | olovo | | cink | | kalaj | | zlato | | srebro | |
|-----------|-----------|-------|-------|-------|-------|-------|-------|-------|-------|-------|--------|-------|
| | 1968. | 1969. | 1968. | 1969. | 1968. | 1969. | 1968. | 1969. | 1968. | 1969. | 1968. | 1969. |
| Januar | 1395 | 1250 | 219 | 254 | 263 | 289 | 3125 | 3228 | 1126 | 1360 | 67 | 64 |
| Februar | 1646 | 1271 | 228 | 258 | 260 | 267 | 3110 | 3245 | 1127 | 1370 | 64 | 59 |
| Mart | 1802 | 1268 | 234 | 261 | 258 | 271 | 3112 | 3243 | 1133 | 1388 | 72 | 59 |
| April | 1243 | 1378 | 235 | 268 | 258 | 273 | 3106 | 3304 | 1217 | 1392 | 72 | 58 |
| Maj | 1093 | 1373 | 237 | 278 | 260 | 279 | 3084 | 3356 | 1308 | 1397 | 80 | 57 |
| Juni | 1136 | 1421 | 238 | 285 | 262 | 281 | 3085 | 3379 | 1322 | 1332 | 80 | 53 |
| Juli | 1053 | 1461 | 247 | 344 | 265 | 318 | 3075 | 3473 | 1271 | 1342 | 76 | 52 |
| Avust | 1058 | 1613 | 250 | 349 | 269 | 327 | 3063 | 3504 | 1259 | 1322 | 71 | 53 |
| Septembar | 1110 | 1591 | 251 | 336 | 263 | 333 | 3071 | 3503 | 1293 | 1314 | 72 | 58 |
| Oktobar | 1078 | 1543 | 247 | 309 | 261 | 309 | 3111 | 3535 | 1261 | 1301 | 64 | 60 |
| Novembar | 1098 | — | 248 | — | 264 | — | 3320 | — | 1279 | — | 65 | — |
| Decembar | 1183 | — | 250 | — | 269 | — | 3258 | — | 1322 | — | 64 | — |
| Prosek | 1221 | — | 240 | — | 263 | — | 3126 | — | 1248 | — | 71 | — |

Ekstremini i proseci cena nekih obojenih metala na L. B. M. 1968. i 1969.

| Proizvod i vrsta | 1 9 6 8 . | | | 1 9 6 9 . januar—oktobar | | |
|-------------------------------|-----------|---------|--------|--------------------------|---------|--------|
| | Najviša | Najniža | Prosek | Najviša | Najniža | Prosek |
| B a k a r | | | | | | |
| Cash prodaje, el. vajerbar | 1928 | 1021 | 1237 | 1667 | 1203 | 1554 |
| katode | 1783 | 1022 | 1221 | 1670 | 1199 | 1543 |
| Tromesec. prodaje, el. vajer. | 1638 | 994 | 1167 | 1634 | 1428 | 1538 |
| katode | 1588 | 982 | 1157 | 1624 | 1190 | 1523 |
| Seti. prodaje, el. vajerbar | 1930 | 1022 | 1238 | 1668 | 1205 | 1555 |
| katode | 1786 | 1023 | 1222 | 1672 | 1200 | 1544 |
| K a l a j | | | | | | |
| Cash prodaje | 3437 | 3043 | 3126 | 3566 | 3185 | 3535 |
| Tromesecne prodaje | 3376 | 3057 | 3236 | 3658 | 3302 | 3618 |
| Seti. prodaje | 3439 | 3045 | 3227 | 3667 | 3286 | 3637 |
| O l o v o | | | | | | |
| Cash prodaje | 257 | 215 | 240 | 324 | 250 | 294 |
| Tromesecne prodaje | 254 | 216 | 237 | 319 | 252 | 295 |
| Seti. prodaje | 257 | 215 | 241 | 325 | 250 | 294 |
| C i n k | | | | | | |
| Cash prodaje | 275 | 253 | 263 | 303 | 265 | 294 |
| Tromesecne prodaje | 271 | 256 | 262 | 306 | 269 | 295 |
| Seti. prodaje | 276 | 254 | 263 | 306 | 265 | 294 |

Godišnji proseci cena nekih obojenih metala na Njujorškom tržištu

\$/m. t i živa \$/34,45 kg

| Godina | Elek. | | Olovo | | Cink | Kalaj | Živa | Antimon | Alumi- nijum |
|--------|-------------------|---------------|---------|----------|------|-------|------|---------|-----------------|
| | Proizvod. cena | bakar cena | N. York | St. Luis | | | | | |
| 1955. | 827 | 825 | 334 | 329 | 282 | 2.110 | 247 | 709 | 522 |
| 1960. | 713 | 708 | 264 | 259 | 296 | 2.235 | 210 | 690 | 601 |
| 1961. | 668 | 664 | 240 | 235 | 265 | 2.492 | 197 | 747 | 561 |
| 1962. | 683 | 679 | 213 | 208 | 267 | 2.527 | 191 | 766 | 527 |
| 1963. | 683 | 679 | 245 | 241 | 276 | 2.568 | 189 | 766 | 498 |
| 1964. | 713 | 708 | 300 | 296 | 311 | 3.477 | 313 | 930 | 523 |
| 1965. | 779 | 776 | 353 | 348 | 320 | 3.929 | 571 | 1.009 | 540 |
| 1966. | 794 | 789 | 333 | 329 | 320 | 3.616 | 411 | 1.009 | 540 |
| 1967. | 840 | 836 | 309 | 304 | 305 | 3.382 | 490 | 1.009 | 551 |
| 1968. | 908 | 837 | 291 | 287 | 298 | 3.263 | 538 | 1.009 | 564 |

Ekstremi i proseci cena nekih obojenih metala na Njujorškom tržištu

\$/m. t _____

| Proizvod | 1939—1945. | | | 1968. | | | — SAD | | | | | |
|-------------------------------|--------------|--------------|-------------|--------------|--------------|-------------|-------------|-------------------------|-------|-------|-------|-------|
| | Naj- viša | Naj- niža | Pro- sek | Naj- viša | Naj- niža | Pro- sek | prah | 99,5% | Mo | 7.385 | 8.069 | 8.134 |
| Elektro- litički bakter | 273 | 218 | 258 | 931 | 838 | 908 | | | | | | |
| Olovo | 140 | 101 | 129 | 304 | 271 | 287 | | | | | | |
| Cink | 182 | 99 | 163 | 298 | 298 | 298 | | | | | | |
| Kalaj | 1.653 | 1.104 | 1.134 | 3.704 | 3.114 | 3.263 | | | | | | |
| Antimon | 354 | 248 | 326 | 1.009 | 1.009 | 1.009 | | | | | | |
| Alumi- nijum | 441 | 331 | 363 | 584 | 573 | 564 | | | | | | |
| | | | | | | | N i k l | | | | | |
| | | | | | | | | | | | | |
| | | | | | | | — Francuska | | | | | |
| | | | | | | | | rafinirani, osnov. cena | | | | |
| | | | | | | | | | 1.813 | 2.025 | 2.202 | |

Prosečne god. cene nekih važnijih proizvoda na pojed. tržištima 1966—1968.

1966 1967 1968

| | 1966. | 1967. | 1968. | \$ po m. t | stand. rafiniran stare anode, slob. tržište | 1.796 | 2.033 | 2.132 |
|---|--------|--------|-------|-----------------------------------|---|-------|-------|-------|
| Mangan | | | | | | 1.990 | 3.281 | 3.025 |
| — Francuska elektrotermički 97% Mn | 456 | 456 | 460 | — Svajcarska promptne isporuke | | 2.029 | 2.280 | |
| — Italija metalitički, 96—97% Mn | 658 | 680 | 653 | — SAD | | | | |
| — Velika Britanija elektrotermički 99,9% Mn | 476 | 486 | 545 | kanad. el. katode do 99% Ni | | 1.741 | 1.957 | 2.072 |
| — SAD elektrotermički 99,9% Mn | 636 | 636 | 642 | — SAD odsečci žica | | 1.391 | 1.930 | 2.115 |
| Molibden | | | | Kanada | | | | |
| — Velika Britanija | | | | el. katode | | 1.742 | 1.934 | 2.071 |
| prah. 99% Mo | 11.574 | 11.574 | 9.920 | | | | | |

| | 1966. | 1967. | 1968. | | 1966. | 1967. | 1968. |
|--|--------|--------|--------|---|-------|-------|-------|
| Ziva | | | | \$ m/t i \$/flaš od 34,5 kg | | | |
| — Francuska nečišćena \$/t | 13.771 | 14.541 | 16.113 | — Francuska oporezovano | 43 | 53 | 74 |
| — Italija \$/flaš 34,5 kg | 491 | 553 | 576 | — Italija osnovna cena | 44 | 54 | 74 |
| — Velika Britanija \$/flaš 34,5 kg | 447 | 506 | 547 | — Velika Britanija fino 999/1000, u žici | 42 | 53 | 71 |
| — Španija \$/flaš 34,5 kg | 372 | 408 | 449 | — Austrija nab. cena | 40 | 50 | 66 |
| — SAD unutraš. prodaja \$/34,5 kg | 444 | 490 | 538 | — SAD 999/1000 u žici | 42 | 50 | 69 |
| Zlato | | | | — Indija 999/1000, Bombaj | 47 | 52 | 74 |
| | | | | — Japan 999/1000, franco sklad. | 45 | 55 | 77 |
| — Savezna Republika Nemačka 989,9/1000 | 1.133 | 1.132 | 1.235 | Platina | | | |
| — Francuska fino zlato | 1.131 | 1.132 | 1.288 | — Sav. Rep. Nemačka min. 99,8% Pt, u žici, tržišne cene | 4.780 | 5.557 | 8.437 |
| — Italija u žicama 1000/1000 | 1.126 | 1.124 | 1.244 | — Velika Britanija čisto raf., kan. i juž. afr. ug. cene ostala porekla trž. cene | 3.246 | 3.656 | 3.779 |
| — Velika Britanija 1000/1000 | 1.170 | 1.183 | 1.311 | — SAD | 4.654 | 5.557 | 7.607 |
| — Švajcarska | 1.119 | 1.120 | 1.242 | N. York, čisto raf., ug. cene | 3.188 | 3.545 | 3.768 |
| Srebro | | | | | | | |
| — Savezna Republika Nemačka fino srebro neleg. i leg. | 42 | 52 | 71 | | | | |

Cene nekih nemetala i metala u 1969. godini

| Proizvodi | januar | avgust | \$/m.t oktobar |
|--|---------|---------|-------------------|
| Azbest | | | |
| Kruding No 1 | 1.554 | 1.631 | 1.631 |
| Kruding No 2 | 778 | 882 | 882 |
| Grupa | | | |
| No 3, vlastno za pletenje | 404—661 | 424—694 | 424—694 |
| No 4, krupno vlastno | 222—376 | 234—396 | 234—396 |
| No 5, papir vlastno | 158—185 | 167—198 | 167—198 |
| No 6, ostaci i slično | 115 | 121 | 121 |
| No 7, rasut ili kratki | 50—96 | 55—101 | 55—101 |
| Bariti | | | |
| Osnovne boje, bele i sortirano po bojama 96—98% BaSO ₄ , 99% 350 meš | 58—64 | 65—71 | 65—71 |
| Mikroniziran, min 99%, fini | 81 | 91 | 91 |
| Neosnovnih boja, 80—98% BaSO ₄ | 26—35 | 26—35 | 26—35 |
| Bušenjem sortiran | 30—35 | 30—35 | 30—35 |

| Proizvodi | januar | avgust | oktobar |
|---|----------------|----------------|----------------|
| Boksit (Al_2O_3) | | | |
| Kalcinirani, grubo sortiran min 86% | 44 | 44 | 44 |
| Bentonit | | | |
| Kugle ilovače vazduš. osušen mleven vazd. flotiran | 12—14 21—24 | 12—14 21—24 | 12—14 21—24 |
| Bentonit, WYOMING, livački sortir. 85% kroz 200 meša | 64—66 21—71 | 64—66 21—71 | 64—66 21—71 |
| Kina ilovača, osnovna, sortirana | 37—46 | 37—46 | 37—46 |
| Flint ilovača, kalcinirana | 35—38 | 35—38 | 35—38 |
| Fulerova zemlja, prir. liv. sort. | | | |
| Hromiti | | | |
| Transval, drobit, hem. sort. preko 46% | 23—26 | 23—26 | 23—26 |
| Filipini, grubo sort. min 30% | 34—37 | 34—37 | 34—37 |
| Pesak, kval. za kalup, 98% kroz 30 meša | 50—52 | 50—52 | 50—52 |
| Feldspat | | | |
| Keramički, prah, 200 meša | 22—28 | 33—40 | 33—40 |
| Komadasti | 18—24 | 18—24 | 18—24 |
| Kriolit | | | |
| Prirodni, Grenland 88/98 | 236—291 | 236—291 | 236—291 |
| Grafit | | | |
| Razni asortimani 50/55 — 97/99 | 59—180 | 59—180 | 59—180 |
| Gips | | | |
| Kruding, ex rudnik | 4—5 | 4—5 | 4—5 |
| Fosfat | | | |
| Florida 66—68 % TCP | 8 | 8 | 8 |
| 70—72% TCP | 9 | 9 | 9 |
| 72—73 % TCP | 9,5 | 9,5 | 9,5 |
| 74—75 % TCP | 10 | 10 | 10 |
| 76—77 % TCP | 10 | 10 | 10 |
| Maroko, 73% TCP | 19—20 | 19—20 | 19—20 |
| Alžir — Tunis 65—68% TCP | 14—15 | 14—15 | 14—15 |
| Naura 83% TCP | 18—19 | 28—33 | 28—33 |
| Kvarc | | | |
| Osnova silika, 99,5% + SiO_2 | 15—20 | 15—20 | 15—20 |
| Komad. kvarc | 9—12 | 9—12 | 9—12 |
| Volaštonit | | | |
| Izvozni — uvozni kvalitet | 87—99 | 87—99 | 87—99 |
| Potaša | | | |
| Muriata potaša 60% K_2O | 32—35 | 31—34 | 31—34 |
| Magnezit | | | |
| Kruding komad. | 14—21 | 14—21 | 14—21 |
| Kaustik — kalc. | 45—61 | 45—61 | 45—61 |
| Dobro pečen, sortiran | 47—64 | 47—64 | 47—64 |
| Engleski, sir. magnez. kom. | 52—57 | 52—57 | 52—57 |

| Proizvodi | januar | avgust | oktobar |
|--------------------------------|-----------|-----------|-----------|
| M i k a | | | |
| Razni assortimani | 54—137 | 54—137 | 54—137 |
| P i r i t | | | |
| Španski, baza 48% S | 11,1 | 11,1 | 11,1 |
| Španski, baza 49% S | 11,3 | 11,3 | 11,3 |
| Portugal, baza 48% S | 10,9 | 10,9 | 10,9 |
| Ostali (Kipar, Norv. i dr.) | 10,2—13,2 | 10,2—13,2 | 9—13 |
| S u m p o r | | | |
| SAD, freš, sjajan (bistar) | 40 | 40 | 40 |
| Meksiko, freš, sjajan (bistar) | 45 | 34—39 | 34—39 |
| Kanadski | 39—44 | 27—32 | 24—29 |
| Francuski | nom. | nom. | nom. |
| Ostali | 39—46 | 31—36 | 31—36 |
| N i t r a t | 81 | 81 | 81 |
| T a l k | | | |
| Norveški, francuski i dr. | 22—97 | 44—109 | 44—109 |

Izvor i podataka:

Metal Statistics, 1969.
 Preise Löhne Wirtschaftsrechnungen, 1968.
 Metal Bulletin — Biltensi, 1968—1969.

Engineering and Mining Journal, 1968—1969.
 Metals Week — Biltensi, 1968—1969.
 Industrial Minerals — Biltensi, 1968—1969.
 U. N. Quarterly Bulletin — Biltensi, 1968—1969.
 World Mining — Biltensi, 1968—1969.

Rudarstvo antimona u Podrinju

(sa 4 slike)

Dr Vasilije Simić

Antimonit, glavna antimonova ruda, bio je zapažen na rudištima u Podrinju još u srednjem veku, ako ne i ranije, za vreme antičkog rudarskog rada.

Ovaj je mineral u srednjem veku morao biti poznat mnogobrojnim rudarima u Podrinju, koji su pronašli i otkopali svaki izdanak olovno-cinkovih, olovnih, bakarnih ili gvozdenih ruda. Kraj zajačkog rudnika srebrenog olova iz 15. veka, izbjigali su na površinu izdanci antimonskih ruda i M. Atanacković je 1888. godine ili još ranije, video u Zajaci gornjilu »naslagane čiste stare antimonske rude, koja je nađena pred potkopom, i već travom obrasla«. Kad je otvorio stari potkop pokazalo se, da antimonska ruda na ovome mestu nije uzgred vađena, uz olovno-srebrnu, već

je potkop zbog nje bio i postavljen. U nekom starom periodu rudarskog rada rudari su istraživali izdanak antimonske rude potkopom i povadili rudu. Ali kako je nisu mogli pretopiti ostavili su je da leži pred potkopom.

Antimonske rude morali su videti i prvi naši rudarski stručnjaci, Šemnički pitomci, kada su posle završenih studija 1845. godine putovali po Podrinju. No kako su njihovi izveštaji pogubljeni, a nisu ništa štampali o tome, to će se i vreme prepoznavanja antimonskih ruda u Podrinju pomeriti čak do šezdesetih godina prošloga veka.

Prvi podatak o pojavi antimonskih ruda u Srbiji štampan je u »Protokolima« Narodne skupštine za 1867. godinu. Govoreći pred skupštinom o radu Ministarstva finansija za godine 1865/6. ministar Kosta Cukić je napome-

nuo, u referatu o rударству, da su u Podrinju, pored olovnih, nađene rude cinka i antimona. Pretpostavljam da je na značaj antimonskih ruda u Podrinju upozorio Ministarstvo finansija Jozef Šefel, upravnik istražnih rudarskih radova u Podrinju od 1862—1864. godine (ako ne i dalje). Najverovatnije je, da je Šefel prvi stručnjak, koji ih je zapazio na više mesta i o tome izvestio Rudarsko odjeljenje u Beogradu.

Mineral antimonit iz Podrinja pomenuo je zatim 1867. godine J. Pančić u svome udžbeniku »Mineralogija i geologija«. Iste godine M. Marić u napisu »Naši rudnici« veli: »U jadranjskoj oblasti ima ... rude antimona u Kostajniku na više mesta. Antimon je metal upola skuplji od olova, on se domeće olovu, pa se iz te smese liju štamparska slova«. Sledеće godine za antimon u Podrinju zna i F. Kanic (1868). Čim je jednom ušao u štampu, antimon će se kasnije pominjati u svima napisima, našim i stranim, kad je reč o rударству Srbije. Evo i prvog novinskog dopisa o antimonu:

»Jedan od većih naših kapitalista uzeo je isključivo pravo na vađenje rude antinona u opštini Kostajničkoj okr. Podrinskog. Tu su doista najbolji izgledi, da će se rudarska radnja, kod privatnih najpre stalno razviti, i mi mu to preduzeće iskreno čestitamo, a i nadamo se da će u tome da uspe, počem tim radom rukovoditi naš poznati profesor velike škole g. M. Rašković, koji se energično zauzima za razvitak rударstva i svojim stručnim znanjem ga svuda podpomaže. Po najnovijim izvestajima ruda je antinona tamo u steni tako zvanoj porfir, i nalazi se u dosta znatnoj količini, tako, da će vredno biti da se i sama topionica na tome mestu podigne, koje će g. Rašković izvršiti. Jedinstvo, 1871. br. 54.

Antimonske rude, kako reče M. Marić, bile su otkrivene u Kostajniku na više mesta. Jedno od prvih nalazišta bilo je pod Kikom, nedaleko od rudnika Stolice, prema Kostajniku. 4. juna 1870. god. obratili su se okružnom načelstvu u Loznicu Živko Vasiljević, trgovac iz Zemuna i Živko Karabiberović, trgovac i kasnije i predsednik Narodne skupštine iz Beograda. Oba su tražila prosti pravo istraživanja antimonske rude u Kostajniku. Dva dana kasnije Vasiljević je zatražio i isključivo pravo. Kako okružno načelstvo nije bilo nadležno da odobrava isključiva prava, ono je njegovu molbu sprovelo u Beograd Rudarskom odjeljenju. Na poledini molbe J. Gudović, ondašnji načelnik Rudarskog odjeljenja, napisao je da se Vasiljeviću ne može odobriti korišćenje rudarskih prava, jer je strani državljanin (čl. 5. rud. zakona).

Prema tome, prvi vlasnik antimonskih terena u Srbiji odnosno u Podrinju je Živko Karabiberović, trgovac iz Beograda. O njegovom ra-

du na antimonskim rudišta nema podataka. Iz Gudovićevog »Zapisnika« (pod br. 1) čitamo, da je 1872. godine bilo odobreno istraživanje antimonskih ruda u Kostajniku. Do 1874. godine prosti pravo istraživanja u Kostajniku proudužavano je dva puta. 2. Karabiberović ili neki njegov súvlasnik odnosno zastupnik počeo je odmah da otkopava i prodaje antimonsku rudsnu u inostranstvu. U računskoj godini 1871/72. izvezeno je iz Srbije 2687 kg antimonske rude u vrednosti 16,122 groša. Iste godine izvezena je i 2181 oka olovnih ruda, čija je vrednost iznosila svega 3272 groša. Ovdje se u oba slučaja radilo svakako o koncentrovanim rudama. Antimonska je prodata pet puta skuplje od olovne. Godine 1873/4. opet je izvožena u inostranstvo antimonska ruda, ali je iskazana zajedno sa olovno-cinkovom iz Kućajne. Iz ovih oskudnih podataka vidi se samo toliko, da su vlasnici kostajničkih antimonskih terena otvarali izdanke antimonskih ruda, otkopali najbogatije delove ležišta i rudu prodavali u inostranstvu.

Godine 1876. antimonska ruda pominje se i u selu Bršćici. To je već u blizini krupanjske topionice olova. Međutim, uprava podrinjskih rudnika ne pokazuje nikakav interes za iskorišćavanje antimonskih ruda, iako je mogla da ih dobro proda u inostranstvu i popuni bar delimično deficit u proizvodnji olova.

Obrazovanje središta za proizvodnju antimona u Krupnju

Krajem 1882. godine doneta je najzad odluka, da uprava podrinjskih rudnika pristupi pronađenju i istraživanju antimonskih rudišta. U to vreme podrinjske rudnike vodio je preduzimljiv i sposobni inženjer S. Mašin. U jednom izveštaju on se pravda pred ministarstvom što još prvih meseci 1883. godine nije počeo istraživati pojave antimonskih ruda »zbg nagomilanosti poslova i nastalog, kišovitog vremena«. Iste godine on je otvorio neke rudne pojave i istraživanje je dobre rezultate dalo. Za 1884. godinu Mašin traži poseban kredit za istraživanje antimonskih ruda u visini od 6000 dinara da bi se rudišta u dovoljnoj meri ispitala, topionički opiti izvršili i prodnja bilo rude bilo antimonijum kruduma, bilo antimonskog metala izvela i osigurala. Ali kako нико od srpskih rudara nema iskustva u prerađi antimonskih ruda, Mašin predlaže Rudarskom odjeljenju da on, ili »svršavajući pitomac g. Milojković, pre no što se vrati, dve do tri antimonske topionice i rudnika na strani proštudiira, kako bi nužnog iskustva za tačnu ocenu radnje pribavio.«

Koliko se dalje radilo na državnim antimonskim rudištima u Podrinju nema podataka sve do 1888. godine. Međutim, taj je rad morao biti uspešan, jer je uprava podrinjskih rudnika otkrila i delom istražila znatan broj rudnih pojava. Blagodareći tome, mogao je V. Karić u svojoj »Srbiji« od 1887. godine da napiše, kako antimonskih ruda u Podrinju ima od planine Boranje do Valjeva, »Rude ovih rudišta« nastavlja dalje Karić, »izbile su većinom na površinu i u velikim masama, stari ih nisu vadili, jer nisu znali upotrebu antimona.«

Godine 1888. bio je poznat najveći deo pojave antimonskih ruda u Podrinju. Putujući po podrinjskim terenima radi prikupljanja primeraka za parisku izložbu M. Atanacković je zabeležio sledeće pojave antimonskih ruda u selima:



Sl. 1 — Krupanj sa topionicom (u donjem levom uglu) iz sedamdesetih godina prošlog veka po F. Kaniću

Kostajniku: Stolice, Ivica, Jazišta, Kik, Goli Obrežak, Purkova Bašta, Cista, Njiva, Rovine, Stara Bašta Pere Mitrovića u Delu, Đedovača, Grabić, Jablanova Bara, Kod belege Lipe, Čalije, Dubrava, sniže Radičevića, Žižak, Vrela, Priboj, Jama, Kozja Stena.

Borini: Ravаница (kod Katića kuće), spored kuće Rankove,

Lipenovići: Dobri Potok (kod crkve), Stojkovičko Brdo, Dulim.

Zajači: niže Sarampova, Vasin Potok, pod Mamutovcem, pod Osojcem, niže Torina, Prlače (sniže Kićera), sniže Milinkove kuće, pod stariim baštama, niže kuće Vasilija Mikića, više kuće Mije Pajšića u Rupnom Dolu.«

Ovako brojni nalazi antimonskih ruda ukazivali su na to, da se ovde radi o izrazitom antimonskom rudnom rejonu, gde mora biti i znacajnijih rudišta. Osim toga, u ovo vreme i cene antimona metala bile su visoke. Zbog toga je

Rudarsko odeljenje odlučilo, da u Krupnju, kod topionice olova, podigne malu, probnu topionicu antimona, u prvo vreme radi pokušaja, pa ako bi se postigli povoljni rezultati, i steklo dovoljno iskustva za ovu izradu, da se docnije pristupi podizanju naročite topionice na mestu, gde bi bilo najpovoljnijih uslova za to.«

Probna peć za topljenje antimonskih ruda počela je da se gradi krajem 1889. godine, a završena je 4. januara 1890. Stajala je 552,6 dinara. U toku 1890. podignuta je i peć za rafinaciju antimona; za njenu izradu plaćeno je 522,5 dinara. Krajem 1890. godine na terenima uprave podrinjskih rudnika bilo je izvađeno 218.915 kg antimonskih ruda, čija je proizvodnja stajala 36.019 dinara. Celokupna količina rude bila je dobijena površinskim radom, sa rudnih izdankaka. U topionicu je te godine prevezeno 64.802 kg rude, a istopljeno je 20.622,5 kg regulusa. Rad na proizvodnji antimona u toku 1890. godine prikazao nam je M. Atanacković rečima:

»Ovaj je rad kod uprave bio nov i nepoznat, i pošto je u prošloj godini zidanje furune otpočeto i 4. Januara dovršeno, pristupilo se odma samome topljenju, čim je furuna osušena i za grejana bila.«

Sa postignutim rezultatima Uprava ima razloga da bude zadovoljna. Proces topljenja podešen je i radnici — seljaci iz okoline topljenju obučeni; i na slučaj da prodaja antimonske rude naide na teškoće, Upravi uvek ostaje da bira, da li će sa sirovinom najprije vrste izlaziti na strane pijace ili će sama rudu topiti i kao metal prodavati.

Cista dobit ovog početničkog topljenja antimona od 20.000 kgr. iznosi 4.541,62 dinara. Po red ove novčane dobiti, koja izlazi otuda, što je novac u 24.800 dinara zadržat u zemlji, i data mogućnost našem svetu, da ga iz dubina zemskih znojem svoga lica zaradi, a da ne mora gotov novac, koji jedino od svoje poljske privrede dobavlja, onamo vraćati odakle ga je i dobio.

Topljenjem antimona u zemlji samo je ovaj izvor za zaradu osnažen, i kad se uzme u obzir onoliko silno nošenje sviju svetskih ruda na topljenje u Englesku, Saksonsku i dr. zemlje, koje svoga računa nalaze da ih tope, onda se daje lako oceniti: koliko ekonomna dobit leži u tome, što je Uprava u stanju, da sampa svoje rude i topi.«

U 1891. godini antimonske rude otkopavane su, uglavnom, na terenima kostajničke povlastice. Ruda je bila mešovita, oksidna i sulfidna jer je vađena sa izdankaka. Budžetom za 1891. godinu bilo je odobreno 60.000 din. za proizvodnju ruda u Zajači. Od ove sume iskorisćeno je, međutim, samo 11.640 dinara, jer država nije imala novaca za ruderstvo. U ovoj godini uprava podrinjskih rudnika imala je u Šapcu 100.000 kg antimonskih ruda izvađenih na kostajničkoj

povlastici, od kojih je prevezeno u Krupanj 40400 kg.

Do kraja 1891. godine Uprava podriňjskih rudnika izvadila je 123.964 kg antimonske rude. Prerađeno je, međutim, samo 13.079 kg i otpremljeno u Šabac 5557 kg metala. Zašto je topionica ove godine slabo radila nije poznato. Antimonska ruda u topionici vredela je u 1891. godini 35 dinara 100 kg.

U toku 1892. godine živo se radi na proizvodnji antimonskih ruda, iako je ove godine cena metalnog antimona bila znatno niža nego ranije. Najobimniji rudarski radovi vode se u Zajači, ali se radi i na Krnjoj Jeli, u Plandištu i Dobrom Potoku, u neposrednoj blizini topionice. Avgusta 1892. godine prevezeno je sa Krnje Jeli i Plandišta u Krupanj 13.433 kg rude, a krajem godine još 62.128 kg. Koliko je rude izvedeno u Zajači i Dobrom Potoku nije poznato, ali je zabeleženo da su rudari i topioničari za svoj rad primili po mesecima:

| | Zajača | Dobri Potok | Topionica |
|------|-----------|-------------|-----------|
| I | 1414 din. | — | |
| II | 1676 din. | — | |
| III | 1722 din. | — | 775 |
| IV | 1669 din. | — | 969 |
| V | 2290 din. | — | |
| VI | 2339 din. | — | 636 |
| VII | 2272 din. | — | 1043 |
| VIII | 2117 din. | 306 | 1109 |
| IX | 1745 din. | 239 | 643 |
| X | 1889 din. | 679 | |
| XI | 1100 din. | 243 | 659 |
| XII | 592 din. | — | 84 |

Antimonska ruda prevozi se i ove godine iz Šapca u Krupanj; za prevoz se plaćalo 2,5 dinara za 100 kg. Ista količina rude prevožena je iz Zajače u Krupanj za 2 dinara.

U toku 1891–92. godine u krupanjskoj topionici spravljan je, kako mi se čini, prirodan krudum. Godine 1891. prevezeno je iz Šapca u Krupanj 40.400 kg rude koja je u topionici tucana i mlevena. Iste godine preneto je sa Krnje Jeli preko 13 tona rude, koja je takođe tucana i mlevena. U 1892. godini antimonska ruda mlevena je u krupanjskim vodenicama (26. avgusta 1892. godine plaćeno za mlevenje rude 126 dinara). Da li je sva ova ruda upotrebljena za krudum ne zna se. Prirodnji krudum prodavan je u manjim količinama »vojeno-tehničkom zavodu« u Kragujevcu i drugima po ceni od 1,30 dinara po kilu. Trgovačko ime mu je bilo »Sum-pornjača antimona«.

Kako se dalje radio na proizvodnji antimona u Krupnju nije poznato. Zabeleženo je samo toliko, da je od 1889–1895. godine krupanjska topionica antimona pretopila 624.835 kg antimonskih ruda sa prosečno 63,29% Sb i 3–7%

vlage. Iz ovih ruda dobijeno je 256.271 kg regulusa ili 40% metala iz rude. Godine 1895. bilo je proizvedeno 487 kg regulusa u vrednosti 33.281 din. Način topljenja antimonskih ruda opisao nam je upravnik krupanjskih rudnika J. M. Ilojković:

»Ruda se kod topionice sitnila u veličini grška; zatim je ubacivano na 4 sahata po 300 kilograma ove rude u peć za prženje (Forschaufengofen), gde je ostala 6 dana; odatle se dobijala ispržena (oksidna) ruda. Pri tom je bilo gubitaka 11,85% Sb a pržena ruda imala je prosečno 51,34% Sb.

Redukcija antimon metalal iz oksida njegovog vršena je u plamenjači, koja je dozidana da peći za prženje rude, tako, da su obe peći zarevane jednim vatrištem. Ovaj proces vršen je ovako. U crveno usijanu peć ubaci se 300 kg pržene rude pomešane sa 27 kgr. (9%) glauberove soli i sa njom 45 (15%) kgr. smešanog drvenog uglja. Vrata se od peći dobro zatvore, i posle 1,5–2 sahata vrata se otvore i meša se cela razidena masa, iz koje se dobija u predognjištu metalan antimon, odakle se gvozdenim kašikama vadi i sipa u gvozdene kalupe. Ova operacija traje 2 sahata tako, da cela šarža traje 4 sahata. Iz 300 kilograma pržene rude dobija se prosečno 133,81 kgrama metalnog antimona, ili 44,57%. Goriva se utroši za jednu šaržu 268 kgr. Gubitak antimona iznosi prosečno 10–12%. Rafinacija antimon metalala vrši se u istoj peći, gde je i dobijen.

U ovu peć crveno usijanu ubaci se samo 400 kgr antimon metalala, i posle 3/4 sahata prosečno — kad je metal istoplijen, skine se sva troškova sa njega, pa se onda sipaju po površini metala dodaci — primene, i to 2,25% sode, 2,25% potaše, antimon kruduma 3% i antimon oksida 5%. Drugoj šarži ovi dodaci dodaju se po sledećoj podelji: 0,77% sode, 0,77% potaše, 1% antimon kruduma, 0,50% antimon oksida i 60% troškove dobivene pri rafinaciji. Ova naizmenična promena u dodacima vrši se zbog dobijanja potrebne troškove za dalju šaržu.

Pošto se u peći stopi sva masa, a to je obično posle 3/4 — 1 sahata, pri jakoj vatri i zatvorenim vratima, preciščavanje je dovršeno, i otpočne se pažljivo sa crpljenjem antimon regulusa, i sipanjem u naročite kalupe, da se dobiju zvezdice, i čiste površine, prema čemu se u trgovini ovom metalu daje vrednost.

Šarža traje 4 sahata, a za 24 sahata, dobijalo se prosečno 2244 kgr. antimona regulusa. Gubitak antimona pri preciščavanju iznosio je prosečno 6,5%.

Kako je izrada ognjišta u plamenjači, kako za redukciju tako i za rafinaciju metala, jedno od najvažnijih pitanja, to je uprava ovo pitanje rešila da potpuno zadovoljstvo, jer se uspeло, da se sa jednim ognjištem moglo raditi 4–6 nedelja (jedno je ognjište izdržalo 8 nedelja).

Osim dobijanja antimon regulusa, dobijan je antimon krudum u cilindričnoj upravinoj mufi-peći, na običan, poznat način. Antimon krudum većinom je upotrebljavani za preciščavanje metala a neka količina naročito izrađena prodata je u zemlji.

Troškovi oko dobijanja antimon-regulusa bili su sledeći:

| | |
|--|------|
| 100 kgr. izrađene i prebrane rude | 0,51 |
| Za prenos 100 kgr. rude od Zajače do Krupnja | 2,00 |
| Sitnjenje rude 100 kilograma | 0,50 |
| 100 kgr. rude staju kod topionice | 3,01 |

Topionički troškovi

| | |
|-----------------------|-------|
| Prženje 100 kgr. rude | 1,07 |
| Reducacija | 15,53 |
| Rafinacija | 5,88 |
| Svega | 22,48 |

Transport do Šapca od 100 kgr. 2 dinara.

Iz 100 kgr. antemonske rude dobija se 39,33 kilograma antimon regulusa, što prema gore izloženim cennama izlazi: da 100 kilograma antimon regulusa koštaju u Šapcu na obali Savskoj 55,43 dinara.

Prodajne cene bile su prosečno 60 dinara a u maju 1899. godine prodata je jedna veća partija po 84,74 dinara 100 kilograma, što je dalo dobiti od 29,31 dinara po 100 kilograma.

Ako se ceo primjenjen proces prouči, uvidjeće se odmah, da su gubici na metalu dosta veliki, a naročito pri prženju, koji iznose i do 14% Sb, što se da objasniti nepodesnom peći i nedovoljnom dužinom kanala za skupljanie antimon oksida, dok kod redukcije i rafinacije nema velikih mana, i iste bi se mogle otkloniti podesnjom konstrukcijom peći.⁴

Kao što se iz izloženoga vidi pokušaj proizvodnje antimona u Krupnju završen je uspešno krajem 1895. godine. Iako je radeno bez ikakvih iskustava, proizvodnja je bila rentabilna. Kako srpska država nije imala nameru da otvara nove rudnike u sopstvenoj režiji, krajem 1896. godine dala je povlasticu za korišćenje antemonskih ruda u regionu Zajača—Kostajnik; upravo na najpoznatijim i najvažnijim pojavama antemonskih ruda, na kojima su dotle radili najpre Binder pa zatim podrnijski rudnici.

Pauza u proizvodnji antemonskih ruda u Krupnju trajala je punih 12 godina, do prelaska podrnijskih rudnika u ruke privatnog kapitala. Proizvodnja antimona u Krupnju obnovljena je 1907. godine. Povod za njeno obnavljanje bio je skok cena antimona metala za vreme rusko-japanskog rata. Vlasnik podrnijskih rudnika, Perica Despić počeo je odmah da otvara sva do tle poznata nalazišta antemonske rude na svojim povlasticama, jer su rudišta, iz kojih se krušanska toponica snabdevala rudom od 1890—1895. godine najvećim delom pripala Zajači. Despić je najpre obnovio rudnik u Dobrom potoku, jer se ovaj nalazio u neposrednoj blizini topionice. Ovo je rudište bilo, u stvari, i najizdašnije, i na njemu je neprekidno radeno sve do izbijanja prvog svetskog rata sa 30—40 radnika dnevno. Dobropočke rude, prebrane u

jami, imale su prema Piču 15—30% Sb_2S_3 . Sem Dobrog potoka radeno je i na ostalim pojavnama antemonskih ruda. U toku 1908. godine antemonske rude se istražuju i uzgred otkopavaju u Cirevinama, na Barama, u potoku Madjupcu, Dvorskoj, Bačinovcu, Krnjoj Jeli, Plandištu. Na svima rudištima radio se je isključivo ručno. Prema Antuli (1911) ondašnja proizvodnja antemonskih ruda iznosila je oko 3.000 t godišnje sa prosečno 18—25% Sb.

Novi vlasnik počeo je polovinom 1907. godine da gradi novu topionicu antimona, koja će, kao i zajačka, moći da topi i rude sa manje od 15% antimaona. U to vreme to su smatrane siro mašne rude. Nova topionica antimona sastojala se od instalacija za prženje ruda i topljenje regulusa. Izgradnja je stajala 80.000 dinara. Osim toga bile su podignute instalacije za izradu antimonpentasulfida (zlatnog sumpora Sb_2S_5), koji se koristio u industriji boja, kaučuka i zapažljivih stvari. Nova topionica završena je polovinom 1908. godine i prema mišljenju stručnjaka odgovarala je "svima zahtevima današnjeg modernog topioništva". Bogate antemonske rude topljene su u staroj peći na isti način kao i ranije. Troske iz peći imale su sada 2% Sb, pošto su prethodno tucanjem izdvojene zaostale antemonske kapljice.

U toku 1908. godine preduzeće je prodalo 100.169 kg regulusa za sumu od 73.847 dinara. Metal je prodat najvećim delom u Beču, a nešto malo srpskoj državi, železničkoj direkciji i državnoj štampariji u Beogradu. Međutim, ukupni izdaci preduzeća za ovu godinu iznosili su 213.221 dinar. Kad se uzme u obzir vrednost novih građevina i instalacija, onda je čist gubitak na proizvodnji antimona u 1908. godini iznosio 43.980 dinara. Za prethodnu godinu ovaj je gubitak iznosio znatno manje (27.381 din.).

Za vreme austrijske okupacije Srbije (1915—1918) neprijateljske vojne vlasti požurile su da u Podrinju obnove proizvodnju antimona, toliko potrebnog metalata za ratnu industriju Centralnih sila. Meseca novembra 1915. god. vrše se pripreme za proizvodnju antimona, a 1. januara 1916. pristupa se otvaranju rudišta u Dobrom potoku. Ovo najznačajnije antemonsko rudište podrnijskih rudnika bilo je dobrim delom povađeno još pre rata, ali kako je bilo najbliže topionici na njemu se najzivljije radilo. Za prvi 9 mjeseci rada Dobri potok je sam snabdevao topionici rudom. Na rudniku je odmah uvedeno mašinsko bušenje, a rudište je otkopavano površinski i podzemno. Površinski kop i najviši potkop svoznicom su spuštili rudu do najnižeg potkopa, gde je bila postavljena rampa. Odatle je ruda prebacivana u topionicu kamionima. Ruda se u jami odvajala na jedru, sa 30—60% Sb i siromašnu sa prosečno 14% Sb. U prvo vreme bogata ruda siromašna je nekoj olov-

noj topionici u Madarsku, pa je sa olovnom stapanom neposredno u tvrdo olovo. Na Dobrom potoku radilo je za vreme rata povremeno i po 300 radnika dnevno.

Topionica antimona u Krupnju vojne vlasništvi osposobile su za rad tek posle tri meseca. Za prženje siromašnih ruda izgradili su obrtnu peć (Drehofen) sa kondenzacionim komorama. Siromašne rude, pre prženja u peći, koncentri sane su sitnjjenjem i sejanjem, a zatim tretirane u šahnoj peći. Oksidi antimona, uhvaćeni u komorama, topljeni su u plamenoj peći.

Kako je Dobri potok bio pred iscrpljenjem, austrijska vojna uprava tražila mu je zamenu na svim pojavama antimonskih ruda krupanjske okoline. Pošto je imala na raspolažanju veliki broj ratnih zarobljenika, radila je jednovremeno na svim nalazištima ruda. Samo na Cirevinama radilo je jedno vreme 30 ljudi dnevno. No svi ovi napori nisu dali bogzana kakve rezultate. Pronadena rudišta bila su mala i pretežno siromašna.

I onda je, sasvim slučajno, pronađeno jedno od najbogatijih rudišta antimonskih ruda u Podrinju. Popravljajući put od Krupnja prema Loznicu, radnici su na Stolicama jednu minu zabušili u sam vrh rudnoga tela. Posle eksplozije pristupilo se istraživanju otkrivene rude i tako se ušlo u najveće i najbogatije rudište krupanjske okoline. Stolice su kao nalazište antimona bile poznate još osamdesetih godina prošloga veka. Ali je takvih nalazišta bilo mnogo, pa se sva nisu mogla jednovremeno istraživati.

Rudarske vlasti u Krupnju počele su užurano da otvaraju novo rudište na tri horizonta. Da bi se radovi što brže odvijali nabavljen je pokretan kompresor. Ruda je na licu mesta sortirana, pranjem koncentrovana i prevožena u krupanjsku topionicu. Kasnije je sva stolička ruda, pošto je bila u glavnom bogata, slata kamionima u Loznicu preko Zavlake, a odatle transportovana je u Austro-Ugarsku. Dnevno je otpremano prosećno po 10 tona rude. Na rudniku je bilo zaposleno oko 100 ljudi, pretežno ratnih zarobljenika, Rusa i Italijana. Instalacija nije bilo nikakvih do nekog primitivnog prališta. U drvenoj baraci bilo je smešteno 50 radnika..

Posle oslobođenja Srbije rudnici i topionica u Krupnju prešli su opet u Despićev posed. On je, međutim, prodao sva svoja prava u podrinjskim rudnicima rusko-jevrejskom društvu 1920. godine, koje se zvanicno zvalo »The International Russian Corporation«. Novo društvo počelo je odmah sa radom i 1921. godine bile su proizvedene prve tone antimona.

U preduzeću je bilo 78 radnika i službenika. Od toga su 45 bili jamski radnici. Kako se rudnik na Stolicama nalazio u sused-

noj, zajačkoj povlastici, a bio je na domaku krupanjske topionice, rusko društvo otkupilo je 1924. ili 1925. god. rudišta sa okolnim terenom za sumu od 200.000 dinara. Iz povlastice Kostajnik bila je izdvojena nova povlastica Kostajnik A, sa rudnikom na Stolicama, koji skoro neprekidno proizvodi rudu od otvaranja pa do naših dana.

Proizvodnja antimona u Krupnju dvadesetih godina našega veka bila je niska. Samo 1924. godine premašila je 200 tona. A zatim je 1929. god. došla opšta privredna depresija, koja nije poštedela ni našu proizvodnju antimona, pa je ova obustavljena krajem 1929. godine; 1931. godine pokušalo se sa obnavljanjem proizvodnje. Otkopano je bilo skoro 1.200 tona rude od koje je probno istopljeno samo 2 tone kruduma.

Napad fašističke Italije na Abisiniju oživeo je u Podrinju proizvodnju antimona kao izrastog ratnog meta. U 1935. godini obrazuje se novo društvo pod imenom »Podrinje Consolidated Mines Ltd.« London. Upravni odbor društva sačinjavaju: R. K. Law, A. Cohan, G. Nobel i A. Zuppinger. Novo društvo počelo je da radi ozbiljno na organizaciji proizvodnje. Obnavlja se rudnik na Stolicama, a topionica se prepravlja i dograđuje. Krajem januara 1936. godine proradiла je topionica antimona u Krupnju.

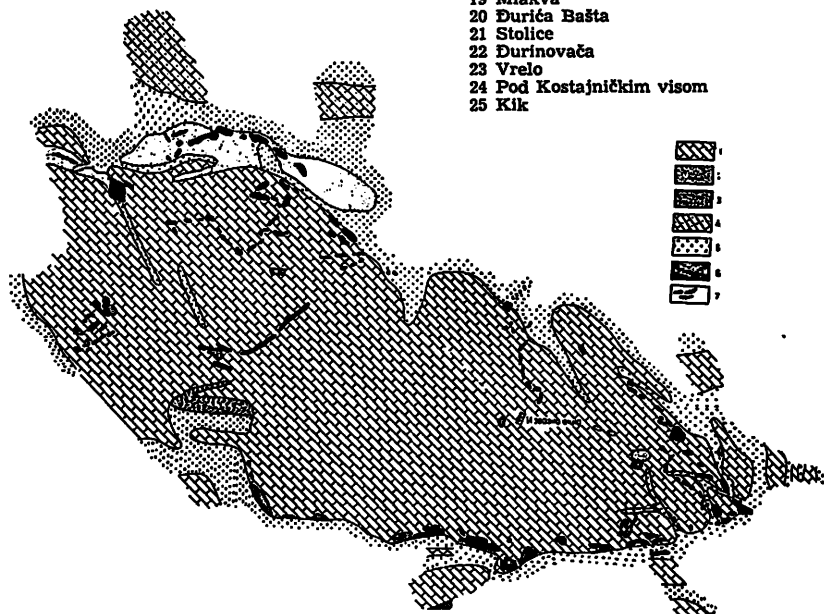
Za četiri godine rada (1936–1939) proizvodnja antimona bila je manje-više ujednačena (prosечно oko 570 t godišnje), ali se resko snižio srednji sadržaj metala u rudi (za 4%), pa je prema tome porasla proizvodnja rude. U 1940. godini »Podrinjski udruženi rudnici« proizveli su maksimalnu količinu metala — 716 tona regulusa. To je bila i njihova labudova pesma, jer je posle tri godine obustavljena proizvodnja antimona regulusa u Krupnju. Društvo »Montania«, vlasnik zajačkih rudnika, obustavilo je 1943. godine rad u krupanjskoj topionici. Od tada postoji u Podrinju samo jedno središte za proizvodnju antimona — Zajača.

Na kraju ću ukratko prikazati kako su izgledali rudnici i topionice u Krupnju krajem 1940. godine maksimalnog uspona.

Rudnik na Stolicama bio je skoro jedini snabdevač topionice rudom. Otvoren je bio oknom, dubokim 137 m. Potpuno ili delimično bili su prohodni horizonti: +12, +9,0, -12, -30, -50, -80. Zarušeni su bili horizonti +7 i +25. Iznad horizonta -30 nije se radilo. U napuštenim radovima bilo je nekoliko hiljada tona zasipa sa nekoliko procenata antimona (oko 6%). Naročito je bio bogat zasip iz perioda rada topionice posle prvog svetskog rata, kad se u topionicu vozila ruda samo preko 30% St. Ruda se u rudniku otkopavala na horizontima -50 i -80. Samo izuzetno i na horizontu -30. Ruda je bila najvećim delom sulfidna. Horizont -30 izlazio je potkopom prema Kostajničkoj

reci i odvodnjavao je dubinske horizonte rudnika. Potkopom 0 iz Brštičke reke ulazili su radnici i stubama se spuštali pored izvoznog okna na radilišta—50 odnosno —80 metara. Istim putem su se i vraćali. Krajem 1940. godine počeo se raditi horizont — 100. Ruda se prebirala kod okna, u pokrivenim šupama i svoznicom spuštala do bunkera na putu Loznica—Krupanj. Odatle je kolima prebacivana topionici. Za voz se plaćalo 30 dinara po toni. Rastojanje — 7 km. Za vreme poljskih radova seljaci skoro da nisu ni prevlačili rudu, pa je u to vreme i topionica smanjivala proizvodnju. Rudnik je za posljavao u tri smene 170 radnika. Rudarske nadnice su se kretale između 25 i 44 dinara.

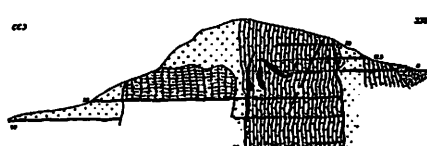
- 1 Potok Madjupac
- 2 Pleć
- 3 Dolovsko Brdo
- 4 Cirevine
- 5 Đulim
- 6 Branjevine
- 7 Dobri Potok
- 8 Bare
- 9 Ravna Njiva
- 10 Pajići
- 11 Mijakovac
- 12 Barine
- 13 Rajkovača
- 14 Ormice (Dvorska)
- 15 Plandište (Korenita)
- 16 Žižak
- 17 Janjići
- 18 Bojinovača
- 19 Mlakva
- 20 Đurića Bašta
- 21 Stolice
- 22 Đurinovača
- 23 Vrelo
- 24 Pod Kostajničkim visom
- 25 Kik



Sl. 2 — Geološka karta horizonta — 30 na rudilištu Stolice iz 1939. godine
1 — krečnjaci gornjeg karbona; 2 — isti krečnjaci samo smršljeni; 3 — škriljevi gornjeg karbona; 4 — krečnjaci gornjeg perma; 5 — mikrograniti; 6 — kalcitske mase; 7 — rudna tela

Radnici su bili pretežno okolni seljaci. U maloj rudničkoj koloniji stanovali su radnici sa strane i nameštenici. Svi uređaji na rudniku bili su dotrajali, pa su zbog toga troškovi proizvodnje jedne tone rude iznosili 250 din. po toni.

Krajem 1940. godine na povlasticama Likodra i Kostajnik A bile su poznate pojave antimonskih ruda na mestima:



Sl. 3 — Profil kroz stoličko rudilište iz 1929. godine

- 26 Jama
 27 Plandište (blizu Stolica)
 28 Frijine (Dvorska)
 29 Podosjnjica (Kostajnik)
 30 Miljkovac
 31 Dubrava
 32 Ivica
 33 Kožja Stena
 34 Srednja Njiva
 35 Živanovića Majdan

U topionici ruda se sipala na pojedine gomile, prema sadržaju metala, koji se od oka određivao. Gomile su svakoga dana analizirane, da bi se mogla utvrditi standardna šarža za prženje rude, u kojoj je trebalo biti 15% Sb.

Antimonska ruda pržila se u tri mala konvertora, kapaciteta 14 tona za 24 časa i u obrtnoj peći, koja je za isto vreme pržila 35 tona rude. Konvertori i obrtna peć zagrevani su prahom od koksa i drvenog uglja. Koksna prašina kupovana je u Varešu. Postrojenja za prženje rude mogla su da prerade godišnje oko 16.000 t rude.

Za redukovanje oksida u antimon služile su tri stare plamene peći, koje su godišnje mogle da pretope 960 tona regulusa. Nove bi pretapale još i više. Odgovarajuća količina oksida za jednu šaržu mešala se je sa 12 kg drvenog uglja i 3–10 kg sode. Osim toga, šarži je dodavana i stara troska iz plamenih peći, koja je u rastopljenom stanju čuvala metal od oksidacije. Topljenje je trajalo oko 9 časova. Troske iz plamenih peći imale su 20% metala bilo u kapijicama ili korama. Nešto antimona vezivalo se sa arsenom i odazilalo u trosku u obliku arsenijata. Ukupni gubici pri prženju rude i topljenju oksida iznosili su najmanje 30% antimona.

Plamene peći i gasni generatori loženi su bukovim drvima. U 1939. godini potrošeno je 33.000 m³ drveta. Drva su sečena najvećim delom u sopstvenoj režiji preduzeća u državnoj šumi Boranje. Još tada je ova planina imala dosta zrelog drveta za seću. Nešto drva otkupljivano je i od okolnih seljaka. Od neupotrebljivog drveta u Boranji palio se uglijen. U 1939. godini preduzeće je potrošilo 1.476 m³ drvenog ugljena. Drvo je stajalo u topionici 50 dinara prostorni metar.

Krupanjska topionica proizvodila je i topljeni krudum. Za ovo je bila udešena jedna plamena peć. Bogata antimonska ruda stavljana je u šupljie grafitne lonce. Rastopljeni sulfidi kapali su u glinene ili gvozdene kokile. I ovde se, prilikom topljenja rude, gubilo 30% sulfida. Podrinjski rudnici bili su u stanju da 1940. godine proizvode mesečno samo 2–3 tone kruduma, bez bojazni da ne osiromaše šarže za prženje rude.

Krupanjski regulus izlazio je na tržište u blokovima od po 25 kg sa oznakom PD (Pera Despić). Pod tim imenom bio je poznat na svetskom tržištu kao metal izvanrednog kvaliteta.* U preduzeću su pakovana po četiri bloka u sanduke i prevožena kamionima u Šabac preko Loznice. Iz Šapca su kamioni vozili obratno koksnu prašinu, sodu i ostali materijal za rudnike i topionicu. Troškovi proizvodnje regulusa u novembru i decembru 1940. godine iznosili su 11,5 din/kg. U isto vreme prodajna cena metala kretala se od 30–40 din/kg.

Proizvodnja rude i regulusa

| Godina | Stolice | Dobri potok | Vojinovača | Bare, Cirevine | Dobri potok | Svega rude | u tonama | | Regulusa |
|--------|---------|-------------|------------|----------------|-------------|------------|----------|----|----------|
| | | | | | | | % | Sb | |
| 1936. | 6040 | — | 36 | — | 6076 | 20,06 | 538 | | |
| 1937. | 7125 | — | — | 172 | 7297 | 18,6 | 578 | | |
| 1938. | 8265 | 25 | — | — | 8290 | 17,3 | 549 | | |
| 1939. | 8769 | 91 | — | — | 8860 | 15,9 | 578 | | |
| 1940. | 10800 | 30 | — | — | 10830 | 14,6 | 716 | | |

Proizvodnja rudnika u 1940. god.
(prva polovina)

| Mjesec | Stolice | Dobri potok | | u tonama | |
|--------|---------|-------------|------|----------|------|
| | | rude | % Sb | rude | % Sb |
| I | 827 | 17,3 | 8,5 | 6,2 | |
| II | 639 | 18,7 | 4 | 8,2 | |
| III | 710 | 16,4 | — | — | |
| IV | 582 | 15 | — | — | |
| V | 715 | 14,4 | — | — | |
| VI | 1122 | 15,7 | 3,5 | 17,8 | |

Uzorak bogate antimonske rude sa Stolica, analiziran u Londonu, pokazao je ovakav sastav:

| | | | |
|----|---------|-------------------------------------|--------|
| Sb | 30,75 % | Fe | 1,19% |
| As | 0,013% | S | 12,71% |
| Pb | 0,005% | Al ₂ O ₃ | 3,43% |
| Cu | 0,007% | CaO | 9,10% |
| Bi | 0,001% | MgO | 0,88% |
| Sn | nema | BaO | 1,05% |
| Ag | trag | SiO ₂ | 31,76% |
| Au | nema | CO ₂ +H ₂ O+O | 8,90% |

* Pre prvog svetskog rata imao je 99,89% Sb, a 1940. god. 99,49%.

Središte za proizvodnju antimona u Zajači

Još u početku ovog poglavlja napomenuo sam, da je antimonska ruda u Podrinju pronađena najpre na terenima »Kostajničkog rudnika«. Tamo se počela i eksplorisati, iako u malom obimu. Da li je Z. Karabiberović sam pokušao da organizuje proizvodnju ili je tere-ne ustupio drugome nije poznato. Kad sam 1940. godine snimao geološku kartu listova Krupanj i Zvornik slušao sam od starih, penzionisanih rudara meštana, da je Mihailo Falkone, pre 1889. godine vadio po Kostajniku antimonske rude, pakovao ih u džačice od po 50 kg i slao kolima u Šabac. Meštani nisu znali da ka-žu, da li je Falkone radio za sebe ili nekoga vlasnika prava; kasnije će se videti da je Falkone radio na račun Bindera. U našoj literaturi je zabeleženo, da su Ilija Kolarac i Milan Piroćanac imali neka rudarska prava oko Zajače. K a n i c izričito veli, da je povlastica »Kostajničkog rudnika« dobio M. Piroćanac kao pred-sednik ministarskog saveta i da ju je 1889. godine preneo na Bindera. Nešto od ovoga je i istinito. Piroćanac je zaista bio vlasnik nekog rudarskog prava u Kostajniku. Ali povlastica nikada nije glasila na njegovo ime. On je kao zastupnik naslednika N. Milovanovića povlasticu »Kostajnički rudnik« zaista preno preno na Bindera, kao advokat. No on je mogao biti i suvlasnik Milovanovićev. O rudarskim pravima Ilije Kolarca nisam našao nikakvih bližih podataka. On je ova prava mogao imati šezdesetih godina prošloga veka, pa bi, prema tome, bio i prvi istraživač antimonskih ruda kod nas.

Istraživanje antimonskih ruda na terenima uprave podrinjskih rudnika dalo je podstrek, da se obrazuje novo središte za proizvodnju antimona u Zajači. Nisam mogao utvrditi kako je došlo do promene vlasnika kostajničkih te-re-na, no 10. septembra 1884. godine beogradski trgovac Nikola Milovanović zatražio je, prema odredbama rudarskog zakona, povlasticu za otkopavanje antimonskih ruda. Maja 1885. godine izašla je na teren komisija Rudarskog odeljenja i ograničila povlasticu od 119 rudnih polja pod imenom »Kostajnički rudnik«. Povlastica se nalazila u selima Brštici, Dvorskoj, Kostajniku, Zajači i Borini. Milovanović je 10. juna 1885. godine dobio povlasticu na 50 godina.

Šta je i koliko je Milovanović radio na svojoj povlastici nije zabeleženo. Međutim, 1884. godine zabeležen je izvoz antimonskih ruda iz Srbije. To će svakako biti ruda iz »Kostajničkog rudnika«. Za ovu i ostale godine antimonska ruda iskazana je zajedno sa bakarnom (svakako iz Vragočanice) i živinom (sa Avale). Evo kako je izgledao izvoz bakarnih, antimonskih i živinskih ruda za nekoliko godina:

| | | | |
|-------|------------|-------------|---------------|
| 1884. | 44.096 kg | u vrednosti | 64.084 dinara |
| 1885. | 13.034 kg | u vrednosti | 11.780 dinara |
| 1886. | 101.400 kg | u vrednosti | 41.115 dinara |
| 1887. | 61.800 kg | u vrednosti | 61.838 dinara |

Za poslednju godinu zabeleženo je, da je ruda izvezena u Austriju. Jedan deo ovde iska-zanih antimonskih ruda mogao je poticati sa povlenskih rudišta, jer su ona u ovo doba ot-kopavana.

Godina 1888. bila je osobito značajna za antimo-nika rudišta u Podrinju. Cene antimona bile su visoke, pa je rađeno po svim nalazišti-ma antimonskih ruda. Do rude se dolazio lako sa površine; to nisu bila stara, olovna rudišta, crpljena vekovima, već nova, dote nedirnuta, sa mnogim rudnim telima koja su izbijala na površinu. Način istraživanja takvih ruda bio je veoma jednostavan, troškovi proizvodnje niški, a rude uglavnom bogate.

U 1889. godini, baš u vreme kad su podrinj-ski rudnici užurbano pripremali proizvodnju antimona, došlo je do prodaje »Kostajničkog rudnika«. Kad je Milovanović umro, njegovi naslednici su, preko Milana Piroćanca, prodali 20. maja 1889. godine povlasticu Moricu Binderu trgovcu iz Žemuna za 30.000 dinara.

Cim je postao vlasnik povlastice, Binder je odmah počeo da vrši bezobzirnu eksplataciju antimonske rude na svima nalazištima svoje povlastice. Čak je bespravno upadao i u tere-ne podrinjskih rudnika i tamo vadio antimonsku rudu. Za rekordno vreme, od novembra 1889. do maja 1890., Binder je bacio na inos-trano tržište 700 tona bogatih antimonskih ru-dara, proizvedenih uz minimalne troškove.

Binder je antimonsku rudu prodavao u Šapcu. Tamo bi prikupio 100–300.000 kg rude i poz-ivao trgovce iz Londona, Marselja i Beča pa im prodavao rudu, koja je imala preko 60% antimona. Binder je, međutim, plaćao državi doprinos, kao da je ruda imala samo 52% anti-mona. Transport rude iz Zajače do Šapca pla-ćao se 2,2 dinara na 100 kg.

Bezobzirno i užurbano otkopavanje antimon-skih ruda dovelo je vlasnika povlastice u sukob sa rudarskim zakonom, pa su rudarske vlasti pokrenule postupak protiv Bindera i kaznile ga najpre sa 70 dukata i tromesečnom zabranom rada na eksplataciji ruda. Osim toga, morao je da plati podrinjskim rudnicima 1.141,89 din. »za kradenu rudu sa rudnih izdanaka u krugu upravnom«. Binder je mirno platio kaznu i nastavio da radi bezobzirno kao i do tada. Ru-darske vlasti su ponovo intervenisale; ovoga puta 19. oktobra 1890. godine Binderu je zabranjen dalji rad i oduzeta povlastica »za svagda« Kostajnički rejon antimonskih ruda pripojen je podrinjskim rudnicima.

Uprava podrinjskih rudnika u Krupnju na-meravala je da u toku 1891. godine povede op-

sežne rudarske radove na povlastici »Kostajnički rudnik«. Za ovu svrhu joj je bilo odobreno državnim budžetom 60.000 dinara. No od odobrenе sume u toku godine realizovano je samo 11.640 dinara i utrošeno na vadenju antimonskih ruda u Zajači. Pa ipak je i pored malih troškova izvedena značajna količina antimonskih ruda i 100.000 kg poslat je u Šabac da se tamo proda, kako je to radio i Binder Početkom 1891. godine cena antimonskoj rudi bila je povoljna, ali je kasnije pala i u Šapcu se nije mogao prodati po odgovarajućoj ceni. Zbog toga se morala voziti ponovo u Podrinje, u krupanjsku topionicu, da se tamo pretopi. Za prevoz rude od Zajače do Šapca plaćalo se za 100 kg 2,2 dinara, a od Šapca do Krupnja 2,5 dinara. U toku 1891. godine poslat je iz Šapca u Krupanj 40.400 kg rude. Ostalo je prevezeno sledeće godine. Krajem 1891. godine tržišna vrednost bogate antimonske rude (60% Sb) iznosila je 35 dinara za 100 kg, a olova 45 din. Zbog izlinskih troškova oko prevoza rude u Šabac i Krupanj napadan je u javnosti i narodnoj skupštini Milovan Atanacković, rukovodilac podrinjskih rudnika. Posle toga antimonska ruda prevožena je iz Zajače u Krupanj, ali kratko vreme, pa je zatim svaki dalji rad obustavljen.

Kostajnički rudnik mirovao je do 29. novembra 1896. godine kada je prešao u ruke francuskog kapitala. Povlasticu su dobili Pavle Lorens (Paul Laurence) veleposrednik iz Pariza i Moric Binder industrijaš iz Zemuna. Posle dve godine (8. oktobra 1898. god.) »Francusko društvo za kopanje i preradivanje ruda u Srbiji« (Société française minière et métallurgique en Serbie) uzelo je povlasticu za proizvodnju antimonskih ruda, u produženju kostajničke, zvanu Zajača, u veličini od 108 rudnih polja. Ova je povlastica 11. februara 1906. godine preneta na Lorensa i Bindera. Isto francusko društvo dobilo je 28. oktobra 1899. godine još jednu povlasticu za korišćenje antimonskih ruda u opštini koviljačkoj, zvanu Brasina, u veličini od 58 rudnih polja. Ova je povlastica kasnije preneta na Bindera i Aleksu Novakoviću, advokata iz Beograda.

Novo središte za proizvodnju antimona počelo se izgradivati odmah po uzimanju povlastice »Kostajnički rudnik«. U Zajači se gradi mala topionica antimona po uputstvima profesora rudarske škole u Sent Etjenu. Babić je kako su zajačke rude za ono vreme bile siromašne, jer su imale 20% metala, to je trebalo izgraditi i odgovarajuću topionicu. Po Babićevom projektu ozidana je cilindrična, jamasta peć za prženje antimonskih ruda i komore za hvatanje antimonskog oksida. Gorivi materijal za cilindričnu peć predviđeno je da bude ugalj, ali kako ovaj nije imao dovoljno čvrstine, upo-

trebljavan je koks. Oksidi su topljeni u plamenim pećima.

Topionica u Zajači proradila je 1897. godine i za vreme probnog topljenja proizvedeno je 126 tona regulusa. U 1898. godini nastavljeno je sa probnim topljenjem. Oksidacija rude vršena je u cilindričnoj peći a u plamenoj je topljen metal. U ovoj godini prettopljenje rude bilo su većim delom oksidne i imale prosečno 20% Sb. Proizvodnja jedne tone rude stajala je 2–5 dinara. U preduzeću je bilo zaposleno 70 radnika. Nije bilo nikakvih zgrada za stanovanje ni snabdevanje radnika.

Opitni radovi na preradi antimonskih ruda u Zajači tekli su sve do kraja 1900. godine, jer je trebalo usavršiti postupak prerade siromašnijih antimonskih ruda. Oko 1900. godine zajačke rude imale su 10–20% antimona. Preduzeće se uz eksperimentisanje i izgradivo, otvarana su nova rudišta i podizana različita topionička postrojenja. Društvo je nameralovo da pretapa godišnje 10.000 t rude i 500 t regulusa.

Prava proizvodnja počela je tek 1901. godine. Glavni zajački rudnici bili su Zavorje i Dolovi. Na prvom rudištu ruda je vađena podzemno, a na drugom površinski. Na rudištu zvanom Podstencica ruda je takode vađena površinski. Krajem 1903. godine u Zavorju je rudnička pruga bila duga 268 metara, a ukupno je bilo 600 m koloseka u rudniku i napolju. Ruda je sa rudnika spušтana u topionicu pomoću tri svinice (dve po 5 i jedna od 100 metara).

Topionica je bila smeštena u dvema zgradama, koje su imale površinu od 1.173 m². U jednoj zgradi bili su smešteni dve peći za prženje rude, sa odgovarajućim prostorijama, a u drugoj zgradi bila je komora za hlađenje, peć za prženje rude, komora za kondenzaciju antimona oksida, dve peći za regulus, aparat za osvetljavanje i dr. Dimnjak topionice bio je visok 23 m, a dimni kanal dug 135,8 m. Vrednost ovih postrojenja iznosila je 79.060 dinara. U topioniči je jedna mašina od 14 k. s. pokretala ventilator, pumpu i testere. Ruda je pržena u trima jamaštim pećima (fourre à cuve), oksid kondenzovan u komori i topljen u dvema plamenim pećima. U troškama jamašnih peća ostajalo je 0,9% Sb a u troškama plamenih peća 3%. Smatralo se da su ukupni gubici pri preradi rude u antimon iznosili samo 10%, što je svakako bilo pogrešno, jer su gubici dostizali i 40%. Topljenje 100 kg metala stajalo je 39,04 dinara.

Uprava rudnika sa laboratorijom i stanom za nadzornika bila je smeštena u dvostranoj zgradi od 176 m², sa 4 odeljenja u prizemlju i 6 na spratu. Vrednost ove građevine iznosila je 7.500 din. Za direktora rudnika bila je podignuta zgrada od 240 m² sa 10 odeljenja od tvrdog materijala. Njena izgradnja stajala je

Neki pokazatelji poslovanja zajačkih rudnika i topionice antimona od 1901—1903. god.

| | 1901. | 1902. | 1903. |
|--|---------|---------|---------|
| Izrađeno m ³ podzemnih radova | 337 | 162 | 242 |
| Cena m ³ podzemnih radova | — | — | 45 |
| Površinskim radovima otkopano m ³ | 3000 | 4000 | 3500 |
| Cena m ³ površinskog otkopa | — | — | 2—2,5 |
| Vrednost 1 t rude u m ³ | — | 11,83 | 11,60 |
| Troškovi nabavke grada | 5572 | 9227 | — |
| Utrošak drvenog uglja u t | 1003 | 1661 | — |
| Cena 1 t drvenog uglja | 1480 | 1460 | — |
| Utrošeno drva za topionicu m ³ | 2000 | 2480 | — |
| Proizvedeno rude sa 14% Sb u tonama | 3613 | 6003 | 3941 |
| Tona rude staje (sa 12% Sb) din. | 17,20 | 11,83 | 11,60 |
| Proizvedeno antimon oksida, t | 453 | 518 | 489 |
| Proizvedeno regulusa, t | 242,465 | 304,640 | 278,475 |
| Prodato antimon oksida, t | 50 | 25,387 | 45,247 |
| Prodato regulusa, t | 229,865 | 294,052 | 253,024 |
| Uzeto za oksid, din. | — | 19395 | — |
| Uzeto za regulus, din. | — | 200565 | — |
| Ruda u topionici | | | |
| topljenja, dana | 304 | 300 | — |
| Pretopljenje rude u t | 4348 | 4200 | — |
| Sadržaj Sb u oksidi, % | 67 | 67 | — |
| Broj radnika | 170 | 190 | — |

20.000 dinara. Direktorova zgrada imala je 7 soba, kujnu, dve komore, kupatilo, podrum, u potkroviju soba za mlađe i mračnu komoru. Pred zgradom je bio basen za kupanje, severno od zgrade bila je peronica, a jugozapadno štala za domaće životinje. Za stanovanje radnika ili službenika bile su podignute dve gradevine, jedna od 30 m², a druga od 24. Obe su vredne 1.000 dinara. Na Zavorju i Dolovima bila je po jedna zgrada od slabog materijala, čija je pojedinačna vrednost iznosila 180 dinara.

Celokupna pokretna i nepokretna imovina preduzeća iznosila je u krajem 1903. godine 187. 673 dinara. Kad se ovoj sumi doda još 129.671 din. koliko je plaćeno za otkup povlastice, onda je ukupna vrednost Zajača iznosila 317.344 dinara. Bilans poslovanja za 1902. godinu pokazavao je gubitak od 16.592 dinara. Preduzeće je za prodati metal uzelo 219.961 dinar, a utrošilo je iste godine 236.861 dinar.

Radnici u zajačkom preduzeću početkom našega veka bili su seljaci iz okoline i plaćeni

svrlo malo i slabo, kako čitamo iz izveštaja rudarske komisije za 1903. god. Prosečna vrednost nadnice za 1902. godinu iznosila je 1,35 din, a za 1903. god. 1,41 din. Obični nadzornici primali su mesečno po 60 dinara, a glavni nadzornik 200 dinara mesečno. Rudari su stanovali po okolnim selima a stranih radnika bilo je samo pet.

Preduzeće u Zajači poslovalo je i 1904. godine sa gubitkom, jer je ove godine došlo do znatnog pada cena antimona na londonskoj berzi. Zbog toga je ono 1. novembra 1904. godine obustavilo rad, po odobrenju ministarstva narodne privrede, za godinu dana. U 1906. godini, zbog rusko-japanskog rata, cene antimona metala su naglo skočile, pa je francusko društvo u Zajači požurilo da dode u posed i drugih dveju povlastica, Zajače i Brasine. Ove godine u preduzeću se radi intenzivno, i sa prosečno 247 radnika dnevno. Bilo je proizvedeno, međutim, samo 170,5 tonsa regulusa u vrednosti 314.170 dinara. Koliko je proizvedeno i prodato antimon oksida nije zabeleženo. Cista dobiti za 1906. god. iznosila je 58.485 dinara. Ovakvo mala proizvodnja metala bila je rezultat osiromašavanja rudišta. Otkopavane rude u glavnim rudišтима Zajače, Zavorju i Dolovima imale su prosečno 9—10% Sb.

Prema izveštaju načelnika rudarskog odeljenja u Beogradu za 1907. godinu rudarstvo antimona u Zajači izgledalo je ovako:

Zajača—Kostajnik—Brasina. Ova su rudišta u Podrinju nedaleko od Loznice, gde ih eksplorise jedno strano društvo. U Zajači, podignuta je topionica, gde se iz istih ruda dobija regulus i antimonoksid. Antimonska ruda pojavljuje se kao sklad između trijanskih pločastih krečnjaka u povlati, i masivnih krečnjaka u podlini; i kao zice u trahitskim stenama ili u raznim škriljicama. Ruda se javlja i kao sulfid, ili kao oksid, u raznom stepenu oksidacije. Bogatije rude sadrže do 60% antimona, a siromašnije 9—10%. Od ove poslednje ima mnogo više, i zato je podignuta u Zajači podesna topionica po sistemu Babijevom, u kojoj se antimon ispira i kondenzacijom dobije kao antimonoksid. Iz ovog poslednjeg, dobije se redukcijom u plameniči, antimon regulus.

U 1908. godini preduzeće u Zajači radi opet nerentabilno. Ono je „zbog znatnih konstruktivnih izmena u topionici“ proizvelo svega 89,8 t regulusa. Radile su samo dve pržulje i tretirale 1.181 t rude; iz ove je dobijeno 88 tonsa oksida. U plamenim pećima pretvoreno je u regulus 114 tonsa oksida. Preduzeće je ove godine knjžilo gubitak od 8.610 dinara.

Godišnjak rud. odeljenja (III, 1910) piše:

»Povlastičari, koji eksplorisu spojene Zajački i Kostajnički antimonski rudnik, preraduju ove rude u svojoj topionici u Zajači, koja je posle znatnih konstruktivnih izmena, otpočela da topi ponova u 1908. godini. U toj godini izrađeno je 898 mc antimona regulusa, u vrednosti 62.289

dinara; a u 1907. godini 1.123 mc antimon regula u vrednosti 168.927 dinara. Ova razlika potiče zbog smanjene proizvodnje, a naročito zbog razlike u smanjenoj vrednosti antimona između 1907. i 1908. godine».

O daljem poslovanju preduzeća u Zajači do prvog svetskog rata nisam našao skoro nikakvih podataka. Iz prihoda Bratinske kase za 1909. godinu vidi se da se broj radnika, prema 1908. godini, smanjio za 25%. U 1910. godini prihodi kase su smanjeni na 1/3 od 1909. godine, a za 1911. god. piše, da je rudnik »zbog rđavih cena antimonu prestao da radi«. Radovi su međutim obustavljeni u proljeće 1910. godine.



Sl. 4 — Topionica u Zajači 1918. godine, za vreme austrijske okupacije

Za vreme prvog svetskog rata, u borbama iz 1914. i 1915. godine Zajača je postradala znatno više od Krupnja. Rudnici su bili zarušeni, a topionica opljačkana i devastirana. Zbog toga su okupacione vlasti čitavu godinu posle zapošđenja Srbije pristupili oživljavanju rudarskih i topioničkih radova u Zajači. Restauracija je počela 20. novembra 1916. godine sa jednom vojnom rudarskom jedinicom od 100 ljudi i našim rudarskim radnicima iz okoline. Obnovljeni su rudnici u Zavorju, Dolovima i Padinama. Stolice su ustupljene rudarskoj vojnoj upravi u Krupnju. U Zajači je uvedeno električno osvetljenje. Topionica je proradila početkom 1917. godine. Austrijanci su doveli u Zajaču oko 300 ruskih ratnih zarobljenika sa na merom da ih koriste kao rudare u jami. Rusi su, međutim, odbili da rade u jami i pored žestokih represalija. Za celo vreme okupacije, kao rudari radili su austrijski vojnici i naši seљaci. Na proizvodnji antimonskih ruda za vreme rata radilo je oko 600 ljudi. No za celo ovo vreme proizvedeno je svega 200 tona metala. Zajačka topionica bila je mala i proizvodila je mesečno najviše 20—25 tona regulusa.

Posle proterivanja austrijske vojske iz Srbije preduzeće u Zajači je ponovo opljačkano od okolnog stanovništva, materijalno potpuno upropasćenog za vreme rata. Kouckij je 1921. godine video tamo još čitavu veliku zgradu topionice pokrivenu plehom, sa dve peći za prženje rude i dve za topljenje oksida. Bile su očuvane i ostale zgrade, ali u bednom stanju.

Zajački rudnici i topionica mirovali su, posle prvog svetskog rata sve do 1936. god., kada je »Montania«, društvo sa nemackim kapitalom otkupilo Zajaču sa sve tri povlastice. Govorilo se da je sve ovo otkupljeno za 20 mil. dinara, što izgleda preterano. Topionica je proradila 1938. godine. Avgusta 1941. partizani su je tako teško oštetili da nije proradila čitavu godinu dana. Od 1942. godine Zajača radi neprekidno, a od 1944. godine je jedino središte za proizvodnju antimona metalu a Podrinju.

Zajački metal je, kao i krupanjski, pre prvog svetskog rata liven u blokove od po 25 kg prosečno. Nosio je oznaku SF (Societe française). Po Kouckom metal je imao:

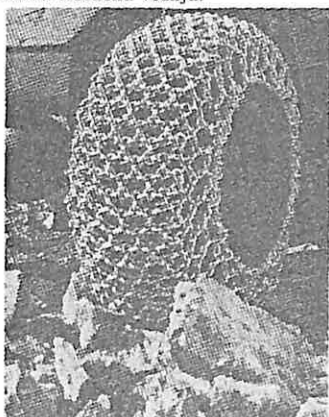
| | I | II |
|----------|---------|---------|
| Arsena | 0,068 | 0,064 |
| Olova | 0,096 | 0,096 |
| Gvožđa | 0,03 | 0,028 |
| Bakra | nema | nema |
| Sumpora | tragovi | tragovi |
| Antimona | 99,806 | 99,812 |

Posle drugog svetskog rata na povlasticama Zajača, Kostajnik i Brasina bila su poznata načinšta antimonskih ruda na mestima:

| | |
|----------------------------------|---------------------------------------|
| 1 Brasina | 21 Ravanica |
| 2 Graoviste | 22 Prisedo |
| 3 Stankovića Njive | 23 Ispod Vlajkove njive |
| 4 Marin Potok | 24 Jazište |
| 5 Pod Stražilom | 25 Grabić |
| 6 Eminove Vode | 26 Prigrada |
| 7 Žuta Cesta | 27 Baštine |
| 8 Velika Hajka | 28 Bačinovac |
| 9 Gvozdenjača pod Biljegom | 29 Izvor Bukovog potoka |
| 10 Lom | 30 Brežići (D. Borina) |
| 11 Mitrovića Bašta | 31 Jazavčara |
| 12 Rovine | 32 Goli breg |
| 13 Spasovnica | 33 Rupe, iznad srednjovekovnih radova |
| 14 Pavitnica | 34 Zavorje |
| 15 Dolovi Vićentića | 35 Dolovi |
| 16 Dolić-Purkova Bašta | 36 Mamutovac |
| 17 Djedovača | 37 Padine |
| 18 Breza-Dijelo | 38 Štira |
| 19 Pod Krajevinama-Krajnja Ravan | 39 Katića Korita |
| 20 Okno na Biljegu | 40 Čalije |

Novi pancir lanac omogućuje zaštitu pneumatika za teške radeve

RUD je lanac od legiranog čelika koji štiti pneumatik od probijanja rupa, bočnih zasaka, prosecanja, preteranog trošenja i drugih oštećenja u stenama kojima su izložene utovaračice i vozila za terensku vožnju.



Tamo gde je vek pneumatika približno 600 do 1000 časova proizvođač pancir lanca garantuje za ovaj lanac i pneumatike vek od 3000 do 4000 časova rada.

Celik od koga je napravljen lanac ima veliku silu kidanja, sa tvrdćom jezgra 380–400 jedinica po Vickersu i silom kidanja oko 130 kg/cm². Lanac je, u stvari, savitljiva guta mreža. Proizvođač je »Tromac, Div. of Tradex International (Canada) Ltd. 1550 Chabanel St. W, Montreal 355 Que.«.

S. S.

>*Canadian Mining Journal*, May 1969., str. 106.

Novi postupak razbija stene snagom indukovane električne energije!

Electrofrac Corporation razvila je opremu za razbijanje stena pomoću indukovane električne energije. Petnaestogodišnje istraživanje na polju razbijanja uljnosnog slojeva pomoću električne energije dovelo je do postupka za električno razbijanje tvrdih stena. Primarni i sekundarni sistemi razbijanja stena su upotrebljeni kod polukonduktivnih stena. Sila, stvorena električnim putem, stvara jednu mrežu pukotina u masi, koja se raspada dejstvom mehaničkog postupka.

Prednost električnog razbijanja stena, u poređenju sa korišćenjem eksploziva, leži u elimanisanju buke, vibracija zemljišta i nesrećnih slučajeva od komada stena, koje lete na sve strane.

Ispitivanja u rudnicima takonita, u Minesoti, utvrdila su potrošnju energije za sekundarno razbijanje rude magnetita i to od jedan do dva kilovat časa po toni stene. U primarnom razbijanju potrošnja energije je 10 do 15 kW-časa po toni, što zavisi od stepena fragmentacije.



Kao izvor energije služio je Diesel-generator od 100 KS i za primarno razbijanje. U praksi su pogodni i mnogo slabiji izvori energije.

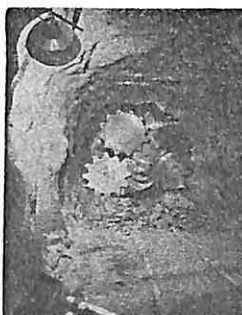
Electrofrac laboratorijski besplatno nudi usluge za utvrđivanje pogodnosti uzorka stena za električno razbijanje.

S. S.

>*World Mining*, August, 1969., str. 68.

Krupova bušilica za velike rupe izbušila tunel za vodu dužine 9.120 m

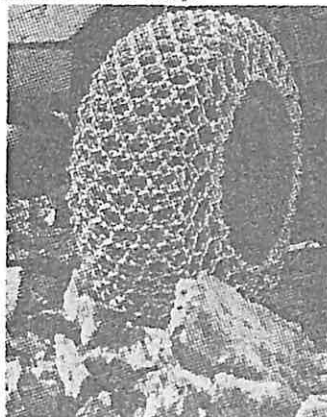
Ova bušilica završila je bušenje 9 km dugačkog tunela za vodu u južnoj Nemačkoj. Na slici je prikazan momenat kada se probija posled-



NOVA OPREMA I NOVA TEHNIČKA DOSTIGNUĆA

Novi pancir lanac omogućuje zaštitu pneumatika za teške radove

RUD je lanac od legiranog čelika koji štiti pneumatik od probijanja rupa, bočnih zaseka, prosecanja, preteranog trošenja i drugih oštećenja u stenama kojima su izložene utovaračice i vozila za terensku vožnju.



Tamo gde je vek pneumatika približno 600 do 1000 časova proizvođač pancir lanača garantuje za ovaj lanac i pneumatike vek od 3000 do 4000 časova rada.

Celik od koga je napravljen lanac ima veliku silu kidanja, sa tvrdocom jezgra 380—400 jedinica po Vickersu i silom kidanja oko 130 kg/cm². Lanac je, u stvari, savitljiva gusta mreža. Proizvođač je »Tromac, Div. of Tradex International (Canada) Ltd. 1550 Chabanel St. W., Montreal 355 Que.«

S. S.

>*Canadian Mining Journal*, May 1969., str. 106.

Novi postupak razbija stene snagom indukovane električne energije!

Electrofrac Corporation razvila je opremu za razbijanje stena pomoću indukovane električne energije. Petnaestogodišnje istraživanje na polju razbijanja uljonosnih slojeva pomoći električne energije dovelo je do postupka za električno razbijanje tvrdih stena. Primarni i sekundarni sistemi razbijanja stena su upotrebljivi kod polukonduktivnih stena. Sila, stvorena električnim putem, stvara jednu mrežu pukotina u masi, koja se raspada dejstvom mehaničkog postupka.

Prednost električnog razbijanja stena, u poređenju sa korišćenjem eksploziva, leži u eliminisanju buke, vibracija zemljišta i nesrečnih slučajeva od komada stena, koje lete na sve strane.

Ispitivanja u rudnicima takonita, u Minesoti, utvrdila su potrošnju energije za sekundarno razbijanje rude magnetita i to od jedan do dva kilovat časa po toni stene. U primarnom razbijanju potrošnja energije je 10 do 15 kW-časa po toni, što zavisi od stepena fragmentacije.



Kao izvor energije služio je Diesel-generator od 100 KS i za primarno razbijanje. U praksi su pogodni i mnogo slabiji izvori energije.

Electrofrac laboratorijski besplatno nudi usluge za utvrđivanje pogodnosti uzorka stena za električno razbijanje.

S. S.

>*World Mining*, August, 1969., str. 68.

Krupova bušilica za velike rupe izbušila tunel za vodu dužine 9.120 m

Ova bušilica završila je bušenje 9 km dugačkog tunela za vodu u južnoj Nemačkoj. Na slici je prikazan momenat kada se probija posled-

